



UNIVERSIDAD NACIONAL  
AUTÓNOMA DE  
MÉXICO

UNIVERSIDAD NACIONAL AUTÓNOMA DE MEXICO

Creación de un texto sobre el estudio teórico-  
bibliográfico del oncogene c-ras

TESTIS DE LICENCIATURA

Que para obtener el título de

BIOLOGA

Presenta:

ADILIA ELIZABETH MARTINEZ IÑIGUEZ



México, D. F.

1989



## **UNAM – Dirección General de Bibliotecas Tesis Digitales Restricciones de uso**

### **DERECHOS RESERVADOS © PROHIBIDA SU REPRODUCCIÓN TOTAL O PARCIAL**

Todo el material contenido en esta tesis está protegido por la Ley Federal del Derecho de Autor (LFDA) de los Estados Unidos Mexicanos (México).

El uso de imágenes, fragmentos de videos, y demás material que sea objeto de protección de los derechos de autor, será exclusivamente para fines educativos e informativos y deberá citar la fuente donde la obtuvo mencionando el autor o autores. Cualquier uso distinto como el lucro, reproducción, edición o modificación, será perseguido y sancionado por el respectivo titular de los Derechos de Autor.

## ÍNDICE

Introducción	1
Método	3
Objetivos	4
Oncogenes	5
ras	354
Proto-oncogén ras	46
ras en otras especies	66
Características de los proto-oncogenes	88
Función de p21 proto-oncogénica	112
Oncogene ras en transformación celular	139
ras en carcinogénesis animal	177
Oncogén ras en humanos	188
Conclusiones y Perspectivas	206

## INTRODUCCION

El cáncer es un serio problema de salud a nivel mundial. En México se calcula que mueren aprox. 50,000 personas de cáncer al año, la mayoría en edad productiva, de 30 a 60 años, cifra que seguramente aumentará en los próximos años, debido a la disminución en la incidencia de enfermedades infecciosas así como al incremento en el promedio de vida de la población. El cáncer ha resultado ser un desafío para los científicos desde que su estudio se inició por ser una enfermedad con un alto índice de mortalidad, cuya prevención y tratamiento han progresado muy lentamente. Hasta el momento, los avances en esta materia son relativamente pocos. En los últimos años ha surgido una nueva área de estudio del cáncer, llamada Oncología Molecular, que estudia las alteraciones a nivel genético asociadas a procesos neoplásicos y se basa en el estudio de los ONCOGENES, genes involucrados en desarrollos transformantes. El estudio de los oncogenes se ha intensificado los últimos años, principalmente desde 1980, cuando se empezaron a describir varios oncogenes estudiados de manera exhaustiva a partir de entonces en muchos de sus aspectos. Actualmente se siguen describiendo y estudiando nuevos oncogenes.

Un indicio del interés que se ha generado en muchos laboratorios por el estudio de los oncogenes, es el incremento del número de artículos publicados sobre el tema. Para conocer este índice y contar con un elemento de consulta es necesario un registro con la cita bibliográfica de cada artículo; este registro es el Archivo Bibliográfico de Oncogenes, que incluye las revistas científicas más accesibles y reconocidas; en él se reportan los datos siguientes:

No. de Artículos	Año
153	1973
213	1977
250	1980
258	1981
422	1982
551	1983
808	1984
917	1985
1011	1986
1413	1987

Estas cifras, si bien proporcionan una idea de la cantidad de trabajos desarrollados sobre el tema, no permiten sin embargo, apreciar la variedad de los mismos, que siendo tantos y tan diversos suelen crear gran confusión a quien intenta introducirse por primera vez en este nuevo y fascinante campo. Puesto que son tantos los laboratorios en todo el mundo en donde se realizan investigaciones de esta naturaleza, la emisión de publicaciones resulta abrumadora para quien inicia su estudio en esta área.

En nuestro país se han empezado a investigar las alteraciones de oncogenes en muestras de las neoplasias con mayor incidencia a nivel nacional (leucemias, tumores cérvico-uterinos, mamarios, etc.), es de esperar que este tipo de trabajos aumenten próximamente y que cada vez más investigadores se interesen por iniciar sus estudios en todo lo referente a la Oncología Molecular.

Por todo lo anterior, resulta necesario elaborar un texto en el que se reúna, integre y estructure de la manera más accesible, la información que hasta el momento se tiene sobre uno de los oncogenes más importantes y estudiados: El oncogene ras. Este oncogene es muy importante por la frecuencia con la que se ha detectado activo en diversos tipos de cáncer y por encontrarse en organismos tan alejados evolutivamente como las bacterias, levaduras, y humanos. El texto en cuestión recopila la información más relevante, estructura una secuencia de conocimientos, explica, y da a conocer los principales hallazgos sobre el oncogene ras, para que toda persona que se interese al respecto e intente su estudio por vez primera, adquiera la información requerida, sintetizada y actualizada, sin confundirse con el gran número de artículos tan específicos y variados referentes al oncogene ras.

## MÉTODO

Debido a que no existe un texto que trate lo que hasta el momento se conoce sobre el oncogene ras, para la elaboración del presente texto fue necesario empezar por integrar un archivo de artículos de oncogenes, para lo cual se empleó una computadora Apple IIe con el programa Data-Fax, que archiva la cita bibliográfica y el resumen de cada artículo. Se realizó un listado en varias bibliotecas (de la UNAM y del CINVESTAV) para reunir toda la información que posteriormente se archivó en computadora. Este archivo se encuentra en el departamento de Genética y Biología Molecular del Centro de Investigación y Estudios Avanzados del I. P. N. En este archivo, que cuenta con más de 4000 citas, se consultó la información de los artículos mencionados en la Introducción.

En el archivo de artículos de oncogenes, se consultaron los artículos referentes al oncogene ras, y con la información obtenida se integró el presente texto.

El objetivo de este texto es proporcionar la información más importante, actualizada y completa acerca de este oncogene, pero también se pretende que sea lo más clara y accesible al lector. Para ello, se crearon dos secciones:

(1). Texto. En esta primera sección se explica lo que en general se ha descubierto hasta la fecha sobre el oncogene ras, y se divide a grandes rasgos en una primera parte de introducción a los oncogenes, una descripción de los oncogenes ras virales, los proto-oncogenes ras: estructura, proto-oncogenes ras de otras especies y función, y una última parte de oncogenes ras en trabajos *in vitro*, *in vivo* y en humanos.

(2). Resúmenes. A fin de complementar y profundizar sumáramos los conocimientos expuestos en la sección anterior, al final de cada capítulo se enlista la bibliografía con una modalidad se incluye el resumen de cada artículo al que se haya hecho referencia en el texto. El resumen no es simplemente una traducción literal del que se incluye en el artículo original, sino un resumen elaborado para resaltar lo importante, de acuerdo a lo mencionado en el texto para no perder continuidad aunque procurando mantener la individualidad de cada resumen, de tal manera que quien desee leer solo algún resumen en particular no necesariamente tenga que recurrir al texto o a otros resúmenes.

Este formato, con dos secciones, permite a la vez una lectura fluida y comprensible, pero sin excluir datos importantes que complementen la información.

El presente estudio se concreta al oncogene ras, por la imposibilidad de realizar un trabajo tan completo con los demás oncogenes que se conocen dada la cantidad de información; sin embargo en el archivo de oncogenes se cuenta con lo necesario para realizar estudios similares sobre otros oncogenes también importantes.

## OBJETIVOS

- Proporcionar a quien aprenda por vez primera el estudio de la Oncología Molecular en nuestro país, y en particular del oncogene ras, un texto accesible que facilite la adquisición de conocimientos.
- Recopilar e integrar la información más importante que existe acerca del oncogene ras.
- Crear un texto estructurado, actualizado y completo que facilite el estudio de ras.

## ONCOGENES

Los oncogenes son alteraciones genéticas involucradas en procesos neoplásicos. Se considera que su estudio se inicia a partir de 1977, cuando se describió el primer oncogene retroviral, pero ya desde años anteriores se hablaba su existencia, por varias razones:

- La naturaleza hereditaria de algunos tipos de cáncer,

- La relación entre mutagénesis y carcinogénesis,

- La relación entre virus y cáncer;

- Las aberraciones cromosómicas encontradas en algunas células cancerosas (Varmus, 1975).

Al principio a identificarse los virus que inducían el desarrollo de tumores en animales experimentales se estudiaron los genes virales responsables de tal inducción, y así se encontraron 2 genes transformantes en el virus SV40, los que se denominaron anti-genes-T, por su transformante, el antígeno I-grande y el antígeno-T pequeño. Posteriormente se encontraron otros 3 antígenos-T en el virus oncogénico polioma. El estudio de estos genes generó un interés muy grande, pero surgieron algunos problemas, pues estos genes transformantes también participan en los procesos intrínsecos virales y al introducir alteraciones en dichos genes se altera toda la maquinaria viral lo que dificulta su estudio y además estos virus genéticamente provocan la muerte de las células que infectan complicando su manejo en el laboratorio.

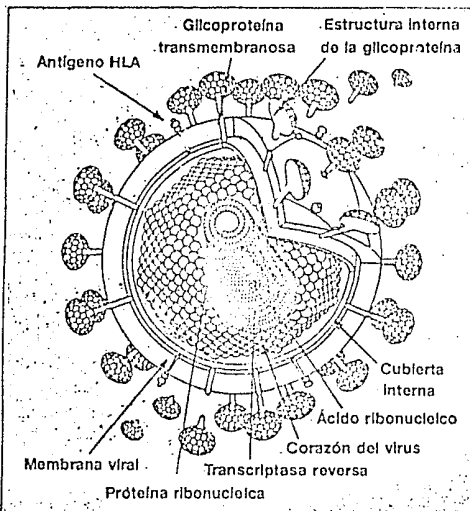
Mientras algunos investigadores trataban de solucionar estos problemas, otros se dedicaban a estudiar virus oncogénicos distintos pertenecientes a los llamados retrovirus, que se caracterizan por tener un genoma formado por ARN. Los retrovirus presentan algunas ventajas con respecto a los virus SV40, polioma, adenovirus y otros virus transformantes con genoma de ADN: El tamaño de su genoma es menor, no causan la muerte de las células que infectan, lo que facilita su manejo en el laboratorio y sus oncogenes no interfieren con el resto de la maquinaria viral lo que permite estudiar sus oncogenes en forma independiente de otras funciones víricas. El primer oncogén retroviral descrito fue el del virus de sarcoma murino de Rous llamado src, por sarcoma (Brugge y Erikson 1977).

En la actualidad, la mayoría de los oncogenes virales descritos son de retrovirus, aunque no todos los retrovirus poseen oncogenes; algunos, como los virus que causan leucemia (HTLV-1), carecen de una secuencia transformante definida, y se diferencian de los retrovirus con oncogenes por no transformar células en cultivo, solo inducen neoplasias en animales, y por que el tiempo que requiere dicha inducción es mayor que en los otros retrovirus.

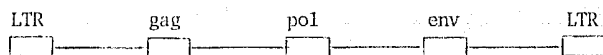
Otros investigadores intentaron determinar dentro de la célula, cual es la estructura blanda de las alteraciones causadas tanto por agentes víricos como carcinogénos y mutagénos, a partir de la cual se desencadenaría el proceso transformante. Sospechando que dicha estructura era el ADN, en 1979 se extrajo el ADN de células transformadas con carcinogénos químicos, y se inyectó en las células de la línea celular NIH-3T3, que son fibroblastos de ratón no transformados. Las células NIH-3T3 se transformaron, quedando demostrado que el ADN alterado es en quien se desencadena la malignidad dentro de la célula, y que a su vez es capaz de transmitir los mecanismos transformantes (Smith y cols., 1979). Al aislar la

FIGURA 1

ESTRUCTURA DE UN RETROVIRUS



GENOMA RETROVIRAL



secuencia responsable de dicha malignidad, resultó ser un geno similar al gene transformante del virus de Sarampión marino de Harvey.

La existencia de secuencias oncogénicas celulares homólogas a los oncogenes virales, fue la importancia hallazgo que indicó la presencia en el genoma humano de secuencias homólogas a las de oncogenes virales, y que tiene la misma acción transformante. En diversas clases de células humanas se buscó la presencia de oncogenes y se detectaron en una gran variedad de especies y de células, incluso en células normales. En el genoma humano el primer oncogene detectado fue un miembro de la familia *c-myc*.

Las secuencias oncogénicas celulares pueden o no estar participando en los procesos transformantes de una célula, generalmente están presentes, pero sin activarse; cuando están inactivos se les llama proto-oncogenes, y cuando se activan, oncogenes. A su vez, para distinguir los oncogenes virales de los celulares se denominan como *v-onc* y *c-onc*, respectivamente (por ejemplo, el oncogene *src* viral se denomina *v-src*, y el celular, *c-src*).

#### CARACTERISTICAS DE LOS ONCOGENES

Los proto-oncogenes se expresan normalmente en el organismo al menos en alguna etapa del ciclo vital, generalmente en la etapa embrionaria y en cantidades mínimas, siendo detectables. Se comportan de acuerdo a las leyes de Mendel, están muy poco relacionados entre sí, se distribuyen en diferentes cromosomas, y su expresión es de tipo dominante. Existen tanto en el genoma humano como en otros mamíferos, aves, en levaduras, *D. melanogaster* y *E. coli* lo que indica que han sido altamente conservados a lo largo de la evolución. Los oncogenes celulares y los virales, aunque considerados homólogos, no son exactamente iguales; pueden presentar delgadas, mutaciones, incorporación de secuencias virales, etc, pero en general son muy similares.

#### Mecanismos de Activación.

Un proceso transformante puede originarse básicamente por 2 causas: Por la acción de un virus tumorigénico, o por la activación de un proto-oncogene celular mediante la acción de un agente cancerígeno no viral, como son las radiaciones, o ciertas sustancias químicas. Entre las alteraciones más comunes están:

(1). Mutaciones puntuales. Se ha demostrado que ciertas mutaciones puntuales en el oncogene *ras* son responsables de su activación, lo cual se describirá a lo largo del texto.

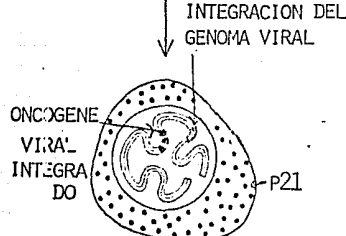
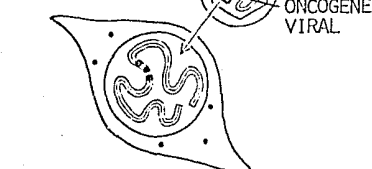
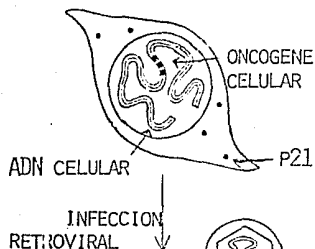
(2). Inserción de promotores fuertes. Los retrovirus generalmente tienen una secuencia llamada LTR (long terminal repeat), la cual actúa como un promotor fuerte (o región enhancer) que incrementa el nivel de transcripción; al insertarse un virus en la región cercana a un proto-oncogene, aumenta el nivel de su transcripción, lo que puede activarlo. Los LTR pueden activar un oncogene aun situados a cierta distancia, e independientemente de su dirección. (Neil y Forrest, 1987)

FIGURA 2

## MECANISMOS DE ACTIVACION DE ONCOGENES

INFECCION VIRAL

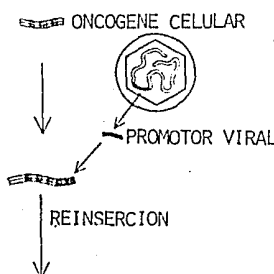
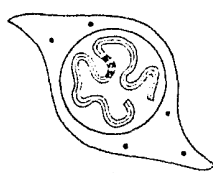
CELULA NORMAL



CELULA TRANSFORMADA

INSECCION DE LA  
REGION PROMOTORA  
RETROVIRAL

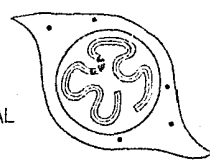
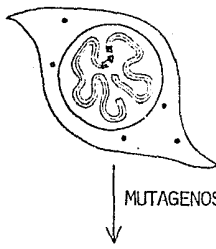
CELULA NORMAL



CELULA TRANSFORMADA

ALTERACION DEL ADN  
(TRANSLOCACION CROMOSO-  
MICA, MUTACION, ETC.)  
POR AGENTES MUTAGENICOS

CELULA NORMAL



CELULA TRANSFORMADA

(3). Translocaciones cromosómicas. Se conocen varios casos de translocaciones relacionadas con la activación de oncogenes el más estudiado es el caso del linfoma de Burkitt, en cuyas células se ha establecido una translocación del cromosoma 8 al 14. En el cromosoma 8 se encuentra el proto-oncogén c-myc, que al transladarlo queda bajo el control de los promotores del gene de la cadena pesada de las immunoglobulinas, que está en el cromosoma 14 lo que aumenta su nivel de transcripción, y al aumentarlo se consigue que se active el oncogén c-myc (Hamlyn y Rabbits, 1983).

(4). Amplificación genética. De un gene normalmente existen dos copias e siéntese en el genoma de una célula; si existen más de dos copias, cada una de ellas puede transcribir, aumentando la expresión del gene, y si se existe un mecanismo celular regulador se incrementa la cantidad de proteína, con lo que quedaría activa de su oncogén. Esto se ha observado en algunas líneas celulares establecidas y en muestras de tumores, en los que se han encontrado oncogenes amplificados como posible causa de la alteración oncogénica (Fulcione y cols., 1985).

### Proteínas Oncogénicas

Los oncogenes, como todos los genes, codifican proteínas, de las cuales, la más estudiada es la llamada pp60-v-src, codificada por el oncogén v-src. Su peso molecular es de 60 Kd, y actúa en la fosforilación de proteínas, específicamente en la tirosina, y esta misma acción de cinasa la presentan otras proteínas oncogénicas. En general las proteínas oncogénicas pueden actuar a distintos niveles: como receptores transmembranales de factores de crecimiento que es el caso del receptor al factor de crecimiento epidérmico, que ha resultado ser prácticamente el mismo que la proteína codificada por el oncogén erb-B; como proteínas citoplasmáticas asociadas a membranas, que es el caso de la proteína ras, o bien, a nivel nuclear, como la proteína myc.

Respecto a los eventos bioquímicos resultantes de la activación oncogénica que intervienen en la transformación maligna, pugnen mencionarse:

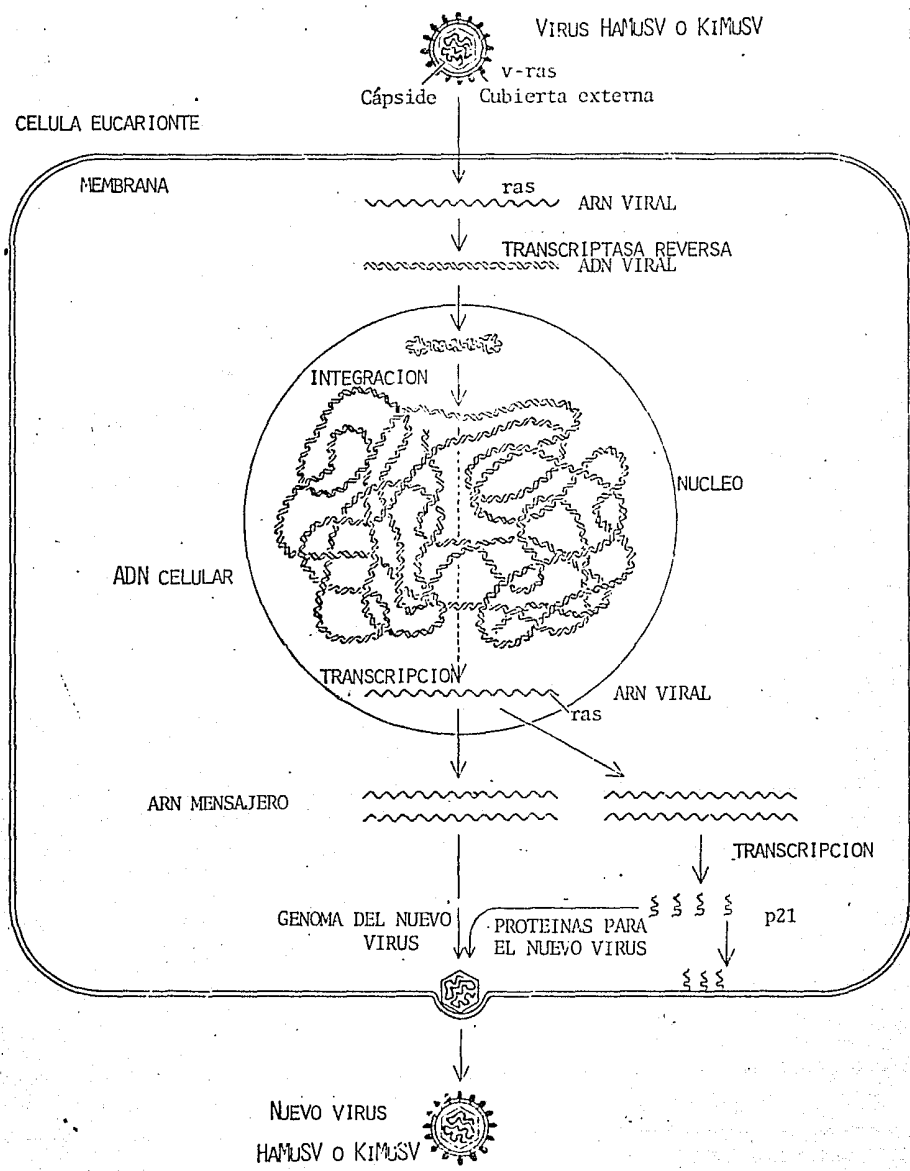
(1). Fosforilación, siendo las proteínas y fosfolípidos los sustratos potenciales. Las proteínas transformantes pueden participar en la fosforilación de ciertos sustratos.

(2). Inicio de la síntesis de ADN. La síntesis irrestricta de ADN es característica del fenotipo transformante. Algunas proteínas oncogénicas pueden participar, en forma directa o indirecta entre los mecanismos que regulan dicha síntesis.

(3). Regulación de la transcripción. Las proteínas transformantes pueden influir en la transcripción de algunos genes celulares, ya sea estimulandola o inhibiéndola, interactuando con otras proteínas, o con promotores de la transcripción.

FIGURA 3

## TRANSFORMACION MALIGNA POR INFECCION RETROVIRAL



(4). Transmisión de mensajes intracelulares. Las proteínas oncogenicas, principalmente las de membrana, pueden intervenir en la transmisión de mensajes del medio al interior de la célula o viceversa, actuando en forma análoga a los factores de crecimiento o a sus receptores.

#### Origen Y Evolución de los Oncogenes

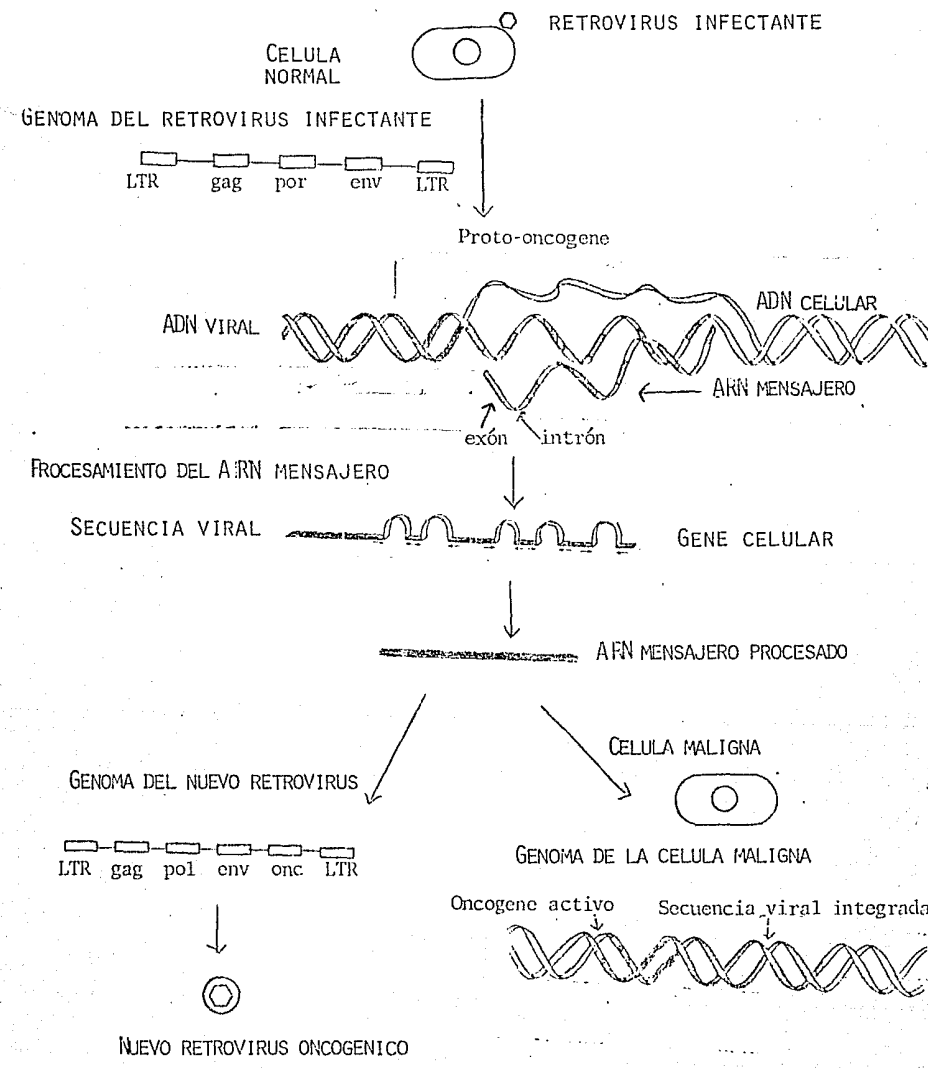
Hasta el momento, no se ha encontrado que los oncogenes confieran ninguna ventaja adaptativa particular a los virus que los presentan, pues la capacidad transformante no parece ser indispensable; la carencia de dicha capacidad al parecer no les afecta. La hipótesis más aceptada hasta el momento postula que los oncogenes virales tienen su origen en el genoma eucariótico. Cuando un retrovirus penetra en una célula, actúa uno de los genes virales, el gene *pol*, que codifica la transcriptasa inversa, la cual transcribe un ADN tomando como patrón el genoma de ARN. Este ADN así transcrita se integra al ADN celular y cuando ocurre la transcripción celular, el ARN que se transcribe en la región donde se localiza el ADN viral constituye de nuevo al genoma del virus pero generalmente este ARN recién transcrita incluye fragmentos con secuencias del genoma celular. Si el sitio donde se integra el ADN viral coincide o está cerca de un proto-oncogene entonces el fragmento de ARN de origen celular que es incorporado al genoma viral será precisamente el proto-oncogene o alguna parte de él, pasando a formar parte del virus. De esta manera se explica la existencia de oncogenes virales con tanta homología con los genes celulares (Neill y Forrest, 1977).

#### Relación entre Oncogenes y Factores de Crecimiento.

Existen varios oncogenes cuyo producto presenta gran homología con proteínas reguladoras del crecimiento o a sus receptores: El oncogén *erb-B*, homólogo al receptor del factor de crecimiento epidermal (Downward y cols., 1984); el oncogén *sis* que es muy similar a una de las 2 subunidades del factor de crecimiento derivado de plaquetas (PDGF-2/5) (Oscillette y cols., 1983); la proteína del oncogén *erb-A*, que presenta similitud tanto con el receptor de estrógeno como con el receptor de la hormona tiroidea (Sap y cols., 1986); la proteína del oncogén *fms* que es muy parecida al receptor del factor de estimulación de macrófagos, además de algunas otras proteínas oncogenicas analogas a factores de crecimiento o a sus receptores, como las proteínas de los oncogenes *c-mas*, *c-jun*, *c-hst*, etc.

Todo esto indica que el estudio de los oncogenes eventualmente podría relacionarse con el estudio de los factores que regulan la proliferación de las células en condiciones normales.

FIGURA 4  
ORIGEN DE LOS ONCOGENES RETROVIRALES



En cuanto a la manera como interactúan los oncogenes, se ha visto que existe un cierto grado de cooperatividad entre diferentes oncogenes, por ejemplo, entre myc y ras (ver Oncogén ras). La carcinogénesis es un fenómeno complejo que involucra sucesivos pasos, aun muy poco conocidos. Se sabe, muy a grosso modo, que generalmente existe un periodo de iniciación del proceso transformante, y una segunda etapa de consolidación, y al menos un oncogén interviene en cada uno de estos pasos en los casos en que existe cooperatividad.

TABLA I

## ONCOGENES: NOMBRE, ORIGEN, PROTEINA, FUNCION Y LOCALIZACION CROMOSOMICA EN EL GENOMA HUMANO

NOMBRE	ORIGEN	LOCALIZACION CELULAR	PROTEINA(Kd)	CROMOSOMA HUMANO	FUNCION (probable)
Eia	adenovirus	nucleo y citoplasma	26 y 36	--	Regular transcripcion
E1b	adenovirus	nucleo y citoplasma	21 y 55	--	Procesar y transportar algunos ARNm virales
T-Ag pequeño	polioma	citoplasma	22	--	Similar a factores de crecimiento
T-Ag mediano	polioma	membrana	56	--	Proteina-tirosina-cinasa
T-Ag grande	polioma	nucleo	100	--	Regular transcripcion.
T-Ag pequeño	SV40	citoplasma	12	--	Regular transcripcion.
T-Ag grande	SV40	membrana y nucleo	94	--	Regular transcripcion
abl	virus de leucemia Abelson	membrana	p210	9	Regular transcripcion
akt	virus de timoma	----	--	14	Proteina-tirosina-cinasa
arg	humano	----	--	1	Proteina-cinasa
bcl-2	humano	----	p26	18	----
Blym	Pollo	----	p65	1	----
dbl	humano	membrana y citoplasma	p66	21	----
erb-A	virus de eritroblastosis de ave	nucleo	p75*	17	Analogo a receptores de hormona tiroidea y glucocorticoides
erb-B	virus de eritroblastosis de ave	membrana y golgi	p160	7	Analogo al receptor del factor de crec epidermal
erg1	humano	----	p41	---	----
ets-1	virus de leucemia de ave E26	citoplasma	p54	11	----
ets-2	virus de sarcoma de ave E26	----	p56	21	----
fes	virus de sarcoma felino de Gnyder	membrana	p92	15	Proteina-tirosina-cinasa
fgr	virus de sarcoma felino Gardner	membrana	p70**	1	Proteina-tirosina-cinasa
fms	virus de sarcoma felino	membrana	p170	5	Receptor del factor de estimulacion de macrofagos
fos	virus de osteosarcoma murino	nucleo	p55	2	Se une a ADN
fps	virus de sarcoma felino Fujinami	membrana	p98	15	Proteina-tirosina-cinasa
frt	humano	----	--	13	Proteina-tirosina-cinasa
fyn	humano	membrana	--	6	Proteina-tirosina-cinasa
gli	humano	----	p118	12	Proteina-tirosina-cinasa
hck	humano	membrana	p57	20	Proteina-tirosina-cinasa

het	humano		p22	11	Análogo a factores de crecimiento
int-1	ratón	membrana	p41	12	---
jun	virús de sarcoma de ave 17	núcleo	p65*	1	Análogo al factor humano de transcripción AP-1
kit	virús de sarco de Hardy Zuckerman	membrana	p110	4	Receptor de factor de crecimiento
lck	ratón	membrana	pp56	1	Proteína-tirosina-cinasa
lyn	humano		p58	8	Proteína-tirosina-cinasa
mas	humano	membrana	--	6	Receptor a angiotensina
met	humano	membrana	p140	7	Proteína-tirosina-cinasa
mil	virús de ave NIH2	citoplasma	p100*	3	Proteína-serina/treonina cinasa
R-mil	pollo	--	p41		Proteína-serina/treonina cinasa
mos	virús de sarcoma de Moloney	citoplasma	p37	8	Proteína-serina/treonina cinasa
myc	virús de mielocitomatosis de ave	núcleo	p58	8	Se une a ADN
N-myc	humano	núcleo	p64	2	
L-myc	humano	núcleo	--	1	Se une a ADN
myb	rata	núcleo	p45	6	
neu	rata	membrana	p105	17	Proteína-tirosina-cinasa
p53	humano	núcleo	p53	11	Se une a ADN
pim	ratón	citoplasma	p36	6	Proteína-cinasa
raf-1	virús de sarcoma murino 3611	citoplasma	p75 y p90*	3	Proteína-serina/treonina cinasa
raf-2	virús de sarcoma Harvey	citoplasma	--	7	Proteína-tirosina-cinasa
Ki-ras	virús de Kirsten	membrana	p21	11	GTPasa, se une a GTP/GDP
N-ras	humano	membrana	p21	12	GTPasa, se une a GTP/GDP
rel	virús de reticulocitomatosis aviar	citoplasma	p21	1	GTPasa, se une a GTP/GDP
ret	humano	membrana	p57	2	Proteína-serina-cinasa
ros	virús de sarcoma de ave RSV	membrana	p68*	6	Proteína-tirosina-cinasa
sic	virús de sarcoma de mono	citoplasma	p28	22	Análogo a la subunidad 2 del factor de crecimiento derivado de plaquetas
sea	virús de eritroblastosis		--	11	Proteína-tirosina-cinasa
ski	virús de Sloan-Kettering de ave	núcleo	--	1	
src	virús de sarcoma de Rous	membrana	p60	20	Proteína-tirosina-cinasa
tck	murino		p56		Proteína-tirosina-cinasa
trk	humano	membrana	p70		Proteína-tirosina-cinasa
yes	virús de sarcoma	membrana	p62	18	Proteína-tirosina-cinasa

\* producto asociado al gen gag viral

\*\* producto asociado al gen gag viral y al gen de actina celular  
datos obtenidos del Archivo General de Oncogenes

### ONCOGENES RAS

Uno de los oncogenes más importantes de los conocidos hasta el momento es el oncogene ras. Las razones para considerarlo tan importante, y por lo que fue elegido como tema del presente texto son las siguientes:

(1). Los genes ras fueron los primeros oncogenes detectados en el genoma humano.

(2). Los genes ras fueron los primeros cuya tumorigenicidad se comprobó en experimentos directos y reproducibles, lo que fue la primera evidencia de una alteración genética causante de un desarrollo neoplásico, y contribuyó a considerar la naciente teoría de la existencia de genes causantes de cáncer.

(3). Los mecanismos de activación de los genes ras son de los más sencillos que se han descrito en los oncogenes: Una simple mutación puntual determina la diferencia entre el oncogene y el proto-oncogén, lo que permite establecer modelos muy accesibles para el estudio de los procesos que intervienen en la transformación celular.

(4). Existe toda una familia de genes ras cuyos principales elementos, los virales y 3 de mamíferos son:

- c-H-ras
- v-H-ras
- c-Ki-ras
- v-Ki-ras
- N-ras

Sin embargo, existen varios otros genes de esta familia:

- RAG1 y RAG2 (*S. cerevisiae*)
- Dras1, Dras2 y Dras3 (*Drosophila sp.*)

Otros genes relacionados con la familia ras, son:

- YPT (*S. cerevisiae*)
- rho (*Escherichia coli*)
- cra (*Escherichia coli*)
- rol (*Escherichia coli*)
- B-ras (Humano)

(5). El principal criterio para agrupar todos estos genes en una sola familia es la proteína codificada por ellos: Las proteínas virales y las celulares son muy homólogas, tanto en su función como en su estructura, y aun las regiones de mayor conservación y las de divergencia, coinciden entre sí. Se denomina a la proteína ras como p21, porque el peso molecular de las proteínas celulares y virales es de 21,000 Daltones.

(6). La proteína ras se encuentra en especies tan distantes evolutivamente como los humanos y las bacterias; la homología tan grande que guardan entre sí indica que se han conservado mucho durante la evolución.

(7). Una proteína que se ha conservado tanto a lo largo de millones de años debe tener una función muy importante para la maquinaria y la fisiología celular; sin embargo esta importante función hasta el momento no se ha logrado determinar. Cuando se logre conocerla, seguramente será un trascendental avance en el estudio de la biología molecular y celular.

(8). Los oncogenes ras se han encontrado activos en neoplasias humanas con una alta frecuencia y en todo tipo de neoplasias lo que indica que no están asociados a ningún tipo de tejido o tumor en especial.

(9). Los proto-oncogenes ras se encuentran en todos los tejidos humanos, apareciéndose en mayor o menor proporción, y al parecer intervienen en la etapa embrionaria del desarrollo humano.

(10). Las proteínas RAS de *S. cerevisiae* se han estudiado en forma exhaustiva, dadas las facilidades de manipulación que permiten las levaduras, y se han obtenido hallazgos muy interesantes; en particular el que las proteínas ras humanas, con ciertas modificaciones constituyen a sus homólogas en levaduras, y que las proteínas RAS de levaduras, también modificadas, logren transformar células de mamíferos con particularidades que hasta ahora solo se han encontrado en el caso de los oncogenes ras y que permiten una amplia gama de posibilidades de estudio, principalmente respecto a la función de las proteínas codificadas por los proto-oncogenes ras en las células normales, que es de las áreas más interesantes donde el estudio de los oncogenes ras puede aportar la mayor y la más valiosa información.

## INTRODUCCION A LOS ONCOGENES RAS

Los oncogenes celulares de la familia ras son versiones activadas de los proto-oncogenes c-Ha-ras, c-Ki-ras y N-ras. De los oncogenes descritos hasta el momento, los oncogenes ras están entre los más frecuentemente asociados a tumores humanos, pues han sido encontrados aproximadamente en 20% de los tumores humanos reportados (Yuspa y cols., 1984). Además como se encuentran activos en una gran variedad de tumores no se les puede considerar asociados a un tipo especial de tejido o de neoplasia.

Los genes ras se detectaron por primera vez en los virus de carcinoma murino de Harvey y Kirsten. Ambos oncogenes, denominados v-Ha-ras y v-Ki-ras respectivamente, se clonaron y con su ADN se hicieron "sondas" (fragmentos de ADN de cadena sencilla que cuando se hibridan con los diversos fragmentos resultantes de la digestión del ADN en estudio, con enzimas de restricción, localizan y se unen a los fragmentos que tengan una secuencia complementaria). Dichas sondas, en presencia del genoma de diversos organismos, como ratones, aves y humanos, detectaron 2 secuencias que se denominaron genes c-Ha-ras y c-Ki-ras (Lilis y cols., 1981). Así los genes c-Ha-ras y c-Ki-ras se encontraron en células humanas, tanto tumorales como normales. Cuando el ADN de células normales y malignas fue transfectado en células NIH-3T3, se detectó que en el ADN de una línea tumoral humana la línea EJ de tumor de vejiga existía un fragmento ausente en las células NIH-3T3 normales. Este fragmento resultó contener el gen humano homólogo del oncogéne viral v-Ha-ras. Con el fragmento detectado se obtuvo la primera sonda de un oncogéne celular humano (Horwitz y cols., 1982) que se utilizó para identificar los oncogenes c-Ha-ras y c-Ki-ras humanos en las líneas celulares de carcinoma de vejiga y pulmón respectivamente (Der y cols., 1982).

Desde entonces se han seguido aprovechando las ventajas de la línea celular NIH-3T3, que tiene la capacidad de expresar los oncogenes ras activos en células tumorales humanas; las células NIH-3T3 que expresan oncogenes ras se transforman, y son fácilmente distinguibles por su fenotípico característico, diferente del fenotípico de los fibroblastos normales, y además presentan un crecimiento distinto de las células normales, que crecen en monocapa. Cuando en una caja petri se sembran células NIH-3T3 transfecadas con ADN que incluye un oncogene ras, se observa la formación de foci de células transformadas, que son las que expresan al oncogén. Esta técnica para detectar oncogenes ras en el genoma de algún organismo o tipo celular, se conoce como "ensayo de transfección en células NIH-3T3" y es de las técnicas más empleadas para detectar oncogenes ras activos.

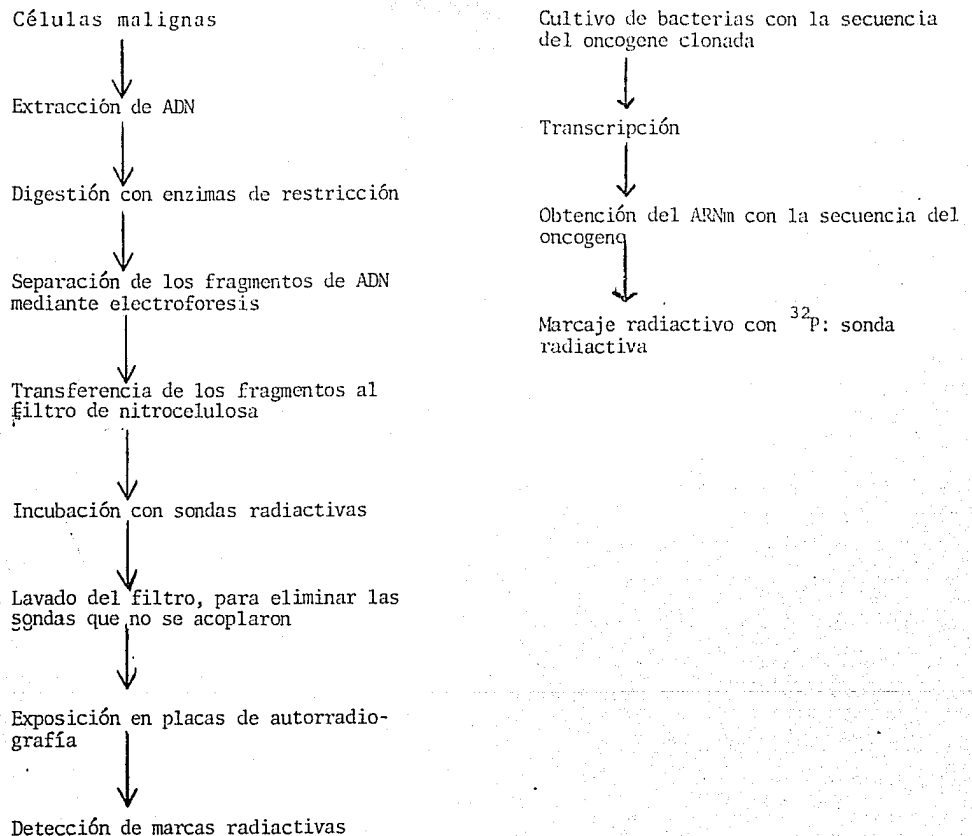
En la línea celular EJ se encontró que los fragmentos detectados con la sonda radiactiva c-Ha-ras eran prácticamente iguales a los que se obtenían en células normales por lo que el número de alces del gen en el genoma de las células tumorales debía ser el mismo que en las normales indicando que la diferencia en el número de alces no podía considerarse como un factor activante, al menos en este caso. La diferencia entre el proto-oncogene, y el oncogén que pudiera considerarse como el factor de activación no

En el caso de *ras* cuando se clonó el gen en su forma mutada para el codón 12 se detectó una mutación puntual en el codón 12. El proto-oncogén codifica glicina en este punto, y el oncogén codifica valina. Posteriormente se comprueba en forma directa que la mutación en el codón 12 es el mecanismo responsable de la capacidad onco-génica de p21 al clonar el proto-oncogén y el oncogén, y transfectando ambos en células NIH-3T3. El proto-oncogén no indujo ninguna transformación, pero al transfectar el oncogén, si aparecieron focos de células transformadas (Taparowsky y cols., 1982). Los genes *ras* fueron precisamente los primeros oncogénes cuya tumorigenidad se estudió de manera directa y reproducible.

Se estudió el ADN de una gran cantidad y variedad de tumores tanto humanos y no humanos, y mediante ensayos de transfección en células NIH-3T3 se detectaron oncogénes *ras* en diversos tipos de tumores. Sin embargo en un principio solo se conocía la mutación puntual en el codón 12 como la alteración que activaba *ras*, hasta que se reportó otra mutación puntual capaz de conferir capacidad transformante. La mutación en el codón 61 (Yuasa y cols., 1983). En las muestras de tumores *in vivo* solo se ha reportado otra mutación puntual que confiere tumorigenidad a *ras*, la mutación del codón 13 (Osa y cols., 1983). En los siguientes capítulos se ampliará más la información al respecto.

FIGURA 5

## DETECCIÓN DE ONCOGENES MEDIANTE SONDAS RADIACTIVAS



La sonda radiactiva es una secuencia de ARN, complementaria de la secuencia del oncogene que se estudia; si detecta y se une a su secuencia complementaria, no es retirada al lavar el filtro, y emitirá una señal radiactiva que será detectada en las placas de autorradiografía, indicando la presencia en las células malignas, de un oncogene activo.

YUNIQ, J. 1983. The chromosomal basis of human neoplasia.  
Science Vol:227-238.

El continuo perfeccionamiento de las técnicas de bandeo cromosómico ha permitido estudiar en detalle las células neoplásicas que en su mayoría presentan aberraciones cromosómicas. Las aberraciones más comunes reportadas son: Delección de bandas específicas, translocación reciproca entre 2 cromosomas, uno que no cambia, pero se rompe en un sitio (cromosoma constante o donador), y otro que varía (cromosoma receptor); también son comunes las trisomías. En linfoma de Burkitt se ha reportado la translocación del cromosoma 8 al 14 t(8;14) en el 100% de los casos estudiados, se ha detectado una t(7;22) en el 95% de leucemias mielogénas, monosomía del cromosoma 22 en 75% de meningiomas, delección de las bandas 31 a 36 (q13;q13) del brazo corto del cromosoma 1 en 11 de 14 neuroblastomas, y una t(6;14) en 26 de 26 carcinomas de ovarios, entre otros. En los cariotipos de 240 pacientes con leucemias, linfomas y carcinomas, 98% presentaron diferentes aberraciones: se detectó t(7;22) en 24 de 24 leucemias no linfocíticas tipo M3 (fase de desarrollo neoplásico); delección del brazo largo del cromosoma 5, o 7, o ambos en 11 de 24 leucemias no linfocíticas M2; inversión del cromosoma 16 en 5 de 5 leucemias mielomonocíticas; la translocación del cromosoma 11 al 8, 9, 10 o 17 en 6 de 11 leucemias monocíticas M5 o M4; t(9;22) o t(4;11) en 5 de 7 leucemias linfocíticas; delección del brazo corto del cromosoma 1 en 4 de 5 neuroblastomas; delección del brazo corto del cromosoma 3 en 4 de 4 carcinomas pulmonares y delección del brazo largo del cromosoma 17 en 3 de 5 retinoblastomas. Estas aberraciones pueden estar relacionadas con las alteraciones que activan los oncogenes.

PRUGSE, J. C. y ERICKSON, R. L. 1977. Identification of a transformation-specific antigen induced by an avian sarcoma virus. *Nature* 267:319-323.

Los virus de sarcoma de ave tienen la capacidad de inducir tumores en aves. El mecanismo que permite que estos virus puedan transformar no descubriérono pero se considera que existe un gene responsable de conferir tal capacidad codificando una proteína involucrada al menos en alguno de los procesos transformantes; dicho gene se ha llamado "src" (por sarcoma). Para caracterizar este gene y tratar de identificar su producto, se transformaron celulas de pollo con el virus de sarcoma de ave (ASV), y se indujeron tumores en hamsters con el mismo virus. Se infectaron conejos con el ASV, se desarrollaron tumores, y se extrajo suero que se analizo, y se encontraron anticuerpos contra el producto del gene src. Se hicieron extractos de las celulas transformadas, de pollo y de hamster, así como de celulas normales, se immunoprecipitaron con el suero de conejo y con anticuerpos específicos contra proteinas virales. En las celulas transformadas, el suero de conejo identifico una proteína con un peso molecular de 60 Kd, que no detectaron los anticuerpos contra proteinas virales ni se encontro en celulas normales, ni en celulas tratadas mas con otros virus. Se infectaron celulas con un virus mutante cuya oncogenicidad depende de la temperatura (CR ASV); a temperatura ambiente el virus es transformante, pero a 41 °C no lo es. Se cultivaron celulas infectadas con el virus CR ASV a temperatura ambiente transformadas, y en ellas se detecto la proteína de 60 Kd, pero en celulas cultivadas a 41 °C, no transformadas, la proteína se detecto con mucho menor intensidad, con cuando se immunoprecipitaron proteinas estructurales virales con igual intensidad en ambos tipos celulares indicando que la falta de la capacidad transformante no se debe a alteraciones estructurales del virus, sino a la inactivación específica de la proteína responsable de la transformación. La proteína de 60 Kd puede considerarse el producto del gene src.

- SMITH, C., SHILO, B., TALLMAN, M. R., BROWNSTEIN, A. y WEILAND, R. A. 1979. Passage of phenotypes of oncogeneally transformed cells via infection of NIH and fibroblasts. *Proc Natl Acad Sci USA* 76:3714-18.

Los mutágenos y carcinógenos químicos y virales transforman células *in vitro*, indicando que el blanco de sus alteraciones es el ADN, pero no se ha demostrado directamente que el ADN sea este blanco. Se estableció una prueba directa para estudiar la capacidad transformante del fenotipo maligno de célula a célula vía ADN purificado para intentar demostrar la existencia de genes capaces de generar una carcinogénesis. En transformación celular de ratón y rata con carcinógenos químicos *in vivo* o *in vitro* y se establecieron 15 líneas celulares se extrajo el ADN de estas líneas y se injectó en fibroblastos de ratón no transformados, la llamada línea NIH-3T3. El ADN de 5 de las líneas estudiadas indujo transformación en las células NIH-3T3 y las otras 10 transformaron muy pocas, o ninguna célula. Así se demuestra que en el fenotipo químicamente transformado ocurrió un cambio en el ADN que se estableció ahí, al grado de conservar la capacidad transformante después de extraerlo de la célula original e introducirlo en otra. En células transfecadas, el ADN externo que logra insertarse y transcribir generalmente no solo una parte, y es poco probable que en una misma célula se logren insertar y transcribir varios fragmentos que deben requerirse para transformar, lo que sugiere que la secuencia transformante está incluida en un solo gen. Se concluye que en el genoma humano ciertas secuencias genéticas dan capacidad para inducir una transformación maligna.

NEIL, J. C. y FOREST, D. 1987. Mechanisms of retrovirus-induced leukemias: selected aspects. *Biochem Biophys Acta* 907:71-91.

Los mecanismos por los cuales los virus de leucemia inducen transformación en las células, pueden ser:

Mecanismos directos.

1) Transducción, al integrarse al genoma viral un proto-oncogene celular.

2) Inserción de promotores virales (LTR), que alteren la expresión de un proto-oncogene celular.

3) Producción de una señal mitogénica aberrante por un gene normalmente involucrado en la replicación viral en la célula infectada.

4) Unión de algún receptor inmunológico viral, presente en la superficie celular, a su antígeno, aumentando la proliferación celular.

Los mecanismos indirectos incluyen alguna infección viral que pue de causar inmunosupresión o liberación de factores de crecimiento propiciando la proliferación de células que previamente fueron transformadas por otros agentes, o bien, que estimule la producción de linfocitos, aumentando la probabilidad de que en algun linfocito ocurran mutaciones que resulten en una tumoración. De estos mecanismos, los mas estudiados son:

Transducción. Un virus con el genoma de ARN transcribe a ADN mediante la acción de la enzima transcriptasa reversa, codificada por el gen pol del propio virus; este ADN sintetizado se integra al genoma celular. Cuando ocurre la transcripción en la célula, al transcribirse la zona donde se integra el virus el ARNm constituye nuevamente al genoma viral, pero también pueden quedar incluidas fragmentos con secuencias celulares cercanas. Si en este fragmento se encuentra un proto oncogene celular, su secuencia pasa a formar parte del genoma viral, y cuando el virus repite el ciclo e infecta otra célula, tendrá un gene viral transformante.

Otro mecanismo muy estudiado es la inserción de alguna secuencia viral de las llamadas LTR (Long Terminal Repeat), una secuencia de las conocidas como enhancers o aumentadoras, que aumentan el nivel de transcripción de los genes vecindarios en ambos sentidos, e incluso de genes no localizados en los sitios mas cercanos al LTR pues su radio de acción comprende una cierta distancia. Cuando un retrovirus transcribe su genoma de ARN a ADN y lo inserta en el genoma celular, el ADN viral incluye los LTR cuyo efecto altera también a los genes celulares, y si alguno de ellos es un proto-oncogene al aumentar su transcripción, puede activarse.

HOMLYN, P.J.H. y BREBITTE, H. H. 1983. Translocation joins c-myc and immunoglobulin gamma 1 genes in a Burkitt lymphoma revealing a third exon in the c-myc oncogene. Nature 304: 135-139.

El linfoma de Burkitt se caracteriza porque sus células presentan una alta incidencia de translocaciones específicas que alteran una parte del cromosoma 8, la región 8q24-qter. Esta translocación generalmente involucra la región 14q32 del cromosoma 14, y con menor frecuencia al cromosoma 2 (2p12), y al cromosoma 22 (22q11). En la región 14q32 se localiza el gene de la cadena pesada H de las immunoglobulinas, en la región 2p12, el gene de la cadena ligera Kappa (K), y en la 22q11, el gene de la cadena ligera Lambda. Se estudió la línea celular Raji de linfoma de Burkitt y se encontró que el gene c-myc está translocado en la zona adyacente al gene de la región constante de la cadena pesada H de las immunoglobulinas. Los genes translocados están en dirección contraria a la dirección de la transcripción. Se detectaron 2 ARNm diferentes, uno similar al del proto-oncogene c-myc típico de células normales, y otro de tamaño menor, que solo se expresa en células de linfoma de Burkitt. Al analizar los 2 ARNm se determinó que myc está formado por 3 exones. El primer exon se transcribe, pero no se traduce en la proteína, formada solo por los exones segundo y tercero; si transducirse c-myc se pierde el primer exon, sin embargo el nivel del ARNm de c-myc es mayor en las células malignas en comparación con las normales. Esto indica que la translocación de c-myc a la región adyacente al gene de la región constante de la cadena pesada H de las immunoglobulinas, altera su nivel de transcripción, y se puede considerar como el mecanismo responsable de la activación de c-myc en linfoma de Burkitt.

BURGANT, S., CAVES, L., LOIS, L. M., BURRENTINU, V. y BARBACID, M. 1985. *In-vitro gene amplification and malignant transformation.* Mol Cell Biol 5:2856-2861.

La amplificación de un proto-oncogene se considera un mecanismo que lo activa en oncogenes aunque se ignora como ocurre esto. Se investigó si para la activación, es suficiente con que existan múltiples copias del proto-oncogene c-Ha-ras humano sin otra alteración se transfecaron unas células NIH-3T3 con plasmidos con la secuencia del proto-oncogene c-Ha-ras humano otras con fragmentos con el proto-oncogene c-Ha-ras solo y otras con plasmidos control sin c-Ha-ras. Al traspantar 15-30 microgramos tanto de plasmidos como de fragmentos las células se transformaron, pero con 5 mg. o menos, no hubo transformación. Se detectaron entre 30-100 copias de c-Ha-ras por célula transformada, indicando que la transformación se debió al gran número de copias del proto-oncogene. Las células NIH-3T3 transformadas, se injetaron en ratones que desarrollaron tumores y murieron. En las NIH-3T3 transformadas los niveles de ARNm de c-Ha-ras y de la proteína p21 fueron mucho mayores que en las células control; tanto en el ARNm como en p21 el aumento fue proporcional al número de copias del proto-oncogene en el genoma de las NIH-3T3 transformadas. Se estudió la amplificación del proto-oncogene c-Ha-ras en humanos, analizando 75 muestras de tumores de pulmón, colon, recto y vejiga así como de 13 preneoplasias de colon, y 26 muestras de linfocitos normales, y únicamente en un tumor pulmonar se detectó c-Ha-ras amplificado 50-60 veces. Se concluyó que un número de copias del proto-oncogene c-Ha-ras, mayor al normal, es un mecanismo que activa su oncogenicidad, causando transformación celular, induciendo neoplasias en animales y posiblemente también en humanos, pues la amplificación de ras ocurre en neoplasias humanas aunque parece que no se presenta con mucha frecuencia.

DOWMWARD, J., YARDEN, Y., MAYES, E., SCAKE, G., NUTTY, N., STOCHORNELL, P., ULLRICH, A., SCHLESSINGER, J. y WATERFIELD, M. D. 1981. Transformational activity of epidermal growth factor receptor and v-erbB oncogene protein sequences. *Nature* 291:821-826.

Los factores de crecimiento son proteínas mitogenas que inducen la síntesis de ADN y la proliferación de células específicas en cultivo. Se ha reportado que el factor de crecimiento epidermal (EGF) parece influir en la proliferación y diferenciación celular su receptor se caracteriza por que posee la actividad de tirosina, actividad que comparte con proteínas onco génicas como erc. Se analizó la secuencia de aminoácidos del receptor de crecimiento epidermal, y se determinó que presenta una gran homología con el producto del oncogén viral v-erbB. El receptor del factor de crecimiento epidermal es una glicoproteína cuya peso molecular es de 175 Kd; la proteína simple pesa 138 Kd, mientras que el producto del oncogén viral v-erbB pesa 66 Kd aprox e incluye la región transmembranal y el dominio donde se localiza la actividad de tirosina cinasa, pero carece de la región localizada hacia la superficie de la célula. Probablemente el virus de eritroblastosis de rana, que presenta al oncogén v-erbB, tiene incorporado en su genoma solo una parte del gen del receptor al factor de crecimiento epidermal del genoma de ave donde ocurrió la inserción.

DOOLITTLE, R. F., HUMMEL, M. W., HUDD, L. E., DEVARE, S. G., ROPPINS, K. D., ARTHURSON, B. H. y ANTONIADES, H. N. 1983. Simian sarcoma virus onc gene v-sis, is derived from the gene (or genes) encoding a platelet-derived growth factor. *Science* 221:275-277.

La secuencia transformante del virus de sarcoma de simio, el oncogén v-sis, codifica una proteína de 28 Kd, llamada p28-sis. Por otro lado, el factor derivado de plaquetas (PDGF), es una proteína citosólica, sensible a diferentes temperaturas que circula en la sangre normalmente en los granulos alfa de las plaquetas se libera en el suero durante la coagulación de la sangre y es un mito fúrtito: consta de dos péptidos homólogos, PDGF1 y PDGF2. Al comparar las secuencias de aminoácidos del PDGF, y de la proteína p28-sis se encontró una estrecha homología, principalmente con el péptido PDGF2. Al parecer el virus de sarcoma de simio tiene en su genoma al menos un fragmento del gen que codifica el PDGF que pudo haber adquirido al introducirse en el genoma de simio, e insertarse en un sitio que resultó encontrarse cercano al locus del gen del PDGF, de tal manera que al ocurrir la transcripción, las copias de los virus recién sintetizados, llevaban incorporada la secuencia del gen del PDGF eucariótico, que en los virus manifiesta una actividad transformante.

CAR, J., MUNIZ, A., BOHM, R., GOLDBERG, Y.Y., GHYSDAEL, J., LEUTZ, C., REIG, R. y VENNERSTROM, B. 1983. The c-erbA protein is a high-affinity receptor for thyroid hormone. *Nature* 324:638-640.

El geno erb-A no es oncogenico por si mismo, pero aumenta la tumorigenidad de otros oncogenes, como el erb-B. En las celulas erb-A afecta los sistemas de transporte ionico y los factores reguladores de la diferenciacion. La secuencia del producto de erb-A muestra homologia con proteinas que actuan como receptores de hormonas. Para estudiar esta homologia, se secuencio tanto el ADN como la proteina de erb-A, que pesa 46 kd, se estudiaron los datos de los receptores hormonales conocidos para encontrar algun receptor con ese peso. El peso del receptor de la hormona tiroidea (T3) resulto coincidir con el buscado, y por ello se le analizo; el receptor de la hormona tiroidea tiene afinidad tanto por la T3 como por la hormona T4, ambas localizadas en el nucleo. Se puede considerar que la proteina del oncogene erb-A es homologa al receptor de la hormona tiroidea.

MICHAELSON, M., EVA, G., KRAUS, M. H., SRIVASTAVA, S. K., NEEDLEMAN, S. M., PIERCE, J. H., RHIM, J. S., GUL, R., REDDY, E. P., TRONICK, S. R. y AARONSON, S. A. 1984. *c-myc-related oncogenes of human tumors*. *Cancer Cells* 3:453-457.

La tecnica de transfeccion de ADN de celulas tumorales en celulas NIH-3T3, ha permitido identificar oncogenes miembros de la familia ras en muestras de muy diversos tipos tumorales. Tanto timos celulares como tumores primarios han resultado tener oncogenes ras, y su presencia se ha verificado mediante otras tecnicas, como la de Southern (mediante sondas de ADN). Se aisló ADN de 10 tumores y 12 linfas celulares, detectandose genes ras en 5 tumores y 3 linfas, en los que se encontraron alterados tanto el c-H-ras como el c-K-ras, y aun el recientemente descrito N-ras (en neoplasias hematopoyeticas, como leucemias y linfomas, es el mas frecuentemente alterado de los 3). Las mutaciones activantes encontradas fueron del codon 12 y del 61. Se establecio que las alteraciones en oncogenes ras no son artefactos debidos a la manipulacion y que, de acuerdo con nuestros datos y los reportados en la bibliografia, la frecuencia de activacion de genes ras en neoplasias humanas es aproximadamente de 10-20%.

- ELLIOTT, R. H., DEIDES, D., SHIN, Y. Y., SONDHA, H. A., YOUNG, H. A., TSUCHIDA, M., LOWY, I. R., SUDENICKS, E. B. 1981. The p21 src oncogene of Harvey and Kirsten sarcoma viruses originate from different members of a family of normal vertebrate genes. *Nature* 292:1506-1511.

Los virus de sarcoma murino de Harvey y Kirsten (HaMuSV y KiMuSV) poseen una secuencia oncogénica que codifica una proteína con un peso molecular de 21 Kd, llamada p21. Se analizaron ambos virus, y se determinó que la secuencia oncogénica se localiza hacia el extremo 5' del genoma de ambos. Se visualizaron al microscopio electrónico las dos secuencias y se observaron 2 fragmentos de poca homología entre otros 3 de homología casi total entre ambas regiones donde se localizan las secuencias transformantes. Se aislaron las secuencias del resto del genoma viral, y se hicieron sondas con las mismas. La sonda con la secuencia transformante del HaMuSV se empleó para estudiar el genoma de células transformadas con el Ki-MuCV detectándose un fragmento distinto ausente también en células control que se confirmó la especificidad de las sondas. Estas sondas se utilizaron para estudiar el ADN de células de rata, ratón, pollo y humano; la sonda de HaMuSV detectó 1 o 2 fragmentos de cada caso, y la sonda de Ki-MuSV detectó de 1 a 3 fragmentos. Los fragmentos detectados con cada sonda son diferentes. Estos resultados indican que los oncogenes de los virus Ha-MuSV y Ki-MuSV no pueden provenir de un solo gene, que adquirió variaciones al incorporarse en cada virus; en realidad lo que al parecer ocurrió es que cada virus incorporó un gene distinto, de los 2 genes presentes en el genoma progenitor, que aunque son muy similares, son dos genes diferentes.

PORADA, E. F., TREIM, S. J., SHIH, C. y WEINBERG, R. A. 1982. Human E6 bladder carcinoma oncogene is homologue of Harvey sarcoma virus ras gene. *Nature*, 297:474-478.

Se han descrito dos grupos de oncogenes: El primero consiste en los oncogenes que se han encontrado por su asociación con oncogenes retrovirales, y el segundo son los genes detectados mediante ensayos de transfección de ADN tumoral de mamífero, en células que se transforman por efecto de los oncogenes expresados en las células tumorales. Para saber si en ambos grupos existen oncogenes comunes, se hicieron sondas con el ADN de 7 oncogenes del primer grupo, para estudiar células NIH-3T3 transfectadas con 7 oncogenes del segundo grupo. Se analizaron los fragmentos de ADN de las NIH-3T3 cortando con la enzima EcoRI tanto de las células sin transfectar como de las transfectadas con los 7 oncogenes del segundo grupo y sólo en las células transfectadas con ADN de la línea celular E6 de vejiga humana, se hibridar con la sonda del oncogéne c-Haras de genoma de ratón, se detectó un fragmento de 75,000 pares de bases, ausente en el resto de las células. Al digerir con BamHI se encontró un fragmento de 6.6 Kh, con el oncogéne c-Haras humano, con el que se elaboró una sonda para analizar ADN humano normal, y se detectó el mismo fragmento que con la sonda de ratón. Esta nueva sonda de origen humano detectó el mismo fragmento que la sonda original en las NIH-3T3 transfectadas. Se analizó el ARNA de las células E6 y las células transfectadas, y se encontraron transcriptos de 1.1 y 0.1 Kb, ausentes en las células control. Se concluye que el oncogéne del genoma de la línea celular E6 es homólogo al del oncogéne del genoma de ratón, y por lo tanto, también al del virus de sarcoma murino de Harvey. Este es el primer oncogéne de origen humano caracterizado.

BER, C. J., KROMTHIRIS, P. G. y GOODMAN, G. M. 1982. Transforming genes of human bladder and lung carcinoma cell lines are homologous to the *ras* genes of Harvey and Kirsten sarcoma viruses. Proc Natl Acad Sci USA 79:3637-3640.

En el genoma humano existen secuencias capaces de inducir transformación *in vivo*, de transformar células en cultivo. Para estudiar dichas secuencias, se extrajo el ADN de dos líneas celulares tumorales humanas, una de vejiga y otra de pulmón, se transfeció dicho ADN en cultivos NIH-3T3 que se transformaron, y en su genoma se detectaron fragmentos de origen humano. Con las sondas de los oncogenes virales v-H-ras y v-H-ras se analizaron los fragmentos humanos que resultaron ser homólogos, indicando que las secuencias humanas responsables de la transformación de las células NIH-3T3 son genes homólogos a los oncogenes ras virales. Se encontró que los niveles de la proteína p21 en las líneas celulares, y en las células NIH-3T3 son de 2-4 veces más altos que en las NIH-3T3 sin transformar lo que comprueba que los oncogenes celulares c-H-ras y c-K-ras intervienen directamente en la transformación.

TAPARUGOSKY, E., GUARD, V., FAGANO, O., SHIMIZU, K., GOLDFARB, O. y WISLER, M. 1982. Activation of the T24 bladder carcinoma transforming gene is linked to a single amino acid change. Nature 295:742-745

Se ha reportado la existencia de un gen homólogo al oncogén viral v-H-ras en la línea T24 de carcinoma de vejiga humana, capaz de transformar células NIH-3T3. Para eliminar la posibilidad de que la actividad oncogénica causante de la transformación de las NIH-3T3 se haya alterado en el curso de la transfección se determinó con precisión el mecanismo responsable de dicha activación. Se digirió el ADN de las células T24, y de células de placenta humana, y los fragmentos se clonaron por separado en fagos lambda formando un conjunto o librería genómica. Se aislaron los fragmentos que contenían la secuencia del gen c-H-ras, tanto del genoma de la línea T24 como en la de placenta, y se hicieron ensayos de transfección en células NIH-3T3. Los fragmentos de la línea T24 transformaron las células, pero los de placenta no. Se comprobóvaron varios genes híbridos con secuencias de los genes de T24 y de placenta. Hasta que se delimitó la región responsable de la actividad, y al secuenciar dicha región se encontró una única diferencia: Una mutación puntual en el codón 12. Se comprobó así que el gen c-H-ras mutado en el codón 12 es un oncogén activo.

- MUNOZ, M., SRIVASTAVA, S. K., DUNN, C. Y., RHIM, J. S., REDDY, E. P. y GARDINER, B. L. 1985. Acquisition of transforming properties by alternative point mutations within c-bas/has human proto-oncogene. *Nature* 312:773-775.

Entre los oncogenes mas estudiados se encuentran los pertenecientes a la llamada familia de oncogenes ras. Uno de ellos se encuentra en el genoma de rata, de donde se incorporo en el virus de sarcoma de Harvey, mientras que el mismo gene, pero en el genoma de raton, se incorporo al virus de sarcoma de RALB; los dos genes son identicos y se consideran uno solo, llamado c-bas/has, o c-Harvey. Para estudiar estos genes se establecio una linea celular llamada He242 a partir de un carcinoma pulmonar. Se hicieron ensayos de transfeccion con RBN de la linea He242 en NIH-3T3, las cuales se transformaron, se analizaron con sondas de los genes Ki-ras y Harvey y solamente la sonda de Harvey detecto un fragmento, que se clono y corto con la enzima  $Hpa$ -I, cuyo sitio de corte se modifica cuando existe la mutacion en el codon 12, obteniendo fragmentos diferentes con el proto-oncogene que con el oncogene. Los fragmentos obtenidos correspondieron al proto-oncogene. Se determino la secuencia del primer exon del oncogene de las células He242, y el codon 12 no se encontró mutado. El mecanismo activante del oncogene de esta nueva linea debia ser diferente de los mecanismos conocidos, por lo que se secuencio todo el gene y se detecto una sola diferencia en el codon 61: El proto-oncogene codifica glicina, y el oncogene detectado codifica leucina. Esto significa que existe otro mecanismo de activacion, mediante una mutacion puntual en el codon 61, lo que sugiere que tal vez existen mutaciones activantes diferentes, e incluso distintos mecanismos, aun desconocidos, que activan a los genes ras.

BOG, J. L., TURBOV, D., MANGHILL, S. J., VERLAAN-DE-VRIES, M., VREENENH, G. H., VAN DER EED, A. J., VAN AGOM, J. H., JANSEEN, J. H. C. Y. SCHIJFVELD, R. H. N. 1980. Amino-acid substitutions at codon 13 of the N-ras oncogene in human acute myeloid leukaemia. *Nature* 285:712-713.

La leucemia mielocítica aguda es una neoplasia que se caracteriza por la proliferación y diferenciación anormal de células mieloides, monociticas y eritroides. El ADN de 5 pacientes con leucemia mielocítica aguda se transfirió en células NIH-3T3, inicialmente sin que se indujera ninguna transformación. Se cotransfirió el SV40 de células tumorales seleccionadas in vivo con el plasmido pSV2-Nras, y se cultivaron las células transfectadas en presencia de antibióticos; solo sobrevivieron las que incorporaron tanto al plasmido como al ADN transformante. Las NIH-3T3 transfectadas se invadieron en ratones, en los que se desarrollaron tumores. El ADN de las NIH-3T3 transfectadas se hibridó con sondas de los genes H-ras, K-ras y N-ras, y solo hubo reconocimiento con N-ras. Al hibridar con sondas que contenían tanto al proto-oncogene como al oncogéne mutado en el codón 12, y al oncogéne mutado en el codón 61, ninguna de las 3 sondas detectó plenamente al oncogéne alterado. En la bibliografía se ha reportado que las mutaciones dirigidas en el codón 13 de los genes ras también los activan, en experimentos *in vitro*, por lo que se hibridó con una sonda capaz de reconocer mutaciones en el codón 13, y con ella se detectó plenamente al oncogéne N-ras. La mutación punto del codón 13 consiste en un cambio de glicina en unos casos por valina y en otros por ácido aspártico. Se analizaron directamente 18 muestras de sangre de los pacientes y también se detectó la mutación en el codón 13 con lo que se demuestra la existencia de este nuevo mecanismo de activación, que no detecta con técnicas más sensibles, como las que se utilizaron en el presente trabajo, y que quizás por eso no se había reportado anteriormente en muestras de tejido tumoral.

El oncogénero viral virus fibroblastico de Harvey es el virus que se considera responsable de la carcinogenesis transformante de los ratones. El virus de sarcoma murino de Harvey (MuMuSV) y el virus de sarcoma maligno de Kirsten (KiMuSV) (Ellis y cols., 1971), ver pag. 291. Los dos virus tienen deficiencias para replicarse, y al entrar en una célula requieren de otro retrovirus para su replicación. Tienen la capacidad de transformar fibroblastos en celulas y de inducir carcinomas y sarcomas. MuMuSV y KiMuSV son virus que surgen tras el infectar ratos con virus de leucemia murina, que携带者 de secuencias oncogenicas (Harvey, 1964; Kirsten y Mayor, 1947).

Se pueden reconocer secuencias tanto de origen viral como de origen celular en los virus MuMuSV y KiMuSV.

El genoma de estos virus posee heterogeneidad principalmente en 2 componentes (Chien y cols., 1978):

1. Dos regiones de secuencias homologas al virus parental de leucemia murina, localizadas en la region del extremo 5' y los ultimos pares de bases de la region 3' del ADN viral.

2. Un segmento proveniente del genoma de rata que incluye el oncogene *v-H-ras*.

El virus de sarcoma murino de Harvey fue el primer virus capaz de causar cancer en mamiferos que se logro aislar, y surgió al infectar ratos con el virus de leucemia murina de Moloney (MoMuLV), con muestras obtenidas en dichos ratos al infectar en otras ratas, y así sucesivamente hasta que se obtuvo el virus MuMuSV. El genoma de MuMuSV mide 5.5 Kb aprox., siendo compuesto por dos fragmentos de secuencias provenientes del virus MoMuLV parental un fragmento de 100 pares de bases en el extremo 5' y otro de 700 pares de bases en el extremo 3'. El resto de su genoma proviene del ADN cellular de rata (4.5 Kb), en el que se incluye un segmento de 1.0 Kb aprox situado hacia el extremo 5' que corresponde al oncogene *v-H-ras* (Ellis y cols., 1980) denominado *v-H-ras*, que ya se ha secuenciado en su totalidad (Dhar y cols., 1982).

El virus de sarcoma murino de Kirsten se origino en forma similar al de Harvey, mediante el pasaje del virus de leucemia murina de Kirsten en ratas. Incluye un fragmento con secuencias del genoma de rata, de 4.5 Kb y 2 fragmentos con secuencias del virus parental, en los ultimos 1000 pares de bases del extremo 3', y en los primeros 200 pares de bases del extremo 5' (Shih y cols., 1978). El tamaño de su genoma es de 7.7 Kb aprox., y entre las secuencias de origen celular incluye un fragmento de 1 Kb aprox., ausente en el genoma del virus de Harvey. En el extremo 5', entre las secuencias provenientes del genoma de rata se encuentra el oncogene *v-Ki-ras* en un fragmento de 1.3 Kb aprox., tambien totalmente secuenciado. (Tsachida y cols., 1982).

En un principio se descubrió la relación entre estos oncogenes virales, por lo que se denominaba *v-H-ras* al *v-H-ras*, y *v-Ki-ras*, al oncogene *v-Ki-ras*; posteriormente al determinarse sus similitudes, se los unificó como oncogenes de la familia *rns*.

Los virus MuMuSV y KiMuSV son los que mas se han estudiado, pero no son los únicos que tienen oncogenes *v-ras* también existen secuencias oncogenicas en el virus de sarcoma de rata de Rasheed (*Ra-MuSV*). Llamado oncogene *v-Rasras* (Eonda y cols., 1982), y en el virus de sarcoma de ratas de BALB (BALB-MuSV) que en un principio

principio se definió como otro oncogene que se llamó v-bas pero después se asoció con los genes ras (Andersen y cols., 1981).

Las secuencias de los oncogenes del virus de SV40, y del virus de Rous sarcoma parecen más a la secuencia de v-Ha-ras, posiblemente debido a que el proto-oncogene c-Ha-ras del genoma de rata, se incorpora de manera independiente en los virus HauSV y RaMuSV mientras que el proto-oncogéneo c-Ha-ras del genoma de ratón se integra al virus SV40. Esto se ha demostrado infectando ratones con virus de leucemia murina; si tratar de recuperar nuevamente estos virus se los encuentra pero unidos a fragmentos celulares, en los que se han incorporado proto-oncogenes ras. (Fredrickson y cols., 1987).

Los oncogenes virales ras codifican una proteína conocida como p21 (Shih y cols., 1979a) que es la proteína responsable de la transformación maligna (Shih y cols., 1979b). p21 consta de 189 aminoácidos y fue descrita aun antes que los oncogenes ras; en un principio se consideró como otro producto del oncogene src distinto de la proteína pp60-src que ya se conocía. Fue hasta dos años después cuando se describió como producto de otro oncogene que se llamó ras, por "rat-sarcoma". Las propiedades bioquímicas de p21 viral son su afinidad por los nucleótidos de guanina (GTP y GDP), y su capacidad para autofosforilarse en la glutamina-59, en presencia de GTP específicamente (Shih y cols., 1980).

Las secuencias genéticas de v-Ha-ras y v-Ki-ras difieren un 25% en las primeras 165 codones, pero sus correspondientes proteínas presentan solamente 17 aminoácidos diferentes. En el extremo amino terminal de ambas proteínas p21, la del oncogene v-Ha-ras y la de v-Ki-ras existe una glicina homóloga, pues de 120 aminoácidos solamente 10 son diferentes, pero en el extremo carboxilo la homología es mínima de 22 aminoácidos solamente hay 3 iguales, y sin embargo ambas proteínas comparten el 81% de sus aminoácidos. Cabe señalar que de 177 cambios de bases en las secuencias de ambos oncogenes, 103 no alteran los aminoácidos codificados lo que indica que p21 se ha conservado mucho a lo largo de la evolución, y también indica que si los mecanismos mediante los cuales ambas proteínas virales son capaces de transformar deben ser muy similares (Dhar y cols., 1982 ver pag 38); Tsuchida y cols., 1982 ver pag 39).

INVESTIGACIONES EN RODILLAS. DIFERENCIAS ENTRE VARIANCIAS ALFA Y BETA EN RODILLAS INOCULADAS CON VACUNA ALFA O BETA.

Si se suman los resultados de Melkonyan (fig. 4), tienen la siguiente relación de inducir leucocitosis en rodilleras. Cada virus se incluye en un factor del que se detallan otras que se dividen en otras 10 y se incluye de este segundo entre los factores, se reporta en otros 15 ratones más, incluyendo, de los cuales solo 8 se convirtieron. A los 32 días 5 de estos ratones presentaron leucocitosis y tumores en el cercro del sitio de inyección en la mayoría de los ratones la lesión fue causada por la ruptura del hueso cuando la velocidad de los dientes, fue desendolcida de la edad de los ratones, pero en los que tenían 1-7 días de edad, no desarrollaron tumores ni leucocitosis, al igual que no ratones de hasta 10 días, entre los 10 ratones de 11-12 días de edad inyectados, se presentaron los mismos síntomas, pues de estos 10 desarrollaron leucocitosis y solo en 2 se presentaron tumores. Para determinar si en los ratones infectados aun se presentaba el virus de Tulare original, se inocularon ratones de 7 días de nacidos con el pliego filtrado original, y se obtuvieron muestras de estos ratones a los 3, 10 y 14 días. Una vez que se han de inyectarlos en otros ratones de 1-3 días de edad, los ratones de 10 y 14 días independientemente de su edad, desarrollaron leucocitosis y tumores y cuando se inyectaron con los numeros de 3 días, desarrollaron leucocitosis hasta los 70 días, con lo cual se verificó que el virus MLM original seguía presente en las muestras sin embargo en la inducción de sarcomas se unió de los propiedades reportadas para el virus MLM, lo que sugiere que existe otro virus transformante induciendo los sarcomas, pero no se encontró ningún otro virus contaminante. Se concluye que existe otro virus con capacidad para inducir sarcomas, similar o relacionado con el MLM, que aun no ha sido reportado.

KIRSTEN, M. J. M. y HARVEY, L. B. 1977. Determinación comparativa de la secuencia genética del virus Harvey. *Infect Dis.* 125: 103-108.

El virus de sarcoma murino (MSV) es conocido en ratas reaccionando con anticuerpos de linfocitos de ratas liberados a los 6-7 meses. Con el desarrollo de ratas se determinó en ratas 17 ratas y en las cuales predominaron linfocitos en 14 de 17 ratones. El resultado es que cuando accede el virus, muere en 20%, y las otras sobreviven de 100 a 1000 días. A el resto de los ratones linfocitos mueren dentro de 100 días. Se realizó en el hígado de ratas con 10 tipos de inyecciones por lo que se midieron tres tipos de virus que incluyen heterólogos de linfocitos de rata en hígado del hígado que se liberan en 17 ratas las cuales son ricas en linfocitos y 100-120 días en 10 de 11 ratas se observó que vivían y se enfermaron de virus de linfocitos linfocitarios. Los resultados fueron que se produjeron 100% de 100 ratas que vivieron más de 100 días. En cambio, en 100 ratas que no vivieron más de 100 días se produjeron 100% de 100 ratas que vivieron más de 100 días. Se hicieron 6 pasajes más y se obtuvieron resultados similares para en cada pasaje, fue disminuyendo el tiempo que sobrevivían las ratas después de la inyección, hasta que se redujo a 12 días. Se realizaron experimentos similares en ratones y los resultados fueron aun mas severos. De los ratones infectados con inyecciones de ratas con eritroblastosis, al 93-100% desarrollaron eritroblastosis y sobrevivieron solamente por 3-4 semanas. El hecho de que el virus MEV tiene la capacidad de inducir tanto eritroblastosis como sarcomas, es una doble manifestación que no se había reportado antes, por lo que se intentó detectar algún virus contaminante y no se encontró ninguno, lo que indica que envío otro virus asociado al virus MEV original, que es responsable de inducir sarcomas, y que hasta ahora no le ha sido identificado.

CHIEN, Y.-H., LAI, H., CHIM, T. Y., VERMA, I. M., SCOLNICK, E. M., ROY-BURMAN, P. y DAVIDSON, N. 1977. Heteroduplex analysis of the sequence relationships between the genomes of Kirsten and Harvey-sarcoma viruses, their respective parental murine-leukemia viruses, and the rat endogenous retrovirus. *J. Virol.* 31(4):1732-1740.

La relación entre las secuencias del virus de sarcoma, y de leucemia murina así como la relación entre las secuencias virales y las secuencias derivadas del cáncer celular de rata se determinaron observando su complementariedad al microscopio electrónico. El virus de sarcoma murino de Harvey (MuMuSV) presenta secuencias homólogas a las del virus parental de leucemia murina de Moloney (MLV) en segmentos situados a ambos extremos del genoma de MuMuSV. El virus de sarcoma murino de Kirsten (KiMuSV), presenta una gran región de homología con las secuencias del genoma de rata, localizada hacia el centro del genoma viral. MuMuSV y KiMuSV presentan dos regiones de homología una en la región de 1.0 kb del extremo 3' y otra en la región de 700 pares de bases en el extremo 5'. Se concluye que MuMuSV y KiMuSV presentan tanto secuencias provenientes del genoma de la rata, como secuencias derivadas de los virus de leucemia parentales, y que las regiones de homología entre ambas virus pueden tener la secuencia que codifica la proteína p21.

ELLIS, R. M., DEPEZ, G., MARYATT, J., MARYATT, M. A., SAUH, T., Y. CHANG, F. H., LEE, D. P. y BRENTANO, W. H. 1970. Dual oncogenes carry a functional c-myc oncogene of Harvey murine sarcoma virus. *J. Virol.* 24:100-104.

Se obtuvo un codo de restricción identificado del genoma del virus de sarcoma murino de Harvey, consistente en una secuencia de doble cadena cuyas secuencias no se sobreponen. Se comprobó en efecto la similitud del genoma y con su componente de RNA de virus de rata que presentan las secuencias intercaladas en los virus de Harvey y los ratas. Al hibridar la secuencia de rata con el genoma viral, se evidenció una región no homóloga hacia el extremo 5' con similitudes moderadas a ambos extremos. Con la misma no se obtuvo un hibrido el genoma de rata, ratón, hamster y pollo. Determinando de 1 a 3 segmentos en cada caso con 2 enzimas que da la secuencia no homóloga se trató de identificar la región que codifica la proteína transformante p21, pero ninguno de los 2 fragmentos exhibió transformación por si solos, pero al unirlos al fragmento restante de la única presente capacidad transformante. Este indica que existe una región en el extremo 5' de ambos virus que esencial para codificar la proteína p21 y por lo tanto para la oncogenicidad carcinogénica de estos virus.

DHAB, R., ELLIS, R. M., DEPEZ, G., CAMPBELL, R., MARYATT, J., LERY, B. y SCOLNICK, E. 1982. Dualistic sequence of Mu-p21 transforming protein of Harvey murine sarcoma virus. *Science* 217:734-737.

Se analizó la secuencia de 1 kb del extremo 5' que incluye la proteína p21 de Harvey y sus posibilidades reguladoras, y se encontró que esta secuencia tiene capacidad para codificar 3 proteínas distintas p30, p27 y p21, cuya ubicación de inicio de la traducción están en las posiciones 78, 142 y 173, con sus respectivas cajas TATA y sus tres codones potenciales de inicio de la traducción en las posiciones -52, -39 y +1 respectivamente. De estos 3 posibles polipeptidos solo se conoce la proteína p21, pero se ha reportado la existencia de una proteína que bien puede ser p30, en cantidades mínimas, apenas detectables en células de rata, de conejo y p32 no se ha reportado. Se encontró un cuarto sitio de inicio de la traducción en la posición 16 en sentido inverso a los otros 3 por lo que no se considera viable, y también existe un promotor potencial de APM-polimerasa III sobrepujado parcialmente a los otros 3 promotores, cuyo significado funcional se desconoce. Al comparar las p21 de los virus de sarcoma murino de Harvey y Kirsten, se observa una gran homología, en la mitad de la proteína del extremo amino donde de 120 aminoácidos 110 son iguales. Por el contrario en el extremo carboxilo de 22 aminoácidos solo 3 son iguales. Es importante señalar que 19 de 33 cambios entre ambas proteínas son de tipo conservativo y que de los 169 cambios de base en sus secuencias genéticas, 105 no alteran los aminoácidos en las proteínas p21 de los oncogenes v-Ki-ras y v-Ma-ras.

SHIH, T. Y., YOUNG, M. A., CONNIN, J. H. y SCOLNICK, E. M. 1978. Physical map of the Kirsten sarcoma virus genome as determined by fingerprinting K11a rat fibroblasts. *J Virol* 25: 272-277.

Se analizaron los oligonucleótidos del virus de sarcoma murino de Kirsten (K11MuSV) para determinar el mapa del genoma del virus. Se detectaron oligonucleótidos provenientes del virus parental de leucemia murina de Kirsten (K11MuV) en el extremo 3' del genoma del K11MuSV con un tamaño de aprox 1000 nucleótidos, a partir del cual las secuencias correspondían al genoma parental de rata, se extendían hasta muy cerca del extremo 5' y en el fragmento del extremo 5', se suave se encontró en secuencias del virus parental. Se comparó el genoma de K11MuSV con el resto de la secuencia del genoma celular homóloga a la del virus de Kirsten, y se encontraron más de 50% de bases similares entre ambos lo que indica que la secuencia de bases primaria es similar en más del 50% de ambos genomas. Se concluye que el virus de sarcoma murino de Kirsten, surgió por una recombinación entre los extremos 3' y 5' del virus de leucemia murina de Kirsten parental, y de un considerable fragmento de secuencias provenientes del genoma celular de la rata originalmente infectada por los virus de leucemia parentales.

TSUCHIDA, M., RYDER, T. y OHTSUBO, E. 1982 Nucleotide sequence of the oncogene encoding the p11 transforming protein of Kirsten murine sarcoma virus. *Science* 217:737-740.

La secuencia localizada entre los 1.7 Kb y los 3.0 Kb del extremo 5' del genoma de K11MuSV que comprende al oncogén p11 viral se analizó mediante digestión endonucleasa. Se logró determinar la secuencia del oncogén, y se identificaron los sitios de inicio y terminación de la traducción. Este oncogén tiene capacidad para codificar una proteína de 157 aminoácidos cuyo peso molecular calculado es de 17,000 daltonos, la proteína p11. Se compararon las secuencias transformantes de ambos virus de sarcoma murino, el de Harvey y el de Kirsten (H11MuSV y K11MuSV) así como sus respectivas proteínas y se determinó que el oncogén de K11MuSV es ligeramente mayor que el oncogén de H11MuSV. Existe una gran homología entre las dos secuencias excepto por los 22 aminoácidos del extremo carboxilo de la proteína p11 de c-Kirsten. En los primeros 165 aminoácidos, aunque el 50% de las bases son distintas, solo existen 17 aminoácidos diferentes, pues la mayoría de los cambios ocurren en la tercera base de cada codón diferente por lo que no se traducen en las respectivas proteínas onco génicas, que son muy similares.

SHIBA, M., A. YOKO, M. H., SIEBEL, M. E., RABKOFF, S., TALNOVES, C., P. NAGASHIMA, K., L. L. FALKOWSKI, M. V. COHEN. Isolation and cloning, genomic analysis and biological properties of the oncogenic virus and the non-oncogenic rat fibroblast cell transformants. J. Virol. 53:750.

El virus de sarcoma de rata de Rauscher codifica una proteína con un peso molecular de 70,000 daltones que se codifica el virus parental de leucemia de rata de Rauscher. Esta proteína es el producto de una parte del geno gag viral y de otra secuencia que codifica una proteína de 71 Kd. Sección de la secuencia de aminoácidos rara. El oncogén del virus de sarcoma de Rauscher (RasV) se denominó v-Ras. Se determinó la homología entre v-Ras y otros oncogenes virales rat. Analizando el microscopio electrónico los genomas del virus Rauscher, del virus de leucemia de Rauscher (Rat V) y de los virus Harvey y Nietham. Se encontró que en el virus de Rauscher aparecen secuencias del virus RatV parental pero se conserva solo una parte del geno gag original e incluye la secuencia del geno ras del genoma de rata en el anticodo 3'. En el microscopio electrónico se observó que si se mezclan el Rauscher presenta gran homología con el oncogén del virus de Harvey más que con el oncogén del virus de Nietham. Con el que también tiene una importante homología. Se concluyó que el mismo fragmento con el geno ras del genoma de rata, fue incorporado por los virus de sarcoma murino de Harvey y de Rauscher de manera independiente.

ANDERSEN, P. B., DEVARÉ, S. G., MURKIN, C. R., ELIS, R. W., AARONSON, S. A. y CRALLISTER, E. H. 1981. Separation of BALB-MuGV by type C virus transduction of heterologous transforming genes for different species. Cell 26:129-134.

El virus de sarcoma de rata BALB (BALB-MuGV), fue encontrado por su capacidad para inducir cánceres en los ratones de la cepa BALB. Esta capacidad está dada por una cecotransis transformante en el genoma viral, denominada oncogén bas. Se determinó la secuencia del oncogén bas, hibridando con sondas de otros oncogenes y solo hilando con la sonda del oncogén del virus de sarcoma murino de Harvey. El oncogén del virus de Harvey comparte un segmento de 750 pares de bases con el oncogén bas, ademas se encontró que la transformación inducida con el virus BALB, esta asociada con la expresión de niveles elevados de una proteína con un peso molecular de 21,000 daltones, que se analizó inmunológicamente y resultó ser muy similar a la proteína p21 del virus de Harvey.

FREDRICKSON, T. N., O'MALLEY, K. R., RUTLEDGE, R. A., THEODORE, T. S., HARTLEY, M. A., ROSENBLIT, S. A., RUSTIN, J. B. y HARTLEY, J. W. 1971. Biological and molecular characterization of two newly isolated rat-sarcoma containing murine leukemia viruses. *J Virol* 61:2109-19.

La transducción retroviral de oncogenes celulares provenientes de células malignas, es el mecanismo que confiere oncogenicitad a los virus. Este mecanismo se investigó inoculando virus de linfocita murino en ratones recién nacidos y adultos, sacrificados al presentar diarrea, leuciomegalias y linfadenopatía; las muestras de estos ratones a su vez se inocularon en otros, que presentaron leucemia y sarcomas. El ADN de estos últimos se analizó con sondas de Harvey, Minkas, V-raf, v-myc, v-sar, y también se estudió su capacidad para transformar células NIH-3T3. En las muestras de un ratón con leucosarcoma y sarcoma de bazo se detectó un virus alentemente transformante de las NIH-3T3, que se llamo NS.C58 MSV-1. Este virus es característico tiene un tamaño de 5.8 Kb aprox., y su genoma híbrido con muras y bao, y un poco menos con Kir-mras. Unos ratones se inocularon con este virus y otros con muestras de tumores inducidos con el mismo virus, y de ellos un 60% desarrollaron leucemias y linfomas y solo 2 desarrollaron sarcomas; en las muestras de virus de ratón sólido se encontró un virus que se denominó NS.C58 MSV-2 cuya inactividad no se estudió tan detalladamente como la del NS.C58 MSV-1, pero se detectó una inserción de 100 a 200 pares de bases en la región 3' no codificante del geno ras que posiblemente se insertó. La secuencia del NS.C58 MSV-1 es casi idéntica a la del oncogene v-rabs con solo dos nucleótidos diferentes, uno de ellos en el anillo 1C, que en rabs codifica lisina y en el virus NS.C58 MSV-1 codifica arginina. Los dos virus NS.C58 MSV-1 y NS.C58 MSV-2 se inocularon en ratones recién nacidos, que murieron en 1-2 semanas independientemente del sitio de inyección. Se hicieron los mismos en ratones con más de 3 semanas de nacidos, y no resultaron susceptibles a la infección. Las lesiones causadas por estos virus y por los virus de BALB, Harvey y Kirsten son iguales: teratomas de bazo, nódulos linfáticos, músculo esquelético cerebro y médula espinal y eritroblastemias. Se concluye que la inserción de genes v-ras en retrovirus puede ocurrir al menos en el laboratorio, y probablemente también en la naturaleza, de manera espontánea.

SHIM, T. Y., WEEKS, M. G., YOUNG, R. A. y SCULNICK, E. M. 1977a. Identification of a oncogene similar to the *src* oncogene present in nontransforming cells transformed by Kirsten murine sarcoma and Harvey murine viruses. *J. Virol.* 31:554.

Los virus de carcinoma murino de Harvey y de Kirsten tienen la capacidad de transformar células en cultivo. Se estudió la oncogenicidad de estos virus transformando células de ratón, de perro y de rata de mink con el virus de carcinoma de Harvey, y estos celulares a su vez se injertaron en ratas. La células desarrollaron tumor. Con los ratas infectadas se preparó un antisuero para immunoprecipitar posibles proteínas virales y se detectó una proteína con un peso molecular de 71.000 daltons que se llama p21, en células de ratón y de perro transformadas con el virus de Harvey. El mismo anticuerpo detectó una proteína similar en las células de mink transformadas con el virus de Kirsten. Se estudiaron ambas proteínas p21, la del virus de Harvey y la del virus de Kirsten y se determinó que las dos son fosfoproteínas. Se concluye que las 2 proteínas p21 detectadas, son codificadas por genes ubicados en los 2 virus que son homólogos.

SHIM, T. Y., WEEKS, M. G., YOUNG, R. A. y SCULNICK, E. M. 1979b. p21 of Kirsten murine sarcoma virus is thermostable in a viral mutant temperature sensitive for the maintenance of transformation. *J. Virol.* 31:554.

Se estudió la estabilidad térmica de la fosfoproteína p21 de KiMuSV, para establecer una prueba directa que demuestre si dicha proteína participa directamente en el proceso transformante inducido por el virus de Kirsten. Se transformaron unas células con el virus de Kirsten silvestre, y otras con un virus de Kirsten mutante llamado ts371 que se caracteriza porque su capacidad de mantener el fenotipo maligno en las células es sensible a la temperatura; a temperatura ambiente el virus es transformante y las células infectadas presentan un fenotipo maligno, pero al aumentar la temperatura, la oncogenicidad del virus se inactiva y las células recuperan su fenotipo normal. Se marcó p21 radiactivamente para cuantificarla en los dos grupos de células, cada uno a diferentes temperaturas, y se encontró una marcada diferencia en los niveles de p21 de las células transformadas con el virus silvestre, y las células transformadas con el mutante al elevarles la temperatura. Se concluye que la proteína p21 es indispensable para mantener la transformación inducida por el virus de carcinoma murino de Kirsten.

SHIN, T., YU, PAPAGEORGES, M. G., STORTZ, R. C., MEERS, M. G. y  
SCOLNICK, E. M. 1982. Guanine nucleotide-binding and  
autophosphorylating activities associated with the p71<sup>pol</sup>  
protein of Harvey murine mammary virus. *Nature* 297:100-103.

Se caracterizó la proteína transformante p71<sup>pol</sup> codificada por el virus de mama de Harvey, que genera un transcripto en citosol de RNA-2T3. Los citosoles transformantes y supresores p71<sup>pol</sup> viral. Se encontró que la proteína p71<sup>pol</sup> creciente es inhibida por los nucleótidos de guanina así como actividad de autofosforilación. El sustrato nucleotídico con el que se lleva a cabo la reacción de autofosforilación de p71<sup>pol</sup> es GTP, y no es éste el sustrato fosforilable por p71<sup>pol</sup> más que el mismo. Se estableció que la temperatura óptima para la fosforilación de p71<sup>pol</sup> es a 37°C, y el aminoácido fosforilado por el fosfato de GTP es la treonina. Estas características son totalmente diferentes a las de otras proteínas oncogenéticas conocidas hasta ahora, como pp60-tyr-arc del virus de sarcoma murino de Rous, los antígenos T de adenovirus, de polvaca, y de SV40 y p120 del virus de leucemia murina de Abelson, lo que sugiere que los mecanismos por los cuales p71<sup>pol</sup> induce la transformación son distintos de los que hasta ahora se han propuesto, y que apenas empiezan a ser definidos; indica además que han de existir otros mecanismos para inducir la transformación de fibroblastos de los que se conocen en la actualidad.

## PROTO ONCOGENE C-RAS

En el genoma existen de una gran variedad de organismos existen genes homólogos a los oncogenes virus detectados en los virus de sarcoma murino de Harvey y Kirsten. Estos genes se conocen en general como ras y constituyen una familia cuyos elementos principales son:

c-H-ras homólogos a los genes v-H-ras del virus de sarcoma murino de Harvey,

c-Ki-ras homólogos a los genes v-Ki-ras del virus de sarcoma murino de Kirsten,

N-ras, sin contraparte viral conocida.

Estos genes se han estudiado principalmente en el genoma humano, aunque existen genes ras en diversas especies.

En el genoma humano se han encontrado 5 genes de la familia ras:

c-H-ras-1

c-H-ras-2

c-Ki-ras-1

c-Ki-ras-2

N-ras.

c-H-ras-1, c-Ki-ras-2 y N-ras son funcionales, mientras que c-H-ras-2 y c-Ki-ras-1 no codifican ninguna proteína, y se consideran pseudogenes.

### LOCALIZACION.

El gene c-Ki-ras-1, que es un gene inactivo, se localiza en el cromosoma 6, en la posición 6p23-q12. También en el cromosoma 6 se encuentran entre otros genes conocidos, el gene del complejo de histocompatibilidad HLA y el oncogene c-myb (Sakaguchi y cols., 1984).

El gene c-H-ras-2, considerado como pseudogene se encuentra en el cromosoma X, en la posición pter-q28; este cromosoma es uno de los que más se ha conservado en la evolución, por lo cual sus genes se han conservado más que los de otros cromosomas (O'brien y cols., 1983).

El gene activo c-Ki-ras-1 se encuentra en el cromosoma 12 en la posición 12p11-12.1; en el cromosoma 12, se localiza el gene que codifica la enzima D-lactatodeshidrogenasa-B (D-LDH-B) y también el gene que codifica el factor de crecimiento similar a insulina (IGF-1) (Pepescu y cols., 1983).

El gene c-Ha-ras-1, el segundo gene activo, está en el brazo corto del cromosoma 11 (McFrida y cols., 1982) situado en la posición 11p15.1-p15.5. En el cromosoma 11 está el gene que codifica al D-LDH-A, el de la insulina, el de la beta-globina, y el de la hormona paratiroides (Fearon y cols., 1984). Cabe señalar el que 2 cromosomas cercanos, el 11 y el 12, presentan al menos 2 pares de genes similares:

Los genes c-Ha-ras-2 y c-Ki-ras-1, y

Los genes D-LDH-A y D-LDH-B.

Este hecho indica que una posible duplicación cromosómica pudo haber sido el origen de estos cromosomas, y por lo tanto es probable que los genes ras y los genes D-LDH tengan un origen común. (O'Brien y cols., 1983, ver pag 53). También se ha reportado en el brazo corto del cromosoma 11, asociado a c-Ha-ras-1, un gene asociado con la enfermedad maníaco-depresiva (Egeland y cols., 1987) aunque ésto aún está a discusión. En el cromosoma 11 también está el gene que codifica la tirosina hidroxilasa (Hodkinson y cols., 1987).

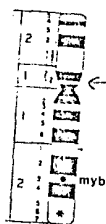
El gene N-ras se encuentra en el cromosoma 1, en la posición ip11-13 (De Martinville y cols., 1983). El cromosoma 1 es el de mayor tamaño de todos los cromosomas humanos. En muestras de células malignas se han observado aberraciones cromosómicas del cromosoma 1 como deletiones, regiones de tinción homogénea y los llamados cromosomas "dobles minutias" (cromosomas minuscúlos, típicos de células malignas), principalmente en neuroblastomas (Popescu y cols., 1985, ver pag 54).

## ESTRUCTURA

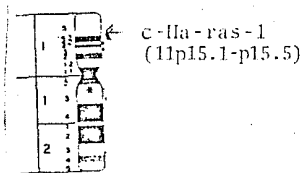
En general las secuencias de los genes ras del genoma humano son muy similares, pues las mayores variaciones existen en los intrones de los diferentes genes ras. Las exones de los genes funcionales son muy similares, además de que los sitios de unión entre un exón y otro en cada uno de los genes corresponden entre sí, lo que sugiere un origen común a partir de un gene ancestral.

Existen regiones cuya secuencia presenta una marcada homología entre los diferentes genes ras; dichas regiones se sitúan entre las posiciones de los codones 1-120, 173-183 y 185-189. Así mismo existen regiones cuya secuencia presenta variaciones, situadas entre los codones 121-152 y 194-197. En las regiones constantes, las diferencias entre las secuencias de los genes c-Ha-ras, c-Ki-ras y N-ras son mínimas, e incluso en los pseudogenes se observan muy pocas diferencias en estas regiones conservadas.

**FIGURA 6**  
**LOCALIZACION CROMOSOMICA DE LOS ONCOGENES ras EN EL GENOMA HUMANO**



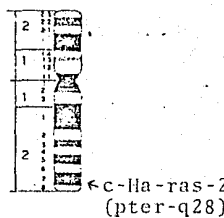
CROMOSOMA 6



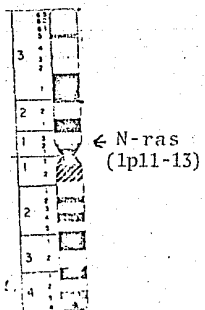
CROMOSOMA 11



CROMOSOMA 12



CROMOSOMA X



CROMOSOMA 1

El gen c-Ha-ras-1 consta de 4 exones y 3 intrones su tamaño es de 4.5 Kb aprox (Bantos y cols., 1982; Goldfarb y cols., 1982) sus exones comprenden en total 1667 pares de bases, con capacidad para codificar una proteína de 187 aminoacidos, con peso molecular de 20.9 KDa. La región promotora no presenta la caja TATA ni la caja CAAT, y en cambio tiene un muy alto contenido de G+C (80%) así como múltiples cajas GC. Estas características las presentan los llamados genes domésticos, que codifican proteínas muy necesarias e importantes para las células (Ishii y cols 1985).

Al digerir el ADN de c-Harras con la enzima BamHI el resultado son varios fragmentos de distinto tamaño, este polimorfismo se debe a una región adyacente al gene localizada hacia su extremo 3 que consta de una secuencia que se repite en tandem un numero variable de veces, conocida como región LTR (long Terminal Repeat); los alelos cuyo número de repeticiones es mayor, se detectan como fragmentos de mayor tamaño que aquellos con menos repeticiones.

Se ha visto que algunos alelos se presentan con cierta regularidad en el genoma de células normales y se les llama alelos comunes, los cuales tienen tamaños de 3.7, 7.5, 8.0 y 8.3 Kb y existen otros que se presentan con escasa frecuencia se llaman alelos raros y su tamaño es variable (Krontiris y cols., 1985). Esta región al parecer funciona como un promotor rúede (enhancer) en la transcripción de c-Harras-1 (Spanos y Holmes, 1987).

Comparada con el oncogénes viral v-Harras el gene celular presenta una homología de 86% en su secuencia genética la mayoría de las diferencias entre ambas secuencias están en el tercer nucleótido de los codones y son neutrales, por lo que la proteína resultante de ambos genes es prácticamente igual; ambas tienen un peso molecular muy similar, por eso se denomina p21 tanto a las proteínas virales como a las celulares. De los 187 aminoacidos totales de p21, solamente existen 8 diferentes entre p21 viral y celular, los diferentes son:  
codon 121 p21 viral = arginina; p21 de proto-c-Harras-1 = valina.  
(Se debe recordar que el oncogéne celular c-Harras-1 tambien codifica arginina, considerada como la mutación activante de ras).  
codon 59: p21 viral = treonina; p21 de proto-c-Harras-1 = alanina  
codon 122: p21 viral = glicina; p21 de proto-c-Harras-1 = alanina (Capon y cols., 1980a).

El pseudogene c-Harras-2 tiene una secuencia que corresponde a los exones del gene c-Harras-1, pero no presenta las secuencias que correspondan a los intrones de c-Harras-1. Carece de secuencias que señalen el inicio de la transcripción, y ademas presenta en diferentes posiciones, codones de inicio de la traducción y codones de terminación por lo que no puede codificar ninguna proteína. Comparando su secuencia con la de los 4 exones de c-Ha-ras-1 y con la del oncogéne viral v-Harras se observa una homología del 80%, si bien la carencia de intrones lo asemeja un poco mas al on-

cogene viral (Miyoshi y cols., 1983).

El gene activo c-Ki-ras se caracteriza en un principio en la linea celular SW480, de carcinoma de colon humano (McCoy y cols., 1983). Mide aprox. 40 Kb. y consta de 5 exones, llamados exon I, II, III, IVa y IVb. La secuencia de sus primeros 4 exones es equivalente a la secuencia del oncogene viral v-Ki-ras, con una homología de 87%, y la del quinto exon corresponde a la secuencia localizada después del codón de terminación del gene viral. Los primeros 4 exones codifican una proteína de 187 aminoacidos que solo presenta 7 aminoacidos diferentes de la proteína p21 del oncogene viral. (Shimizu y cols., 1983a). Las diferencias son:

codon 121 p21 viral = serina; p21 de proto-c-ki-ras-2 = cisteina.  
codon 311 p21 viral = glutamina; p21 de proto-c-ki-ras-2 = glicina  
codon 371 p21 viral = glicina; p21 de proto-c-ki-ras-2 = glutamina  
codon 597 p21 viral = treonina; p21 de proto-c-ki-ras-2 = alanina  
codon 100 p21 viral = leucina; p21 de proto-c-ki-ras-2 = isoleucina  
codon 132 p21 viral = glutamina; p21 de proto-c-ki-ras-2 = ácido aspartico  
codon 187 p21 viral = valina; p21 de proto-c-ki-ras-2 = isoleucina

El quinto exon es muy semejante al cuarto por lo que se denominan IVa y IVb; IVa tiene 39 codones, y IVb tiene 38 codones. El gene c-Ki-ras-2 puede codificar 2 proteínas p21:

p21a, con los exones I, II, III, IVa; con 189 aminoacidos, y p21b, con los exones I, II, III, IVb; con 188 aminoacidos (McGrath y cols., 1983). Se han cuantificado ambas proteínas en diversas líneas celulares y en células normales, y p21b es en promedio 20 veces más abundante que p21a (Capon y cols., 1983b). De estos 2 genes, el exon IVb se parece más al cuarto exon del gene c-Ha-ras-1. En general las secuencias de aminoacidos de ambas proteínas, la codificada por c-Ha-ras-1 y la del gene c-Ki-ras-2 con el exon IVb, tienen una homología de 84% encontrándose 2 regiones de variabilidad y 2 regiones conservadas.

La "región de mayor variabilidad" está entre los codones 171-185. La "región de variabilidad menor" está entre los codones 121-128. Las regiones más conservadas son: Codones 1-120 y 129-170.

El gene c-Ki-ras-1 es un pseudogene que mide 4.2 Kb, su secuencia es colinear con el oncogene viral v-Ki-ras y entre ambos se observa una homología del 81%. Su secuencia es similar a 4 de los exones del gene c-Ki-ras-2, I-II-III-IVb y no presenta secuencias correspondientes a los intrones de c-Ki-ras-2. Su secuencia incluye varios codones de terminación intercalados, por lo que carece de capacidad para codificar ninguna proteína (McGrath y cols., 1983).

El gene N-ras es un gene activo, encontrado en la linea celular de neuroblastoma SK-N-SH (Chimizu y cols., 1983b). Mide aprox 9.2 Kb., tiene capacidad para codificar una proteina de 189 aminoacidos con un peso molecular de aprox. 21 Kd., la proteina p21, y consta de 4 exones, aunque se han reportado 7 exones, de los cuales 3 solo se transcriben en el ARN pero no se traducen; se consideran exones porque para detectar al ARN de N-ras se requiere hibridarlo con una sonda de ARN que incluya dichas secuencias exónicas, aunque no se traduzcan en la proteína; tal es tambien el caso de la secuencia anterior al gene c-Ha-ras, que algunos autores denominan exon -1, o exon 0. Su region promotora muestra características similares al promotor de los genes domesticos por lo que debio ser un gene importante para las celulas (Hall y Brown, 1985). No presenta secuencias homologas al exon IVb del gene c-Ki-ras-2. En la secuencia de p21 codificada por N-ras, existen 29 aminoacidos distintos de los aminoacidos correspondientes de p21 codificada por c-Ha-ras-1, y con p21 de c-Ki-ras-2 las diferencias son 30. Las regiones de mayor variabilidad entre p21 codificada por N-ras y p21 codificada por c-Ha-ras-1, son la region de los aminoacidos 121-122 y la region de los aminoacidos 171-185; sin embargo en estas mismas regiones, entre p21 de N-ras y p21 del gene c-Ki-ras-2 existe solo un aminoacido diferente (Aparowsky, y cols., 1984).

SOMAGUCHI, S. Y., DREBIN, B. H., GRZESCHIK, K.-H., LAW, N. L., ELLIS, R., ECOLINICH, E. H. y NAYLOR, S. L. 1984. Regional localization of two human cellular Kirsten ras genes on chromosomes 1 and 12. *Nature Cell Biol* 4:789-793.

Se identificaron las regiones cromosómicas donde se encuentran los oncogenes c-H-ras-1 y c-Ki-ras-2. El gene c-ki-ras-1 no es funcional ademas apres. 0.5 Kb, se localizo en el cromosoma 6 en la posición 4p23-q12. En este cromosoma tambien se encuentra el proto-oncogeno c-H-ras. El gene c-Ki-ras-2 se encuentra en el cromosoma 12 en la posición 12p12.3-pter, el mismo cromosoma donde esta el gene que codifica la D-lactato deshidrogenasa-A (D-LDH-A). Cabe mencionar que el gene c-Ha-ras-1, se encuentra en el cromosoma 12 donde esta el gene que codifica la D-LDH-B; esto apoya la teoria de que los cromosomas 11 y 12 provienen de un solo cromosoma, que se dividio en el transcurso de la evolucion. Es interesante que en el genoma de raton los genes c-H-ras y c-Ki-ras se localizan en los cromosomas 7 y 6, donde estan tambien los genes que codifican D-LDH-A y D-LDH-B respectivamente.

O'BRIEN, S. S., NGH, W. S., GOODWIN, J. L., LOWY, D. R. y CHANG, E. H. 1980. Dispersion of the ras gene family of transforming genes to four different chromosomes in man. *Nature* 302:839-841.

Se establecio la localizacion cromosómica de los 4 elementos de la familia ras en el genoma humano. Para ello se emplearon celulas somaticas hibridas de humano y raton y se seleccionaron las que conservaban una mayoria de cromosomas de raton, y pocos cromosomas humanos. Se analizaron estas hibridas con la sonda del proto-oncogeno c-Ha-ras humano que habido en el cromosoma 11, donde se encuentra el c-H-ras-1 y donde tambien se localizan los genes de la fosfatasa actina C (ACGP1) y de D-LDH-A. El gene c-Ha-ras-2, se detecto en el cromosoma X, pero en una celula donde habia una delecion del brazo largo del cromosoma X, se encontraron otros genes cuya localizacion en el cromosoma X es conocida, como el gene de la glucocerol-fosfato deshidrogenasa (G6PD) y no se encontro al c-Ha-ras 3, por lo que debe estar cercano al centromero. Es interesante que el H-ras-2 se encuentre en el cromosoma X, pues este cromosoma presenta muy pocas translocaciones y tampoco tiene interacciones con el resto de los cromosomas, por lo que sus genes se conservan mucho. Utilizando una sonda con la secuencia del gene v-Ki-ras se detecto al gene c-Ki-ras-1 en el cromosoma 6, y al gene c-Ki-ras-2 en el cromosoma 12. Falta aun determinar las regiones especificas en los que se encuentran los 4 genes ras.

POPESCU, N. G., AMBAGUEN, S. D., DIPIROLA, J. A., TRONICK, S. R., ARONSON, S. A. y SWAN, D. C. 1985. Chromosomal localization of 3 human ras genes by *in situ* molecular hybridization. *Som Cell Mol Genet.* 11:149-58.

Los genes ras tal vez interactúan con sus genes vecinos, y por ello es determinante la región cromosómica específica en que se encuentran. En células hibridas de humano y ratón se localizaron c-Kirras-1 en el cromosoma 6, región 1p11; c-Kirras-2 en el cromosoma 12, región 1p11-12.1, y Kras en el cromosoma 1, región 1p11-12. La localización en estas regiones es interesante, pues se han reportado alteraciones cromosómicas como delecciones, regiones de fusión, homogeneza (HGR) y cromosomas "dobles minutás" (DM) en el cromosoma 1; en retinoblastomas donde también se ha encontrado un isocromosoma 1p característico. En melanomas malignos, se han observado isocromosomas 6p, así como otros rearranglos del cromosoma 6, donde se localizan los genes del complejo de histocompatibilidad; los melanomas se caracterizan por ser de las pocas clases de neoplasias humanas que pueden ser reconocidos por el sistema inmune mediante la producción de un gran número de anticuerpos. En algunos casos de leucemia linfocítica crónica se han reportado trisomías del cromosoma 12 y en muestras de tumor de Wilms se han observado translocaciones entre los cromosomas 11 y 12. Posiblemente los genes ras tengan alguna relación con estas neoplasias.

MCPHILDE, D. W., SWAN, D. C., SANTOS, E., BARBACID, M., TRONICK, S. R. y ARONSON, S. A. 1981. Localization of the normal allele of T24 human bladder carcinoma oncogene on chromosome-11. *Nature* 300:773-4.

La línea celular de carcinoma de vejiga humana T24, tiene un oncogén muy similar al oncogén viral v-Harras, con capacidad para transformar células en cultivo. Para saber si en el genoma de estas células difiere la localización del gene mutante se definió su localización cromosómica, hibridando células de humano y ratón y de humano y hamster. Se encontró v-Harras-1 en el cromosoma 11 donde también está el gene de la lactato-deshidrogenasa-A. No se detectó ninguna diferencia en la localización del gene en células normales y en las tumoriales. Faltaron rearranglos, inserciones ni delecciones, lo que confirma que entre ambos genes la diferencia que origina su activación oncogénica debe ser muy pequeña, y bien podría ser la mutación puntual, como se ha reportado.

SEAFORD, J. R., MONTGOMERY, S. E., MEYERS, D. A. y LEVINE, M. A. 1981. The chromosomal distance between beta-globin and insulin loci in human chromosomes 11p. Am J Human Genet 38:329-337.

El gene de la insulina se encuentra en el brazo largo del cromosoma 11, donde también están los genes que codifican la beta-globina, la fisiolina, la hormona paratiroidea. Se estudió el orden en que se encuentran estos genes en el brazo corto del cromosoma 11 con células fibroblásticas de ratón y humano y el orden definido fue Centromera -- fisiolina paratiroidea -- beta-globina -- c-Ha-ras -- insulina con el gene de la fisiolina localizado entre los genes de la beta globina y el de la insulina.

EGELAND, J. E., GERMUND, B. B., FABLE, B. L., SUSSEX, J. N., KIDD, K. K., ALLEN, C. R., WIESTETER, R. M. y HOBSON, D. E. 1987. Bipolar affective disorders linked to DNA markers on chromosome 11. Nature 325:783-787.

La enfermedad maníaco-depresiva bipolar es una alteración siquiatrica, que se caracteriza por períodos de euforia y exceso de energía, alternando con períodos de depresión y letargo los períodos de manía se tratan con medicamentos a base de licio, y los de trastorno, con drogas antidepresivas. La manía y la depresión son independientes de las circunstancias por lo que la causa de la enfermedad deben ser alteraciones de tipo neuronal. Se ha reportado una incidencia significativa en gemelos, familias y niños en adopción, lo que sugiere que deben haber factores genéticos involucrados que se investigaron en la población de los Amish en Pensilvania pues sus cuidadosos registros generacionales muestran que sus 17,000 miembros descenden de 30 progenitores lo que permite esta blíster líneas genéticas bien definidas; además, las prohibiciones contra el alcohol y las drogas, el gran número de hijos y la concentración geográfica facilitan los estudios; en ellos la incidencia de esta enfermedad es aprox. del 1% y suele presentarse entre los 15-35 años de edad al igual que en el resto de E. U. Se analizó la segregación en familias con miembros enfermos, y se determinó un tipo de transmisión autósómica de la enfermedad. Los resultados señalan que es muy posible que un solo alelo sea el que predispone a esta enfermedad y que la frecuencia de este alelo en la población es de 0.023+0.02. Se analizó el genoma de los individuos afectados, y en el ADN recombinante de las muestras se detectaron diversos marcadores genéticos, y se identificaron los fragmentos de restricción de longitud variable (RFLP's). Se encontró una asociación entre el posible locus de la enfermedad, y 2 marcadores genéticos del cromosoma 11: el proto-oncogene c-Ha-ras-1, y el gene de la insulina, así como una alta incidencia de RFLP's lo grande estableceron una correlación entre enfermos y alelos específicos de c-Ha-ras 1 e insulina. Se determinó la penetrancia del alelo de la enfermedad obteniéndose datos significativos. Se concluye que la enfermedad maníaco-depresiva bipolar está relacionada con un locus específico asociado a los genes de insulina y con el proto-oncogene c-Ha-ras-1.

HODKINSON, S., SCHERRINGTON, R., BURLIN, H., MARCHBANKS, R., REEDERS, S., MALLEY, G., MANNIS, H., METURSON, K. y BRYNJOLFSSON J. 1992. Molecular cloning evidence for heterogeneity in manic depression. *Nature* 355:890-896.

La enfermedad maníaco-depresiva es una alteración cíclica severa, que afecta sobre todo a 7 de cada 1000 individuos en la mayoría de las poblaciones. Se han estudiado familias con múltiples casos de la enfermedad, y sus datos son compatibles tanto con el tipo de transmisión genética autosómica dominante, como con el tipo de unión al cromosoma X. Se considera que las drogas usadas para controlar la enfermedad actúan sobre determinados neurotransmisores del tipo de los sistemas de catecolaminas tales como la adrenalina, la noradrenalina, y la dopamina. Las mutaciones del gene TH, localizado en el cromosoma 11 probablemente determinen el fenotipo de la enfermedad maníaco-depresiva pues este gene codifica la enzima tirosina hidroxilasa que inhibe la síntesis de los tres neurotransmisores. Se estudiaron 3 familias de Islandia con elementos enfermos, cuyos datos coinciden con el tipo de transmisión autosómica dominante e indican la existencia de un alelo sensible de la predisposición a la misma; en las 3 familias se han registrado 44 casos entre 76 individuos en riesgo. Como marcadores genéticos del cromosoma 11 se analizaron el gene TH, la región variable del proto-oncogene c-Harrasi y la región variable del gene de la insulina para observar la segregación de RFLP's en las 3 familias. En los resultados obtenidos no se encontraron evidencias de que exista una relación entre los marcadores genéticos, y las 3 familias. Se concluye que en la enfermedad maníaco-depresiva existe una heterogeneidad genética. No se puede asociar dicha enfermedad con un solo gene.

DE MARTINVILLE, C., COHENMAN, G. M., HURRY, H. J. y FRANCKE, U. 1987. A new oncogene assigned to the short arm of human chromosome 1. *Mol. Cell. Biol.* 1: 5267-5273.

El elemento más recientemente caracterizado de la familia de oncogenes ras es el llamado N-ras encontrado en una línea celular de neuroblastoma. Esta relacionado tanto con los proto-oncogenes celulares c-Kirras y c-H-ras, como con los virales, aunque no se le ha encontrado una contraparte viral. Para determinar su localización cromosómica se fusionaron células de humano y hamster, y las células híbridas presentaron diferentes combinaciones de cromosomas. Se analizaron las hibridas con la sonda del gene N-ras, humano y se lo localizo en el cromosoma 1 en la region p32000-cen Así pues, tambien este otro oncogene ras se encuentra en un cromosoma diferente de los cromosomales donde se localizan los demás genes ras humanos, aun cuando todos ellos guardan una estrecha relación estructural, y al parecer, también funcional.

SANTOS, E., TRONICK, S. R., ARKONSON, S. A., PULCIANI, S. y PAPADOPOLI, M. 1987. T24 human oncogene is an activated form of the normal human homologues of SV40- and Harvey-MSV transforming genes. *Nature* 290: 343-7

La secuencia transformante de la linea celular T24 se ha caracterizado de manera preliminar. Se estudio esta secuencia con los oncogenes virales de los que existen sondas disponibles, e híbrido muy débilmente con v-myc, y mas intensamente con v-bas, del virus de sarcoma de ratón RSV; la homología entre el gene humano y v-bas fue notable. Se detectó el transcripto del gene humano un ARN de 1700 pares de bases. Los anticuerpos contra la proteína viral detectaron una proteína con un peso molecular de 21 Kd, al parecer muy relacionada con la proteína p21, codificada por el oncogene viral. La secuencia humana híbrido también con el oncogene v-H-ras del virus de sarcoma murino de Kirsten y la homología entre ambos también fue notable. Esto al parecer, sugiere que la secuencia transformante del genoma humano puede considerarse como la contraparte celular tanto del oncogene viral v-bas como del oncogene v-H-ras.

GOLDFARB, M., SMITHIEU, H., PERUCHO, M., MERLINO, M. 1985. Isolation and preliminary characterization of a human E1 gene containing a gene from the bovine coronavirus genome. *Biochim Biophys Acta*.

La línea celular T24 de carcinoma de vejiga humana es transformante cuando se lleva en el genoma en células NIH3T3. Se caracterizó la secuencia humana involucrada en el transformante, utilizando una estrategia de "diseñado y resuelto", que consiste en la construcción de una fibra en general que fragmentos de ADN digerido con enzimas de restricción. En efecto, el fragmento en un virus, el fago lambda, y se transfieren en las células NIH3T3, posteriormente se saca su secuencia de bases. Con esta secuencia se hace una sonda para examinar muestras de otros genomas. La sonda híbrida con los membranas humanas tiene los bandas primarios como de líneas celulares, aunque los fragmentos recortados fueron de distinto tamaño, variando de 5 a 7 kb. También se hibridó con ADN de placenta humana y se obtuvieron fragmentos homólogos. Esto demuestra que el geno transformante de la línea celular humana T24 también existe en otras células humanas.

ISHII, S., MERLINO, G. L., PASTAN, I. 1986. Promoter regions of the human Harvey ras proto-oncogene: similarity to the EGF receptor proto-oncogene promoter. *Science* 236:1378-1381.

Para entender mejor la regulación de los genes *ras* es necesario conocer sus regiones promotoras. Se estudió el promotor del geno c-Harvey, usando una sonda de ADN para detectar los transcriptos, en células NIH3T3 transformadas con el oncogén c-Harvey. Se encontraron 4 transcriptos, sugiriendo que la transcripción de c-Harvey se puede iniciar en 4 codos: el 5'97, 5'57 y 5'51. El primer codo consta solamente de 40 pb, abarca del codón 5'97 al 5'58 y no se traduce, el primer intrón va del codón 5'57 al 1618, y tiene una caja TATA, por lo que se consideraba como la región promotor, el segundo exon está formado por 107 pb, y comienza del codón 1617 al 1720, con una región no traducible de 56 pb, y 111 pb, que se traducen en los primeros 37 aminoácidos de pili. Se detectó principalmente el mismo en 172 pb, el 3' intrón empieza en la región que incluye los codos 5'57 y 5'51. Diferente a la región anterior debe ser el promotor, un fragmento con esta región anterior se clona en un plásmido, junto con el geno de la clorofenicol acetil transferasa (CAT) y se observa que, en efecto, esta región de c-Harvey funciona como un fuerte promotor, en consecuencia esta región y no se encontró caja TATA ni caja CAAT, para el contenido de G+C fue del 80%, la secuencia GCGC se repite 7 veces y viene y la inversa, GCGG se repite 5 veces. Estos mismos complementarismos se presentan en otros promotores, principalmente en los promotores de los genes llamados domésticos, por ser muy importantes para las células y probablemente sea una clave que ayude a entender la regulación de los genes *ras*, que tal vez sean igualmente importantes.

Conocido el número de sitios en que se presentó la especie, se realizó una revisión sistemática para determinar la distribución geográfica y ecológica de la especie. Se observó que el género es endémico de la región subtropical de Costa Rica, que se extiende por los bosques tropicales y subtropicales de montaña del país, entre 1000 y 2000 m.s.n.m., y que las diferencias ecológicas entre las especies del género están bien definidas. Se estudió a 1000 ejemplares en su hábitat natural, que representan más de 1000 fragmentos. Estos datos nos permiten ver que tanto en 1000 fragmentos de bosque de montaña como en 1000 fragmentos de bosque de montaña y 200 de bosques secundarios, el género se divide en tres tipos: 1) Bosque seco subtropical, 2) Bosque húmedo subtropical y 3) Bosque de montaña. Los resultados muestran que el género se divide en tres tipos: 1) Bosque seco subtropical, 2) Bosque húmedo subtropical y 3) Bosque de montaña. Los resultados muestran que el género se divide en tres tipos: 1) Bosque seco subtropical, 2) Bosque húmedo subtropical y 3) Bosque de montaña.

SPANDIDOS, D. A., HOLMES, L. 1987. Transcriptional activity in the variable tandem repeat DNA sequence downstream of the human c-Ha-ras gene. PEP Lett 218: 41-46.

Los genes ras pueden activarse por multiplicación puntual, aumento en el nivel transcripcional, amplificación genética, y por inserción de secuencias retrovirales. El proto-oncogén c-Ha-ras-1 mismo tiene una secuencia cercana de 200 bases que se repite en tag dentro un número variable de veces (región VTR); dichas repeticiones determinan el polimorfismo de alelos que se observa al digerir con la enzima BamHI. Existen alelos con determinadas variantes que se presentan con una incidencia significativa en algunos neoplasias, por lo que se estudió si la región VTR participa en la regulación de Ras. Se construyó un plásmido con la región VTR del proto-oncogén c-Ha-ras-1 humano que tiene apoxi. 100 pb., junto al gene de la cloramfenicol acetiltransferasa (CAT), y se's plicóndido con la región VTR en dirección contraria al gene CAT, y otros dos plásmidos más, con la región VTR del c-Ha-ras-1 con mutación del codón 12 (de la línea humana 724), en ambas direcciones. Los plásmidos se transfirieron en fibroblastos de ratón. La región VTR aumenta la expresión del gene CAT en ambas direcciones, actuando como un promotor fuerte (enhancer), tanto la del oncogén como la del proto-oncogén, aunque la región VTR del oncogén en la misma dirección del gene CAT induce un incremento significativamente mayor que el resto. Se concluye que la región VTR del gene c-Ha-ras-1 humano, funciona como enhancer en la transcripción, y por lo tanto las mutaciones, amplificaciones o otras alteraciones en esta región, posiblemente alteren la transcripción de c-Ha-ras, y esto constituiría otro tipo de mecanismo de activación de Ras.

CAPON, B. J., LIEBERMAN, M. B., GALLAGHER, T. M., CHAMBERS, D. W., HARRIS, D. V. 1984. Committee nomenclature recommendations for the v-H-ras genes and their normal homologues. *Nature* 312:120-121.

Se clonaron el proto-oncogén y su oncólogo humano en el genoma humano y se determinó que la diferencia estructural entre ambos es una mutación en el codón 12 al parecer, esencialaria de activar al gene. Se estableció la secuencia completa del gene. Está formado por un marco de lectura abierto de 637 pares de bases, integrado por 4 exones e interrumpido por 3 intrones, con capacidad para codificar una proteína de 175 aminoácidos y 187 carboxílicos, la proteína p21. La homología entre p21 celular y viral resulta notable, pues solamente existen 4 diferencias entre ambos: codón 12: p21 viral-metionina, p21 celular-valina; codón 59: p21 viral-triotóxina, p21 celular-alanina; codón 123: p21 viral-glicina, p21 celular-alanina. La homología entre las secuencias codificadas de p21 viral y celular es de 83%, pero entre sus respectivas proteínas p21 es de 70%. Es interesante que una de las diferencias sea el codón 12, por la activación resultante, y otra diferencia sea en el codón 59, que en la proteína viral es el sitio de autoexteriorización (terminina).

NIYOSHI, J., KAGIMOTO, M., SUDA, E., SAKAKI, Y. 1984. The hu-c-Ha-ras-2 is a processed pseudogene inactivated by numerous base substitutions. *Nucl Acids Res* 12:1421-1428.

En el genoma humano existen 2 genes que considerados pseudogenes pues no codifican ninguna proteína: c-Ha-ras-2 y c-Ki-ras-1. Se estudió el c-Ha-ras-2 y su secuencia resultó correspondiente a la del proto-oncogén c-Ha-ras-1, pero sin intrones. En la región correspondiente al primer exon de c-Ha-ras-1, del codón 3 al 28, en los nucleótidos 371-433, la homología con c-Ha-ras-1 es la máxima y a partir del codón 24 existe mayor variación, la homología entre los nucleótidos 368-470 es de un 60%. Otras 3 regiones son homólogas en más de 70%, en las posiciones de las bases 368-470, 541-579 y 752-848. La homología disminuye en la región correspondiente a la unión entre los exones 3 y 4, y es aún menor en el exon 2 y en la región 3' del exon 3. No existen secuencias que señalen el inicio de la transcripción, sitios TATA ni codones de inicio de la traducción, además de que existen 3 codones de terminación en las posiciones de los codones 321, 707, y 807 por todo ello este gene no puede transcribirse ni traducirse. Si codón 12 no corresponde a glicina como en c-Ha-ras-1, corresponde a valina como en el oncogén viral. Posiblemente el pseudogene c-Ha-ras-2 se originó a partir de un ARN procesado de c-Ha-ras-1 sin intrones, que de alguna forma se inserió de nuevo en el genoma celular.

MCCOY, R. A., TOOLE, J. J., SHIMIZU, Y., HIRSHFIELD, E. H., LOWY, D.-R., WEINBERG, R. A. 1983. "Characterización del ADN de las células Tung carcinoma oncogénico." *Nature* 307: 497-500.

En el genoma humano existe cuando menos una secuencia genética responsable de inducir la transformación de células NIH-3T3, la cual se caracterizó en el ADN de la línea celular 3T3 de carcinoma de colon humano que se transformó en células NIH-3T3, y a las células que se transfirieron, a su vez se les extrajo el ADN para transferir otras, y así sucesivamente, hasta aislar la secuencia oncogénica. Se detectó un gen humano con gran homología con el oncogene viral v-Ki-ras del virus de sarcoma murino de Harvey, la cual se aisló y analizó. Corresponde al c-Ki-ras-2 reportado, mi de 30-35 Kb aprox., y codifica una proteína de 21 Kd, p21, con una homología del 90% con p21 del proto-oncogene c-Ki-ras. Se elaboró una secuencia con la secuencia del gene c-Ki-ras para analizar diversas muestras y se detectó este gene en células NIH-3T3 transformadas con ADN de la línea celular AB347 de adenocarcinoma de pulmón humano, así como en células transformadas con ADN de la línea Lx-1 de carcinoma de células pequeñas de pulmón. En células de estas líneas se detectaron más copias de c-Ki-ras que en células normales, indicando que la amplificación genética probablemente sea su mecanismo de activación.

SHIMIZU, Y., HIRSHBAUM, D., RULEY, M. A., PRASANU, C., SUARD, Y., EDLUND, L., TAFAROWSKY, E., GOLDFARB, M., WIGLER, M. 1983a. Structure of the Ki-ras gene of the human lung carcinoma cell line Calu-1. *Nature* 304: 497-500.

Se estudió el oncogene c-Ki-ras de la línea celular Calu-1, transfiriendo su ADN sucesivamente en células NIH-3T3, hasta aislarlo. El gene está formado por 4 exones I, II, III y IV que codifican una proteína de 187 aminoácidos, p21, con solo 7 aminoácidos diferentes de la proteína v-Ki-ras viral. Las secuencias de los sitios de unión intrón - exón, son las correspondientes a las de c-Ki-ras-1 humano. Se encontró un quinto exón, exón IVB, cuya secuencia es similar a la situada en el extremo 5' del oncogene viral. El péptido que codifica el exón IVB es de 38 aminoácidos, uno menos que el exón IV. Los dos exones comparten los mismos 14 codones del extremo 5', y los exones 5 codones del extremo 3', pero difieren en los codones intermedios. Entre las proteínas de c-Ki-ras y v-Ki-ras pueden diferenciarse dos clases de regiones: Las regiones constantes, comprendidas entre los aminoácidos 1-120, 125-163, y 185-189, donde solo hay 7 aminoácidos distintos, y las regiones variables, entre los aminoácidos 184-184 y 121-182, donde la variación es mucho mayor.

HOBSON, D. R., LEEDY, D. A., LIEK, D. H., WILKES, M. J., DELBONO, P. H., FISCHER, P. V., LEVISON, R. S. 1982. Isolation and organization of the human N-ras proto-oncogene and its related processed pseudogene. *Nature* 294:801-803.

En el genoma humano existen 2 genes homólogos al v-ras-ras viral c-Ki-ras-1 y c-Ki-ras-2. Se compararon ambos. Células de la fibrosis quística tienen una mutación en el gen c-Ki-ras-2 que incluye numerosas sustituciones. Insertiones y delecciones de nucleótidos, así como varios cambios de terminación a lo largo de su secuencia y por ello no puede ser funcional; su secuencia presenta una homología de 85% con el geno viral v-Ki-ras. El geno c-Ki-ras-2 tiene aprox. 38000 pares de bases, está formado por 4 exones, y tiene capacidad para codificar una proteína de 21 kd. La secuencia de c-Ki-ras-1 corresponde a la de c-Ki-ras-2 pero solamente a los exones, por lo que se piensa que pudo originarse a partir del transcripto de c-Ki-ras-2, que luego insertarse de nuevo en el genoma celular.

CIPONI, D. J., BEUBERG, P. H., MCGRIFF, J. F., MATLICH, J. C., EDMAN, U., LEVINSON, R. D., SOEDDEL, D. V. 1983b. Activation of Ki-ras gene in human colon and lung carcinomas by two different point mutations. *Nature* 304:507-512.

Para estudiar los mecanismos de activación del geno c-Ki-ras humano, se analizó el genoma de las líneas celulares de carcinoma de colon y pulmón, se hibridó con la sonda del oncogéno v-Ki-ras viral y la secuencia detectada fue clonada y aislada. El geno humano c-Ki-ras-2 tiene capacidad para codificar dos proteínas, una con los exones 1-II-III-IVa formada por 187 aminoácidos y la otra con los exones 1-II-III-IVb formada por 188 aminoácidos. Se estudiaron ambas proteínas; las dos son idénticas en los 180 primeros aminoácidos del extremo amino y después varían; la que incluye al exón IVa, p21a presenta 39 aminoácidos, y la que codifica el exón IVb, p21b presenta 38 aminoácidos, aunque en ambos casos la mayoría son aminoácidos básicos. Se cuantificaron ambas proteínas p21, y la proteína p21b resultó ser la más abundante, no solo en los carcinomas de colon y pulmón estudiados sino también en otras líneas celulares, como la línea SK-N-SH de neuroblastoma humano, que presenta al gene N-ras activo, y también en linfocitos normales y en células embrionarias humanas; en todas se encontró 10-20 veces mayor cantidad de la proteína p21b que de p21a. Respecto a los mecanismos de activación, en 4 de 8 líneas celulares estudiadas se encontró c-Ki-ras amplificado, y también se determinó que, en las proteínas proto-oncogénicas el aminoácido 12 es glutamina, y en las proteínas oncogénicas el aminoácido 12, en unos casos es valina y en otros es cisteína; en el geno c-Ki-ras humano la mutación puntual en este sitio es el mecanismo reportado de activación. Esto implica que los genes ras pueden tener al menos dos mecanismos de activación, mutación puntual del codón 12 y amplificación genética.

SHIMIZU, K., GOLDFINGER, M., PEROCCHI, M., WIGLER, M. 1986. Isolation and preliminary characterization of the transforming gene of a human neuroblastoma cell line. *Proc Natl Acad Sci USA* 83:3863-3867.

La línea celular Sk-Br-3 proviene de un neuroblastoma humano. El ADN de estas células se transfirió en células NIH-3T3, las cuales se transformaron, y en las transformantes se supuso que la secuencia de origen humano responsable de inducir la transformación de estas células NIH-3T3. La secuencia detectada fue aislada, y con ella se elaboró una sondas para estudiar el ADN de células humanas y de ratón, normales y transformadas y se encontró un mismo fragmento de 7.2 kb, en todas las muestras. El gene detectado al parecer está relacionado con los genes miembros de la familia ras.

HALL, A., BFGDAN, R. 1985. Human N-ras cDNA cloning and gene structure. *Nucl Acids Res* 13:8255.

Se clona el gene N-ras del genoma humano para estudiar su estructura y expresión. Se detectaron 2 ARNm transcritos por N-ras, uno de 9 Kb, y otro de 2 Kb, el transcripto mayor es el mayor, 3 veces más abundante que el menor y la diferencia entre ambos es un fragmento localizado en el sitio de terminación. Se analizaron los 2 transcriptos, y se determinó que el gene N-ras consta de 7 exones, 4 de los cuales son traducidos. Las secuencias que separan a los exones e intrones equivalen a las de c-H-ras y c-K-ras. Se analizaron las secuencias de la región promotora y del sitio de inicio de la transcripción y se encontró un patrón muy similar al de los llamados genes domésticos que siempre se expresan por ser muy importantes para la célula, como el gene de la adenosin-cigamínasa y el de la riboflavin reductasa. Dicho patrón consiste en múltiples sitios de inicio, una caja TATA no muy definida, múltiples triplete ATG cercanos al codón de inicio, y la presencia de secuencias GGGCGG (o CCGCCG) alrededor del promotor. Estas características sugieren que N-ras y su expresión, deben ser muy importantes para las funciones normales de la célula.

TAPAROWSKY, E., SHIMIZU, K., SOLDRUP, M., WIBERG, H. 1984. Structure and activation of the human *N-ras* gene. *Cell* 38:401-8.

Se secuenció el gen *N-ras* humano y se le encontró gran homología con los genes *c-Ha-ras-1* y *c-Ki-ras-2* humanos. Los 3 genes presentan una estructura intrón/exón común y comparten secuencias exónicas muy similares. El oncogén *N-ras* de la línea celular de neuroblastoma humano SK-N-CHI, presenta actividad transformante, y el *N-ras* de células normales no la presenta. La única diferencia entre el *N-ras* onco génico y el normal es una mutación puntual del codón 61: El proto-oncogén codifica lisina y el oncogén, glutamina. El gen está formado por 4 exones, y codifica una proteína de 189 aminoácidos. Se hizo una comparación entre su secuencia y la de los otros genes *r-ras* humanos y se determinaron 2 regiones, entre las posiciones 1-120 y 129-166, donde el máximo número de diferencias entre cualesquier par de genes *r-ras* es de 12 aminoácidos. En la región comprendida entre los codones 121-128, la homología disminuye y en las posiciones 171-186, existe la menor similitud.

## RAS EN OTRAS ESPECIES

Los genes ras se han encontrado en gran variedad de organismos, desde mamíferos hasta bacterias. Cabe señalar que en esponjas y *Escherichia coli* se encontraron de manera casual, mientras que *D. melanogaster*, *E. coli*, ratas y levaduras, son los organismos más empleados en todo tipo de experimentos, por lo que se les ha estudiado extensivamente. El hecho de que sean pocos los trabajos en los que específicamente se hayan tratado de encontrar genes ras en otras especies y sin embargo se les haya encontrado en tantas y tan diversas, indica que lo más probable es que en muchas otras especies también existan genes ras o genes relacionados con ras. Despues del genoma de mamíferos los genes ras se reportaron en el genoma de *Drosophila melanogaster*.

### *Drosophila melanogaster*

Después del genoma de mamíferos los siguientes organismos en donde se detectó la existencia de genes muy similares a los genes ras fue en *Drosophila melanogaster* (Shilo, 1981). Existen 3 genes ras en *D. melanogaster* localizados en las posiciones 85D (Dmras1) 64B (Dmras2), y 62C (Dmras3) del cromosoma 3. Los genes Dmras1 y Dmras2 constan de 3 exones y 2 intrones, mientras que Dmras3 parece carecer de intrones. La proteína del gene Dmras1 tiene una homología de 81% con p21 del gene c-ki-ras1 humano, y es más parecida a los genes humanos que a Dmras2. Dmras2 e los genes de larvadura y la homología entre p21 de K-ras y la proteína de Dmras2 es de 58%. Dmras1 y Dmras2 terminan con la secuencia CysRXX, donde X es un aminoácido alifático, y X es cualquier aminoácido. La homología entre las proteínas de Dmras1 y Dmras2, y entre éstas y las proteínas ras humanas, decrece notablemente en el extremo carboxílico, pero las proteínas de *D. melanogaster* tienen con la misma secuencia que las proteínas ras de mamífero lo que coincide con las regiones más conservadas en las proteínas ras de mamífero y de las levaduras (Brock, 1987).

El gene Dmras1 codifica una proteína de 190 aminoácidos con un peso molecular de aprox. 21,000 daltones (Grossman-Gilbertson, 1994). El gene Dmras2 codifica una proteína de 193 aminoácidos con un peso molecular de aprox. 22,700 daltones. La transcripción del gene Dmras2, se mantiene en un mismo nivel a lo largo de todo el ciclo de vida de *D. melanogaster* desde la etapa larvaria hasta la etapa adulta, indicando que la expresión de Dmras2 no parece estar relacionada directamente con la diferenciación o proliferación de las células de *D. melanogaster* y por lo tanto la proteína de Dmras2 tiene tener otras funciones, aunque el que se exprese dicha proteína durante todo el ciclo vital puede deberse a que esta proteína cumple un papel determinante para que pueda mantenerse el crecimiento proliferativo de las células (Moller 1993).

### *Saccharomyces cerevisiae*

En el genoma de *Saccharomyces cerevisiae* existen 2 genes homólogos a los genes ras de mamífero (Defeo-Jones y cols., 1983), llamados RAS1 y RAS2. La proteína RAS1 consta de 309 aminoácidos y pesa 40 kD., mientras que RAS2 consta de 327 aminoácidos y su peso es de 41 kD. (Oliver y cols., 1986), entre las dos secuencias se observa una marcada homología hasta el codón 180, a partir del cual la homología disminuye considerablemente.

La secuencia de aminoácidos de las proteínas codificadas por los genes humanos y los genes RAS1 y RAS2 muestran una importante homología comparada con la secuencia de aminoácidos de la proteína de c-Ha-ras humana, pueden diferenciarse 7 regiones; partiendo del aminoacido 3 de la proteína humana, y el aminoacido 10 de las 2 proteínas de levadura, los próximos 50 aminoácidos muestran una homología de casi un 90%, los siguientes 90 aminoácidos de ambas proteínas, una homología aprox. de 50%, y a partir del aminoacido 180 la divergencia es mayor. Entre las proteínas de los genes humanos c-Ha-ras, c-Ki-ras y N-ras, las regiones de homología y variabilidad coinciden con las proteínas de levadura, indicando una interrelación entre dominios, posiblemente funcionales que han sido muy conservados durante millones de años. Las proteínas RAS de *S. cerevisiae*, precipitan con anticuerpos monoclonales que detectan p21 del virus de sarcoma murino de Harvey, y que también reaccionan con proteínas ras de mamífero (Powers y cols., 1984).

Las proteínas RAS de *S. cerevisiae* son indispensables para la viabilidad celular; la falta de ambas es letal para las células y debe existir al menos una de las dos proteínas RAS. RAS1 y RAS2 tienen funciones distintas: Participan en la regulación de la adeniil ciclase que provee de AMPc a las células, principalmente RAS2. RAS1 tal vez interviene en la regulación del metabolismo de fosfolípidos (Ver el capítulo Función de Proteínas ras).

En células de *S. cerevisiae* que presentan disrupción en RAS1 y RAS2, la proteína c-Ha-ras de mamífero con leves modificaciones al ser microinyectada demuestra tener la capacidad de restablecer la viabilidad celular. Además los genes ras híbridos de mamífero y levadura, y también los genes Rho de levadura, con una mutación del codón 12 que activa los oncogenes ras de mamíferos inducen la transformación de células NIH-3T3 al igual que con p21 onco génica de mamífero. (Defeo-Jones y cols., 1983).

### *Schizosaccharomyces pombe*

Los genes ras también se han detectado en otra especie de levaduras, *Schizosaccharomyces pombe*, en cuyo genoma existe un gen de la familia ras llamado SPRAS, que codifica una proteína de 219 aminoácidos. La disrupción de este gene no resulta letal para las células, no altera los niveles de AMPc ni la adenil-ciclase, pero si causa cambios fenotípicos pues produce deformaciones celulares. En *S. pombe* la función de la proteína SPRAS parece estar relacionada con la diferenciación sexual mas que con la división celular a diferencia de la función de las proteínas RAS en *S. cerevisiae*. (Nardin-Davis y cols., 1986).

... Es de resaltar el hecho de que genes de la familia ras de los primates son relacionados con *C. intestinalis* y *C. elegans*, cuyas funciones son diferentes en el ser humano, sin embargo tienen entre si la misma función, lo que sugiere que aunque los genes ras estén bien conservados en especies muy diversas, la función que cumplen en cada especie no es necesariamente la misma en todas, y por lo tanto, los resultados obtenidos al determinar la función de los genes ras en otros organismos han de interpretarse con cuidado al extrapolarse al caso de mamíferos.

#### Genoma murino

En el genoma de la rata existen genes muy similares a los genes ras humanos, cuyo estudio es muy importante no solo por el hecho de que de su genoma pudieron originarse los genes ras virales sino también por lo mucho que se han estudiado la expresión y función de los genes ras en los experimentos hechos en ratas (Ver en *oncogene ras*). En el genoma de rata existen también 2 genes homólogos al gene viral *H-ras*, llamados *c-Ha-ras-1* y *c-Ha-ras-2* (Ellis y cols., 1981 ver pag 29) y al menos un gene *c-Ki-ras*. En el genoma de rata, *c-Ha-ras-1* se localiza en el cromosoma 1, *c-Ha-ras-2* en el cromosoma X, y *c-Ki-ras* en el cromosoma 4 (Spirer y cols., 1985). El gene *c-Ha-ras-2* de rata es un pseudogene, pero el gene *c-Ha-ras-1* es un gene activo que codifica una proteína p21 identica a p21 del gene *c-Ha-ras-1* de humano; la secuencia nucleotídica de los genes activos *H-ras* de humano y rata es homóloga en un 88% y la homología entre *H-ras-1* de rata y *v-Ha-ras* es aun mayor, sobre todo entre sus proteínas, pues entre p21 de *v-Ha-ras* y p21 de *c-Ha-ras-1* de rata solo existen diez cambios en los aminoácidos 12 y 59, precisamente los que le confieren oncogenicidad a p21 viral por lo que se considera al gene *c-Ha-ras-1* de rata como la secuencia que se incorporó en el genoma viral, originalmente sin ningún cambio y por una selección artificial al estudiar y aislar los virus más tumorigénicos fueron seleccionándose los cambios que aumentaron su oncogenicidad (Ruta y cols., 1986). En el genoma de ratón, otro organismo muy empleado en experimentos de inducción tumoral, tambien se han descrito genes ras, y en particular el gene *c-Ki-ras* el cual se activa con ciertos carcinógenos; este gene es prácticamente igual al gene *c-Mi-ras* humano y su proteína tambien tiene las características de los genes domésticos (Hoffman y cols. 1987). El gene *R-ras* de ratones es tambien muy similar al humano pues solo existen 51 bases diferentes entre ambos, y de estos cambios solo 3 se traducen en diferencias en la secuencia de la proteína. (Cuervo, y cols., 1985 ver pag 182)

### Genes ras en otros organismos

En los peces dorados, se han detectado al menos 3 genes ras, de los cuales uno se ha secuenciado. Este gene tiene una homología del 70% con el gene c-K-ras humano, codifica una proteína de 163 aminoacidos, y su peso molecular es de 21 Kd (Reimann y cols., 1986).

En el protocario *Dicytostelium discoideum* existe un gene de la familia ras, llamado Dd-ras, que codifica una proteína con un peso molecular de 23,000 daltones y que está relacionada estructuralmente con p21-ras de mamíferos (Ferguson y cols., 1988). El gene Dd-ras se expresa en forma preferencial en ciertas etapas del ciclo celular de *D. discoideum* (Reymond y cols., 1984) y al parecer cumple una función primordial pues su carencia causa alteraciones fenotípicas celulares (Reymond y cols., 1988).

### Genes relacionados con la familia ras

Se han reportado otros genes relacionados con los genes ras, que si bien presentan ciertas características comunes, no presentan una homología lo suficientemente significativa como para considerarlos elementos de la familia ras, pero que es importante conocer.

En los ganglios abdominales del molusco *Aplysia californica*, existe un gene llamado rho, por ras-homólogo. El gene rho codifica una proteína homóloga en un 35% con p21 de c-H-ras, ambas proteínas pesan 21 Kd y conservan la misma secuencia carboxilo terminal requerida para la unión membranal. Existen genes rho también en el genoma de rata, de *D. melanogaster*, *S. cerevisiae* y humano. Entre los genes rho de mamífero y de *A. californica* existe una homología de 85% (Madaule y Axel, 1985); e incluso al parecer también existe una homología funcional entre las proteínas rho de humano y de *A. californica* (Anderson y Lacal, 1987).

En el genoma humano existe un gene Rras (relacionado a-ras), que también se presenta en el genoma murino, con el que tiene una gran homología (Lowe y cols., 1987).

El gene raf (ras-like) se detectó en linfocitos de simio, codifica una proteína de 206 aminoacidos, cuyo peso molecular es de 23,5 Kd., y tiene una homología de 52% con p21 de H-ras, K-ras, y N-ras de mamífero, además de que presenta ciertas secuencias idénticas, que son las que codifican las regiones de p21 que interactúan con GTP y con la membrana (Chardin y Tavitian, 1986).

En *Saccharomyces cerevisiae* existe un geno que originalmente se llamo YPT1 y que ahora se conoce como YPT1, el cual tiene algunas similitudes con los genes ras de mamíferos. El geno YPT1 codifica una proteína de 206 aminoacidos cuya homología con p21 de *homo* es de 38% en los primeros 170 aminoacidos de ambas proteínas. Entre estas 2 proteínas existen regiones de divergencia que coinciden con las regiones donde más difieren todas las proteínas ras (Gallwitz y cols., 1983). Para las células de *S. cerevisiae*, la proteína YPT1 es indispensable, y su parécer está relacionada con la organización de los microtúbulos celulares (Schmidt y cols., 1986).

En *Escherichia coli* existe un geno relacionado con los genes ras, llamado era (*Escherichiaera*). El geno era codifica una proteína de 316 aminoacidos, similar a las proteínas RAS de levadura y que al igual que las demás proteínas ras, también presenta afinidad por nucleótidos de guanina (Ahn y cols., 1983).

En el genoma murino también se han descrito otros genos relacionados llamados rab1, rab2, rab3 y rab4 que comparten las regiones más representativas de los genes ras; estos genos tienen cierta homología con los genos YPT1 de *S. cerevisiae* (Touchot y cols., 1987). Además en el genoma murino se ha detectado otro geno, llamado ERL-ras (Bucci y cols., 1988).

En la esponja *Gedda cydonium* se ha descrito un geno ras que parece participar en la división de las células (Schröder y cols., 1988).

En la planta de maíz *Zea mays* también existen genos ras, que parecen estar involucrados en procesos de división y diferenciación celular (Zabulionis y cols., 1987).

Existen diversas especies de hongos (*Saccharomyces alluvius*, *Candida iishiiwadai*, *Asergillium niger*, *A. oryzae*, *Pichia stipidioides*, *Ceratocystis ulmi*, *Schwannomyces occidentalis*, *A. castellii*, *Zachrysia tauchichiana* y *Phyllospadix commune*) en las cuales también se han encontrado secuencias relacionadas con ras (Prakash y Seligay, 1985).

SHILD, B.-Z., WEINER, R. N. 1987. DNA sequences homologous to vertebrate oncogenes are found in *Drosophila melanogaster*. Proc Natl Acad Sci 78:6789-6792.

Las secuencias de oncogenes tienen la particularidad de estar muy conservadas en distintas especies, sobre todo entre vertebrados. Para saber si existen secuencias similares en el genoma de *Drosophila melanogaster* se analizó su cDNA con 8 sondas diferentes con la secuencia de otras tantas oncogenes virales y con 8 de dichas sondas se detectaron secuencias homólogas en el genoma de *D. melanogaster*. La sonda del virus de leucemia de Abelson (oncogene abl) hibridó con un fragmento y otras 4 sondas, la del virus de Sarcoma de Harvey (oncogene v-Harvey), del virus MC27 (v-myc), del virus de sarcoma de ave (ASV), y del virus de sarcoma felino (FeSV), reconocieron varias secuencias. Al estudiar el genoma de otros organismos se encontró que en nemátodos, hibridaron las sondas del virus de Abelson y la del virus de Harvey, la sonda del virus MC27 reconoció 3 bandas; en el erizo de mar sólo hubo un hibridamiento muy débil con la sonda del virus de Abelson. Esto indica que las secuencias oncogénicas están más conservadas, y existen en organismos muy más diversos de lo reportado hasta ahora.

BROCK, H. W. 1987. Sequence and genomic structure of ras homologues Dmras2B and Dmras3B of *Drosophila melanogaster*. Gene 51:129-137.

En el genoma de *D. melanogaster*, existen 3 genes homólogos a los genes ras humanos, los genes Dmras1, Dmras2 y Dmras3. El gen Dmras3, al parecer carece de intrones. Dmras1 y Dmras2 constan de 3 exones y 2 intrones, Dmras1 codifica una proteína de 190 aminoácidos y Dmras1 una proteína de 178 aminoácidos. Se compararon las secuencias de ambos con los genes c-mi-ras, c-Ki-ras, y N-ras humanos y con los genes RAS1 y RAS2 de levadura, y se encontró que el gene Dmras1 se parece más a los genes humanos que a los de levadura, y aún al Dmras2. Los primeros 70 aminoácidos de Dmras1 y de c-Ki-ras son idénticos, en los aminoácidos 80-110 la homología es de 75%, disminuye a un 20% en los aminoácidos 121-152, aumenta a 87% en los aminoácidos 153-184, y prácticamente desaparece en el extremo carboxílico. En total la homología entre el gene Dmras1, y c-Ki-ras es de 81.5%, entre Dmras1 y c-Harras es de 78.5% y entre Dmras1 y N-ras, es de 77.5%. Entre Dmras1 y Dmras2, la homología es de 56%. Con relación a los genes de levadura, la homología entre Dmras1 y RAS1 es de 61%, con RAS2 es de 62%, y entre Dmras2 y RAS1, de 63% y con RAS2, 62%. Las regiones de variabilidad y homología corresponden a las del resto de los genes ras, sin embargo los sitios de corte entre intrón y exón, y la posición de los intrones, son distintos de los sitios correspondientes en los genes humanos. Las diferencias entre ambos genes de *D. melanogaster* sugieren que tal vez estos tengan diferentes funciones en las células, aunque falta por conocer cuales sean.

NEWMAN-SILBERBERG, P., M., SEBERTIN, C., JOTTMANN, R., M., SHIBA, S. Z. 1984. The *Drosophila* ras oncogenes: structure and nucleotide sequence. Cell 37:1027-1036.

Usando una sonda con la secuencia de c-H-ras, se detectaron 3 genes homólogos en el genoma de *Drosophila melanogaster*, localizados en las posiciones 85B, 64B, y 82B, en el cromosoma 3; los 3 parecen ser funcionales. Se secuenciaron el gene de la posición 85B, llamado Dras1, y el de 64B, llamado Dras2; ambos genes tienen capacidad para codificar una proteína de 21 Kd. Dras1 tiene 4 intrones y un total de 567 codones, que corresponden a 189 aminoácidos, su proteína presenta una homología total de 100% con respecto al gene c-H-ras humano, la similitud es menor entre los aminoácidos i-121, y 137-164, en la posición 12 codifica glutamina, en la 61, glutamina, y en la 59, alanina, igual que los proto-oncogenes humanos. El gene Dras2 al parecer tiene un intrón, codifica una proteína de 186 aminoácidos que tiene una homología total de 80% con respecto a la proteína de c-H-ras, homología que se hace marcada en los aminoácidos 28-120 y 139-161, con escasa homología en los primeros 27 aminoácidos del extremo amino; esta región es donde se observa la mayor homología en las diferentes proteínas p21. Dras2 codifica asparagina en la posición 12, en la 51, fenilalanina y en la 59 glutamina, lo cual no corresponde con ningún otro gene ras. En el extremo carboxilo la variación deja de ser significativa igual que en el resto de los genes ras, aunque la secuencia de Dras1 y de Dras2, es más parecida a la del exón IVb codificado por el gene c-Ki-ras humano, en las posiciones correspondientes.

MOZER, B., PARKER, R., PARKHURST, S., CRUCES, V. 1988. Characterization and developmental expression of a *Drosophila* ras oncogene. Mol Cell Biol 8:865-889.

Se estudió uno de los 3 genes ras existentes en el genoma de *D. melanogaster*, el gene Dras2. Se encontraron 2 regiones intrónicas en la secuencia de Dras2, que tiene capacidad para codificar una proteína de 198 aminoácidos con un peso molecular de 22.7 Kd. Comparándola con la secuencia de la proteína codificada por el gene c-H-ras humano y de la proteína Ki-ras de llevadura, se encontraron en el extremo amino de la proteína de Dras2 2 aminoácidos extra con respecto a H-ras, y en los 90 aminoácidos siguientes la homología es de 80% aprox., tanto con la proteína de Ki-ras, como con la proteína de H-ras. Entre los 7 primeros aminoácidos del tercer exon Dras2 presenta 3 aminoácidos adicionales; en los 80 aminoácidos siguientes la homología es menor, entre 65% y 80%, y a partir del aminoácido 170, prácticamente no existe homología alguna.

ESTEIRO-JONES, D., GOLINICK, E. M., NIETO, R., PUEY, R. 1985. Nucleotide sequence of two ras-related genes isolated from the yeast *Saccharomyces cerevisiae*. *Nature Genetics*, 1: 107-110.

Se analizó el genoma de *Saccharomyces cerevisiae* mediante uso de un plásmido fragmentario que lleva insertos los genes *ras1* y *ras2* de mamífero. Un característico de ambos es la presencia de secciones de homología. Se observó que existe una gran homología tanto entre ambos genes como con las proteínas de aminoácidos entre las respectivas secuencias de aminoácidos. Se determinó la secuencia de la proteína de uno de los 2 genes de *S. cerevisiae*, que se comparó con p21 de cebolla de jardín, p21 de *Mus musculus* y el extremo amino terminal en p21 de *Macaca* a partir del aminoácido 9 de levadura y del aminoácido 1 de p21 de *Levadura* no establecido. Existe una alta identidad en *Saccharomyces cerevisiae*, probablemente porque ésta codifica la p21 proteína en un mamífero.

DHAK, R., NIETO, R., POLICE, R., ESTEIRO-JONES, D., GOLINICK, E. M. 1984. Nucleotide sequence of two ras-related-genes isolated from the yeast *Saccharomyces cerevisiae*. *Nuci Am Res*, 12: 561-565.

Se estableció la secuencia de los genes RAS1 y RAS2 del genoma de *S. cerevisiae*, los cuales codifican proteínas cuya masa molecular es de 40 y 41 kd respectivamente. Ambas proteínas presentan una gran homología en los 170 aminoácidos del extremo amino terminal con las proteínas ras de mamífero, para en el extremo carboxílico la homología es menor. RAS1 codifica una proteína de 307 aminoácidos y RAS2, una proteína de 322 aminoácidos. La secuencia de los 2 genes tiene una homología total de 48%, y es mayor en el extremo amino, donde de 170 aminoácidos, 130 son idénticos, a diferencia del extremo carboxílico donde sólo coincide el 20% de los aminoácidos. Estas regiones equivalen a las regiones de homología y divergencia de los genes ras, tanto virales como de mamíferos. Las proteínas RAS1 y RAS2 existen numerosos residuos de asparagina y tienen 7 aminoácidos adicionales en el extremo amino con respecto a p21 de mamíferos. RAS1 tiene además 117 aminoácidos adicionales en el extremo carboxílico y RAS2 tiene 129. Los aminoácidos de las posiciones 11 y el de las proteínas de levadura son los mismos de las proteínas proto-oncogénicas ras de mamífero.

REINHOLD, G., RUDOLPH, J., WILHELM, M., KERSEBOLD, W.,  
KERNHAGEN, J. H. 1974. Interaction of heterodimeric  
proteins with nucleic homologous non-DNA regulatory proteins.  
Cell 6: 679-689.

En este año se describen las proteínas homólogas a las genes rRNA de mamíferos RRS1 y RRS2. Se determinó la secuencia nucleotídica primaria de ambos genes y se constató que ambos codifican proteínas con una homología de casi 90% en las proteínas RRS1 y RRS2 en las siguientes posiciones, la homología es de casi el 50% en conservación, con las proteínas rRNA de mamífero. Las proteínas RRS1 y RRS2 tienen entre el 30% y 40% de homología de TTR en los primates y homínidos, y a partir de esta posición hay mayores variaciones, da la misma región donde la divergencia entre diversas proteínas rRNA de mamífero es mayor. Se observó que proteínas RRS1 y RRS2 tienen una estructura muy similar a las de mamíferos, inclusive las proteínas de *S. cerevisiae* son semejantes por su composición en nucleótidos, contra proteínas rRNA de mamífero.

DEFER-DOUGLASS, M., EPIDEMIOLOGY, R. A., GILLESPIE, J. F., LINDNER, M. C., LINDNER, D. R. y SCHULMAN, L. B.: *Mammalian and yeast ras genes: products, biology and transformation*. In: *Science*, 248: 1077-1081.

La levadura *Saccharomyces cerevisiae* tiene 17 genes que codifican proteínas con muy similares o las proteínas que se han identificado. En 10 se activan en estos quince están la viabilidad celular, y la disruptión de uno de estos resulta en divisiones anómalas en sustratos como el etanol y glicerol, pero que dependen de la cantidad de proteína RAS1 a las levaduras. Si producida puede comensal. Se han descrito las relaciones entre genes ras: *ras1*, *hom1*, de levadura; los genes *RAS1*, *RAS2*, *v-H-ras*, *v-fil-ras*; el proto-oncogén *c-H-ras* humano y un gen hibrido, que se construye con segmentos de *RAS1* y de *v-H-ras*, se insertaron en cinco tipos plasmidos, y todos restituyeron la división celular de levaduras con disruptión en *RAS1* y *RAS2* y también restituyeron la viabilidad cuando *v-fil-ras* y el proto-oncogén *c-H-ras*. Se construye otro gen recombinante con los primeros 59 aminoácidos de *RAS1*, y los aminoácidos 130-169 del gene de mamífero con mutación del codón 157 que se confiere crecimiento in vitro, y también otros 2 recombinantes con los primeros 161 aminoácidos de *RAS1* y los aminoácidos 134-169 del gene *ras* de mamífero, uno con mutación del codón 59 y otro del codón 61, y los 3 genes construidos transforman las células NIH-3T3. Incluye otro gene, con delección de 117 aminoácidos en el extremo carboxílico terminal y mutación del codón 61 formado integramente por secuencias provenientes de *RAS* de levaduras también induce la transformación de las células NIH-3T3. Este descubrimiento que la función de las proteínas ras se ha conservado a lo largo de la evolución en organismos tan distintos como las levaduras y los mamíferos.

NADIN-DAVIS, S. A., NASIM, A., BRAUCH, D. 1986. Involvement of ras in sexual differentiation but not in growth control in fission yeast. *Embo J* 5:2963-2971.

En *Schizosaccharomyces pombe* existe un gene de la familia ras cuya disruptión no resulta letal, pero causa deformación celular, esterilidad en células haploides y las células homocigóticas ras<sup>+</sup> esporulan con deficiencias. Se estudió la función del gene ras de *S. pombe* con alelos de ras activos e inactivos, y con un alelo con mutación del codón 12. El alelo mutante ras-Vail12 inhibió la conjugación, pero no afectó la división celular, ni la esporulación; las células que expresaron un alto nivel del ARNm de ras presentaron formas más alargadas, y no mostraron alteraciones en su diferenciación sexual; este fenotipo es muy diferente al observado en células de *S. cerevisiae* con una mutación equivalente en sus respectivos genes RAS. Estos resultados indican que es muy probable que en la levadura *S. pombe* la proteína ras no se relacione con la adenil ciclase como en *S. cerevisiae*. En las células de *S. pombe* con el gene ras inactiva, se inhiben la conjugación y la esporulación; en estas células se introdujeron genes ras humanos y se restableció la actividad sexual, sugiriendo que las proteínas de los genes ras humanos tienen la capacidad de suprir la función de las proteínas de genes ras de *S. pombe*. Se concluye que en *S. pombe*, se requiere la función de las proteínas codificadas por los genes ras, para la diferenciación sexual pero no en la división celular, y cabe señalar que aunque los genes ras existen en una gran diversidad de especies, su función no siempre es la misma, aun en especies tan relacionadas como las levaduras *S. cerevisiae* y *S. pombe*.

CETINGER, A., DEGNER, R.H., FALKOWSKI, R., HU, LEVY, L.G. y ZIMMER, C. 1986. Assignment of Herpes virus oncogene c-Ha-ras-2 to chromosome 1, in *Proc. Natl. Acad. Sci. USA* 83: 11551-11554.

Se considera que el origen de los oncogenes-virus, fue por la recombinación del genoma viral con el genoma de ratas, principalmente en los cromosomas de los proto-oncogenes más estudiados, y por esto es importante determinar las ubicaciones en los cromosomas de los proto-oncogenes y en el genoma de ratas. Se ha reportado que en el genoma de rata existen al menos tres genes para c-Ha-ras-1, c-Ha-ras-2 y c-Ha-ras-3 aunque solo se conoce el primero ya que no se ha encontrado una función pues no presenta secuencias hidrofobicas. Se hicieron algunas hibridas con células de rata y de rata y en estas hibridas se degradaron principalmente los cromosomas de rata, y así se determinó que en el genoma de rata, el gene c-Ha-ras-2 está localizado en el cromosoma 1, c-Ha-ras-1 en el cromosoma 1 y c-Ha-ras-3 en el cromosoma X.

CITTA, M., HOLIFORD, R., DMR, R., DILFEO-JONES, D., ELLIS, R. W. y ECHLINICH, E. H. 1986. Nucleotide sequence of the two rat cellular rasH genes. *Nat. Cell Biol.* 6: 1706-1710.

En el genoma de rata existen 2 genes homólogos al gene humano c-Ha-ras-2, también llamados c-Ha-ras-1 y c-Ha-ras-2. Se estudió la secuencia de bases y se encontró que el c-Ha-ras-2 es colinear con el gene H-ras viral, y es un parentejo. c-Ha-ras-1 tiene 4 exones homólogos al gene H-ras viral, es un gene funcional formado por 137 codones que codifican una proteína de 31 Kd, prácticamente igual a p21 de ratas humanas pues solo existen 3 nucleótidos distintos entre los genes de rata y humano en los codones 12 y 50, el tercer nucleótido no se traduce en la proteína por lo que solo 2 aminoácidos son distintos entre ambas proteínas. Este resultado que las mutaciones puntuales en estos aminoácidos son las que activan la proteína y considerando que el gene H-ras viral proviene del RSV de rata es más probable que el gene incorporado haya sido c-Ha-ras-1, pues c-Ha-ras-2 tiene 3 endopéptidos que codificarían aminoácidos diferentes de los correspondientes en la proteína viral. En cuanto al gene c-Ha-ras humano existe un 82% de homología pues 57 bases son diferentes en los 2 genes. Existe la posibilidad de que los 2 aminoácidos diferentes hayan surgido durante un proceso de selección artificial en los laboratorios, al llevar a cabo sucesivos experimentos con el virus de sarcoma murino de Harvey donde se alteraron las cepas más transformantes.

- HOFFMAN, E. K., TRUSKO, S. P., FEEHAN, N., GEORGE, D. L. 1987. Structural and functional characterization of the promoter region of the mouse c-Ki-ras gene. *Nat Cell Biol* 71:2592-2596.

La homología entre los genes ras de humano y ratón es considerable. El gene c-Ki-ras de ratón mide unos 40 Kb, tiene un exón que no se traduce, el exón 0, y otros 5 exones que se traducen en la proteína p21, los 2 últimos exones son alternativos, igual que en el gene c-Ki-ras humano. Para determinar si también existe una homología funcional se estudió la regulación de este gen, caracterizando su región promotora. Se clonó un fragmento de 1100 pb. de la región 5' del gene, en cuya secuencia se encontró un alto contenido de G+C (76%), no se encontró caja TATA ni caja CAAT, pero sí 12 copias de las cajas GC,GGGcGG y CGCGCC. El exón 0 va del codón 150 al 320, el exón 0 tiene una homología de 82% con la región correspondiente del gene humano. En los genes ras de ratón y humano los exones codificantes tienen una homología de 94%, y la gran homología que existe también entre las regiones no codificantes, indica que la función de las regiones no codificantes ha de ser muy importante; y para determinar dicha función se clonó un fragmento con la región no codificante en un plásmido junto con el gene CAT, y se encontró que dicha región funciona como promotor en la transcripción. Los genes domésticos comparten muchas de estas características, como el alto contenido de G+C, y la ausencia de la caja TATA, por ello se concluye que c-Ki-ras ha de cumplir una función muy importante en la rata, y posiblemente también en humanos.

- NEMOTO, N., KODAMA, K. I., TAZAWA, A., MASAHITO, P., ISHIKAWA, T. 1985. Extensive sequence homology of the goldfish ras gene to mammalian ras genes. *Differentiation* 32:17-23.

Se estudió el genoma del pez dorado hibridando su ADN con la sonda del gene H-ras viral, con la cual se detectaron 4 fragmentos que se clonaron y se determinó la secuencia uno de ellos; este gene presenta considerables similitudes con los genes ras de mamíferos. Consta de 4 exones, tiene capacidad para codificar una proteína con un peso molecular de 21 Kd formada por 193 aminoácidos, de los cuales, 175 son idénticos a los aminoácidos de la proteína p21 del gene c-Ki-ras humano, otros 4 son iguales a los correspondientes de las proteínas p21 de c-H-ras y/o N-ras humanos y sólo 2 son diferentes. En total la homología con p21 de c-Ki-ras huma no es de 96%, la homología con las otras dos proteínas p21 es menor pero es también significativa. Se encontraron más similitudes: Las uniones entre intrón y exón del gene ras del pez corresponden a los de los genes humanos, el intrón más corto está entre el segundo y el tercer exón de los dos genes, y los aminoácidos 12 y 61 de p21 del proto-oncogene H-ras y del gene ras del pez son idénticos. Con los 4 fragmentos detectados, se hicieron sondas para estudiar el genoma del pez. Se concluye que existen cuando menos 3 genes ras en el genoma del pez dorado.

CONCEPCIÓN DE LA CULTURA EN EL MIGRANTE MEXICANO.  
SUS DIFERENCIAS Y SIMILARES. RELACIONES ENTRE CULTURA  
PROPIA Y CULTURA ALTRUISTA EN EL MIGRANTE MEXICANO.  
HABLA DEL MIGRANTE MEXICANO.

En la presente tesis se analizarán las diferencias y similitudes entre la cultura propia del migrante mexicano y la cultura altruista. Se distinguirán las diferencias en la percepción de los individuos, entre ellos, nacidos en la cultura propia de su país y los extranjeros, teniendo en cuenta las ideas del tipo migrante. Durante las últimas dos décadas, el tema social y étnico particularmente importante ha sido el tema de la población extranjera en los Estados Unidos. Un gran número de migrantes es originario de un grupo que considera una población de 120 mil personas que vive en anticlericalismo y la otra parte de 100 mil que residen en comunidades rurales con poca actividad, al parecer es fundamentalmente éste uno que proviene de una clase media urbana que vive en una situación económica favorable. La clase media rural, que es la que se encuentra en la administración, vive reducida al 10% cuando se fija en su hogar, compuesta por una población entre 10 y 12 personas, en la urbanización y la vivienda están en su mayoría, donde predominante dentro de la población de la población que.

ESTA TESIS NO DEBE  
SALIR DE LA BIBLIOTECA

REYMOND, C., D. CONÉR, R. M., MINDI, M. C., FIRTEL, R. A. 1984. Developmental regulation of a Dictyostelium gene encoding a protein homologous to mammalian ras protein. *Cell* 39:141.

*Dictyostelium discoideum* es un protocario con una forma amiboides en presencia de nutrientes, pero sin clina, forma agregados multicelulares, con esporas y células pedunculadas. Las células precursoras, pre-esporas y células pre-pedunculadas se observan a las 12 horas aprox. de que las células han permanecido sin nutrientes, encima de la agregación celular mas compacta, y a las 16 horas aprox., los agregados forman pseudoplaestodios, con células precursoras en un arreglo espacial específico. Existen genes que se expresan preferencialmente ya sea en las pre-esporas o en las células pre-pedunculadas uno de estos genes codifica una proteína con un peso molecular de aprox. 24 Kd, homóloga a p21 de mamíferos; el gene Dd-ras. La homología entre p21 de ratón de mamífero y la proteína Dd-ras es de 66%; con p21 de c-Ha-ras y N-ras es de 65% y con RAS1 y RAS2 de levadura es de 64%. En los primeros 81 aminoácidos de Dd-ras y de p21 de mamífero sólo existen 5 aminoácidos diferentes, y hacia el extremo C la homología disminuye, pero el C-terminal Dd-ras termina con la secuencia GysPm, igual que p21. Dd-ras codifica dos transcritos, un ARNm de 900 y otro de 1200 bases, el ARNm de 1200 bases se expresa en células vegetativas y desaparece y se acumula de nuevo, junto con el ARNm de 900 bases, preferentemente, en células pre-pedunculadas. La proteína Dd-ras permanece constante durante el proceso de agregación, y después desaparece. La expresión del gen Dd-ras, puede inducirse con rIFNc en células aisladas, sin contacto celular entre sí; si rIFNc aumenta el nivel del transcripto de 1200 bases. Estos resultados comprueban que los genes ras cumplen funciones importantes y específicas en la proliferación y diferenciación celular, al menos en algunas especies y es muy posible que también en mamíferos.

REYMOND, C. B., CONER, R. H., HELLERI, D., THIBOURET, A., DEVREDIEZ,  
P., PIRTEL, R. A. (1991) Multiple changes induced by a mutante  
ras gene during the development of *Dictyostelium discoideum*.  
*Nature*, 352(6320-343).

En *Dictyostelium discoideum* se encuentra un geno ras, similar a la proteína p21 de mamífero, y es idéntica en las regiones potencialmente transducibles. Se estudió la función de la proteína Ed-ras, registrando los efectos del geno Ed-ras con una mutación del codón 12, equivalente a la mutación que activa los oncogenes ras de humanos. La mutación se indujo mediante mutagénesis dirigida en oligonucleótidos, uno permaneció con la Gly-12 normal, y otro se cambió a Thr-12 mutante, y ambos se introdujeron en células de *D. discoideum*. Las células con el geno ras-Gly-12 se dividieron originando agregados, con la formación de "picos" sencillos de células, igual que las células normales, pero las células con ras-Thr-12 mutante, formaron agregados con múltiples picos y no prosiguieron su desarrollo. Las células Gly-12 continuaron su desarrollo formando tallos de agregación como células normales, mientras que las células Thr-12 lo hicieron muy limitadamente. En células con ras-Gly-12 ocurrió una fuerte selección contra el geno mutante y se verificó que el fenotipo alterado se debió al geno Ed-ras-Thr-12. En *D. discoideum*, el AMPC es muy importante en la morfogénesis celular, y regula el proceso de agregación de las células durante el desarrollo, y aunque los fenotipos observados sugieren posibles alteraciones en la vía del AMPC, no se encontró ninguna diferencia entre las células mutantes y las células normales en los niveles de AMPC, de su receptor y de la adenil ciclase, lo que significa que la alteración probablemente ocurre en otro nivel. Se concluye que en *D. discoideum*, el geno Ed-ras interviene en los procesos de diferenciación celular.

MADRIGAL, S. y HABEL, R. 1985. A novel ras-related gene family. Cell 41:31-40.

En el genoma del caracol de mar *Aplysia californica* se identificó una secuencia que resultó homóloga a los genes ras, que se llamó gene rho (por ras-homólogo). Se caracterizó el gene rho, el cual tiene capacidad para codificar una proteína de 192 aminoácidos, con un peso molecular de 21 Kd que presenta una homología de 35% con el gene c-ras1 humanos, 27% con Ras<sub>α</sub> de *D. melanogaster* y de 32% con YP2 de levadura; estos dos últimos se consideran los genes menos relacionados con la familia ras. Las regiones de divergencia y homología coinciden con las regiones de estos 3 genes ras humanos y la más homóloga es la que se localiza en el extremo amino hasta el codón 121. Del codón 121 al 140 (122-155 para rho) la divergencia es muy marcada, pero en el extremo carboxílico los 4 últimos aminoácidos conservan la misma secuencia de los genes ras. Se detectó un transcripto de 4.5 Kb de rho. Se hizo una sonda con la secuencia de rho para analizar el genoma de rata y humano y en ambos se encontraron secuencias homólogas. En humanos se caracterizaron de manera preliminar las secuencias encontradas y se estableció que existen al menos 2 genes rho en humanos; las proteínas que pudieran codificar los genes rho de *A. californica* y humanos, tendrían un 85% de homología, con los primeros aminoácidos iguales y la proteína rho humana tendría una homología de 35% con la proteína p21 humana, por lo que tal vez tengan funciones similares.

ANDERSON, P. B. y LADAL, J. C. 1987. Expression of the *Aplysia californica* rho gene in *Escherichia coli*: Purification and characterization of its encoded p21 product. Mol Cell Biol 7:3620-3628

El gene rho de *Aplysia californica* se parece a los genes ras en estructura nucleotídica y en la secuencia de su proteína, y probablemente también a nivel funcional. Los genes ras tienen características de las proteínas-G y se investigó si también la proteína rho, expresando el gene rho de *A. californica* en el genoma de *E. coli* para estudiar la proteína resultante. Las regiones de homología entre p21 de rho, y p21 de ras, son las que parecen estar involucradas en la capacidad de p21-ras de unirse a GTP/GDP (codones 8-21, 37-64, 105-120, y 141-179), si bien la gran divergencia en otras regiones posiblemente indique que las funciones de las 2 proteínas son distintas. La proteína p21-rho mostró actividad de GTPasa aunque bajo diferentes condiciones biquímicas que p21-ras. La afinidad por GTP/GDP fue de 5 a 10 veces menor en p21-rho, que en p21-ras, y la especificidad por GTP fue menor a la especificidad por GDP en p21-rho. La afinidad por GDP/GTP, y la función de GTPasa son características de las proteínas-G, por lo que se concluye que la proteína p21 codificada por el gene rho, tiene capacidad para funcionar como proteína-G, aunque su función específica probablemente no sea igual a la de p21 de los genes ras.

LÓPEZ, D. S., CAMÓN, B. J., DELWANT, M., SARACUDI, M. M., NAVARRO, S. L., GODEDDEL, D. V. 1986. Structure of the human and murine N-ras genes: novel genes closely related to ras protooncogenes. *Cell* 48:137-48.

Los genes ras son muy importantes, por lo cual se examinó el genoma humano con una sonda de v-H-ras, en condiciones tales que la sonda permaneciera unida a fragmentos no muy homólogos y se detectó un gene, que se llamo R-ras ("Related-ras"). El gene R-ras tiene 6 exones, mide apropiadamente 3.4 Kb, tiene en los primeros 1000 nucleótidos una caja TATA y 4 cajas GC, las s exones varían en tamaño, de 27 a 51 codones, codifica una proteína de 216 aminoácidos, con un peso molecular de 23.4 Kd, y una homología de 83% con p21 del gene c-H-ras humano. Asimismo, se aisló y caracterizó R-ras del genoma de ratón, que resultó tener una homología de 88% con el gene humano, y una homología de 78.5% con la proteína N-ras humana. La estructura intrón-exón de N-ras no coincide con la de otros genes ras, pero la posición del primer intrón de R-ras resultó idéntica con respecto a otros dos genes: *Rasab10* de *D. melanogaster*, y *Ds-ras* de *D. discoideum*. Se determinó que R-ras se localiza en el cromosoma 19 humano y en el cromosoma 7 de ratón. La principal diferencia entre las proteínas de los genes R-ras, H-ras, K-ras y N-ras, es un fragmento de 26 aminoácidos en R-ras, en el extremo amino terminal, que no presentan las otras proteínas, pero se conservan las regiones de unión a GTP y la región carboxilo terminal, lo que indica que la función de la proteína de R-ras ha de ser similar a la de p21-ras.

CHARDIN, P., TAVITIAN, A. 1986. The raf gene: a new ras related gene isolated by the use of a synthetic probe. *EMBO J.* 5:2203-08

Mediante un oligonucleotídeo con la secuencia de los aminoácidos más conservados entre los distintos genes ras (posiciones 57-63) se encontró un gene relacionado con los genes ras, que se ligó al virus *ras-like* en linfocitos de círculo no transformados, pero immortalizados con el virus *gp60kinase*. El gene raf tiene capacidad para codificar una proteína de 206 aminoácidos con un peso molecular de 23.5 Kd, que con las proteínas p21 de los genes humanos c-Ha-ras, c-Ki-ras y N-ras, tiene una homología en general de 82%. El gene raf presenta las secuencias que codifican las regiones de unión a GTP en la proteína, así como la secuencia del extremo carboxilo terminal, que en p21 de ras corresponde al único asparagina, y se concluye que la proteína raf probablemente también es una proteína localizada en la membrana celular, y su función tal vez sea también similar a la función de p21 de ras.

REED, J. E., HARRIS, R. J., KERSEY, P. J., COOPER, J. M. y STANLEY, P. J. 1982. A yeast homolog of actin-related protein YPT1 is required for microtubule organization. *Nature* 295: 704-707.

Los autores han descubierto un homólogo de YPT1 en levaduras que es capaz de formar tubulina en presencia de GTP/GDP. Se han identificado 2 genes que codifican la proteína YPT1 en *Saccharomyces cerevisiae*, *S. pombe* y *S. pombe*. Los genes de *S. pombe* se llaman YPT1 y YPT2. Los genes de *S. cerevisiae* se llaman RAS1 y RAS2. Los genes de *S. pombe* tienen una actividad de 10 veces mayor que los de *S. cerevisiae*. La actividad de YPT1 es similar a la de RAS1. La actividad de YPT2 es similar a la de RAS2. Los genes de *S. pombe* tienen una actividad de 10 veces mayor que los de *S. cerevisiae*. Los genes de *S. pombe* tienen una actividad de 10 veces mayor que los de *S. cerevisiae*. Los genes de *S. pombe* tienen una actividad de 10 veces mayor que los de *S. cerevisiae*.

SCHMITT, H. O., WAGNER, C., REAFF, E. y OMANNITZ, D. 1986. The yeast-related YPT1 gene product in yeast: A GTP-binding protein that might be involved in microtubule organization. *Cold Spring Harbor Symp. Quant. Biol.* 47: 401-408.

El gen YPT1 de *Saccharomyces cerevisiae*, antes llamado YPT2, tiene una homología de 30% con las proteínas p21 humanas. El que en levaduras la disrupción de los genes RAS1 y RAS2 es letal indica que la proteína YPT1 no puede complementar la función de los 2 genes RAS, y que la función de la proteína YPT1 ha de ser diferente. Para definir su función, en espores se inactivó el gen YPT1 que se desarrollaron, y algunas se dividieron una o dos veces; lo cual no ocurrió al inactivar RAS1 y RAS2. El promotor GAL10 que es activo en un medio con galactosa se insertó cerca de YPT1 en celulas que se dividían normalmente con galactosa, pero con glucosa el promotor se inactiva y la división empieza a detenerse hacia las 11 horas, las células presentaron un tamaño mayor que las células normales, y algunas presentaron formas tricubiladas; en presencia de galactosa, volvieron a la normalidad. La organización de los microtúbulos mostró cada vez más alteraciones, mientras más tiempo permanecieron las células con YPT1 inactiva, y se comprueba que los genes de beta-tubulina y actina localizados a ambos lados del gen YPT1 no intervienen en las alteraciones fenotípicas. Es evidente que existe una correlación entre YPT1 y la organización de los microtúbulos, y para caracterizarla se estudió la proteína YPT1, que conserva las regiones de unión a GTP/GDP, incluyendo al codón 121, y se demostró que conservan dicha afinidad. Se indujo una mutación puntual en el codón 121, que resultó letal para las células. La proteína YPT1 con la mutación en el codón 121 perdió la afinidad por GTP. Se concluye que en *S. cerevisiae*, la proteína YPT1 participa, directa o indirectamente en la organización de los microtúbulos, y por lo tanto, en el fentotipo celular.

elabai, J., HANCOCK, J. S., TAYLOR, M. A., VASQUEZ, M. J. 1984.

A cDNA library analysis of immunoprecipitated rat yeast rns proteins. Proc Natl Acad Sci USA 81: 3934-3938.

Los genes rns se caracterizan por su muy diversa tipología de homologías y en este trabajo se detectó por primera vez un gen rns similar a los que se en el genoma de *Saccharomyces cerevisiae*, que se llamará gene *rns1*, por *Rab1* (rns1). El gen *rns1* se localiza más distanteamente después del gene de la catenina-1 que el entre los *rns*, y tiene capacidad para codificar una proteína de 116 aminoácidos. Se compara la secuencia de la proteína del gene *rns1* y la proteína de los genes *YPT1* de *Inverticula* y se observa una homología de 41% en los 197 primeros aminoácidos de la proteína *YPT1*, y de 42% con la proteína de *YPT2*, y a medida de otras posibilidades se encuentra la misma de argumentar que en *Inverticula* los genes *rns* no conservan los últimos aminoácidos. La proteína del gene *rns1* tiene afinidad por nucleótidos de guanina igual que las proteínas ras humanas. Estos resultados indican que los genes *rns* se originaron en etapas muy tempranas en la evolución, pero también se encuentran en prokariotas y se han conservado por millones de años.

TOUCHOT, N., CHARDIN, P. y YAVITIAN, R. 1987. Four additional members of the ras gene superfamily isolated by an oligonucleotide strategy: Molecular cloning of YPT-related cDNAs from a rat brain library. Proc Natl Acad Sci USA 84: 6210-6214.

Las proteínas de la familia ras comparten regiones muy conservadas que tienen un régimen variable. En especial la secuencia Asp-Thr-Ala-Gly-Gly-Ser en las posiciones 57-62 de *c-ksr-2* es muy conservada, además de que no existe en ninguna otra proteína conocida, ni siquiera en las proteínas G y puede considerarse exclusiva de los genes ras, y si existe, otros genes más probablemente codifiquen este péptido pero existen 512 secuencias nucleotídicas que lo codifican, por lo que se hicieron diversas combinaciones con varias secuencias nucleotídicas hasta encontrar la combinación que detectó todos los genes ras conocidos con dicha combinación, se creó una librería genómica de cerebro de rata, y se detectaron 4 genes que codifican al péptido, llamados *Rabi*, *Rab7*, *Rab3* y *Rab4* (por ras-brain). Se caracterizaron estos genes: El gene *Rabi* tiene capacidad para codificar una proteína de 205 aminoácidos cuya peso aprox. de 23 KDa con una homología de 75% con la proteína YPT de *Inverticula*. El gene *Rab3*, codifica una proteína de 212 aminoácidos, con 23.4 KDa aprox., de peso molecular, y homología de 68% con YPT; *Rab3* y *Rab4* no presentan regiones codificantes definidas. Entre las regiones conservadas están las de afinidad por GTP/GDP. Se concluye que estos genes posiblemente estén relacionados con los genes *rns* y que *Rabi* tal vez sea el equivalente del gene *YPT* de *Inverticula* en mamíferos.

BUCCHI, C., FRUNZIO, R., CHIAROTTI, L., BROWN, B. E. J., KOEHLER, H. H., BRONK, C. C. 1986. In new mutants from rat cells gene superfamily identified in a rat liver cell line. *Mol Cell Biol* 6:1511-1517.

En la línea celular BRL-41 de fibroblastos de rata, se encontró un nuevo gen de la familia ras, al analizar la librería genómica de estas células, con la sonda de rBII con un fragmento del factor de crecimiento similar a insulinina (IGF-II), que originalmente se estaba estudiando. Con esta sonda se detectaron y clivieron diversos fragmentos, se secuenciaron y ninguno se semejó parcialmente al IGF-II, pero uno de los fragmentos presentó ciertas similitudes con los genes ras, y se le llamó gene BRL-ras. Se caracterizó el gene BRL-ras y se encontró que tiene capacidad para codificar una proteína de 201 aminoácidos, que contiene un peso molecular estimado de 22.8 Kd, cuya secuencia tenía una homología de 30-35% con las proteínas p21 de ras, conservando las regiones para la unión a GTP y la región carboxílico terminal. Se elaboró una sonda con la secuencia de este gene, con la que se detectaron genes BRL-ras en diversas muestras de tejido y líneas celulares de rata, indicando que el gene BRL-ras forma parte del genoma normal de rata.

SCHRODER, H. C., RUCHINGA, Y., GRANZOW, M., KORNBLAD, B., FRIESE, U., UHLENBRUCK, G., MULLER, W. E. G. 1986. Induction of ras gene expression by hemidiasporus aggregation factor in cells from the sponge *Gedda cydonium*. *J Biol Chem* 261:16354-16360.

Las esponjas tienen una organización celular muy sencilla pero con cierto grado de especialización celular, lo que facilita estudiar los mecanismos de interacción entre célula y célula, que permiten a las células situarse en su lugar funcional. Se han reportado en *Gedda cydonium* dos tipos de moléculas que participan en el contacto inicial especie-específica de las células, el factor de agregación (AF) y el receptor de agregación a la base. Para que las células se sitúen en su lugar funcional, actúan 2 grandes sistemas de interacción célula-matriz, que involucran al factor de unión proteína-carbólipo, y el varón de unión-agregación a lectina. En *Gedda cydonium* este proceso se efectúa cuando el AF se une al receptor de agregación unido a membrana (RA), después se estimula el metabolismo de fosfatidilinositol, y se inicia la síntesis de ADM. Se detectaron en *Gedda cydonium* proteínas codificadas por genes similares a los genes ras, que se activan al unirse el AR con AF; la proteína ras se asocia a membrana y se une al receptor de lectina. Después de que se expresa ras, las células son accesibles al agente mitótico que induce su división. Aún no se detectó el gene ras como tal, pero si las proteínas que codifica, se caracterizaron y se determinó que tienen un peso molecular aprox. de 22-26 Kd, presentan afinidad por GTP, y son homólogas a las proteínas p21 de los genes ras de mamífero. Se concluye que las proteínas ras de *Gedda cydonium* participan en los procesos de división celular y de interacción entre célula y célula.

Los resultados obtenidos permitieron la descripción de la especie y diferenciación celular y su distribución en muy diferentes tipos de genómica tanto en el polímero nuclear como en el citosólo. Se observó una alta estabilidad genómica que se observó tanto en las células somáticas, que participaron directamente en la división y diferenciación, es una planta que tiene gran importancia económica y que se ha cultivado ampliamente a nivel mundial. La planta de *Mitchella* es una planta que muestra una variedad de orígenes genéticos de los encogentes *v-ray*, *Afro*, *C-Huayra*, *Chimor*, *Ucayali* y *Yauyos*, y se obtuvieron varios resultados, uno de los cuales hibridó con la especie *M. repens* y el otro hibridó con *M. repens*. Se hizo la actividad transcripcional y se encontraron dos transcritos de actina. Los otros fragmentos que se detectaron correspondían a la mitad de los encogentes *V-ray*, *Ucayali* y *Yauyos* y no se detectaron más. Sumamente se sospecha que los encogentes celulares son los responsables que se han conservado durante miles de años, en muy diversas especies.

PRAMASHI, M., SELIGER, W. L. 1985. Chromosome related sequences in annual linkage of some tree species. *Tree Genet. Crop. Res.* 1(2):207-211.

Se han reportado y caracterizado genes homólogos a los oncogenes de mamíferos en dos especies de levaduras, *S. cerevisiae*, y *S. pombe*, por lo que se investigó la presencia de genes similares en otras especies de hongos, y en diversas especies se detectaron secuencias homólogas a los oncogenes de mamíferos, *rat*, *abi*, y *mos*. Con la sonda del gen *v-Myc* se detectaron varias secuencias en *Aspergillus nidulans* y *Ceratostysis* sp. En *Pachysolen tannophilus*, *Aspergillus niger*, *Schizophyllum commune*, *Schizoprium* sp., *Schizomyces occidentalis* y *Schizopsmarcescens pombe*, se detectaron secuencias homólogas (de 1 a 3) y con poca intensidad, pero en *Eschia coli*, *Candida utilis*, *C. krusei*, *C. albicans*, *Saccharomyces cerevisiae*, las secuencias se detectaron con mayor intensidad, aunque también fueron escasas. Con una sonda del gen *fos* de *S. cerevisiae* se detectaron con escasa intensidad, secuencias en *S. pombe*, *S. cerevisiae*, *S. ellisii* y *S. kudriavzevii*. Los oncogenes *v-mos* y *v-abl* se detectaron en *S. cerevisiae*, *S. ellisii* y *S. pombe*, *S. kudriavzevii* y *S. pombe*. También hubo hibridación con una sonda del gen de actina, el cual está muy conservado en la evolución. Se concluye que es muy posible los oncogenes, en especial *ras*, existen en mayor número de especies que el reportado hasta el momento.

## CARACTERISTICAS DE LOS PROTEINAS RAS

Como se ha repetido a lo largo del texto, el producto de los genes ras son proteinas llamadas en general p21. La gran similitud que hay entre las proteinas de los genes H-ras, K-ras, y N-ras es por lo que estos genes se consideran miembros de una sola familia. Los importantes conocimientos obtenidos al estudiar las proteinas RAS de levaduras han constituido un gran avance, y en este capitulo se trataran dichos conocimientos sin embargo con su desacceso la función de las proteinas p21 en el mecanismo celular normal, y menos aún en este caso en que estas proteinas participan en los procesos tumorigénicos, sera su función en células normales, cuestión que sea seguramente más o menos importante, dado que existen en un gran número y variabilidad de especies, en todo tipo de células tanto en células normales de todo tipo de tejidos, como en células malignas de diversos tumores y de líneas establecidas, por las similitudes en las proteinas ras y por la ontogenia genética de los genes ras, los cuales presentan los cambios nucleotídicos de los genes más primitivos y simples en la célula.

Siendo su desacceso la función concreta de las proteinas ras en la maquinaria celular, se han descrito algunas de sus características bioquímicas y estructurales, como son su localización en la membrana citoplasmática, su procesamiento post-transcripcional y su actividad de autocinasa, de GTPasa y su afinidad por nucleótidos de quinina. Se han dejado también evidencias de como la localización membranal, también su presencia en las proteinas-S, cuya función es llevar una cierta señal a través de la membrana. Presiblemente esto también son la función de p21, como se describirá a continuación.

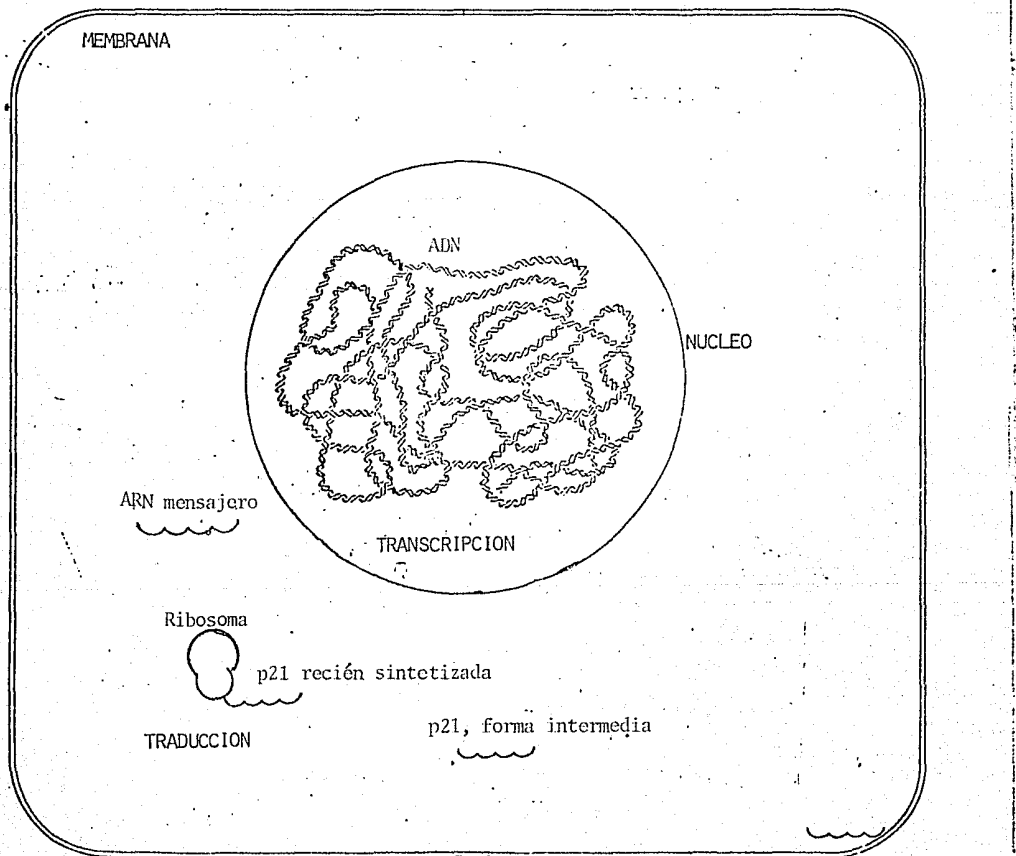
### CARACTERISTICAS BIOMOLIMICAS Y ESTRUCTURALES DE P21

En la célula, p21 se localiza en la superficie interna de la membrana citoplasmática y se encuentra en forma de complejo lipoproteico, asociada al ácido palmitico. La unión al lípido es lo que determina que p21 se fije en la membrana (Sefton y cols., 1982), que es indispensable para la capacidad transformante de p21, pues las proteinas p21 con mutaciones puntuales encogedoras, si no están unidas al ácido palmitico, no inducen transformación (Buss y Sefton, 1986).

En S cerevisiae las proteinas RAS recien sintetizadas se someten a un procesamiento post-traduccional que consta de 3 pasos: Protein precursor - proteína procesada - complejo lipoproteico. (Fujiyama y cols., 1977). En células de mamíferos se lleva a cabo un procesamiento de las proteinas ras, que en general es muy similar, aunque se desarrolla con lentamente (Takanai y cols., 1988).

Una vez procesadas las proteinas ras, presentan las siguientes características:

FIGURA 7  
PROCESAMIENTO DE LA PROTEINA P21



p21 unida a membrana, forma final

ACTIVIDAD DE p21-ras en el desarrollo embrionario. La actividad de la proteína p21-ras es necesaria para la diferenciación embrionaria entre las proteínas profilácticas y reguladoras de la multiplicidad mitocondrial de p21-ras, aunque no en p21-raf1. Una actividad más débil que la actividad de transmisión en el codón 61 de p21-raf1 es necesaria para el desarrollo normal de los embriones, pero la que resulta de una actividad fosforilante, más débil que la de la actividad fosforilante p21-raf1, es dominante en las etapas tempranas del desarrollo embrionario, y con p21-raf1 predominando en las etapas más tempranas de los embriones preestimulados o en el desarrollo normal. La actividad p21-raf1 es menor que la actividad de la actividad fosforilante en el codón 61, y ambas actividades se multiplican en la larva (McGrath y cols., 1981).

Solo se han observado unas pocas líneas tumorigénicas fosforilables por proteínas p21-raf1. Dos proteínas sucesivamente más tarde adquirieron de 36 Kd. y 17 Kd.; en la regulación de la fosforilación de ambas están involucradas proteínas p21-raf1 tanto fosforilantes como inhibidoras en la estimulación de la fosforilación de la proteína de 36 Kd y en la inhibición de la fosforilación de la proteína de 17 Kd, mientras que p21-raf1 oncogénica participa en la inhibición de la fosforilación de las dos (Gotoh y Weinstein, 1984).

#### ACTIVIDAD DE GTP-asa

Las proteínas p21 tienen la capacidad para activar al GTP principalmente p21 proto-oncogénica, pues la actividad de GTP-asa de p21 oncogénica es menor (McGrath y cols., 1984; ver pag. 99). p21-ras normal funciona como GTPasa con una actividad de 5 a 10 veces mayor que p21 activada mediante una mutación en el codón 12 o con 2 mutaciones, en los codones 12 y 61, sin embargo p21 oncogénica con mutación del codón 61 muestra la misma actividad que p21 normal. La disminución en la actividad de GTPasa al parecer no es indispensable para la función transformante de p21 (Kacal y cols., 1986), pues las proteínas p21 con una mayor o menor disminución en su actividad de GTPasa tienen la misma capacidad transformante. Sin que exista una correlación entre ambas actividades (Trahey y cols., 1987) lo anterior indica también que el codón 12 carece tanto actividad como en la actividad de GTPasa. En el codón 61 de c-fosfatas de mamíferos, se han inducido mutaciones con 17 amiracaciones distintas y en todos los casos se han obtenido proteínas con una actividad de GTPasa disminuida entre 3 y 10 veces en relación con p21 normal, aun cuando con 2 de ellas se obtuvieron proteínas sin actividad oncogénica (Gor y cols., 1986a). Es de resaltar que las proteínas RAS de S. cerevisiae también presentan actividad de GTPasa, y que en las proteínas RAS de levaduras con una mutación equivalente a la que activa p21 de mamíferos, la actividad de GTPasa está también disminuida (Timmer y cols., 1986).

## DEFINICION PARA ALFA-PROTEINAS DE CALIDAD

Las proteinas p21 tienen una actividad de unión a los nucleótidos de guanina GTP y GMP, y una actividad-mutagénesis, como la genética con mutación en el genito GTP. Ellos propios se localizan en la base de las dos subunidades heterómeras que forman parte para mineralizar al GTP y mutar ADN. Pueden p21 mutar la capa de unirse al GTP, y p21 vivir al mismo como anticuerpos. Finalmente, las proteínas RAS de S. cerevisiae también presentan actividad por GTP y GCP (Tremblay y cols., 1986), ver pag 102. La proteína que participa directamente en la actividad por nucleótidos de guanina, comprende a los aminoácidos serina, tirosina, y asparagina; las proteinas con modificaciones puntuales en estos sitios son más sensibles a GTP/GCP, sin que se altere su especificidad (Ver y cols., 1986). La actividad por ambos nucleótidos gana, al menos en la mito, pero se ha reportado uno p21 mutante con actividad de GTP normal en la posición 17, con mayor actividad por GMP que por GTP, lo cual altera al regulador y repercute en la inhibición de la proliferación de las células que expresan la p21 mutante (Perry y Stoeber, 1983).

En la proteína p21 las regiones de los aminoácidos 107-111 y 120-125 participan directamente en la actividad por nucleótidos de guanina pues la eliminación de uno o más de estos aminoácidos ocasiona la pérdida de la actividad por GTP/GCP pero no su coactividad, esto indica que la unión a GTP/GCP es en vivo sea independiente, pero no suficiente, para desencadenar el proceso transformante. En cambio, son las proteinas con mutaciones que disminuyen su afinidad hasta 100 veces respecto a p21 normal, siguen uniendo GTP y GMP (Ward y cols., 1986). Esto tal vez puede explicarse en función de la actividad total de GTP y GCP en la célula, que si es mayor que la actividad total de p21, los puncionados no pueden seguir uniendo por saturación, incluso a una proteína con mínima actividad bien, a que, la cinética de la reacción sea tal vez más importante que la afinidad en sí, esto es, que en la célula la función de p21 tenga que ver más con el hecho de que permanezca unida a GTP o GDP, por un determinado tiempo, que con la afinidad con la que haya ocurrido la reacción. En todo caso, los datos obtenidos en estudios in vitro aunque valiosos, no siempre permiten explicar fácilmente lo que realmente ocurre en un organismo vivo.

## REGIONES DE LA PROTEINA p21

La proteína p21 puede dividirse en 3 grandes regiones:

El extremo carboxilo, en especial los 8 últimos aminoácidos, que intervienen en la unión lipídica, y en la localización membranal de la proteína.

La region intermedia donde ocurre la mayor divergencia entre distintas proteinas ras; comprende aprox. 20 aminoácidos en mamíferos, aunque en otras especies el numero varia, y no es esencial para la transformación.

que se ha visto que el p21 es una proteína que se expresa en la mayor parte de los tipos celulares y que su expresión es regulada por factores genéticos y ambientales. La expresión del p21 es controlada por factores como la actividad de las enzimas quinasa cinasa y fosfatasa, así como la interacción entre los genes que codifican las enzimas que controlan la actividad del p21. La actividad del p21 es regulada por factores como la actividad de las enzimas quinasa cinasa y fosfatasa, así como la interacción entre los genes que codifican las enzimas que controlan la actividad del p21.

Region A. ÁREA DE CÓDIGO 141-73  
Region B. ÁREA DE CÓDIGO 141-73  
Region C. ÁREA DE CÓDIGO 141-73

Como resultado de la mutación del gen p21 se observó que el p21 mutante posee una actividad transformante que es más intensa que la actividad transformante del p21 normal. Esta actividad transformante es causada por la mutación en la región A, que es la región que codifica la actividad transformante del p21. La actividad transformante del p21 mutante es causada por la mutación en la región A, que es la región que codifica la actividad transformante del p21.

En el análisis transformante del p21 se observó que se llevó a cabo un cambio importante en el p21 mutante que es en todo el dominio transformante tanto peptidico como no peptidico tiene la misma actividad transformante que es menor que la actividad transformante del p21 normal. El resultado de este cambio es que el p21 mutante admite cambios conservativos, pero donde los cambios más drásticos ocasionan que se inhiba la oncogenicidad. Incluso un codón, el 37, admite diversas sustituciones sin alterar la función de p21 (Stone y cols., 1989).

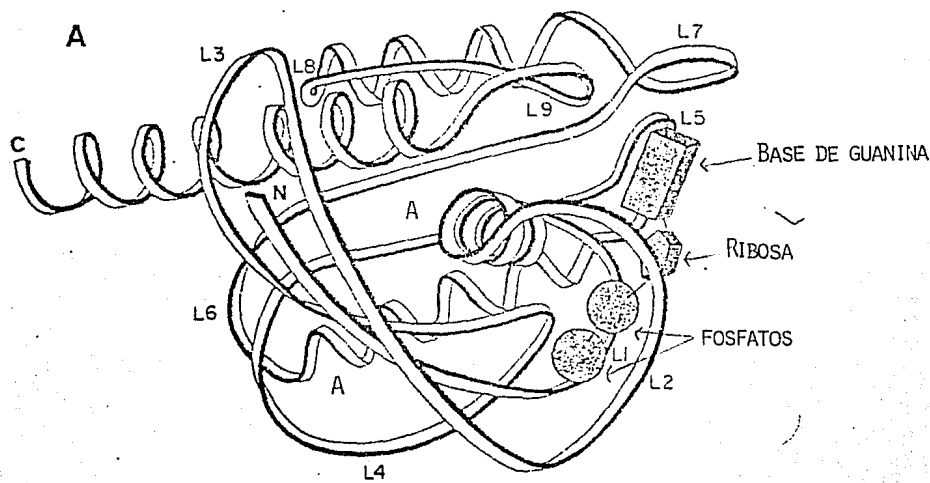
#### ANTICUERPOS ANTI-p21

Uno de los elementos más valiosos para el estudio de las proteínas es un anticuerpo monoclonal de rata, llamado Y13-259, originalmente obtenido para scopiarse a p21 de rata, pero que detecta proteínas ricas de otros mamíferos, e incluso de especies diferentes como *S. cerevisiae* y *D. discoideum*, y además es capaz de revertir el fenotipo oncogénico de células transformadas con oncogenes ricas (Huang y cols., 1986). El anticuerpo Y13-259 se une a seis aminoácidos de p21: Glu-63, Ser-65, Ala-66, Met-67, Gin-70 y Arg-73 (Sijal y cols., 1986). Además, aunque Y13-259 impide que se lleve a cabo la reacción de intercambio entre los nucleótidos unidos a p21 y los nucleótidos de guanina oxigenos, no interfiere con la unión de GMP a p21 (Hutter y cols., 1987). En el capítulo de oncogenes ricas se tratará nuevamente al anticuerpo Y13-259.

## ESTRUCTURA TRIDIMENSIONAL DE p21

Quinton y el etnamente realizadas, dirigidas por GTP y GPP, y entre los más conocidos está el factor de elongación bacteriano EF-tu muy. La estructura tridimensional se ha tomado como base para explicar las propiedades biológicas de p21 (Jurnak, 1985). En la secuencia de este prototípico existen regiones similares a ciertas regiones equivalentes en p21, que pertenecen al sitio activo de las proteínas G, donde se unen GTP y GDP (Lederer y Cole, 1985). p21 es la primera proteína oncogénica cuya estructura tridimensional se ha descrito, lo que ha permitido entender más respecto a sus sitios activos p21 es una proteína pequeña, de forma compacta, con 2 dominios de beta-alfa-beta, 3 alpha-hojuelas y 7 loops de interconexión. El "loop" 1 en el loop 1 se sitúan los residuos亮iminales R160, en el loop 2, la ribosa; el loop 3 aminoácidos Ile, 117, 118, y 120, y el loop 7 (aminoácidos 140-147) rodean la guanina y en el loop 1 está el sitio de hidrólisis de GTP. En la estructura de p21 se observan varios sitios expuestos, donde podría unirse a posibles moléculas efectoras (De-Vos y Cole, 1988).

FIGURA 8  
ESTRUCTURA TRIDIMENSIONAL DE LA PROTEINA p21-ras



A - ALFA HÉLICES

C - EXTREMO CARBOXILO TERMINAL (COOH)

N - EXTREMO AMINO TERMINAL (NH<sub>2</sub>)

L1 - L9 - LOOPS DE INTERCONEXION NUMERADOS EN DIRECCION NH<sub>2</sub> - COOH

BANDAS CONTINUAS - BETA PLEGADAS

SEFTON, B. M., FROMBRIDGE, I. H., COOPER, J. D., SCOLNIK, L. M., 1982. The transforming protein of Rous sarcoma virus Harvey, sarcoma virus and Abelson virus contain tightly bound lipid. Cell 31:463-74.

Las proteínas onco génicas de 3 virus tumorigénicos, el virus de sarcoma de Rous, (proteína onco gênica pp60-v-Src), el virus de Harvey (p21-v-Harvey) y el de Abelson (p210-v-abl) tienen actividad de cinasas. En la célula, pp60-Src y p21 se encuentran en la membrana citoplasmática y p210 parece tener la misma localización, pp60-Src y p21, cuando están bien sintetizadas, son proteínas solubles, y su secuencia de aminoácidos carece de las regiones típicas de las proteínas de membrana, y es posible que su localización membranal se deba a alguna modificación post-traduccional como la unión lipídica, que es el caso de ciertas proteínas membranares cuya fijación membranal requiere de unión a un lípido, como el receptor de transferrina, único al ácido palmitico. Para averiguarlo se transformaron células humanas con el virus de Harvey, se extrajo la proteína p21 y el receptor de transferrina y se marcó el ácido palmitico radiactivamente para se observar su incorporación tanto a p21 como al receptor de transferrina. No se detectó ácido palmitico radiactivo unido al precursor de p21 (pro-p21), pues p21 en su forma precursora no se une a la membrana, por lo que p21 procesada, que es cuando se une a la membrana, sí ha de requerir unirse al ácido palmitico. De esta forma se determinó que las proteínas pp60-Src y p210 también se unen al ácido palmitico. La unión proteína-lípido debe ser determinante para la localización membranal de p21, pp60-Src y p210 y por lo tanto, ha de ser fundamental para que estas proteínas ejerzan sus funciones onco transformantes.

HUGG, J. E., SEFTON, B. M. 1986. Direct identification of palmitic acid as the lipid attached to p21-ras. Mol Cell Biol 6:116-122.

La proteína p21 forma un complejo lipoproteíco. Se estudió al lípido unido a la proteína y se comprobó que es el ácido palmitico, el cual se encontró unido en el extremo carboxilo de p21, al parecer en la cisteína-180. se determinó que la unión proteína-lípido es un evento post-traduccional. Se transformaron células con p21 onco gênica, desprovista del ácido palmitico, y se observó que sin el lípido, p21 pierde su capacidad onco gênica. Todas las proteínas p21 estudiadas, tanto víricas como celulares, se encontraron en forma de complejo lipoproteíco.

FUJIYAMA, A., MATSUBAYA, K., INAMINE, M., YOSHIDA, T. A novel yeast mutant defective in the processing of ras proteins: assessment of the effect of the mutation on processing steps. *EMBO J.* 5(12): 2875-2883.

Las proteínas RAS de levaduras son muy parecidas a las de los mamíferos estructural y funcionalmente; las proteínas RAS se sintetizan en el citoplasma como precursores, se convierten rápidamente en proteínas procesadas, que por último se unen ya sea a ácido palmitíco o mirístico, y se fijan a la membrana. Se determinaron los mecanismos de biosíntesis y procesamiento de proteínas RAS introduciendo mutaciones para obtener una cepa defectiva en la biosíntesis de RAS y la cepa mutante obtenida se llamó dpr1 ("defective in the processing of ras proteins"). Se estableció que la alteración de dpr1 consistía en un solo gene, DPK1, el cual no está asociado al gene RAS2. Los mutantes dpr1 mostraron un fenotipo estéril característico, una gran cantidad de proteína precursora, sus proteínas RAS se acumularon en el citoplasma, y raras pocas proteínas en la membrana, comparadas con las levaduras normales. La mutación no afectó la unión al lípido, indicando que la forma precursora necesita convertirse en la forma procesada para unirse al lípido. El procesamiento de las proteínas RAS es muy rápido, lo que ha dificultado su estudio, pero en estas mutantes fue posible determinar que la forma precursora comparada con la forma procesada no carece de fragmentos grandes de aminoácidos, y también se une a GDP. La esterilidad es por la carencia de una proteína necesaria en la conjugación sexual, el factor alpha, cuya procesamiento posgtraduccional es probabilmente como el de las proteínas RAS. Faltó definir con precisión la biosíntesis y procesamiento de las proteínas RAS, pero puede afirmarse que consta de 3 pasos: Proteína precursora, proteína procesada y proteína unida a ácido palmitíco

TAMANOU, H., NEUBERG, E. C., GOODMAN, L. B., COBBIT, R. A., DETRICK, R. J., BROOKS, M. R., TUTTLETON, A. 1986. Post-translational modification of ras proteins: mutagenesis of a modification prior to fatty acid acylation and cloning of a gene responsible for thioetherification. *J Cell Biochem* 26:111-120.

Las proteínas ras se sintetizan como polímeros libres, trasladándose después por el citoesma para situarse en la membrana, a pesar de que carecen de secuencias específicas para fijarse en la membrana, presentes en otras proteínas membranales; el lípido parece ser responsable de dicha fijación. El procesamiento de p21 de c-Ha-ras humano es similar al de Ras de levaduras, pero es más lento y permite registrar mejor, por lo que se hizo una combinación: Se clonó c-Ha-ras en un plásmido con un promotor fuerte, se expresó en levaduras y se siguió la trayectoria de p21 marcada radiactivamente. Se observó que del ribosoma sale la forma precursora, recién sintetizada, que viaja a través del citoesma donde se convierte en la forma intermedia, y después se une al ácido palmitico y a la membrana, convirtiéndose en la forma final. Se trataba de dos eventos distintos, aunque relacionados, como se observó en las levaduras con mutación en el geno opri, en las que se bloquó el paso de proteína precursora a proteína intermedia y se redujo la cantidad de proteína final, indicando que el primer paso es obligatorio para que ocurra el segundo. Se indujo una mutación de serina por la cisteína-108 normal, que es el sitio de unión al lípido, y no se detectó el complejo lípoo-protéico, tampoco la forma intermedia. El geno opri de levaduras es importante para establecer su relación con el procesamiento de las proteínas ras, que al parecer es muy similar al procesamiento de las proteínas de mamífero, aunque hace escabecier la naturaleza de este procesamiento. Se concluye que el procesamiento de las proteínas p21 de humanos, sigue una secuencia que es: Proteína precursora - proteína intermedia - unión a ácido palmitico.

MUGRATH, J. F., EBERLE, B. A., GOODMAN, M. V., LEVITZKI, A., M. 1984. Transformation oncogenic properties of mutated cellular human p21 protein. *Nature* 312:482.

Se estudió la proteína del gen onco-activa humano, del oncogen *neu*, y del protooncogén, cuya secuencia de aminoácidos tiene similitudes con ambas, denominada el p21 humano en un plásmido introducido en *E. coli* para obtener una cantidad de p21. Se indujo una mutación dirigida en el codón 12, de acuerdo a la recombinación de p21, y se determinó actividad de autoinhibición, similar a la observada en la proteína viral, que en ésta se diferenció de la proteína celular. La mutación se indujo en la proteína proto-oncogénica y en la proteína con mutación del codón 12 que la tiene oncogénica, sin embargo se diferenciaron en la reacción de fosforilación no se detectó otro sustrato fosforilado por p21 más que él mismo. Con SIF marcada radiactivamente, se midió la afinidad de p21 normal y la transformada con mutación del codón 12, y en la proteína con mutación se vio los niveles 12 y 59 veces mayor actividad notoriamente, p21 muestra actividad de SIFase pero en p21 con mutación del codón 12, esta actividad es marcadamente menor que en p21 normal, que es una importante diferencia, probablemente implicada en la oncogenicidad.

BACKER, J. M., WEINSTEIN, I. A. 1984. p21 ras proteins and quanine nucleotides modulate the phosphorylation of 36- and 17-kilodalton mitochondria-associated proteins. *Proc Natl Acad Sci* 81:5337.

Las proteínas ras son similares a las proteínas-G, tanto por su localización membranal como por su afinidad por GTP y GDP y su actividad de GIPase. p21 viral es autofosforilada, mientras que en la proteína celular no se presenta esta actividad, pues carece de la treonina-59, donde se fosforila p21 viral, y no se ha descrito otro sustrato fosforilado por p21 más que él mismo. Se investigó la existencia de más sustratos fosforilables por p21, producidos en *Escherichia coli*, p21 de diversos orígenes: p21 de c-Herras humano, del mismo pero con mutación del codón 12 (K12>R), y de suero perro con mutación en el codón 61 (H61>R). p21 viral requiere, además, fosfatidilserina o SIF para formador de grupos fosfato, más la presencia de p21 de SIF, para que la fosforilación resultante sea inhibida sólo a p21. Se encontraron dos proteínas cuyo peso molecular es de 36 y 17 Kd en mitocondrias de hígado de rata, que en presencia de las diferentes p21, presentaron distintos comportamientos. La proteína normal estimula la fosforilación de la proteína de 36 Kd, e inhibe la fosforilación de la proteína de 17 Kd, mientras que ambas proteínas oncogénicas inhiben la fosforilación de las 2 proteínas mitocondriales. Se ignora si p21 fosforila, o si esto participa de manera indirecta, pero las diferencias encontradas tal vez sea relación con la oncogenicidad de p21.

LINCOLN, J. C., SRIVASTAVA, B. K., ANDERSON, P. G., y RANDONSON, A. A. 1986. ras p21 proto-oncogene with high or low oncogene activity can efficiently transform NIH-3T3 cells. *Cell* 44:493-501.

En las proteínas onco-génicas p21 la actividad de GTPasa está disminuida con relación a las p21 proto-oncogénicas; esta disminución suele ser de unas 5 veces. Se estudió la relación entre la actividad de GTPasa, su disminución, y la capacidad transformante con p21 proto-oncogénicas y con p21 con mutación del codón 59, que le confiere oncogenicidad; ambos resultaron tener un nivel de actividad de GTPasa similar, mayor que en las 2 proteínas onco-génicas: p21 con mutación del codón 12, y p21 con 2 mutaciones en el codón 12, y en el 59. Se concluye que la región de p21 implicada en la actividad de difensa, característica de las proteínas ras, incluye al codón 12 y que la disminución en esta actividad no interfiere con la oncogenicidad de p21, pues si parecer no es una condición indispensable para la capacidad transformante de p21.

TRANHEY, M., MILLEY, R. J., COLE, S. E., INGRAM, H., PATERSON, M., MARSHALL, C. J., HALL, A., y MCCORMICK, F. 1987. Biochemical and biological properties of the human *H-ras* p21 protein. *Mol Cell Biol* 7:541-544.

Las proteínas ras onco-génicas tienen menor actividad de GTPasa comparadas con las proteínas proto-oncogénicas, lo cual se ha estudiado principalmente en p21 de c-Ha-ras, y para determinar si existe una correlación entre ambas actividades bioquímicas en las otras proteínas ras se estudió p21 del proto-oncogene N-ras y del oncogene N-ras con mutación en el codón 12, de la glicina normal a Asp, obtenido de un paciente con leucemia mielosoblástica aguda, así como p21 de otro oncogene N-ras con mutación del codón 12, de Glu a Val, obtenido por mutagénesis dirigida. Las 3 proteínas se produjeron en *E. coli*, y se cuantificó su capacidad de hidrolizar al GTP para medir su actividad de GTPasa. La mutante p21-Asp-12 presentó un 40% de la actividad detectada en p21 normal mientras que p21-Val-12 sólo presentó un 12% de la actividad de p21 normal. Se midió la afinidad por GTP y GDP de las 3 p21 y se registró la misma afinidad en las tres. Se transfirieron los 3 genes en células NIH-3T3 y el proto-oncogene no indujo transformación mientras que las 2 mutantes transformaron las células con la misma eficiencia. Se concluye que en las proteínas ras no existe correlación entre la afinidad por nucleótidos de guanina y la actividad de GTPasa y que tampoco hay correlación entre la actividad de GTPasa y la capacidad transformante, lo que indica que los oncogenes ras activos han de ejercer otros efectos, tal vez aún desconocidos, mediante los cuales inducen la transformación.

Dani, C. et al., PBM Et, M. J. RABINOWITZ, C. S. Lopez. "Molecular and biochemical properties of normal and mutant quinone mutabases at codon 61". Cell - 44:167-176.

Se han reportado numerosas raras actividades mediante mutaciones en el codón 61, y para caracterizar las conformaciones oncogénicas y bioquímicas de dichas mutaciones, se indujeron mutaciones dirigidas al codón 61 en fragmentos con la secuencia de c-Ha-ras humano. La Glu-61 normal se cambió por 17 diferentes aminoácidos y los 17 fragmentos se insercieron en plásmidos, se transfirieron en células NIH-3T3 y se cuantificó la oncogenicidad según la cantidad de "focos" de células transformadas por ng. de ADN. De los 17 aminoácidos, Val generó la mayor oncogenicidad de p21, con 130 focos X ng. de ADN, seguido de Leu, Lys, Ala, Cys y Arg, en orden decreciente. Los aminoácidos que confirmaron una oncogenicidad moderada fueron en orden decreciente, Asn, Ile, Met, Thr, Tyr, Trp y Phe, el menos transformante fue Gly, con 0.4 focos X ng. de ADN, y Pro y Gin, no activaron la protoína. En total, las mutantes cubrieron un rango continuo de 1800 unidades de transformación ("focos" X ng. de ADN). Los plásmidos con las mutantes Pro y Gin, y el protooncogénico indujeron transformaciones con concentraciones bajas de ADN. La cantidad de p21 en las células transformadas con diversas mutantes fue 20 veces mayor que en las transformadas con Leu-61 y también hubo 20 veces más p21 en células transformadas con la secuencia normal, con Pro y con Gin, unidas a promotores virales. Todas las mutantes tuvieron igual afinidad por GTP y GSP que la proteína normal, pero la actividad de GTPasa, comparada con la proteína normal, disminuyó de 8 a 18 veces en las 17 mutantes, sin que hubiera correlación cuantitativa entre la reducción de la actividad de GTPasa, y la capacidad transformante. Se concluye que la reducción en la actividad de GTPasa no es suficiente para activar la capacidad oncogénica de p21, y que posiblemente ocurre una alteración a nivel de la conformación de p21, pues al cambiar su estructura debido a una mutación del codón 61 (o 18), puede alterarse la conformación del sitio activo para la actividad de GTPasa.

YEMELUS, C. L., GIBBS, W. D., Y PABONI, A. S., BISBES, J. S., Y SCOLNICK, E. M. 1988. Torna una mutación ras proteína nueva conservada bioquímica propiedades. *Iniciativa* 19(1):70-72.

Las proteínas Ras y RBD de *S. cerevisiae* tienen gran homología estructural a partir del aminoácido 10 de RBD y RBD. Para establecer si existe también homología funcional, se obtuvieron tres fragmentos con los aminoácidos 10-117 del extremo amino terminal de la proteína RBD, una de ellas con una mutación en el cuadro 89, otro en el 11 que activan p21 humana, y otro sin mutación. Los 3 fragmentos presentaron afinidad por GTP/GDP, así como actividad de GIPasa, aunque en los fragmentos mutantes esta actividad resultó estar disminuida con respecto al fragmento sin mutación. Estas son también las características distinguibles en p21 de mamífero, con lo que se estableció la similitud funcional entre las proteínas ras de mamífero y de *S. cerevisiae*.

DEJ, C. J., PAN, B.-T., COOPER, G.-H. 1988. RasII mutants deficient in GTP binding. *Nat Cell Biol* 2:3271-3274.

Se compararon las secuencias de diversas proteínas con afinidad por nucleótidos de quinina: los factores de elongación de bacterias EF-tu y EF-G, la subunidad alfa de la transducina, los genes ras de *D. melanogaster*, *D. discoideum*, *S. cerevisiae*, y los 3 genes ras humanos. Se observó una secuencia muy conservada en la región de los aminoácidos 116-117 de los genes ras humanos, que en todas las proteínas es Asn-Lys-X-Ala. Para evaluar la importancia de estos aminoácidos en la unión a GTP, se indujeron mutaciones dirigidas en la proteína del oncogén *c-Hras* humano, activada por medio de una mutación en el cuadro 81, de Gln a Leu, y se obtuvieron tres mutantes: 116-Mis con mutación de la Asn normal por Mis, 117-Glu, sin la Lys normal, y 119-His, sin su Asn normal. La afinidad por GTP de los 3 mutantes fue 10-3000 veces menor que en la p21 normal in vitro. Los mutantes presentaron la misma capacidad transformante que p21 endógena control, indicando que los aminoácidos 116-117 y 117 están en una región directamente involucrada en la unión a GTP/GDP; y las mutaciones en estos sitios reducen esta afinidad in vitro, lo que no significa que in vivo ocurra ésto mismo, pues la concentración celular normal de GTP suele ser mayor que la afinidad de p21 por GTP; y así si disminuye la afinidad, GTP puede seguirse uniendo a p21 por saturación, y otra posibilidad es que la unión a GTP sea indispensable para la transactivación.

emico, L. M., GROVES, A. J., "GDP-guanosine triphosphate inhibits the mitotic cycle by a mutant p21 protein with preferential affinity for GTP", *J. Cell. Biol.*, 101, 103-112.

En el siguiente trabajo se efectuaron las mismas secuencias que en la anterior para dilucidar de mejor forma para cuál de las secuencias, entre las dos que tienen actividad mitótica inhibiendo al nivel de la mitofase, las propiedades de p21 se relacionan con la afinidad por GTP/GDP, pues para determinarlos se preparó y midieron cilíndros en los que el efecto de GTP, más lo que se bautizó una vez como mayor afinidad por GDP, mediante mutagénesis si bien, para mantener una afinidad de la célula, la secuencia obtenida mostró una mutación en el codón 17 de la Cys normal a Arg, p21 con esta mutación, registró un nivel de actividad por GDP 20-40 veces mayor que por GTP. La secuencia con esta mutación se insertó en un plásmido que se transfirió en células NIH-3T3, se observó transformación de ninguna célula y visto sus demás resultados de células NIH-3T3 incorporadas al plásmido, estas células crecieron con estímulo fisiológico y supuestamente muy poco o nada de RSV, indicando que la secuencia mutante inhibió la transformación celular, se eligió entonces se transfirió en plásmido que contiene el oncogén v-mos estimuló la proliferación pero no hubo transformación y con v-mos no se estimuló la proliferación pero sí la transformación. Si se cotransfirió la secuencia ASN-17 mutante con otras secuencias, y se observó que este mutante inhibió la capacidad transformante de v-sar, no inhibió a v-raf ni a v-sar, pero en grandes cantidades la proteína ASN-17 mutante inhibió la transformación de p21-Lys-61, lo que indica que para la transformación, en las células posiblemente sea más determinante la cantidad de la proteína oncogénica actuante, mas que sus mutaciones. Se indujo otra mutación en la proteína p21-Asn-17 en el codón 186, eliminando la Cys normal y se observó que además de que la proteína no se unió a la membrana, no inhibió la proliferación de las células transfundidas, ni tampoco inhibió a v-sar, ni a p21-Lys-61. Cabe señalar que el codón 17 está muy conservado en diversas proteínas con los cambios fenotípicos registrados, son consecuencia de la afinidad preferencial de p21 por GTP y de las alteraciones funcionales resultantes, y puesto que esta proteína alterada impide el adecuado funcionamiento de las proteínas ras intrínsecas de las células, se concluye que la participación de p21 es muy importante para la proliferación celular.

FEIG, L. M., PONI, R.-M., ROMANOFF, T. A., CALAFAT, M. M., INVITRO Isolation of ras GTP-binding mutants using an in-vitro GTP binding assay. PCT Int Appl 1989, US1987-0211.

Las proteínas Ras normal y oncogénica, presentan diferencias en su actividad de GTPasa, que es menor en las proteínas con mutación del codón 12 o 61; sin embargo la afinidad por GTP/GDP no se altera, por ello se estudió dicha afinidad mediante mutaciones al azar en v-Ha-ras expresado en bacterias, y se obtuvieron 3 mutantes con deficiencias en su afinidad por GTP/GDP con mutaciones puntadas en los codones 117, 146 y 155, en las que el factor de disociación aumentó entre 25-100, comparadas con la proteína control, lo que significa que su afinidad por GTP/GDP disminuyó en igual medida. Los aminoácidos 33 y 119 están en regiones muy conservadas en las diferentes proteínas Ras. Al transformar células NIH3T3 con estas mutantes, la eficiencia de transformación fue igual a la de p21 control. Estos resultados en principio harían suponer que la afinidad por GTP no es determinante para la actividad oncogénica de p21; sin embargo en las células transformadas las proteínas mutantes se fosforilaron al mismo nivel que la proteína control. El hecho de que aun la proteína con mutación en el codón 117, cuya reducción en la afinidad por GTP/GDP fue de 100 veces, se fosforilara *in vivo*, puede deberse a que en la célula, la concentración de GTP es aprox. 5 veces mayor que la afinidad de p21 control por GTP, por lo que aun saturándose la proteína puede unirse a GTP. Esto indica que aún no se ha determinado *in vivo*, la importancia de la afinidad por GTP/GDP en los mecanismos transformantes de p21, pues *in vitro* no se observan los mismos resultados detectados *in vivo*.

WILLUMSEN, B., M. PABON-RODRIGUEZ, G., M. RODRIGUEZ, H. J., BERKSI, T., RIBBINS, T., JOHNSEN, M., VELASCO, W. C., LARSON, D. R. 1986, mutational analysis of a ras catalytic domain, Mol Cell Biol 6:2248-59

La proteína ras puede dividirse en tres dominios funcionales: el extremo carboxilo terminal, requerido para la unión lipídica y subsiguiente localización membranal de p21; la región intermedia, la más variable entre las diferentes p21, que en p21 de mamíferos no es esencial para la oncogenidad ni para las propiedades bioquímicas de p21, y los 160 aminoácidos del extremo amino, los más conservados, que se consideran el dominio catalítico. Se estudió este último con diversas mutaciones en el extremo amino de p21 de v-Harras, suponiendo que casi cualquier variación en dicho dominio alteraría la función de p21 sin su conservación, y sin embargo se encontraron 3 regiones en los aminoácidos 64-74, 98-108 y 123-138 que no son esenciales para la oncogenidad, esto es, que p21 pueda carecer de alguna de estas 3 regiones, y aun con tan grandes alteraciones, mantenga su oncogenidad y sus propiedades bioquímicas. Se identificaron 3 regiones indispensables para la oncogenidad, 3 de ellas también se requieren para la afinidad por GTP/GDP pues al perderse esta capacidad, p21 al parecer se vuelve inestable. La capacidad de unirse a GTP/GDP parece ser necesaria, pero no indispensable para la transformación. Es nulidad que cambios tan considerables en la secuencia de p21, y seguramente en su conformación, no alteren su funcionalidad, y que sin embargo se haya conservado tanto durante la evolución la secuencia de su extremo amino. Se concluye que, para que p21 pueda ejercer su acción oncogénica, requiere de su afinidad por nucleótidos de guanina, su localización membranal y alguna otra actividad bioquímica, aun no determinada.

WIGLER, M., FRIEMAN, O., TINAHONEY, E.J., RUMBERG, E., KATZAKIS, T., BIRNBAUM, D., SHIMIZU, N., GOLDSTEIN, A. 1984. Structure and activation of ras genes. *Cancer Cells* 1:417-429.

Se compararon las diferentes proteínas ras y se encontró que las tres p21 humanas son idénticas en los primeros 66 aminoácidos. En los aminoácidos 67-170 la homología es mayor a 90%, y en los siguientes 18 aminoácidos existe la mayor divergencia. Las 3 proteínas terminan con la secuencia consenso CysXaa, donde X es un aminoácido alifático, y X cualquier aminoácido. La región terminal pugna de considerarse como la que confiere la especificidad fisiológica de cada p21. Las proteínas RAS<sub>1</sub> y RAS<sub>2</sub> de *S. cerevisiae*, constan de una corta secuencia inicial, seguida de 80 aminoácidos cuya homología es de casi 70%, con los primeros 80 aminoácidos de p21 de c-Ha-ras, y en los siguientes 80 aminoácidos la homología entre ambas es de 60%. Las proteínas RAS de levadura son mayores que las de mamífero, pero también terminan con la secuencia CysXaa. Se registraron los efectos de mutaciones en p21 distintas de las reportadas en los codones 12 y 61, induciendo mutaciones al azar en el proto-oncogene c-Ha-ras humano, y se observó que las mutaciones en los codones 13, 59 y 63 también activan p21. Ninguna de estas mutaciones se ha reportado en muestras de tumores, pero probablemente se encuentran, pues también son sitios críticos de p21.

STONE, J. C., VASS, W. C., WILLUMSEN, B. M. y LOWY, B. R. 1989. p21-ras effector domain mutants constructed by "cassette" mutagenesis. Mol Cell Biol 8:3565-3587.

En las proteínas ras existe una región que abarca los aminoacidos 32-40 de c-Ha-ras, considerada como efectora, pues las mutaciones en esta región generan una p21 asociada a la membrana, con afinidad por GTP/GDP y poca actividad de GTPasa, pero no transformante y en S. cerevisiae estas mutaciones afectan la vía del AMPc es una región muy conservada en las proteínas ras, y puede ser el sitio activo donde p21 interactúa con la molécula efectora. Se indujeron varias mutaciones en esta región con la técnica de mutagenesis de cassette, mediante la inserción del oligonucleotídeo con la secuencia mutante en el ADN, para reconstruir todo el v-Ha-ras. Se indujeron así diversas mutaciones en los codones 36 y 40 y una mutación en cada uno de los codones 32, 35 y 39. Se cambio el codón Tyr-32 normal por Phe-32, y Thr-35 normal por Ser-35, que son mutaciones conservativas y ninguna fue transformante; por otro lado, Ser-39 normal se cambio por Cys-39 y la mutante mostró una capacidad transformante similar a p21 viral. Las 3 mutaciones conservativas inducidas en el codón 34 de Ile-34 normal a Leu-, Val- y Met-36 generaron mutantes con una oncogenicidad reducida en comparación con p21 viral; la transformación ocurrió lentamente y en pocas células, que se dividieron muy despacio. La mutante Ala-36 no fue nada transformante. Se cambio la Tyr-40 normal por Phe-40 que también transformó con escasa eficiencia, pero Ile-40, Val-40, Gly-40, Ser-40 y Arg-40 no transformaron. Así se definieron tres clases funcionales de aminoacidos en esta región: Los aminoacidos 32 y 35 que aun con la mutación más conservativa suprimen la oncogenicidad; los aminoacidos 36, y 40, que solo permiten mutaciones muy conservativas sin perder del todo la capacidad transformante y el aminoacido 39, que confiere oncogenicidad aun con mutaciones no muy conservativas.

KUNG, H.-F., SMITH, M. R., SELIGER, R. J., HOMME, D. J. y LOWY, B. R. 1984. Reversión en la oncogenicidad transformante de oncogénica anticuerpo antigeno MuSV en p21 mutante. J. Exp. Cell Res. 156:20-27.

Se estudió la función de los anticuerpos monoclonales antígeno-anticuerpo inmunológicas con los anticuerpos monoclonales anti-p21: YAG-172, Y13-259 y Y13-257, generados contra proteínas virales de Ha-MuSV, K-1-MuSV y RALB-MuSV. Se hicieron ensayos de ELISA y Y13-259 reconoció p21 del gene c-Ha-ras humano, mas intensamente que YAG-172. La proteína p21 producida en bacterias, se mezclo con cada uno de los anticuerpos, y se microinyecto en células NIH-3T3. Las células inyectadas con YAG-172 y Y13-258 se transformaron pero las células inyectadas con Y13-259 no mostraron ninguna alteración, indicando que hubo un bloqueo en la oncogenicidad de p21. Y13-259 se inyecto en células transformadas con c-Ha-ras humano, y se observó la reversión fenotípica de las células hasta recuperarse el fenotipo normal. La proteína p21 unida a Y13-259 conservó su afinidad por GTP/GDP. Se ignora la naturaleza de la interacción entre p21 oncogénica y Y13-259 pero debe ocurrir en un sitio muy importante para la capacidad transformante de los oncogenes ras.

SICAL, I. C., SIBES, R. H., URALONZO, J. G., SOOLNIK, E. H. 1986  
Identification of effector residues and a neutralizing epitope of  
H-ras-encoded p21. Proc Natl Acad Sci USA 83:4725-4729.

Las proteinas ras tienen propiedades similares a las proteinas-G, que son transductoras de señales a través de la membrana. Para saber si p21 tiene una función similar, se identificaron los aminoácidos que puedan intervenir en la interacción de p21 con la o las posibles moléculas efectoras. Se hicieron diversas mutaciones en la proteína del gen c-H-ras, en particular en las regiones más conservadas, que son los aminoácidos 32-42 y 61-80, y que también se encuentran en otras proteinas-G. Se determinó que las mutaciones en los aminoácidos 33, 36, 38, 40, y un poco menos, en los aminoácidos 39 y 78, alteran la oncogenicidad de p21. Se hicieron ensayos de proteinas ras de mamíferos en levaduras y viceversa. En levaduras con disruptión del gene RAS2, y deficiencias en la adenil ciclase, las proteinas ras de mamífero, modificadas, subsanaron las deficiencias, pero con el anticuerpo Y13-259 de nuevo presentaron deficiencias en la adenil-ciclase. Las mutaciones en los aminoácidos mencionados no afectan la afinidad por GTP/GDP ni la actividad de GTPasa. Se determinó que el sitio de unión al anticuerpo Y13-259 comprende los aminoácidos Glu-63 Ser-65 Ala-64 Met-67, Gln-70 y Arg-73. Al parecer, el bloqueo de proteinas ras causado por Y13-259 no se debe a que Y13-259 se une al sitio activo de p21, sino que al unirse el anticuerpo ocurre una alteración estructural que afecta indirectamente al sitio activo.

HATTORI, S., CLANTON, D. J., SATOH, T., NAKAMURA, S., KAZIRO, Y., KAWAKITA, M., SHIM, T. Y. 1987. Neutralizing monoclonal antibody against ras oncogene product p21 which impairs guanine nucleotide exchange. Mol Cell Biol 7:1999-2002.

El anticuerpo Y13-259 es muy importante para estudiar la función de los genes ras, su lejítopo está en los aminoácidos 63, 65, 66, 67, 70 y 73; sin embargo esta región no se considera indispensable para la función de Ras, y aun falta definir la interacción entre Y13-259 y p21. Se estudió si la alteración que Y13-259 induce, se debe al intercambio nucleotídico con p21, o si altera la afinidad en sí. Las proteinas ras se unen a GTP/GDP para el tiempo que se mantiene la unión también puede ser importante, como sucede con otras proteinas-G, que unidas a GTP, se encuentran en el estado activo de su función transductora, y cuando hidrolizan al GTP y se unen a GDP, se inactivan. Se midió la tasa de disociación de p21 a GTP y GDP unida a Y13-259 y se confirmó que el anticuerpo interfiere con la reacción de intercambio entre el nucleótido unido a p21 y el exógeno, no tanto con la afinidad en sí. La alteración que causa el anticuerpo Y13-259 no se definió con precisión, pero tal vez sea de tipo alostérico, mediante un cambio de conformación que afecte al sitio activo, o posiblemente el tamaño de Y13-259 mayor que el de p21, sea lo que dificulta su actividad.

JURNAK, F. 1993.- Structure of the GDP-domain of EF-Tu and location of the aminoacidic homologous to ras oncogene proteins. Science, 260:32-34.

En *E.coli* durante la síntesis de proteínas, el factor de elongación (EF-Tu) reconoce, transporta y sitúa el A<sub>GDP</sub> de transferencia específica para codones aminoacil en el sitio A del ribosoma. EF-Tu interacciona con GDP y GTP, que funcionan como efectores alostericos que alteran su conformación. A diferencia de las proteínas que unen nucleótidos de adenosina, se conocen pocas proteínas que unan nucleótidos de guanina, y por esto es interesante que las proteínas ras se unan a GTP/GDP. Se estableció la estructura tridimensional de EF-Tu unida a GDP y las regiones homólogas con p21 de c-Ha-ras. El factor EF-Tu se purificó, se cristalizó y por difracción de rayos X, a 2.7 angstroms de resolución se definió que EF-Tu-GDP tiene 3 dominios. El más prominente tiene 3 beta-plegadas, rodeadas por 6 alfa-hélices, y se identificó como el extremo amino; el segundo dominio es una estructura beta-plegada con 6 filamentos antiparalelos, y otro alrededor, formando una especie de "bolso" hidrofóbica y en el extremo carboxilo, y el tercer dominio es una beta-plegada en forma de pequeño "barrial" con un centro hidrofóbico y en el polipeptido intermedio. El GDP se une mediante un ion Mg<sup>2+</sup> a la Asp-80, y se sitúa en la punta de los filamentos 1, 3, 4, y 5 de la beta-plegada del extremo carboxilo al anillo de guanina, lo rodean aminoácidos hidrofóbicos, como Ala-107, Phe-133 y Leu-134. Se definieron cuatro regiones de homología con otras proteínas que se unen a GDP, como p21-ras: Región 1 - aminoácidos 15-29; Región 2 - aminoácidos 79-87; Región 3 - aminoácidos 99-108, y Región 4 - aminoácidos 126-140. La región 1 es la más homóloga, e incluye el sitio que rodea los 2 fosfatos del GDP, la región 2 es donde se une el ion Mg<sup>2+</sup>, y las regiones 3 y 4, rodean al GDP, es decir, que las cuatro regiones homólogas participan en la unión a GDP. El aminoácido Val-20 de EF-Tu que corresponde al Gly-12 de p21, está en la región donde se sitúan los fosfatos de GDP, y al alterarse, afecta la conformación del sitio de unión de GDP. Esta estructura tridimensional permitirá explicar la estructura y función de proteínas similares, como p21-ras.

LÓGDARTE, M. D., REPPEN, J. B., RIZK, M. A.: *Proc. Conference on the alpha subunit of heterotrimeric G proteins*, 11-13 Aug. 1993, Cambridge, UK, abstract, pág. 102.

La transducina es una proteína que se encuentra en la membrana de los bastones de los fotoreceptores, su función es integrar la radiación en un estimulador del fotoreceptor, y como resultado de la interacción el GOF, dirige a la actividad alfa de la transducina, cambia a GTP, de donde, quién la transducina tiene capacidad para activar una tirosina quinasa. Si bien, se completa cuando la transducina hidroliza el GTP, resultando en el complejo transducina-GDP. Se estudió la necesidad de la arginina, y se observaron notables diferencias entre polipeptidos que presentan afinidad por radiación de queratina y actividad de GTPase y particularmente en 2 regiones aminoácidas en la transducina; la primera comprende los aminoácidos Lys-29 a Lys-70, hacia el extremo amino, que es la región involucrada en la hidrolisis de GTP en P21, y la segunda región se encuentra hacia el extremo carboxílico Ala-260 a Lys-272, que en la transducina es la región que participa en la unión a GTP. El cuarto aminoácido del extremo carboxílico es cristalina en la transducina y en las proteínas ras estudiadas, lo que significa que es un aminoácido muy importante para la función de las proteínas ras.

DE VOS, A. M., TONG, L., MILBURN, M. W., MATTIA, F. M., JANGARIK, J., NOGUCHI, S., NISHIMURA, S., MIURA, K., OHTSUKA, E., KIM, S.-H. 1988. Three dimensional structure of an oncogene protein: Catalytic domain of human c-Ha-ras p21. *Science* 249:863-873.

Todas las proteínas ras presentan homologías en los aminoácidos 1-171; los demás aminoácidos son muy variables, excepto los 4 últimos, necesarios para la unión membranal. Los 18 últimos aminoácidos, al parecer forman una estructura muy flexible, y para que no interfieran al estudiar la estructura de p21, sólo se estudió el dominio catalítico, del aminoácido 1-171. El péptido se produjo en bacterias y mediante difracción de rayos X, se definió su estructura. Su forma es compacta, un poco redondeada y mide 35 X 40 X 49 angstroms, consta de 6 filamentos de beta-plegada, 4 alfa hélices, y 9 segmentos ("loops") de conexión. Los filamentos de la beta-plegada numerados del extremo amino al carboxilo están en el orden  $\beta$ -2,  $\beta$ -1,  $\beta$ -3,  $\beta$ -4,  $\beta$ -5 y  $\beta$ -6 con la  $\beta$ -2 antiparalela a las demás. Los filamentos  $\beta$ -2,  $\beta$ -1 y  $\beta$ -3 forman un grupo, y los  $\beta$ -4,  $\beta$ -5 y  $\beta$ -6 forman otro. Las alfa-hélices  $\alpha$ -2 y  $\alpha$ -3 están en la cara convexa de la beta-plegada y  $\alpha$ -1, y  $\alpha$ -4 en la cara concava,  $\alpha$ -4 del extremo carboxilo es la alfa-hélice más larga. Los loops 1, 2, 7 y 9 están en el sitio de unión a GDP; el loop 1, con los aminoácidos 10-16, está cerca de los fosfatos, y el loop 2, cerca de la ribosa. Los aminoácidos 116, 117, 119 y 120 del loop 7, y 145-147 del loop 9 rodean la guanina. Estos sitios son clave para la función de p21. Los aminoácidos 59, 61 y 63 están en el loop 4, que está en contacto con el loop 1 y que al cambiar, altera la conformación. La posición 59 está en el filamento 3 cerca del sitio donde se unen los fosfatos, y si el aminoácido en esta posición es la treonina como en p21 viral, dicha treonina puede aceptar al fosfato sin cambio conformacional. En el loop 1 está el sitio responsable de la hidrólisis de GTP. El sitio donde se une el anticuerpo Y13-259 en los aminoácidos 63-73 está en el loop 4, casi opuesto al sitio de unión a GDP; su efecto sobre p21 posiblemente sea ocasionado por un cambio conformacional. Es probable que al menos uno de los sitios de p21 que están expuestos, sea el sitio de unión de alguna molécula efectora o mensajera, como en el caso de las proteínas-S similares a p21. La estructura descrita no tiene los últimos 18 aminoácidos del extremo carboxilo, que es el extremo unido a la membrana, por lo que es probable que en la célula el dominio catalítico se encuentre un tanto separado de la membrana, y p21 no esté totalmente inmerso. Esta es la primera estructura tridimensional descrita de las proteínas onco génicas conocidas.

## INTRODUCCIÓN DE LAS PROTEÍNAS-G

Las proteínas G están formadas por tres subunidades principales: alfa, beta y gamma. Se caracterizan por su actividad catalítica de GTPasa, en la cual las etapas de la vida, y se divide las divisiones reguladas en fase, fases y ciclos (Pugh y cols., 1987), y en homólogos (Pugh y cols., 1987).

### PROTEÍNA-G

Las proteínas G están divididas en la membrana celíaca, con afinidad por nucleótidos de guanina y actividad de GTPasa. Las proteínas G consisten tanto en un grupo estructuralmente similar como oligómeros formados por 3 subunidades: alfa, beta y gamma. En la forma inactiva de la proteína-G, la subunidad alfa se une a GTP, y también a las subunidades beta y gamma. Al activarse un determinado receptor de membrana, se activa la proteína-G, que induce el aumento en la tasa de intercambio del GTP unido a la subunidad alfa, por GTP; posteriormente, la subunidad tráves se disocia de las subunidades beta y gamma y altera la actividad de su proteína blanca, o canal de iones, y finalmente la subunidad alfa hidroliza su GTP unido, el cual se convierte en GDP, y termina la activación; esto es, las proteínas G conocidas dependen estrechamente del intercambio entre GTP/GDP para su activación pues, en su forma inactiva, forman complejos de proteína-GDP, y se convierten a la forma activa, unida a GTP, en respuesta a una determinada señal. p21ras presenta mayor similitud con la subunidad alfa por su afinidad por nucleótidos de guanina y por su actividad de GTPasa, aunque no se han reportado estructuras que actúen como subunidades beta o gamma asociadas a p21. Entre las proteínas-G se conocen: La subunidad reguladora de la adenosina ciclase (RAS) y la subunidad inhibitoria (G1) que regulan la transmisión de señales al interior de la célula; dichas señales se manifiestan por medio de cambios en la concentración de AMPc (Gilman, 1986).

### ACTIVACIÓN DEL p21 EN LA VÍA DE LA ADENOSINA CICLASE

En *S. cerevisiae* el RAS2 actúa como un regulador esencial para la división celular por medio de la activación de proteínas tiernas dependientes de AMPc. En *S. cerevisiae*, el RAS2 participa en el ciclo celular durante el paso de la fase G0 a la fase G, y en la esporulación; las proteínas RAS intervienen en la adenociclasa de levaduras, pues la disruptión de RAS1 y RAS2 resulta letal, a menos que en la espora ocurra otra disruptión que incremente el nivel intracelular de AMPc o evite el requerimiento de AMPc para estimular el crecimiento celular. En *S. cerevisiae*, el gen CDC25 afecta los niveles de AMPc celulares, y se requiere para el paso a la fase G. Si la disruptión ocurre solo en RAS2 las mutaciones muestran el mismo fenotipo que las levaduras con alteraciones en el metabolismo de AMPc: el nivel de AMPc es menor al de las células normales, las mutantes son viables, pero no se dividen bien en medios de cultivo con carbono no fermentable, como etanol o glicerol, acumulan carbohidratos, y esperan prematuramente. Estas son las mismas reacciones de respuesta de *S. cerevisiae* en situaciones de escasez de nutrientes (Latchell y cols., 1985).

Más posteriormente se ha visto una actividad reguladora similar en las que codifica genes de fosfotransferasas nucleares, tanto en *Saccharomyces cerevisiae* (Fink y cols., 1985), como en la levadura *Kluyveromyces lactis* (Fink y cols., 1985), pero lo tanto similaridad entre las proteínas Ras y las suizante muestra niveles bajos de carboidratos en su entorno y un mayor espacio libre y bajo contenido de hidroxilos (preferencia al de los hidroxilos con deshidratación del grupo CH<sub>2</sub>O). Una proteína RAS2 con sustitución del aminoácido histidina, cuando se somete a hidroxilo simpatoadrenalin y colo., 1987). Por lo tanto, la función del gen RAS2 parece ligada la función de la proteína RAS2, mediante el incremento de la actividad FDPK-ATPase en la raza por la cual con la mutación RAS2-val-19 no se requiere la proteína RAS2, pues la proteína radiactividad permanece unida a GTP en forma constitutiva. Se ha mostrado que la proteína GTPase activa tanto a la primaria de RAS como a la de RBD, pues al unir activa una o más la disrupción del gene GTPase se pierde la actividad. En las levaduras normales la adenil ciclase función con GTP preferentemente (Mimic y cols., 1987) pero en las proteínas mutantes RAS2-val-19, la actividad se hace independiente de GTP (Mimic y cols., 1988). En principio se propone que la proteína RAS2 podría ser la subunidad reguladora de la actividad catalítica de las levaduras pero no se han obtenido pruebas concluyentes de que cumpla dicha función, pues aunque es evidente que las proteínas RAS participan en dicha actividad, aún se desconoce su papel específico.

La adenil ciclase es un complejo, al parecer formado por una proteína de 280 kD codificada por el gene CYC y otra proteína aún no caracterizada de 70 kD, codificada por el gene RAS2 (Mimic y cols., 1988). Es posible que, más que en elemento constitutivo, las proteínas RAS actúen en un circuito proteína mitobólico previo a la adenil ciclase, en un nivel donde probablemente también causen alteraciones aun desconocidas en otras vías metabólicas y situando entre la llegada de la señal extracelular, y las reacciones intracelulares consecuentes. Esto se ha investigado en levaduras en fase estacionaria, en ascospores y en levaduras cultivadas en medios de carbono no fermentable, en las cuales al añadir glucosa al medio se induce una serie de ADP que desencadena una cascada de retroalimentación de proteínas y esta cascada es responsable del rápido consumo de la trehalosa, que es un carboidrato de reserva, de la inhibición de la gluconeogénesis y de la estimulación de la glucólisis. Se desconoce el mecanismo por el cual, la glucosa genera la respuesta en el ARF6 pero en este mecanismo las proteínas RAS cumplen un importante papel, lo que sugiere que la interacción entre proteínas RAS y la adenil ciclase es indirecta tal vez en un paso intermedio entre la llegada de la señal y la activación de la adenil ciclase (Mibonyi y cols., 1988).

La función de las proteínas RAS en S. cerevisiae y la similitud entre p21 y las proteínas Gα y Gβ de la adenil ciclase de mamíferos hicieron surgir la posibilidad de que en mamíferos la función de las proteínas Ras fuera similar, pero al investigarlo, se descartó esta hipótesis pues se demostró que las proteínas p21 de ras de humanos no participan en la adenil ciclase (Beckner y cols.

Se hizo una comparación de los resultados obtenidos con las proteínas Ras de *S. cerevisiae*. Los cuales no mostraron tanto indican una función igual en mamíferos pues se consideró tener presentes las diferencias entre los eucariotas, organelas mitocondriales, y los mamíferos, pluricelulares y mucho más complejos. Tal vez la clave sea que la función no es idéntica sino equivalente, pues en *S. cerevisiae* los intrínsecos actúan en vesícula endóloga, y los apéndices extracelulares que llevan señales de los cultivos se manejan como hormonas y factores de crecimiento y si en eucariotas, los proteinas Ras actúan al nivel citosólo en general las señales al interior celular tal vez en células de mamíferos funcionan en forma equivalente. Ademas considerando las similitudes con las proteinas-R y la localización membranal de las proteinas Ras es posible que tengan una función de tipo transductora, y participen en la transmisión de señales al interior de la célula.

#### METABOLISMO DE LOS INOSITOL-FOSFOLIPIDOS

Otra vía metabólica para la transmisión de señales en la célula, donde se ha registrado una posible participación de las proteinas Ras es el metabolismo de los fosfolípidos, particularmente en la vía de la Proteína-Cinasa-C (Bell, 1986). Esta vía inicia al llegar una cierta señal a la célula que mediante alguna proteína transductora en la membrana, la cual no se ha identificado, activa una encima la fosfolipasa-C que estando activa hidroliza los inositolfosfolípidos de la membrana; la hidrólisis produce diacil glicerol e inositol trifosfato (InsP<sub>3</sub>). El diacilglicerol producido permanece en la membrana donde funciona como segundo mensajero y activa la Proteína-Cinasa-C, una enzima localizada en la membrana celular que participa en numerosas funciones como la activación del canal de Na<sup>+</sup>/K<sup>+</sup> en la membrana, generando un aumento del pH citoplasmático y en los iones de sodio libres; uno de los iones fosforilados por la Proteína-Cinasa-C, es el receptor del factor de crecimiento epidémico (EGFR) con cuya fosforilación se regularia su afinidad por el EGF. La Proteína-Cinasa-C en general cumple un papel fundamental en la regulación de la proliferación celular. Por su lado el InsP<sub>3</sub> tambien actua como segundo mensajero activando la movilización de iones Ca<sup>2+</sup> en la célula.

Las proteinas Ras de *S. cerevisiae* al parecer intervienen en la regulación de la vía metabólica de los inositol-fosfolípidos (Kaihuchi y cols., 1981), sin embargo en células de mamífero, los resultados que hasta el momento se han reportado sugieren que p21 participa de alguna manera en esta vía metabólica, pero los intentos por definir esta participación han generado resultados un tanto confusos pues así como se ha propuesto que p21 participe en la activación de talas vías, la vía del AMPc y la del fosfatidilinositol (Sugimoto y cols., 1983) tambien se ha reportado que p21 estimula la fosfolipasa-C (Wolfman y Macara, 1987); en otros reportes se ha encontrado que p21 estimula la fosfolipasa-A2 (Kar-Sagi y Feramisco, 1986), o bien que activa la Proteína-cinasa-C fosforila p21 codificada por el gene c-Ki-ras (Baillet y cols., 1987). En las células transformadas por oncogenes ras existen alteraciones en toda la vía de la Proteína-Cinasa-C (Mamata y cols.,

Yihara y cols) y se han propuesto que la posiblidad de que el p21 sea una vía señalizadora de las señales de p21 que las propias señales que se activan en la transducción se dirijan al interior celular es que p21 pueda ser la proteína desconocida que se encarga de la señal para dar inicio a esta vía (Mizutani y cols., 1992). Sin embargo, p21 también podría participar en otras vías, pues en las células p21 induce un rápido incremento en el p38, marcando algún mecanismo de regulación del caudio (Ishiguro y cols., 1997).

El metacarcinoma de los rascocírcopios también muestra actividad con otros oncogenes, que han generado la misma respuesta que p21, indicando que tal vez existen vías siquemáticas semejantes en el proceso transformante inducido por los oncogenes, y en este caso, p21 no tendría una intervención crítica, cumpliendo alguna función más específica, no requiriendo ningún elemento de ésta vía (Bittencourt y cols., 1998).

El factor de crecimiento derivado de plaquetas (PDGF) regula el metabolismo de los fosfolípidos, pero la presencia de p21 parece alterar su capacidad reguladora, así vez debido a que los dos participan en dicho metabolismo de manera distinta (Hamata y Kung, 1998).

Se ha detectado una proteína llamada GAP ("GTPase activating protein"), que estimula la actividad de GTPasa de p21 proto-oncogénica, pero no de p21 oncogénico existen regiones de p21 que interactúan directamente con GAP y otras que pueden solarsese sin que se afecte dicha interacción entre regiones dispensables coinciden con las regiones dispensables para la transformación. La detección de las regiones variadas que distinguen las diferentes proteínas p21 (vea los genes *N-ras*, *H-ras*, y las 2 p21 de *Ki-ras* humanos) no afectan la interacción con GAP (Adari y cols., 1998). Estos datos señalan a la proteína GAP como candidata a ser la proteína efectora de p21 cuya acción sería de tipo reguladorio de la función de p21, es decir que la acción de GAP estaría en un nivel intermedio entre la señal que induce una respuesta en la proteína p21-ras y las respuestas de p21, normales o transformantes.

LEÓN, J., GUERRERO, I., FULLETER, A. 1987. Differential expression of the ras gene family in mice. Mol Cell Biol 7:1505-1540.

En el genoma de ratón, los genes c-Kras, c-Nras y N-ras, codifican proteínas muy similares en propiedades bioquímicas y en estructura, pero que han de tener diferencias importantes que, si no son estructurales ni bioquímicas, podrían encontrarse al nivel de expresión. Para detectar esas posibles diferencias, se cuantificaron los niveles de RNA de los 3 genes en distintos órganos y en diferentes etapas de la vida, desde embriones hasta adultos. El mayor nivel de expresión fue del gen N-ras en testículo, y un poco menos en timo y los menores fueron en riñón e hígado. El gen c-Kras se expresa más en cerebro, músculo y epitelio, y menos en hígado y ovario. c-Kras se expresa en promedio menos que el resto; sus mayores niveles fueron en intestino y timo, y muy débilmente en hígado, músculo, ovario y epitelio. En embriones se analizó el ARNm total de los 3 genes, cuyo nivel va decreciendo durante el desarrollo embrionario. Los niveles de c-Ki-ras y N-ras fueron mayores hacia el día 10 de desarrollo embrionario, y disminuyeron al final del embarazo, a diferencia de c-Kras que se expresa más en intestino, riñón y testículo, manteniendo un nivel alto de expresión en cerebro, desde el nacimiento hasta la etapa adulta. c-Ki-ras se expresa más en testículo a partir del día 15 hasta el día 25, disminuyendo después, y en intestino, donde se expresa más hacia el día 20, después del día 30 su expresión disminuye. N-ras se expresa en cerebro y riñón en embriones, decrece después del nacimiento, y sus niveles aumentan en testículo justo después del nacimiento. Los 3 genes se detectaron en todas las muestras analizadas, confirmándose que los 3 existen en todas las células, pero se regulan en forma diferente; el que su regulación sea compleja y el que se exprese en forma independiente y distinta en la célula y durante el desarrollo, indica que tienen distintas funciones, o no se explicaría que todas las células expresen 3 genes separados, que se regulan aparte, para cumplir una misma función. Cabe resaltar la expresión de ras en cerebro, pues ras se considera implicado en la proliferación celular; sin embargo difícilmente pue de tener una función proliferativa en el cerebro. Se concluye que es posible que existan implicaciones de ras aún desconocidas.

FURTH, M. E., ALDRITTA, T. H., CORCORAN, C. J. 1987. Expression of ras proto-oncogene proteins in normal human tissues. *Carcinogenesis* 17: 28

Para averiguar hasta qué punto existen los genes ras en células normales humanas se estudió la presencia de pili ras en distintos tipos de tejidos, tanto embrionarios como de adulto. Se usaron anticuerpos monoclonales y se hicieron técnicas inmunohistoquímicas para cuantificar p21, que se detectó en casi todos los tejidos estudiados, aunque con grandes variaciones en la intensidad de la detección entre tejidos, y entre tipos celulares del mismo tejido. Las muestras embrionarias y de adulto fueron similares. No se encontró p21 en melanocitos ni glomerulos y sí en la membrana basal e intermedia, y glándulas de epidermis, nódulos linfáticos, bazo, músculo liso y cardíaco, fibroblastos, condroblastos, endotelio, neutrófilos (muy débilmente), epitelio de bronquios, esófago y órganos, en estómago, colon, riñón (excepto glomerulos), testículo, ovario, páncreas, suprarrenales, neuronas, cerebelo, médula y ganglios. En embriones no se detectó en tejidos como timo, músculo esquelético, condroblastos, y tejidos de útero, placenta, cérvix, y mama. En general, p21 se encuentra tanto en células proliferativas como en tejidos altamente especializados. La mayor cantidad de p21 se detectó en cerebro indicando que ras debe participar en otras funciones aparte de las proliferativas.

BILMAN, R. G. 1986. G-proteins and dual control of adenylyl cyclase. *Trends Biochem. Sci.*

El sistema de la adenil-ciclasa consiste en al menos 3 tipos de proteínas integradas a la membrana citotoplasmática, y se caracteriza por su capacidad de recibir información de diversas fuentes, y generar una sola respuesta integral. El proceso se inicia cuando diversas moléculas reguladoras como neurotransmisores, hormonas etc. se acoplan a los receptores membranares, los cuales interactúan con los ligandos endógenos apropiados en la membrana celular, estas interacciones inducen la estimulación o inhibición en la actividad de la adenil ciclasa dependiente de la señal. Cuando la señal es de estimulación la adenil ciclasa genera un incremento en el nivel de AMPc celular, que actúa como segundo mensajero en la célula e interviene en diversos procesos como la activación de proteinas cinasas dependientes de AMPc y fosfatases reguladoras, que incidien sobre una serie de funciones de fosforilación. Las moléculas reguladoras incluyen homólogos beta-adrenérgicos, ADTH, gong dorropinas y muchas otras, y las inhibitorias pueden ser opioides y homólogos alfa-2-adrenérgicos y muscarínicos. Las moléculas estimulante se acopian con su respectivo receptor membranal, que envía su señal a una proteína-G de la adenil ciclasa, la proteína Gs y la de inhibición interactúan con Gi. Gs y Gi comparten una subunidad común cuya acción parece ser crucial para la capacidad integrativa del sistema, y las 2 pertenecen a una familia de proteinas con afinidad por nucleótidos de guanina, entre las que se incluyen la transducina y las proteinas de los genes ras.

TAYNELL, M., ROBERTSON, L. C. y INGRAM, M. RUM. *Environ. Res.* 3, 269-279 (1970). *Cytochrome b* es requerido por el crecimiento y el desarrollo de la levadura en respuesta a la nutrición limitativa. *Res. Inst. Nutr. Hum. 37(85-3787).*

La levadura *Saccharomyces cerevisiae* tiene las propiedades pertenecientes a la familia de los hongos: tener 4 cromosomas y presentar grandes similitudes estructurales y bioquímicas con el de los mamíferos. Puesto que la levadura es creciente, facilita la manipulación genética. Difícilmente aplicables en mamíferos se logrando obtener información sobre la función de genes como en levaduras incluyendo una disrupción en el gen *RAD5* para anular su actividad, y se observaron cambios fenotípicos esenciales; sin embargo, las mutaciones no se pueden dividir claramente en acuerdo con fuentes de carbono no fermentable presencia de superexcreciones de carbohidratos de almacenamiento como glucogeno y cistobioses, y su exportación es prematuramente. Estos mismos carbohidratos contribuyen a la respuesta de *S. cerevisiae* a la limitación nutricional de tales nutrientes. Por tanto se considera que *RAD5* participa en funciones involucradas con la nutrición, y como la falta de actividad de las proteínas *RAD5* actúa en la célula como una señal del exceso de alimento.

TODA, T., UNO, T., TSURIGAWA, T., FUJIWARA, S., KITAHARA, I., RYOMI, D., CAMERON, G., BRONKERS, G., MELCHER, H., WIGLER, M. 1985. In yeast, RAS proteins are controlling elements of Adenylyl Cyclase Cell 40:27-36.

Se estudió la posible función de los genes RAS2 en levaduras induciendo mutaciones para inactivarlo y para cambiar el codón 17 por valina, equivalente a la mutación del codón 12 que ocurre pdi de mamíferos. Las células se hicieron crecer en distintos medios de cultivo. En un medio para la esporulación relativamente rico, las mutantes sin RAS2 esporularon bien, pero las RAS2-val-17 esporularon muy pobremente. En medios sin fuentes de sulfuros, o nitrógeno, las mutantes RAS2-val-17 perdieron viabilidad con rapidez deteniéndose su desarrollo, y las mutantes RAS2- perdieron viabilidad lentamente, deteniéndose antes de germinar, igual que las levaduras silvestres. Las mutantes RAS2-val-17 no acumularon carbohidratos de reserva al escasear los nutrientes, como lo hacen las normales. Se ha reportado que una mutación en el geno cyr1 resulta letal para las levaduras, por la falta de actividad de adenil ciclase, pero una mutación en otro geno, el bcy1, suprime esta letalidad. El fenotipo de las mutantes RAS2-val-17 se parece al descrito para las mutantes cyr1/bcy1. La mutación del geno lacZ muestra gran actividad de adenil ciclase y altos niveles de AMPc. En levaduras con RAS1 y RAS2 inactivos y con la mutación bcy1, se suprimió la letalidad; las levaduras fueron viables, pero la mitad no germinó, indicando que la mutación bcy1 no resulta totalmente supresora de la letalidad debida a la ausencia de RAS1 y RAS2. Al medir los niveles de AMPc en las mutantes RAS2-val-17 fueron 4 veces mayores que las normales, las células con RAS1 inactivo tuvieron niveles ligeramente inferiores a los normales, pero en las células con RAS2 inactivo fueron 4 veces mayores. En las células con RAS1 y RAS2 y con la mutación bcy1, los niveles fueron 20 veces menores. Las mutantes RAS2-val-17 son insensibles a la falta de nutrientes e son incapaces de responder apropiadamente, sin embargo las células con RAS2 inactivo esporularon primativamente sólo en medios carecientes de glucosa, como si fueran impermeabilizadas a los cambios alimenticios. Es interesante que las incapazas de responder apropiadas a las variaciones alimenticias, esa característica de muchas células de mamífero transformadas. Los fenotipos descritos muestran similitudes entre células con RAS2 inactivo y las mutantes tyr-1, así como entre células con la mutación RAS2-val-17 y las mutantes bcy. Se concluye que las proteínas RAS1 y RAS2 intervienen en la adenil ciclase, RAS2 principalmente, pero se ignora a qué niveles, pues no se demostró directamente cual pueda ser su participación.

MARSHALL, H. S., BIRRELL, J. B., SCHNEIDER, R. M., BIEGLI, T. B.  
1987. Regulatory function of the Saccharomyces cerevisiae RAS  
C-terminus. Mol. Cell. Biol. 7:2009-2019.

Las levaduras con altos niveles de AMFc tragan ocasionalmente carbohidratos de reserva como glucógeno, alteraciones en su esporulación y poca viabilidad. Este mismo fenotipo ocurre en levaduras con el gen mutante RAS2-val-19, que corresponde a la mutación en el codón 12 que activa los genes ras de mamífero. Se estudió el papel de los genes RAS en la adenil ciclase, que regula el AMFc, induciendo una delección en el extremo carboxílico de RAS2, del aminoácido 174 al 300 conservando los últimos aminoácidos para la unión membranal; este gen mutante se llamó RAS2Δ. Se indujeron otras mutaciones, Ala-18, Val-19, en los genes RAS2, se insertaron estos mutantes en levaduras y los dos RAS2-Ala-18 Val-19, si completo y el deletado, causaron bajos niveles de glucógeno y de esporulación. La sobre-expresión de ambos genes causó un decremento de la división celular, y una excesiva capacidad de la célula para sobrevivir a la falta de nutrientes. El gen EDC25 afecta la cantidad de AMFc en las levaduras y su disruptión resulta mortal; pero al co-transfectar este gen inactivo con las variantes de los genes RAS, se evitó la letalidad, e incluso, los genes H-ras de mamífero, si normal y el oncogénico, también suprimieron la letalidad. Se concluye que el extremo carboxílico de RAS2 funciona como un regulador de la actividad de las proteínas RAS2.

FIELD, J., BRUER, D., KATAURA, T., WISLER, M. 1997. Guanine nucleotide activation of, and competition between, RAS proteins of *Saccharomyces cerevisiae*. Mol Cell Biol 7:2128-2135.

Las proteínas RAS1 y RAS2 de levaduras participan en la regulación de la adenil ciclase, pero no se ha definido de que manera. Para estudiarlo, se obtuvieron membranas de levaduras para analizar las reacciones de las proteínas RAS2 con GTP y GDP. Un plásmido con el gene CYR1 que codifica la adenil ciclase, unido a un promotor fuerte, se introdujo en levaduras, que presentaron gran actividad de adenil ciclase, sus membranas se pusieron en contacto tanto con GDP como con GTP y se midió la cantidad de AMPc generado. Se observó que con GDP, la actividad de adenil ciclase fue aprox. un 10% de la actividad registrada con GTP. En membranas de levaduras con la mutación RAS-val17 la respuesta fue similar, tanto con GDP como con GTP. Se concluye que las proteínas RAS participan en la adenil ciclase, si no directamente, sí a un nivel tan cercano como para que en membranas aisladas sigan interactuando y que las proteínas RAS necesitan unirse a GTP para funcionar; es decir, que están en un estado activo similar al de las proteinas-G, durante tanto tiempo como se mantenga la actividad de RTFase. En p21 onco génica de mamíferos, dicha actividad suele estar disminuida y si también se requiere del estado activo, tal vez la oncogenicidad se deba a que están activas demasiado tiempo, cumpliendo alguna función que, sostenida, origina la transformación.

UNO, I., MITSUZAWA, H., MATSUMOTO, K., TANAKA, K., OSHIMA, T., ISHIKAWA, T. 1995. Reconstitution of the GTP-dependent adenylylate cyclase from products of the yeast CYR1 and RAS2 gene in *Escherichia coli*. Proc Natl Acad Sci USA 92:7855-7859.

En levaduras, el sistema de la adenil ciclase consiste en al menos dos componentes proteínicos: Las subunidades catalítica y regulatoria, y está regulado por nucleótidos de guanina en presencia de iones de magnesio; este sistema proporciona AMPc a las células, que funciona como un importante regulador del crecimiento, mediante la activación de proteínas cinasas dependientes de AMPc; el gene CYR1 de levaduras codifica la adenil ciclase. La subunidad regulatoria regula los nucleótidos de guanina en la subunidad catalítica en presencia de iones magnesio; sin la subunidad regulatoria la actividad de adenil ciclase de la subunidad catalítica requiere iones manganeso. La proteína RAS2-val-19 genera mutantes con mayor actividad de adenil ciclase y de AMPc intracelular que las células normales. Se estudió el gene RAS2 introduciendo el gene CYR1 en *Escherichia coli* de la cepa cya<sup>-</sup>, incapaz de producir AMPc y sin actividad de adenil ciclase; las bacterias presentaron dicha actividad independiente de GTP, y no produjeron AMPc. Con los genes CYR1 y RAS2 se registró actividad de adenil ciclase independiente de GTP y gran cantidad de AMPc en las bacterias y con CYR1 y RAS2-val-19 la adenil ciclase resultó ser independiente de GTP y con una gran cantidad de AMPc. Se concluye que en bacterias CYR1 y RAS2 funcionan como subunidad catalítica y regulatoria respectivamente, y tal vez en *S. cerevisiae* también.

FIELD, J., NIKANO, J.-I., BRONK, B., MACDONALD, B., RODGERS, L., WILSON, T., LERNER, R., WIBLER, M. 1988. Purification of a RAS-responsive adenylyl cyclase complex from *Saccharomyces cerevisiae* by use of a epitope addition method. Mol Cell Biol 8:2157-2165.

En levaduras, la disruptión del gen CYR genera mutantes sin actividad de adenil ciclase y por ello se considera que este gen es quien la codifica, pero la adenil ciclase de levaduras no se ha caracterizado tanto como en mamíferos porque ha resultado difícil de extraer, y por eso tampoco se ha definido la participación de los genes RAS. Para analizarla, se utilizó un método especial para purificar la adenil ciclase de *S. cerevisiae* mediante un pequeño péptido con una cierta secuencia, que al fusionarse con la proteína, si se generan anticuerpos monoclonales contra el péptido, se obtienen anticuerpos contra la proteína en sí. La proteína purificada resultó ser un complejo con múltiples subunidades, tal vez formados por dos copias del producto del gen CYR y varias proteínas con un peso molecular de 70 Kd, no identificadas. Ambas proteínas RAS2 y RAS2-val-19 activaron la adenil ciclase, en presencia de GTP, pero no con GDP. No se determinó si las proteínas RAS ejercen su función activante sobre todo este complejo, o si solamente activan la proteína de 70 Kd, que aun falta identificar.

MBONYI, K., BEULLENS, M., DETREMERIE, K., DEERTS, L., THEVELEIN, J. 1988. Requirement of one functional RAS gene and inability of an oncogenic ras variant to mediate the glucose-induced cyclic AMP signal in yeast *Saccharomyces cerevisiae*. Mol Cell Biol 8:3051-7.

En las levaduras que están en fase estacionaria, si se añade glucosa se induce una señal de AMPC que genera una cascada de fosforilación de proteínas. Un decrecimiento repentino de pH con algún agente como el dinitrofenol ocasiona la misma respuesta. Para estudiar la posible intervención de las proteínas RAS, las levaduras se cultivaron en presencia de glicerol, y se agregó glucosa a las levaduras control, a las mutantes con RAS1 inactivo, y a mutantes con RAS2 inactivo, y las presentaron un incremento similar del AMPC. Al agregar dinitrofenol el resultado fue el mismo. En las mutantes con disruptión en ambos genes, y con mutación en el gen bcy1 que suprime la letalidad, los niveles iniciales de AMPC fueron muy bajos, y no aumentaron con la glucosa. Las proteínas RAS parecen ser necesarias para disparar la señal de AMPC, y para saber si son transductoras de la señal o si participan en la adenil ciclase, se midió el AMPC generado por glucosa a distintas temperaturas; en células control, la respuesta aumenta a mayor temperatura, pero en mutantes con RAS2 inactivo, a mayor temperatura hubo una respuesta menor. En mutantes RAS2-val19 la respuesta fue mínima, aunque su nivel de AMPC inicial fue mayor que en células control; en células con RAS1 inactivo la respuesta apenas fue detectable, y en mutantes RAS2-val19 con RAS1 inactivo, se registró la respuesta más débil, tanto con glucosa como con dinitrofenol. Todo indica que la inactivación de genes RAS no afecta directamente la adenil ciclase, sino la señal de AMPC generada con glucosa y dinitrofenol, y que la disminución del pH no actúa sobre la adenil ciclase, actúa sobre proteínas RAS, u otros elementos reguladores previos a la adenil ciclase.

BECKNER, S. K., MATTIOLI, T. S., MILIN, J. R. 1983. The ras oncogene product is not a regulatory component of adenylyl cyclase. *Nature* 317:71-72.

Las proteínas p21 de los genes ras tienen similitudes estructurales y bioquímicas con las proteínas G que integran el complejo de la adenil-ciclasa, y en las levaduras las proteínas Ras participan en la adenil-ciclase, lo que ha sugerido que posiblemente en células normales de mamíferos, p21 cumpla una función similar. Para averiguar si p21 cumple tal función se extrajeron las membranas citoplasmáticas de células de la línea S49 de linfoma humano, en las cuales, la adenil ciclase tiene deficiencias, pues carecen de la proteína-Gs funcional que es la subunidad reguladora de la adenil ciclase. Se ha observado que las células de la línea NIH3T3 transformadas con el virus de sarcoma de Harvey, al ponerse en contacto con las células S49, muestran la capacidad de suplir las deficiencias de la adenil ciclase. Se cuantificó la concentración de p21 en las membranas de las células NIH3T3 a las células S49 se les agregó p21 en concentraciones hasta 400 veces mayores a la registrada en células NIH3T3, y no se detectó estimulación en la adenil ciclase de las S49. También se agregó p21 de células humanas de v-Har-ras viral, y de p21 producida en *E. coli*, y no se observaron variaciones en la adenil ciclase. En las células NIH3T3, la tigoxina de periusus afecta la actividad de la proteína-Gs que es la subunidad inhibitoria de la adenil ciclase, y al agregar dicha tigoxina a las células NIH3T3 se estimula la adenil ciclase. En las células NIH3T3, se agregó p21 en concentraciones hasta 800 veces mayores a la concentración registrada como normal en las células NIH3T3 de p21, y tampoco se registró ningún cambio, lo que indica que p21 no está relacionada funcionalmente con la proteína-Gs, ni con la proteína-Gi, por lo que se concluye que las proteínas ras no participan en la adenil ciclase en células humanas.

BELL, R. M. 1984. Protein kinase C activation by diacylglycerol second messengers. Cell 45:651-652.

El diacilglicerol actúa como segundo mensajero intracelular que activa la Proteína-cinasa-C, una serina/treonina-cinasa dependiente de fosfolípidos y calcio. El diacilglicerol (DAG) está implicado en procesos celulares tales como la regulación de la división celular, su diferenciación y sorberción, la activación de plaquetas y neutrófilos, la regulación de la expresión genética, de receptores superficiales celulares, del metabolismo celular, etc. Se desconocen los eventos transmembranales que activan al DAG, pero se considera que la señal proviene de una proteína-G, mediante un mecanismo parecido al de la formación de AMPc. Las proteínas de algunos oncogenes (sis, erb-B, ras) se parecen a los elementos involucrados en enviar la señal transmembranal, al respecto se han observado niveles elevados de DAG en las células que expresan ras y sis. Una molécula de DAG activa la Proteína-cinasa-C de manera análoga a los ésteres de fórbol (EF) que son promotores tumorales potentes, cuya activación es mayor y no son metabolizados rápidamente como el DAG. La proteína-cinasa-C pesa aprox. 90 Kd, in vitro se autofosforila, y se localiza en la membrana. La afinidad membranal está controlada por iones  $\text{Ca}^{2+}$ , DAG y EF. Se propone que la proteína-cinasa-C forma un complejo con  $\text{Ca}^{2+}$  y fosfatidilsérina en la membrana. Una señal extracelular interactúa con una secuencia hipotética de reacciones, que involucran una proteína-G y una fosfolipasa-C, que culminan con la degradación del fosfatidilinositol bifosfato (PIP2) para producir DAG e inositol trifosfato, que también actúa como segundo mensajero. El DAG entonces se pone en contacto con la proteína-cinasa-C, activándola.

KATBUCHI, K., MIZAJIMA, H., AKAI, K.-I., MATSUMOTO, K. 1986.  
Possible involvement of RAS-encoded proteins in glucose-induced  
inositolphospholipid turnover in *Saccharomyces cerevisiae*.  
Proc Natl Acad Sci USA 83:8173-8176.

Las levaduras representan un buen modelo para estudiar el papel de los genes RAS en la proliferación celular. Durante el ciclo celular, en el paso de la fase G0 a G1, posiblemente la clave son los segundos mensajeros como el IP<sub>3</sub>C, el inositol trifosfato (InsP<sub>3</sub>) y el diacioglicerol. La glucosa actúa en levaduras en forma similar a los factores de crecimiento de mamíferos, aumentando el metabolismo de los inositolfosfolípidos, y se ha reportado que tiene un efecto similar en células pancreáticas. Si se cultivan levaduras con glucosa y se les retira de improviso, pierden viabilidad y detienen su división, y si en cambio se les deja un mínimo de glucosa, las células se detienen en el estado pre-germinativo, sin perder viabilidad, y al reagregar glucosa reanudan su división. Las levaduras se pusieron con el mínimo de glucosa, se les agregó inositol marcado radiactivamente y se les reagregó glucosa, para medir la incorporación del inositol, y así registró el estímulo en el metabolismo. Se generó ácido fosfatídico, fosfatidilinosito, fosfatidilinositol monofosfato y fosfatidilinositol bisfosfato, indicando que la glucosa induce la hidrólisis y la subsiguiente resintesis de inositolfosfolípidos. Mediante <sup>32</sup>P marcado radiativamente, se observó que la glucosa también estimula la movilización del calcio en el citoplasma. Con fructosa y manosa se obtuvo la misma respuesta, pero no con 2- $\alpha$ -D-glucosa, que estimula la formación de IP<sub>3</sub>C en levaduras. Las levaduras con RAS1 inactivo, tuvieron una respuesta mayor que las silvestres, y en las mutantes con RAS1 y RAS2 inactivos y la mutación *bey*, la respuesta fue aún más intensa. Se concluyó que la glucosa posiblemente activa la fosfolipasa-C, que hidroliza los inositolfosfolípidos, y que los genes RAS1 de levadura tal vez intervengan en la regulación de este metabolismo.

SUGIMOTO, Y., NODA, M., KOBAYASHI, S., Y INADA, T., 1990. - Possible involvement of two signaling pathways in regulation of gene expression associated properties by v-Harvey genes in PC12 cells. *J. Cell. Cell* 26:12102-12108.

La mayoría de las investigaciones sobre genes ras en mamíferos se han hecho en células en proliferación (como fibroblastos), y se ha observado que ras interviene en la proliferación celular. La línea neuronal PC12, en presencia del factor de crecimiento nevrálgico detiene su proliferación e inicia su diferenciación, que se manifiesta por su supervivencia en ausencia de suero, surgimiento de prominencias y activación de la acetilcolina esterasa. Los virus de Harvey y Kirsten y el oncogén humano c-Ha-ras inducen una respuesta idéntica, pero no el proto-oncogén c-Ha-ras. Se estudió esta inducción transfectando células PC12 con un plásmido con v-Harvey unido a un promotor viral fuerte, inducible con dexametasona. En la línea resultante, llamada PC12-B se detectaron pocas copias de v-Harvey, pero gran cantidad de p21 y de ARF16 del mismo en presencia de dexametasona. Con Ca<sup>++</sup> se aceleró el proceso de diferenciación y con Li<sup>+</sup> se inhibió sin que se alterara el nivel de p21, por lo que estos iones deben actuar a un nivel algo alejado a la expresión de v-Harvey. Ca<sup>++</sup> varía su concentración al estimularse el metabolismo de los inositolfosfípidos y Li<sup>+</sup> inhibe la actividad de la enzima inositol-1-fosfatasa de la misma vía metabólica, por lo que se estudió esta vía. La dexametasona aumentó notablemente los niveles de AMPc, inositol trifosfato, y diacilglicerol. Tanto el fosfol-12-miristato-3-acetato (FMA), como el diacetil Arf16 (DArF16) mimetizan la acción de segundos mensajeros; se estudió si efecto de cada uno y no causaron reacciones, pero al actuar juntos indujeron la diferenciación de células PC12 y en células PC12-B en presencia de DArF16 indujeron la misma respuesta que su dexametasona sin que variara el nivel de p21, sugiriendo que su efecto no es sobre v-Harvey sino que los dos causan las mismas alteraciones. El efecto de la dexametasona fue reversible indicando que para mantener el fenotipo diferenciado, se necesita la acción sostenida de v-Harvey. Se concluye que los diferentes reportes de la acción de genes ras posiblemente reflejan debida a los distintos tipos celulares, y que es probable que actúen en niveles previos a la acción de los segundos mensajeros, activándose indirectamente.

WOLDHM, A., HACHTER, J. A., 1977. Interactud entre el díacilíptero y el virus de la hepatitis humana. *Nature*, 267: 200-202.

El efecto tóxico de las células transformadas puede ser en parte, sin duda explicado por la actividad oncogénica que tienen las células transformadas. Es conocido que el díacilíptero es capaz de transformar las células epiteliales totipotenciales, como bien se sabe con certeza en el caso del virus SV40, que la transformación de las células es la característica. Tali vez existencias de tal vez particular en la forma de los díacilípteros y en los propiedades que probablemente les sea la predilección a las células epiteliales. Para determinar si existe en su función, se han informado ciertas RNP-EST que el virus SV40 y con el correspondiente virus humano, se adhieren más fácilmente a las células transformadas que a las no transformadas, para verificar que los díacilípteros se multiplican dentro de las transformadas, y se puedan adjudicarle a la transformación celular, y se registró que el nivel del díacilíptero fue menor, 1000 veces en células transformadas que en las controladas. Como se observó en cada cantidad equivalente de díacilíptero, se aumentó la actividad total del anticuerpo, esto es, tomó como referencia una mitad de 20 Kd que se fosforilada por la Proteína-cinasa. En las células control las mitades de fosforilación de la proteína de referencia fueron bajas, pero al estimular las células control con PMA o fosforil citosílico, que son activadoras del citoquía, se incrementó la fosforilación. En cambio, las transformadas, la fosforilación de la proteína de 20 Kd fue de 4 a 50 veces mayor que en las controladas. Sin embargo, las células transformadas sólo registraron un leve incremento en la fosforilación, en presencia de los activadores. Se concluye que en tal vez tenga alguna acción en la activación de la proteína-cinasa.

BAR-SAGI, D., FERANIGOC, J.-R. 1988. Induction of membrane ruffling and fluid-phase pinocytosis in quiescent fibroblasts by ras protein. Science 233:1061-1068.

Se investigaron los efectos fenotípicos de los oncogenes ras durante el proceso transformante, en células RBT-52 de embrión de rata, de forma plana y poligonal, cuya membrana tiene pliegues pequeños y extensiones cortas y delgadas. 30 minutos después de inyectar p21 del oncogene c-Ha-ras humano, la membrana mostró un activo plegamiento con largas protuberancias; a las 2 horas los largos pliegues membranales formaron elaborados patrones reticulares y a las 10 horas, la célula adquiere una forma algo redondeada con la membrana muy plegada. El plegamiento membranal está muy asociado a la actividad pinocítica, y un criterio de dicha actividad es la incorporación de dextran. Las células inyectadas con p21 oncogénico presentaron numerosas vesículas con dextran, y se calcula que la actividad pinocítica aumentó 10 veces con el oncogene ras, en relación a las normales. La misma reacción se observó en células normales de riñón de rata; p21 proto-oncogénica causó los mismos efectos, pero sólo por 5 horas. El aumento pinocítico, y el plegamiento membranal, se han reportado como los efectos de hormonas, mitógenos y elementos como el factor de crecimiento derivado de plaquetas (PDGF). En células cultivadas en ausencia de suero, p21 induce la misma respuesta pero en células mantenidas en ausencia de calcio por 2 horas antes de la inyección no hubo respuesta, pero si a las células se les agrega calcio 15 minutos después, la respuesta ocurre. La inyección de ras estimula la síntesis de ADN en las mismas condiciones para el aumento de la pinocitosis, pues en las condiciones en que no hubo aumento pinocítico, tampoco la síntesis de ADN se estimuló. Se registró un aumento de las enzimas sintetizadas por la fosfolipasa-A, del metabolismo de los ing-sitol fosfolípidos, por lo que se concluye que ras tal vez estimula la actividad de la fosfolipasa-A.

FLIER, J. S., MUECKLER, M. M., USHER, P., LODISH, H. F. 1987. Elevated levels of glucose transport and transporter messenger RNA are induced by ras or src oncogenes. Science 235:1492-1495.

Un rasgo de los más característicos de las células transformadas es la elevada tasa de respiración, de incorporación y de metabolismo de glucosa. Se estudiaron estas alteraciones, transfiriendo fibroblastos de ratón (células FR3T3) con los oncogenes myc ras y src y se observó el efecto del ester de farnoil TPA, un agente tumorigénico que activa la proteína-cinasa-C. En células transfectadas con src y ras se incrementó tanto la tasa del transporte de glucosa como el nivel de su proteína transportadora y del ARNm de esta proteína; con myc no se detectó ninguna respuesta. Esto indica que ras y src tal vez alteran la abundancia, o la estabilidad del ARNm. Las células transfectadas con ras y src proliferan más rápidamente, y su densidad es mayor que en células transfectadas con myc o en las controles. Las proteínas src y ras están en la membrana celular, se parecen a ciertas proteínas transductores membranales y se ha propuesto que esa puede ser su función; pero si lo fuera, no se explicaría cómo es que una proteína localizada en membrana como p21, cuya función se considera de tipo mitobólico, sea capaz de interferir con otra proteína a nivel transcripcional, en tanto que la proteína myc, localizada en el núcleo y cuya función se considera de tipo regulatorio a nivel de síntesis de ADN, carezca de ésta capacidad. El TPA también incrementó la tasa de transporte de glucosa en células sin transfectar; se registró este aumento a los 15 minutos, sin detectarse cambios en el ARNm, y alcanzó su máximo a las 18 horas, pero al llegar al máximo si hubo aumento en el ARNm. La Proteína-cinasa-C regula el transporte de glucosa y es responsable de su aumento, y el TPA tiene una función mimética del diacilglicerol, activando la proteína-cinasa-C, y estos resultados indican que la acción de p21 mimetiza al TPA, por lo que se concluye que posiblemente ras tenga una función similar al diacilglicerol, y también posea la capacidad de activar la proteína-cinasa-C.

BALLESTER, R., FURTH, M. E., ROSEN, O. M. 1987. Phorbol ester- and Protein kinase C- mediated phosphorylation of the cellular Kirsten ras gene product. J Biol Chem 262: 2688-2695.

Los carcinógenos químicos como los ésteres de forbol no inducen la proliferación celular, pero aumentan la capacidad de algunos oncogenes para inducirla. Cuando se introduce la proteína oncogénica p21 en células normales, estas responden a la acción del forbol 12-miristato 13-acetato (PMA), y la transformación celular resulta ser 100% eficiente; sin embargo, las células primarias no se transforman si se introducen oncogenes ras solamente. Se estudió la relación entre PMA y ras, transformando diversos cultivos celulares con p21 de los oncogenes c-Ha-ras c-Ki-ras y N-ras, tanto virales como celulares, agregándoles PMA y midiendo la fosforilación de p21. Sólo en células transformadas con c-Ki-ras, se observó la fosforilación de p21; la proteína fosforilada mostró las mismas propiedades bioquímicas de p21. La fosforilación de p21 in vitro resultó dependiente de la acción de la Proteína-cinasa-C, y el aminoácido fosforilado es la serina 181 del exón IVB de la proteína que codifican los exones I-II-III-IVB del oncogene c-Ki-ras, la serina no se encuentra en esta posición en las proteínas codificadas por otros oncogenes ras celulares ni virales, ni en la proteína que codifican los exones I-II-III-IVA del oncogene c-Ha-ras, pues se encuentra en la región de mayor variabilidad de los genes ras. Esto indica que p21 codificada por c-Ki-ras con el exón IVB es un posible sustrato de la Proteína-cinasa-C, que tal vez participa en la regulación de los genes ras.

MOMMERT, V., SULLIVAN, N. A., CRISPEIN, M. M. 1987. Reduced protein kinase C activity in a revertant NIH 3T3 cell line derived from Ki-rasV transformed cells. *Oncogene* 1:437-48.

En la membrana celular, ocurren eventos para la transducción de señales al interior celular, que pueden estar relacionados con la acción de los oncogenes; dichos eventos se incluyeron en células NIH-3T3 transformadas con el virus de Kirsten (Ki-rasV), de las cuales algunas presentaron reverción al fenotipo normal pero continuaron expresando gran cantidad de proteínas p21 virales, y que resultaron ser resistentes a la retrotranscripción con el Ki-rasV, y con los oncogenes src y fes, indicando que los eventos que generan un fenotipo transformante, pueden bloquearse en un punto distante del punto de acción de los oncogenes ras. Una vía metabólica involucrada en la proliferación celular, es la activación de la Proteína-Cinasa-C; el 12-O-tetradecanoylforbol 13-acetato (TPA), que es un mitógeno, activa la Proteína-Cinasa-C, y también p21 oncogénica, y para saber si ambos actúan mediante intermedio los bioquímicos comunes, lo ideal es trabajar con células con gran cantidad de p21 viral pero resistentes a la transformación. La Proteína-Cinasa-C fosforila una proteína de 80 Kd, con lo que puede cuantificársela, y que tiene actividad fosforilante en la membrana, pero se encuentra también en el citoplasma. Se registró una actividad total de la Proteína-Cinasa-C de 1.8 a 3 veces mayor en las células NIH-3T3 normales que en las transformadas, o las revertentes, y el 68% de esta actividad se presentó en el citoplasma, al igual que en las revertentes, mientras que en las transformadas la actividad citoplasmática fue de 35% y la actividad membranal, de 65%, es decir, aunque las revertentes mantienen la proporción de proteínas activas en membrana, su actividad total fue menor que en las normales. En presencia de factores de crecimiento y TPA que activan la Proteína-Cinasa-C, la proteína de 80 Kd se fosforiló en las NIH-3T3 normales, en las transformadas, se fosforiló con TPA pero no con factores de crecimiento, y en las revertentes no hubo fosforilación en ningún caso. En las revertentes, el nivel del diacil glicerol fue similar que en las normales y menor que en las transformadas. La menor actividad total de la Proteína-Cinasa-C puede deberse a una regulación transcripcional o traduccional, o a que solo unas pocas moléculas de Proteína-Cinasa-C retuvieron la capacidad de ser activadas con diacilglicerol. El que no se fosforilara la proteína de 80 Kd, tal vez se deba a que en las revertentes exista algún inhibidor específico de la proteína de 80 Kd, o a que en estas células la proteína de 80 Kd tiene alguna alteración que pueda hacerla más susceptible a la acción de fosfatasas. Dado que los niveles de inositol fosfocípido regresaron a sus niveles originales en las revertentes, no puede descartarse que su estimulación en las células transformadas con oncogenes ras, pueda ser una consecuencia de la transformación, más que una causa.

WAKELAM, M. J. O., DAVIES, S. A., HOSLAY, M. D., MCKAY, I., MARSHALL, C. J., HALL, R. 1986. Normal pair-hairless couples. bombesin and other growth factor receptors & inositol phosphate production. Nature 322:173-176.

En las células existen numerosos receptores que, al ser activados, estimulan la producción de inositolfosfolípidos; la actividad sostenida de esta vía parece ser un factor involucrado en la estimulación de la división celular y se ha propuesto que algunos oncogenes estimulan la proliferación mediante esta vía. No se conoce la proteína que transduce la señal que inicia esta vía al interior celular, pero debe ser una proteína membranal similar a las proteinas-G, y para averiguar si la proteína desconocida es p21, se construyó un plásmido con el proto-oncogene N-ras humano, unido a un promotor viral regulable con dexametasona (DT), y se introdujo en células NIH-3T3; sin DT, las células expresan mínimas cantidades de p21 de N-ras y con DT, la cantidad es mucho mayor. Las células NIH-3T3 tienen receptores para varios factores de crecimiento. Estas células, con y sin DT, se pusieron en presencia de factores de crecimiento como bombesina, bradiquinina, un péptido gástrico, y suero, y se midió la acumulación de inositol fosfatos. En las células sin DT hubo un leve aumento en la acumulación de inositol fosfatos, en respuesta a los factores de crecimiento, pero en las células con DT y gran cantidad de p21, los factores de crecimiento indujeron gran acumulación de inositol fosfatos, en especial con la bombesina. La respuesta a la bombesina fue dependiente de la cantidad de p21 en la célula, la cual a su vez, fue dependiente de la cantidad de DT agregada a las células, esto es, que la acumulación de inositol fosfolípidos se relaciona con la concentración de p21. No se detectaron cambios en la afinidad del receptor por la bombesina ni en el número de receptores. El que varios factores de crecimiento generen una respuesta en células con gran cantidad de p21, indica que p21 normalmente actúa en un nivel previo al acoplamiento de los diversos receptores con sus factores respectivos, probablemente transduciendo la señal extracelular y cumpliendo la misma función que la proteína-G desconocida, que tal vez sea p21.

HOMÉS, M., MOLINA, J. C., GONZÁLEZ, J. A., GARCÍA, J. R. y VILLALBA, J. E. 1977. Malignant transformation of rat mammary epithelial cells by ultraviolet light. *J. Cell. Physiol.* 101: 101-107.

Se presentan los resultados obtenidos en el desarrollo de la transformación maligna y la proliferación carcinogénica en el último modelo de tumor de ratas que se ha establecido. Se muestra que el virus del herpes simple activa una actividad mitótica constante en las células transformadas, que continúa en el caso de las células de la mamaria que han sido tratadas con ultravioleta. Si se tratan las células transformadas por el virus de la hepatitis B, se observa la inhibición del crecimiento en caso de las células HTH-RTS. Una de las características más interesantes es el efecto inhibidor del virus de hepatitis en las células ratas de mamaria, ya que este virus produce una actividad carcinogénica similar a la transformación y transforma las células HTH-RTS en células HTH-RTS. Se observó un efecto transformador en respuesta al virus de hepatitis en células de ratas de mamaria, que produce transformación no linfocítica respondiendo a la actividad de un inhibidor del virus de hepatitis y estimulando la transformación por el virus, que también es inhibido por el virus de hepatitis en células de ratas de mamaria. La actividad inhibitoria del virus de hepatitis en las células transformadas, como se observó durante la transformación del virus de hepatitis para mantener la proliferación. Se concluye que el virus transformador de mamaria participa en la misma vía, tal vez la de la inactividad fisiológica.

VILANO, T., MORENO, R. S., MARINÓN, J. C., ZAMAL, M., SANTOS, E. IZQUIERDO. Malignant transformation by virus and other oncogenes produced during alterations in incisor phospholipid signaling pathway. Proc Natl Acad Sci USA 84: 2497-1976.

Se considera que los virus pertenecen a los virus de los inositofosfolípidos, posiblemente como una proteína que transduce la señal que estimula el anticuerpo, y para investigarlo se transformaron células celulares con los oncogenes *ras*, *met*, *trk*, *src*, y *raf* y se midió la tasa de conversión, entre el grupo de fosfatidiletanolamina hídrica inositolfosfolípidos, para observar cada actividad. La tasa de conversión aumentó en células transformadas con oncogenes *ras* y *src* y *raf* en relación a las controladas, pero también en células transformadas con otros oncogenes aumentó esta tasa, e incluso en las células transformadas con *ras* y *met*, esta tasa fue mayor que con *ras* con *src* o con *raf*. No hubo incremento. Algunas células HTH-RTS se transformaron experimentalmente, y observaron la mayor tasa de conversión. Se ha reportado que ciertos agentes como el factor de crecimiento derivado de plaquetas, la bombesina o el factor antitumoral, la vía de los inositofosfolípidos, pero al exporlos a las células transformadas que no hubo ninguna estimulación. Se concluye que las proteínas que no se pueden considerar como proteínas transductoras que activan la vía de los inositofosfolípidos, pues la activación de dicha vía parece ser una consecuencia del proceso de transformación como tal.

KAMATA, I., KUNG, H.-F. 1988. Effect of ras oncogene protein and platelet derived growth factor on inositol phospholipid turnover in NRK cells. Proc Natl Acad Sci USA 85:5799-5803.

La mayoría de los estudios en los que se ha reportado la participación de ras en el metabolismo de los inositolfosfolípidos, han sido observaciones indirectas hechas *in vivo*, por lo cual se estudió esta vía metabólica en membranas aisladas, centrándose en el factor de crecimiento derivado de plaquetas (PDGF), que estimula la hidrólisis de inositolfosfolípidos, desencadenando toda la cadena de reacciones de activación de la fosfolipasa C; proteína cinasa-C, canales de  $\text{Na}^+/\text{H}^+$  hasta la síntesis de ADN. En las células NIH-3T3 y NRK sin transformar, el PDGF activó el metabolismo, pero en las transformadas con p21 de oncogenes *H-ras* y *K-ras* humanos, el PDGF no indujo ninguna activación. Se ha reportado que un análogo de GTP, aumenta la afinidad de las proteínas-G por nucleótidos de guanina. En membranas aisladas de células NRK se midió el aumento en la vía metabólica con PDGF, que se incrementó con el análogo de GTP, indicando que una proteína-G está transducido la señal. Se estudió esta proteína-G con la toxina de pertusis, que inhibe otras las proteínas-G, y no se observó efecto alguno de la toxina en la estimulación de la vía metabólica, por lo que se concluye que en la vía de los inositolfosfolípidos, la proteína encargada de transducir la señal es una proteína-G, insensible a la toxina de pertusis, que no puede ser p21, y que el PDGF y los genes ras ejercen sus efectos sobre la vía de los inositol-fosfolípidos mediante mecanismos diferentes.

ADARI, H., LEWY, D. R., MILLIONEN, B. M., DER, C. J. y MCCORMICK, F. 1982. Gucosaminotriphosfatase activadora proteína (GAP) Interactúa con la p21 ras actividad transformante. *Science*, 240:518-521.

Las proteínas ras posiblemente tienen una función transductora, pues son similares a las proteínas-G, que están activas transfiriendo señales al interior celular actuando acoplados a GTP y se inactivan cuando ellos mismos hidrolizan el GTP quedando unidos a GDP. Se estudiaron tejidos normales humanos y de ratón, líneas de células no transformadas, líneas celulares tumorales humanas y líneas celulares establecidas, que se transformaron. En todas se detectó una proteína llamada proteína activadora de GTPasa o GAP, que aumenta hasta más de 100 veces, la actividad de GTPasa de p21 normal. Se hicieron extractos citoplaasmáticos para medir la actividad de GTPasa de distintas proteínas p21, y se observó que en p21 de H-ras, K-ras y N-ras el extracto incrementó la actividad, pero no en proteínas virales, por lo que el sitio de acoplamiento de GAP a p21 ha de estar en las regiones compartidas por proteínas H-ras y K-ras. El anticuerpo Y13-259 inhibió la actividad de GTPasa, tal vez impidiendo el acoplamiento GAP-p21. Se deletaron las regiones no esenciales para las funciones bioquímicas de ras, incluyendo la región carboxilo terminal, y el aminoacido Cys-185, necesario para la unión membranal, y GAP siguió estimulando la actividad de GTPasa de p21. Las mutaciones en los codones 12, 59 y 61 suprimieron la acción de GAP sobre p21, y también las mutaciones en los codones 35, 36, y 37; estos últimos codones pertenecen a una de las regiones expuestas de p21 pero las mutaciones en los codones 12, 59 y 61, tal vez ocasionen una alteración conformacional. Se propone que GAP es la proteína efectora de p21, que regula su acción, y que es más probable que su efecto sea sobre p21 y no que p21 actúe sobre GAP, de esta manera las mutaciones puntoles transformantes de p21 pueden impedir que GAP pueda seguir regulando la función de p21, lo que trae como consecuencia el desen cadenaimiento de los procesos de transformación.

## ONCOGENES RAS EN TRANSFORMACION CELULAR

En los últimos años, particularmente en los últimos de número, se han hecho numerosos estudios sobre la causa y mecanismo de los oncogenes ras, ya sea mediante la microiniección de proteínas ras obtenidas principalmente en bacterias para estudiar el efecto del p21 en la célula, aunque esto es muy peligroso, no pueden microinjetarse tantas células a la vez, y no todos los tipos de células son susceptibles de ser transformadas en esta forma los más óptimos son los fibroblastos pero es útil si lo importante es la cantidad de protooncogene ras introducidos en las células permite que las mismas células expresen protooncogene ras sin embargo para asegurarse que el plasmido entra en la célula se suele utilizar las secuencias propias del plasmido que confieren resistencia a los antibióticos y se agregan antibióticos a las células lo que puede alterar las secuencias codificantes, pero es útil cuando en el plasmido se inserta un promotor fuerte para expresar p21 en gran cantidad o un promotor regulable con algún factor extrínseco, para observar los efectos de su activación e inactivación. La infección con virus de carcinoma murino de Harvey, de Kirsten, y SV40 permite transformar mayor diversidad de células, pero los resultados indican el efecto de oncogenes virales, no celulares, que son muy parecidos y la infeción en si puede alterar las células y los resultados Los oncogenes ras propios de las células se pueden activar también con ciertos agentes carcinogénos químicos o físicos, como radiaciones. Con estos métodos se ha obtenido información muy importante.

Los oncogenes ras se expresan de manera dominante con respecto a sus respectivos protooncogenes pues al ser transfectados en una célula, las alelos normales del protooncogene ras de la célula, no se expresan de tal manera que impiden la expresión del fenotipo transformante del oncogene ras introducido. Con los oncogenes ras no pueden transformarse células primarias, recién obtenidas de un organismo; solo líneas de células no transformadas pero establecidas como la línea NIH 3T3. Las células humanas no parecen ser muy susceptibles a la transformación con oncogenes ras, por ello no se ha trabajado mucho con ellas (Yoshida y cols., 1986).

La expresión continua de genes ras es necesaria para iniciar y mantener el fenotipo transformante como se ha observado en células transformadas con oncogenes ras en las que se ha inducido una reversión al fenotipo normal, ya sea con mitomicina C (Hilleman, cols. 1986) o con anticuerpos anti-p21 (Kung y cols., 1986, ver pag 107) sin embargo, aún no se ha determinado totalmente si la activación de ras es lo que desencadena la transformación, o si es una consecuencia, y en todo caso, en su participación ocurre en las primeras etapas de la carcinogénesis o en las últimas. El hecho de que ras transforme células NIH 3T3, que ya están immortalizadas, pero difícilmente transforme células primarias puede indicar que se requieren ciertos eventos previos que immortalizan las células para que ras complete el proceso transformante. Esta hipótesis también ha surgido en los trabajos donde ras complementa la acción de carcinogénos químicos que immortalizan las células sin transformarlas (Storer y cols., 1986) pero existen otras evidencias de que la ag-

tivación de ras puede ser un evento que de inicio a la carcinogénesis, como se ha visto induciendo tumores en animales.

Las células transformadas se distinguen por varios criterios. Son inmortales, presentan un crecimiento característico pues a diferencia de las células normales que generalmente crecen en monocapa en las cajas petri las células transformadas crecen formando paquetes o focos de células, pues pierden la capacidad de inhibición por contacto, proliferan independientemente en ciertas condiciones restrictivas para las células normales, como algunos tipos de agar no responden a las señales que normalmente regulan la proliferación celular presentan alteraciones fenotípicas aumentan su requerimiento de glucosa, y su metabolismo en general. Las células transformadas con oncogenes ras presentan además de los anteriores cambios tales como el crecimiento independiente de señales regulatorias hormonales (Kasid y cols., 1985), alteraciones en los canales de Ca<sup>2+</sup> (Chen y cols., 1988), y también un aumento en la resistencia a los efectos de la radiación ionizante (Sklar, 1988) así como una expresión selectiva de ciertos genes que estaban inactivos en la célula antes de la transformación (Owen y Ostrowski 1987).

Los oncogenes ras participan tanto en la proliferación celular (Feramisco y cols., 1984; Feig y cols., 1988, ver pag 103 como en la diferenciación, esto último se ha observado en la línea PC12 de frotíromasita de rata, cuya diferenciación se induce con el factor de crecimiento neuronal (NGF); en las células PC12, p21 oncogénica induce la misma reacción de diferenciación (Bar-Sagi y Feramisco, 1985). En las células PC12 diferenciadas, al agregar anticuerpos anti-p21 se revierte el proceso de diferenciación aun cuando este no se haya inducido con p21 (Hagag y cols., 1986), y las células nuevamente adquieren su fenotipo indiferenciado. Ras también participa en la diferenciación de los mioblastos esqueléticos (Olson y cols., 1987). En ovocitos de Xenopus laevis los oncogenes ras pueden inducir la meiosis (Birchmeier y cols., 1985); en estos ovocitos la insulina normalmente regula la maduración pero p21 interfiere con dicha regulación (Korn y cols., 1987). En queratinocitos de rata p21 oncogénica altera el patrón de diferenciación y tiene la capacidad de suministrar los requerimientos de los factores de crecimiento de las células (Weiszman y Aaronson, 1985). Existen evidencias de que p21 oncogénica puede suplementar las deficiencias en la expresión de genes HLA clase II en células mutantes que no expresan dichos genes (Hume y cols., 1987). En células de tumor mamario, los oncogenes ras interactúan con las interacciones celulares con la superficie del epitelio mamario (Allison et al., 1986).

Las interacciones de p21 con las interacciones celulares con la superficie del epitelio mamario ocurren en el ciclo celular. Se han hecho anticuerpos anti-p21 que detectan la proteína en la fase G1 del ciclo celular (Feig y cols., 1988) pero cuando las células han pasado a la fase S los anticuerpos ras ya no interfieren (Burkin y Whitfield, 1986), aunque al parecer la expresión de ras no varía durante el ciclo celular (Andreeff y cols., 1986). No se han logrado identificar las interacciones que establece p21 con otras moléculas intracelulares, aunque parece ser que participa en la regulación del factor transformante de crecimiento tipo (Racker y cols., 1985).

Se desconoce realmente una modulación de las proteínas onco-génicas ras transformadoras, la cual puede dar diferencias en el efecto transformador sobre las células dependiendo que sea la forma de expresión, si es en la membrana plasmática o en la citosólica, o la localización dentro de la célula, y el establecimiento del fenotípico maligno.

### COOPERATIVIDAD ENTRE ONCOGENES

Se ha observado que la actividad conjunta de más de un onco-génico incrementa la oncogenesidad tanto de los como de los oncogénes cooperativos, posiblemente debido a que los otros oncogénes actúan en diferentes fases del proceso tumorigenico, complementando la acción de ras. Se ha reportado que existe cooperatividad entre los oncogénes ras y el SV40 virus y virus 17B63 del rata entre ras y Rous (Vancini y cols., 1980), pero, la razón de la actividad viral de virus 17B63 y virus SV40 es la antigenicidad del virus SV40 (Yamagawa y cols., 1987) y del virus de papiloma (Nacylyk y cols., 1987) también con las secuencias complementarias de cada virus en popómera triantidimélica y doble, respectivamente. Los oncogénes ras parecen inducir la expresión de p53 (Stacey y cols., 1987) y existe una interacción entre p21 onco-génica y las proteínas de transmisión relacionadas con factores de crecimiento celular o con sus receptores, como son el receptor del factor de crecimiento epidérmico (Weintraub y Aronson, 1985; ver pag 153) codificado por el oncogén erb-B, y el factor de crecimiento transformante tipo 1 (Lieske y cols., 1987). El anticuerpo Y13-157, además de ejercer un efecto inactivante sobre p53, también interfiere con la capacidad transformante de otros oncogénes como sis, fms, fes, y dicho efecto es aún mayor sobre la capacidad transformante del virus de papiloma (Smith y cols., 1986). Respecto al sitio de inserción de ras, en el genoma en células embrionarias de rata transformadas con oncogén ras, la secuencia del oncogén cellular se inserta de manera preferencial en un mismo sitio, en el cromosoma 3 de rata, indicando que posiblemente su inserción en ese preciso sitio, es un evento decisivo para su oncogenesidad (Thierron y cols., 1983).

### FUNCIÓN DE ONCOGENES ras EN LA METASTASIS

Entre las fases del proceso transformante una de las últimas es la metastasis que puede o no desarrollarse en una célula maligna sin embargo se ignora si las células tumorales requieren de algún cambio que las haga metastásicas o si ya tienen la capacidad, que en algunas células se expresa y en otras no. No se ha definido si existe una intervención directa de los oncogénes ras en la capacidad metastásica de las células malignas pero existen evidencias de que ras interviene en la agresividad metastásica de las células malignas (Magidson y cols., 1987). Entre las propiedades de las células metastásicas está su capacidad para invadir nuevos sitios, escapando de las barreras immunológicas, y también los cambios estructurales de sus carbohidratos membranales; es muy probable que estas dos propiedades estén relacionadas (Albini y cols.,

1986, ver pag 155), pues uno de los primeros eventos que ocurren en una célula en proceso de transformación es el cambio secuencial de los carbónicos de su membrana (Collier y cols., 1988). Es probable que las interacciones en dicha membrana, pues bien es una proteína membranaria que al estar activada, pueda ocasionar cambios en su entorno membranal, incluyendo los carbónicos, ésta puede ser la posible participación de ras en la metastasis.

#### ANTIONCÓGENOS

En la célula existen mecanismos para tratar de evitar un proceso transformante que este ocurriendo pero es aun es muy poco lo que se conoce al respecto. En las células malignas de linfomas y leucemias, el tratamiento con glucocorticoides ocasiona la muerte celular, al parecer involucrando que se inhibe la expresión de oncogenes activos en estas células (Eastman-Reks y Podeckis, 1988).

En la célula existen genes llamados antioncogénos, que son alelos normales de ciertos genes recessivos que normalmente en presencia del alelo normal no se expresan pero faltando el alelo normal originan una carcinogénesis (Knudson, 1985). Sin embargo también se consideran antioncogénos aquellos genes cuya expresión impide la expresión del genotipo transformante de un gene sean o no sus alelos normales. Algunas evidencias indican que existen antioncogénos, en células transformadas con oncogenes ras, en las que se ha logrado revertir la transformación, recuperándose el fenotipo normal, de varias maneras: Con metionina, con los anticuerpos anti-ras (Fernando y cols., 1988), con interferon (Samid y cols., 1987), e inclusive con sielos normales de ras de especies diferentes (Schaefer y cols., 1988). Los efectos de células normales que circundan las células transformadas con oncogenes ras que inhiben la expresión de la oncogenicidad (Botto y cols., 1988) igualmente la fusión de células normales y transformadas, donde las células fusionadas resultantes expresan un fenotipo normal, e incluso carecen de un alelo, sugiriendo que ese alelo participa en la transformación y/o reversión (Ushimura y cols., 1988), son evidencias de que en las células normales existen elementos supresores de la oncogenicidad de ras. De nuevo en levaduras S. cerevisiae se han encontrado valiosos resultados con la identificación de uno de estos genes supresores llamado RAS por RAS y Factor-x de maduración que al parecer codifica la enzima responsable de la unión del lípido a la proteína RAS (Powers y cols., 1988). El estudio de los genes ras en las células, eventualmente permitirá desentrañar los complicados mecanismos que convierte una célula normal en una célula maligna, y por lo tanto, al estudiar de la expresión o reversión del proceso tumorigénico.

YSAKUMI, G. H., LECHNER, J. S., BRONFELSON, S. M., KURBAN, B. E., MALAM-THIBLET, L., WILLETT, J. C., VALERIO, M. S., CHAMOUZON, P. M., TRUMP, A. F., y LINDAIS, L. L. 1970. Transformation of human bronchial epithelial cells stimulated by Harvey rat oncogene. Science 177:1172-1173

El estudio de los oncogenes ha sido llevado principalmente por transfección en células NIH-3T3 de rats, pues los intentos por transformar células humanas con la misma técnica no han resultado igualmente exitosas; sin embargo, es importante estudiar los procesos tumorigénicos en células humanas dada la importancia clínica del cáncer. Para ello se cultivaron las muestras de un hombre muerto accidentalmente, de células de epitelio bronquial pues en este tipo de células ocurren la mayoría de los tumores pulmonares. Estas células se llaman NHBE en los transfecos ADN del oncogéne viral v-Ha-ras se cultivaron con suero sanguíneo o TPA que inducen la diferenciación, y se seleccionaron las que no se diferencian, por haber incorporado al oncogéne. Las células normales se diferenciaron en 7 días, y las transformadas, en iguales condiciones, permanecieron sin diferenciarse, y a los 3 meses murieron excepto algunas que se llamaron células HBE-1; estas últimas células se inyectaron en 16 ratones en 2 de los cuales se presentaron pequeños nódulos que sevivieron en 14 días, pero 7-9 meses después, los 14 ratones desarrollaron tumores. Las células de estos tumores se inyectaron en otros 14 ratones, y 13 desarrollaron tumores con rapidez sin reversión de ninguno. Las células de estos segundos tumores presentaron características de células poco diferenciadas. Despues de varios pasajes celulares, las células fueron malignizándose, si bien pocas lo hicieron, y aunque al principio algunas células no indujeron tumores, los tumores que desarrollaron despues indican que el oncogéne estaba actuando aunque lentamente. Las células humanas resultaron ser un tanto difíciles de transformar, y se concluye que se requieren varios pasos para que se desarrolle la oncogenicidad.

HILLIGAN, D., HILL, M., BELEHRADSKY, J.Z., YEH, R. y SAKS-DONI, R. y VERNON, Z. 1980. Loss of one oncogene from human fibroblast transformed cells Hitt-3T3 cells which in the presence of methionine. *J Natl Can Inst* 73:721-730.

Las celulas NIH-3T3 transformadas con SV40 de la linea 124 mg-maria tienen el oncogene c-H-ras en integrado en su genoma, y muestran un fenotipo transformante. Al cultivar estas celulas en un medio con exceso de metionina las celulas recuperaron el fenotipo original, el mismo que tenian antes de la transformacion, pero conservando la misma viabilidad que antes de la reversion. despues de varios dias, cada vez se encontraban menos celulas que retuvieron el oncogene c-H-ras humano, hasta que no se encontró ninguna aun cuando la metionina se retiro del medio de cultivo despues de 105 dias, en ninguna celula se detecto si cambios despues de 105 dias, y las celulas no regresaron al fenotipo transformante si retirales la metionina. Se inyecto ADN de celulas transfectadas, con y sin tratamiento con metionina, en ratones; las celulas sin tratamiento de metionina originaron tumores en todos los casos, y las celulas tratadas con metionina indujeron tumores en un 50% de los casos. Se desconoce el mechanismo por el cual la metionina pugna interferir con el proceso transformante, pero posiblemente ocurrira mediante la interaccion con la proteina oncogenica p21 de ras.

STORER, R. D., STEIN, R. A., SINA, J. F., BELMUS, J. G., ALLEN, H. L. y BRAULCY, O. 1980. Malignant transformation of a preneoplastic hamster epidermal cell line by the E6 oncogene-derivative. *Cancer Res* 40:1458-1464.

Durante el proceso transformante existen cuando menos 2 eventos criticos, la immortalizacion o establecimiento de celulas primarias en cultivo, y la conversion de las celulas establecidas al fenotipo transformante. Para investigar la participacion de los oncogenes ras en el proceso, las celulas epiteliales primarias de hamster, que generalmente se diferencian a las 4 semanas en cultivo se trataron una con N-metyl-N'-nitro-N-nitrosouaridina y las otras con benzo(a)pireno (BAP) estableciendose linchos de celulas immortalizadas pero no transformadas con una activa proliferacion y perdida de la capacidad de diferenciarse que no transformaron celulas NIH-3T3, indicando la falta de activacion de oncogenes ras. En estas celulas se transfecio un plasmido con el oncogene humano c-H-ras, con mutacion del codon 12, y las transfectadas si transformaron las celulas NIH-3T3, demostrando que indujeron carcinomas en ratones por lo que se concluye que la activacion de ras puede actuar como un evento complementario a un proceso transformante que previamente se ha iniciado.

MATSUMOTO, H., KOBAYASHI, M., YU, S., KOBAYASHI, H., SHIBA T., H., SHIBA M., H., 1987. "Transformation of rat mammary gland cells by hypoxanthine-dependent estrogen receptor ligand". *Science* 237:715-720.

Una característica de las células transformadas es la proliferación irrestricta, que no responde a las señales que normalmente regulan la proliferación de células normales. Las células de la línea RCF-7 de cáncer mamario humano proliferan en un medio libre de estrógenos pero proliferan más rápidamente en presencia de estrógenos. Cuando se implantan las células RCF-7 en ratones, resultan tumorigénicas solo en presencia de estrógenos, pues en ratones a los que se suprime las glándulas mamarias, no hay desarrollo tumoral. Se estudió la relación de este fenotipo con la activación del oncogén *c-fos*, transfiriendo el oncogén viral *SV40* en células RCF-7 y se caracterizaron las transformantes, las cuales expresaron *MKI67* de *SV40* y *p21* viral. A diferencia de las células de la línea parental, las transformadas mostraron un incremento mínimo en su ritmo de proliferación en presencia de estrógenos y al inyectarlas en ratones, las transformantes indujeron tumor en ratones normales, en los carentes de glándulas mamarias, y en los carentes de glándulas, pero con hormonas estrogénicas, que les fueron inyectadas. Se demostró así que las células con oncogenes ras activos, no responden a las señales hormonales encargadas de regular la proliferación celular en condiciones normales.

CHEN, C., CORBLEY, M. S., RUBERTIS, T. H., INGEG, F. 1988. Voltage sensitive calcium channels in normal and transformed 3T3 fibroblasts. Science 247:1024-1026.

Durante la proliferación celular los iones  $\text{Ca}^{+2}$  tienen un importante papel regulatorio, y en los fibroblastos es donde más se suele estudiar la proliferación; sin embargo, no se sabe mucho sobre los mecanismos que regulan los iones  $\text{Ca}^{+2}$  intracelulares. Por medio de técnicas de medición de voltaje, se detectaron dos tipos de canales de  $\text{Ca}^{+2}$  en fibroblastos 3T3, unos que mantienen un flujo continuo de iones al interior de las células, y otros que generan un flujo momentáneo, de escasos milisegundos. Ambos tipos de canales se han descrito en neuronas, células de músculo cardíaco, de músculo liso y células de la pituitaria. También se registraron canales de potasio, cloro y canales no selectivos. Se ignora cuál sea la función de ambos tipos de canales de  $\text{Ca}^{+2}$ , pero probablemente interactúen con procesos sensibles a  $\text{Ca}^{+2}$ , tales como el control de la secreción, cambios celulares de forma, movilidad, y fagocitosis. Se estudiaron los canales de  $\text{Ca}^{+2}$  en los fibroblastos transformados con el oncogene c-Ha-ras, v-fms y el antígeno-T de polioma, y se observó que los canales continuos de  $\text{Ca}^{+2}$  son iguales que en las células sin transformar; pero en células transformadas, no se detectaron los canales transitorios. Posiblemente la transformación morfológica interfiera con la función de estos canales, o bien tal vez los oncogenes ras inhiban su inducción. Tan sólo el antígeno-T como la proteína del oncogene fms, tienen actividad de tirosina-cinasa y p21-ras tiene otras funciones bioquímicas, por lo que se concluye que debe existir alguna vía común para que estos diferentes oncogenes, supriman los canales transitorios de  $\text{Ca}^{+2}$ , lo que tal vez sea un evento determinante para que se lleven a cabo los cambios que ocurren durante la transformación.

SKLAR, M. D. 1988. The ras oncogenes and their role in the resistance of NIH-3T3 cells to ionizing radiation. "Science" 239:648-649.

Las radiaciones ionizantes dañan al genoma celular; por ello se investigó de qué manera las células disponen estos daños, estudiando genes que participan en los procesos celulares, que intervienen en el ADN, como los oncogenes. La resistencia de las células NIH-3T3 a las radiaciones ionizantes, es similar a la de células humanas en general, respecto al porcentaje de células muertas al exponerlas a la radiación por ese se transformaron las NIH-3T3 con el virus de Rous y algunas mostraron reverencia al fisiotipo normal, pero expresando p21-virai. Se transfecieron las NIH-3T3 con el oncogene c-H-ras con mutación del codón 12, del codón 61, y con Nras con mutación del codón 12 estas células se expusieron a la radiación del  $^{32}P$ , y todas presentaron la misma resistencia a la radiación, significativamente mayor que las células sin tratar. Se transfecieron células con un plásmido con el proto-oncogene c-H-ras, unido a un promotor viral fuerte, que expresaron gran cantidad de p21 proto-oncogenes, y otras células con el oncogene v-ras, y ambas tuvieron menor resistencia incluso, que las NIH-3T3 sin tratar. Las revertentes tuvieron igual resistencia a la radiación que las primeras, indicando que las revertentes resistían aún sin inducir alteración fenotípica, lo que demuestra que la resistencia se debe a los genes ras, no a la transformación como tal. La radiación actúa de diferente manera a las células, según la fase del ciclo celular, por lo que se realizaron células en distintas fases del ciclo celular, sin encontrar diferencias significativas en la resistencia en células en distintas fases del ciclo celular. Se concluye que los genes que ejercen sus funciones en la membrana, sitúan sus mecanismos de reparación del ADN, aunque actuar sobre él, indirectamente, tal vez regulando la activación de genes de reparación, o por medio de un cambio conformacional del ADN o de los cromosomas.

OMANI, M., D'ARCO, L., M. C. (1987). "Regulation of cellular information in the expression of cellular genes accompanying conditional transcription of Harvey rat H-ras oncogene". *Nature Cell Biol.* 1987-7020

Los oncogenes transducen señales que permiten estimulando o reprimiendo genes reguladores. Para determinar si los oncogenes utilizan este mecanismo se introdujo un círculo NIH-3T3 en el que consta con el oncogénero viral v-H-ras. Unido a la región promoter del virus de Herpes simple de tipo 1, regulaba con estímulos. Los círculos se trataron con su pronóstico de esteroides, y al retirarse regresaron al funcionamiento normal. Los círculos transfectados expresaron gran cantidad de ARN de virus durante la inhibición por contacto, y adquirieron la capacidad de proliferar en condiciones semiadictadas. La mayor expresión del ARN estimulada con flormones se registró a las 2-4 horas, se mantuvo por 2-3 horas y descendió a las 10-14 horas con transcripción permanente, indicando que el gen macroscópico celular (*c-myc*) es responsable del estímulo. Se registraron los cambios interocelulares durante este período y se encontraron 2% el oncogénero v-H-ras, que aumentó al final de la multiplicación epidérmica, y la secuencia H-ras, cuando a los nueve días virales. Los niveles de ARN de ambos genes aumentaron, aunque la regulación de v-H-ras fue de tipo post-transcripcional y en H-ras, fue transcripcional. No se registró ningún cambio en *c-myc* ni en *c-fos*. Se concluye que ras interactúa con la función de los factores de crecimiento, regulando los cambios bioquímicos que originan la transformación.

FERRAMICCI, J. R., GROSS, H., KABATA, I., ROSENBERG, M., SWEET, R. W. (1984). "Microinjection of the oncogenic form of the human H-Ras (p21) protein results in a rapid proliferation of quiescent cells". *Cell* 38:109-117.

En *E. coli* se produjeron proteínas p21, tanto p21 onco génica como pro-oncogenética que conservan sus propiedades biológicas originales. En células NIH-3T3, ARN de v-Ras de rata, RER-3 fibroblastos de ratón, y H-3 (fibroblastos humanos), mantenidas en la fase G0 del ciclo celular por falta de nutrientes, se microinyectaron tanto la proteína onco como la onco génica. Algunas horas después de la microinyección la proteína onco génica produjo mitógenos cambios mitóticos, así como un aumento en la síntesis de ARN y en la proliferación celular en todos los celulares, excepto en las humanas que no registraron ninguna reacción. En el contrario, al microinyectar células con cantidades similares de p21 onco génica se observaron muy bajas tasas en la mitofagia celular. Desaceleró la tasa de mito, lo cual indica que p21 onco génica es restauradora a su actividad original, posiblemente para haber finalizado la acción de p21. Se concluye que p21 de los oncogenes ras, tienen funciones adicionadas con la proliferación celular.

ZAR-SADI, B., VISCERIENI, J. M. 1974. Microinjection of the oncogene protein into PC12 cells induces morphological differentiation. Cell 42:241-246.

Se ha reportado que las proteínas ras participan en la proliferación, pero para averiguar en qué otros procesos celulares participan, se examinaron las células PC12 de fisiocromatoma de rata, de forma rudimentaria y que proliferan indefinidamente en cultivo. Al agregarles el factor de crecimiento nervioso (NGF), después de 24 horas adquieren una forma pliosa, forman proyecciones prolongaciones y después de varios días dejan de proliferar y se diferencian, formando largas prolongaciones. Se microinyectaron células PC12 con p21 oncoáptica y les sucedió lo mismo que con NGF, aunque el proceso fue más rápido, en sólo 15 horas, pero a las 90 horas empezó un proceso de reversión que se completó a las 120 horas. Con p21 proto-oncoáptica no ocurrió nada de lo anterior. Se descubrió el mecanismo por el cual NGF induce la diferenciación, pero si es un factor de crecimiento, debe actuar a nivel de receptores, debe requerir la síntesis de proteínas, y la continua presencia del NGF. Se obtienen los mismos resultados con anticuerpos anti-AMPC que inducen la diferenciación en pocas horas, la cual revierte rápidamente al retirarse el antígeno de AMPC, y por ello, se descarta la posibilidad de que p21 actúe mediante cambios de AMPC en las células; más bien parece que ambos, los antígenos de AMPC y p21 actúan de diferente manera. Se concluye que la respuesta de las células a los oncogenes ras, depende en gran medida del tipo de célula.

HAGAB, N., HALEGOUA, S., VIOLA, M. 1986. Inhibition of growth factor-induced differentiation of PC12 cells by microinjection of antibody to ras p21. Nature 317:680-682.

Se investigó la función de p21 en la diferenciación celular, microinyectando anticuerpos anti-p21 en células PC12 inmediatamente después del tratamiento con NGF, y se observó un efecto inhibitorio de la diferenciación. Se lea inyectó el anticuerpo Y13-259 que inhibió la diferenciación durante las primeras 48 horas, después de este tiempo se inició la diferenciación de las células, y a los 3 días estaban totalmente diferenciadas. Se inyectó el anticuerpo al empezar la diferenciación inducida con NGF, este proceso se interrumpió e incluso se revertió a las 2-12 horas, y se re inició a las 24 horas. Aunque se ignora de que manera el NGF induce la diferenciación, se sabe que una vez diferenciadas, las células PC12 adquieren el fenotipo de neuronas; este fenotipo incluye el almacenamiento de neurotransmisores y el desarrollo del potencial de acción dependiente de Na<sup>+</sup> por lo tanto es posible que los oncogenes ras participen en estos procesos.

OLSON, E. N., SPIZZ, G., TAIMSKY, M. A. 1987. The oncogenic forms of N-ras or H-ras prevent skeletal myoblast differentiation Mol Cell Biol 7:2104-2111.

Las células del músculo esquelético, al diferenciarse, dejan de proliferar y se fusionan formando miotubos multinucleados, activándose los genes que codifican proteínas específicas musculares, como la isoenzima muscular de la creatina cinasa (MCK) y el receptor de acetilcolina nicotínico (ACh). Antes de diferenciarse, su forma es plana, estrellada y crecen con suero fetal de ternera, y al transferirlas a un medio con suero de caballo en bajas cantidades se induce su diferenciación, la cual es inhibida por el factor de crecimiento de fibroblastos (FGF) y por el factor de crecimiento transformante tipo beta (TGF $\beta$ ) pero se ignora en qué manera lo inducen. Para investigarlo se observaron los efectos de los oncogenes ras, cuya función se considera de tipo transductora de señales extracelulares. Se transfecaron las células con los proto-oncogenes y con oncogenes N-ras y c-H-ras con mutación del codón 12, se transfirieron al suero de caballo, y las transfecadas con los oncogenes c-H-ras y N-ras no se fusionaron ni expresaron los genes MCK ni el ACh, sólo en una transfecada con H-ras se indujo una incipiente diferenciación, y con N-ras, ninguna, indicando tal vez que N-ras es un inhibidor más potente. Con el suero fetal se obtuvo la misma respuesta, que por lo visto se produjo independientemente de los factores de crecimiento. El hecho de que no se detectaran los genes de células diferenciadas, indica que ras interfiere con los primeros eventos de la diferenciación. No se registró la misma respuesta con el proto-oncogene c-H-ras. Se concluye que la acción de los oncogenes ras ocurre en un nivel que afecta la regulación celular inducida por los factores de crecimiento.

BIRCHMEIER, C., BADEN, D. y WELLINE, M. (1991). RAS Proteína carboxilo-terminal metilada en Xanthopus laevigatus. *Cell* 43(10):1591.

En levaduras p21 participa en la adenil ciclase y se investigo si tambien cumplen esta función en ovocitos de *Xanthopus laevigatus*, que son grandes y fáciles de microinyectar, ademas de que sus embriones se detectan facilmente y poseen adenil ciclase que consta de las proteinas G<sub>a</sub> y G<sub>i</sub>, inhibidas con la toxina del colera y la toxina de pertusis, respectivamente. La meiosis, o sea la maduración la regula el AMPc, cuya disminución es de los primeros eventos en la meiosis. Los ovocitos, al ser extirpados quirúrgicamente del organismo de *X. laevigatus* quedan detenidos en la previa de la meiosis, la cual se completa *in vitro* con progesterona, insulinina, y EGF-1, y se inhibe con la toxina del colera, fosfodiesterasa, y la subunidad catalítica de la adenil ciclase. En los ovocitos se microinyectaron proteinas p21 normal y oncoigenicas, producidas en bacterias, y ambas indujeron la meiosis en un tiempo mayor que la progesterona. Con 10 ng de anticuerpo p21, se indujo la maduración del 94% de los ovocitos, y con 400 ng de p21 normal, maduro el 85% de los ovocitos. Con cantidades mayores a los 20 ng de encogerse los ovocitos degeneraron lo cual no ocurrió con p21 normal aun en las cantidades altas; la maduración inducida con p21, no provocó ningún descenso en el nivel del AMPc. La toxina del colera inhibió solo en parte la inducción con p21. En células de mamíferos p21 constituye un 0.005 de la proteína total y en los ovocitos de *X. laevigatus* se inyectó el equivalente al 0.00033 de la proteína total celular de *X. laevigatus*, que por lo tanto resultó ser un sensible indicador de la función de p21. Al inyectar en los ovocitos p21 con progesterona conjuntamente se acelero el tiempo de inducción de la maduración; este mismo efecto ha sido reportado con el oncoigen v-sar sin embargo v-sar no induce la maduración por si solo. Al observar el AMPc durante la inducción de la maduración con p21, ha de haber otra vía para inducir la maduración que no requiere el AMPc por lo tanto es poco probable que la variación del AMPc sea la causal de inicio de la maduración. Se concluye que en *X. laevigatus* p21 participa en la maduración y no en la adenil ciclase.

HORN, C. J., GREGG, D. B., HUGGETT, M. y ROTH, S. A. 1987. Insulin is a potential modulator of insulin secretion in bovine erythrocytes. *Endocrinology* 115:1849-1854.

En las propiedades de inhibición la vía de insulina se incluye la vía con proteína cinasa e insulina, aunque existe un orden o diferentes receptores y ejercen su acción por vías distintas, la insulina lo hace activando una actividad de tirosina cinasa de la actividad del receptor de insulina y la progesterona inhibe la adenil ciclase, y baja los niveles de AMPc. Puesto que el insulinógeno induce la maduración, sin desender el nivel de AMPc, se investigó su posible participación en la vía de la insulina, usando el anticuerpo 6F7, dirigido contra las aminoacides 87-90 de p21, una región muy conservada en todos los p21 pero no en otras proteínas-G y que no interviene en la unión a GTP; el anticuerpo 6F7 detecta p21 de los genes H-, K- y N-ras. Se inyecta p21 viral en los ovocitos, y estos maduraron pero con p21 inyectada junto con 6F7 se detectó una notable disminución en la maduración; 6F7 inhibió la maduración inducida con p21 en un 80% y aunque no inhibió la maduración inducida con progesterona, si inhibió la inducida con insulina, disminuyendo la concentración de 6F7. In vitro, la tirosinocinasa del receptor de insulina purificado fosforila p21, y posiblemente in vivo, p21 interactúa directa e indiferentemente con el receptor de insulina, utilizando dicha vía para inducir la maduración.

WEISSMAN, B. y ARONSON, S. A. 1985. Members of src and ras oncogene families supplant the epidermal growth factor requirement of BALB/MK-2 keratinocytes and induce distinct alterations in their terminal differentiation program. *Mol Cell Biol* 5:3584-3596.

La líneas BALB/MK-2 de keratinocitos epidermiales de ratón, requieren del factor de crecimiento epidérmico (EGF) para proliferar y diferenciarse, en presencia de concentraciones mayores a 1.0 nM de Ca<sup>2+</sup>, presentando ciertos cambios fenotípicos, y la activación de genes específicos de células diferenciadas. Se estudiaron los efectos de los retrovirus virales de la familia src: v-abl, v-fes, y v-mos que codifican proteína-kinases, también de v-mos, que no parte algunas secuencias con los primeros pero no codifica proteína-kinasas y v-kি-ras y v-H-ras con distintas propiedades biológicas. Las células se infectaron con los respectivos virus endogénicos y proliferaron en ausencia de EGF en especial las células infectadas con v-abl. En presencia del calcio las células infectadas con K-ras y v-mos siguieron creciendo con muy relativa diferenciación, con v-src y v-fes se diferenciaron muy poco con concentraciones altas de calcio y con v-abl no hubo diferenciación. En las células infectadas con K-ras y v-mos se detectó la activación de un gen de células diferenciadas, pero no de otros genes. Se concluye que estos genes estimulan la proliferación e interfieren con la diferenciación mediante diferentes vías en la célula.

RAMOS, L. R., GALLARDO, M. C., RODRIGUEZ, J. M. y SÁNCHEZ, M. D. Identificación clínica y expresión de la regulación génica en pacientes con leucemias y linfomas de células blancas. Revista Médica de Chile, Vol. 108, N° 742-743, 1980.

En los malignos tumores se observó un mayor de translocación y actividad (MLA clase 1), que ejerció una acción inhibidora, interrumpiendo la regulación de las interacciones celulares del sistema inmunitario, al incrementar en las linfocitosis B, neutrófilos, eosinófilos y linfocitos precursoras linfocitoquimiotípicas, con heterodimeras formadas por caderina, esfó y beta, en 36 y 18% y entre 10 y 15% diferentes clínicas de heterocimeros, las IF, DG y DP. La transcripción de los genes de las anticuerpos MLA clase II, al perder este acoplamiento, muestra que es importante investigar la respuesta de las células transformadas a las estimulaciones biológicas basadas, ya estímulos reguladores genómicos o celulares de la fibra cerebral. Raji, de linfoma de Burkitt, y se observaron cambios que retienen la capacidad de expresión de los anticuerpos IF y clasa II, la IF más variante es la clase IFIC 7.4, y se pierde el resto de segmentos, sin embargo, en los grados más avanzados de la clase DP, DP, y DG, fusionandose con células de la base de estos a las células de la línea M12.4.1 en linfomas de刘某, y bien organizadas son si bien de células indicando la existencia de algún factor en el genoma de刘某, que impide que se reabran las expresiones de los genes MLA clase II. Se presentan las células variantes IFIC 7.4 con las varías recombinaciones, con los correspondientes segmentos, y se observan transformaciones de células transformadoras, se observaron otras combinaciones de genes de los oncogenes y mutación de los genes de IFIC 7.4, así como un aumento para producir IFIC 7.4 que se fusiona con y otra mutación del DR de IFIC 7.4 que se forma, que actúa en proteína-cinasa-C. También se amplifica la expresión de MLA clase I. Es posible que el mecanismo para regular la expresión de estos genes, sea mediante alguna vía alternativa, en la cual se evita el paso en el que se encuentra la alteración, o bien mediante alguna otra vía metabólica que tal vez involucre a la proteína-cinasa-C. Esto indica un tipo respuesta de células malignas a elementos inmunológicos humanos.

ALBINI, A., VASQUEZ, D., RODRIGUEZ, M., LARREA, M., HARTMANN, G., FERNANDEZ, A., YARZA, J. E., VILLEJOS, M. E. 1974. Tumor metastasis: migration and invasion in transfectants derived from malignant and non-malignant mammary tumor cells. *Cancer Research* 34: 1831-1839.

La actividad para el paso por grietas o partidas de membrana basal es la que tienen las células cancerosas que las hacen escapar del tumor, sobreponerse entre los tumorcitos, y se invadir órganos sanos. Estas células suelen tener la membrana basal y la invadir sin unión a la basílica, lo que evita la perduración de la celulitis que degenera la membrana basal. Existe un efecto factorio que facilita la migración de células cancerosas. La migración celular tiene componentes que permiten distinguir las celulas, para las células metastásicas existen receptores con la laminina, otras células migran sin receptores, en este la laminina inhibe la actividad metastásica de las células malignas, la que tiene que la membrana basal forme barreras para las células cancerosas pero también impide en el caso, el crecimiento de las mismas. Las células de la línea RCEY de cordón de mamaria invaden la membrana basal sintética in vitro, tienen receptores de estrógenos, y están tan bien en ratones en presencia de estrógenos, y al ser tratadas con v-H-ras, pierden ligares en ausencia de estrógenos. Se establecen las interacciones entre v-H-ras, RCEY, y la membrana basal y con la laminina, in vitro. Las células RCEY tratadas con estrógenos, forman uniones más fuertes con la laminina y con la membrana basal, tienen una mayor capacidad para migrar a través de la laminina, mayor proliferación, su presencia en la matriz da la membrana basal y mayor habilidad para invadir la barrera de la membrana basal, que las RCEY-7 sin estrógenos. Se transfecaron en ratones con el oncogén v-H-ras en un plasmido, las cuales en ausencia de estrógenos, presentaban su mismo comportamiento descrito, aunque su capacidad invasiva en la membrana basal, y su capacidad de unirse a laminina fueron más intensos. En ambos casos, se detectó un número mayor de receptores de laminina, que es donde se unen las células malignas. Se concluye que la membrana es realizada en varias fases, y que la membrana basal es determinante en algunas de las fases, tal vez donde intervienen los oncogenes ras.

THOMAS, M. G., WILLIAMS, R. E., ROBBINS, M., REED, M. J., STACEY, D. W., TIGGS, H. C. y LEMM, B. R. 1986. A transforming ras gene can provide an essential function ordinarily supplied by an endogenous ras gene. *Nat. Curt. Biol.* 3:1843-1846.

El anticuerpo Y13-259 reconoce tan pronto como las manos de virus e incluso de levaduras. Al microinyectar los anticuerpos en células NIH3T3 y en otras fibroblásticas, las células en proliferación no podían entrar en la fase S del ciclo celular, indicando que la proteína p21 celular debe cumplir normalmente una función esencial en el ciclo proliferativo celular, aunque los anticuerpos tal vez intervieran con otro proceso de la fase S. Para definir si la activación de ras implica la disminución o incremento de su función normal se microinyectaron proteínas p21 virales onco génicas en células detenidas en la fase S, mediante la acción del anticuerpo Y13-259, y las células entraron en fase S. Se concluye que las proteínas p21 onco génicas, pueden reemplazar la función que normalmente cumple p21 normal en las células, que ha de ser muy importante en la proliferación y cuya alteración en las células, posiblemente sea determinante durante el proceso de transformación.

DURKIN, J. P., WHITFIELD, J. P. 1988. Characteristics of S phase transit induced by the oncogenic-cytogenetic viral p160 gene product. *Nat Cell Biol* 6:123-127.

Las proteínas onco-gegénicas rara vez tienen la capacidad de activar la maquinaria proliferativa celular al microinyectarse en células detenidas en el ciclo celular. Se estudió dicha capacidad de p21 en relación con su onco-gegidez, pero para las microinyectar una célula en cultivo, se trabajó con la línea celular NIH de células de riñón de rata infectadas con un virus de sarcoma de Rous mutante, sensible a la temperatura (SV40), que a 33°C ejerce su onco-gegidez y las células microinyectadas se transforman, pero a 41°C, se inactiva y las células presentan un fenotipo normal. Las células transformadas revierten al fenotipo normal, si son puestas de nuevo a la temperatura e inactivante. Las células infectadas se pusieron en un medio sin nutrientes, detenidas entre las fases G0-G1 del ciclo celular, y a 41°C para inactivar p21 viral) a algunas células se les agregaron nutrientes en el medio de cultivo pero sin variar la temperatura, en lo que entraña a la fase G1, mientras que a otras células solo se les disminuyó la temperatura, y estas se transformaron y entraron a la fase G1, sin necesidad de agregar nutrientes. En ausencia de p21, las células también se detuvieron en la fase G0, con la presencia de nutrientes, y también entraron en la fase G1 inducida por viral. La inactivación de p21 en ausencia de nutrientes o calor, no fue suficiente para que prosiguieran a la siguiente fase del ciclo celular, lo que indica que la función proliferativa de p21 posiblemente se ejerce en la fase G0 e indica además, que p21 resulta tan eficiente como los nutrientes para inducir la fase G1 del ciclo celular y que se requiere su continua presencia para mantener el fenotipo transformante de las células, no solo para inducirlo al inicio.

ANDREEFF, M., SLATER, D. E., BRESSLER, J., FURTH, M. E. 1988. Cellular ras oncogene expression and cell cycle measured by flow cytometry in hematopoietic cell lines. *Blood* 67:3873-3881.

Las neoplasias de tipo hematopoyético representan un buen medio para estudiar la actividad de los oncogenes celulares, puesto que se conocen bien los defectos en la proliferación y diferenciación de esta clase de células malignas. Mediante el uso de técnicas de inmunofluorescencia se detectaron los niveles de p21 en células de leucemia, buscando suspensiones de células con niveles aumentados de p21 para tratar de correlacionarlos con el ciclo celular. Se estudiaron las líneas celulares más de precursores hematopoyéticos de rata, R6.1 de leucemia mieloblastica humana, y PI-2 de leucemia linfoblástica humana de células T, y en algunas se detectaron grandes cantidades de proteína p21, en otras menos, y en otras casi nada, pero no se detectaron diferencias significativas en células en distintas fases del ciclo celular. Se concluye que la expresión de p21 no varía durante el ciclo celular.

WALKER, E., REEDION, R. J., WELDMAN, P. 1982. Glycolysis and methionylaminocobutyrate uptake in Rat-1 cells transfected with *ras* or *myc* oncogenes. Proc Natl Acad Sci USA. 79:3335-3338.

Entre las características hiperenergéticas y metabólicas de células malignas, está el incremento de la glucólisis aeróbica y de la obtención de aminoácidos por anhidio de la vía del sistema-A, cuyo sustrato específico es el metilaminocobutirato (MeAIB). Las células normales de riñón de rata, al ser expuestas al factor de crecimiento transformante tipo beta (TGF- $\beta$ ) muestran un incremento en ambos procesos y en las células transfectadas, la metionina inhibe la glicólisis. Se estudió la relación entre estas diferencias y la acción de los oncogenes *myc* y *ras*, transfeciendo células de la línea RAT-1 con *myc* o con *ras*, y dejando otras sin transfectar. Con TGF- $\beta$  se estimularon las células transfectadas con *ras*, las transfectadas con *myc* y las células control; en las transfectadas con *ras*, se observó un significativo aumento en el nivel de glicólisis, más que en las transfectadas con *myc* o en las células control y aun en las control estimuladas con TGF- $\beta$ . En las células transfectadas que se expusieron al TGF- $\beta$ , también se incrementó la glucólisis. La metionina ocasionó una inhibición en la obtención de aminoácidos. Estos resultados indican que probablemente, los oncogenes *myc* y *ras* participan en la regulación de los niveles energéticos en las células transformadas.

LAND, H., PARADA, L. F., WEINBERG, R. A. 1983. Tumorigenic conversion of primary embryo fibroblasts requires at least two cooperating oncogenes. Nature 304:596-602.

En estudios epidemiológicos se ha establecido que se requieren varios pasos para que ocurra un proceso maligno y sin embargo *in vitro*, pueden transformarse células al infectarlas con un solo virus como SV40 o polioma, aunque estos virus tienen al menos dos oncogenes que actúan en combinación en la transformación; el fenotipo maligno entonces puede considerarse el resultado de al menos 2 eventos que pueden ocurrir al activarse 2 genes cuya función interactúa en forma cooperativa. La transformación de las células NIH-3T3 mediante la simple transfección de oncogenes *ras* activos, es una aparente contradicción a lo anterior, pero cabe señalar que estas células están inmortalizadas y posiblemente ya no conservan algunas propiedades de los fibroblastos originales. Se estudió la capacidad transformante de *ras*, transfeciendo el oncogéne *c-Ha-ras* con mutación del codón 12 en fibroblastos primarios de ratón, que no se transformaron, ni al hacer varios pasajes celulares con los fibroblastos, ni al inyectarlos en ratones, se observó transformación. Se cotransfectoron los oncogenes *v-myc* y *c-Ha-ras* en fibroblastos primarios, los cuales se transformaron; en otros fibroblastos se cotransfectoron el antígeno-T de polioma y *myc*, y en otros el antígeno-T de SV40 y *myc*, y también se transformaron, pero con *v-myc* solo, o con el antígeno-T y *ras* no hubo transformación. Se concluye que los oncogenes *ras* y *myc* ocasionan efectos que actúan en forma cooperativa en distintas fases del proceso transformante.

YANCOPOULOS, G. D., NISSEN, P. J., REED AVE, M., KUHN, N. E., ALDOPARAS, M. R., ALT, F. W. 1980 N-myc can cooperate with ras to transform normal cells in culture. Proc Natl Acad Sci USA 77:6250-6254.

El oncogénes N-myc presenta algunas similitudes con el oncogéne c-myc. Fue reportado por primera vez en muestras de neuroblastoma humano, donde se le ha encontrado activo con mayor frecuencia y también en retinoblastomas. La amplificación es su mecanismo de activación, lo que se ha demostrado insertándose en plásmidos con promotores que lo expresan en gran cantidad, que al ser transfectados en células o en ratones inducen tumores. El oncogéne c-myc en cooperatividad con los oncogenes ras, transforma células primarias al parecer mediante la participación de cada uno de ellos en distintas etapas de la tumorigenesis, y se investigó si N-myc tiene la misma capacidad. Los plásmidos con el oncogéne c-H-ras en mano con mutación del codón 12, otros con el oncogéne c-myc activo y otros con el oncogéne N-myc unido a un promotor viral fuerte, se transfirieron en fibroblastos tumorales y de ratón primarios, que no son una línea establecida, como las células NIH-3T3. Los fibroblastos transfectados con los 3 plásmidos, el de ras y el de c-myc se transformaron, al igual que los fibroblastos con los dos plásmidos, el de N-myc y el de ras; si embargo ni c-myc, ni N-myc ni c-ras por sí solos transformaron las células. Se concluye que N-myc también puede cooperar con ras para transformar células primarias, y que su oncogenidad no se limita a células neurotómicas.

VELCICH, A., ZIFF, E. 1989. Adenovirus Ela ras cooperation activity is separate from its positive and negative transcription regulatory functions. Mol Cell Biol. 9:2177-2187.

La región Ela del genoma de adenovirus es esencial para activar la expresión de la transcripción; en las primeras fases de la infección viral, además activa la transcripción de varios genes celulares, y reprime secuencias promotoras celulares y virales. Esta región codifica dos proteínas, de 239 y 243 aminoácidos, la de 289 aminoácidos activa la transcripción, y ambas tienen capacidad para reprimir promotores y participar en la immortalización celular; cuando los adenovirus infectan células, las proteínas Ela se sitúan en el núcleo celular. El mecanismo transformante de adenovirus tal vez se relacione con la regulación de los genes involucrados en la proliferación celular como ras. Se estudiaron estos mecanismos comparando los efectos de adenovirus y de una variante de adenovirus que no reprime promotores fuertes, los dos en cooperatividad con ras. Este virus mutante fue transfectado junto con c-Ha-ras humano con mutación en el codón 12, en la línea REF52 de fibroblastos de ratón, en los cuales se indujo la transformación. Se concluye que la capacidad para reprimir los promotores fuertes no está asociada con la transformación inducida por adenovirus ni con la capacidad de cooperación entre la región Ela de adenovirus y los oncogenes ras.

SEGAWA, K., YAMAGUCHI, N. 1987. Induction of c-Ha-ras transcription in rat cells by simian virus 40 large T antigen. Mol Cell Biol. 7:3586-3597.

El antígeno-T del virus SV40 tiene una capacidad transformante que causa algunos cambios metabólicos y bioquímicos en las células que transforma, pero no se han determinado cuales de dichos cambios son directamente atribuibles al antígeno-T, y cuales son intrínsecos del proceso transformante como tal. Para determinar ésto se construyó un plásmido con la secuencia del antígeno-T unida a un promotor regulable con dexametasona, se insertó el plásmido en células de rata, cultivadas con dexametasona, y se aislaron las que incorporaron al plásmido, que expresaron altas cantidades del ARNm del antígeno-T. Estas células se hibridaron con sondas de ARNm de 19 oncogenes, y sólo se detectó el ARNm de c-Ha-ras en mayor cantidad que en células control; los niveles del ARNm de ras fueron variables de acuerdo a la cantidad de dexametasona, en la misma proporción que los niveles de ARNm del antígeno-T. También la cantidad de p21 de las células transfectadas, fue mayor que en células control. Todo indica que la actividad transcripcional general en la célula aumentó por la inserción del antígeno-T que posiblemente participe en la regulación del promotor de c-Ha-ras.

WASYLYK, B., KUEHR, J. L., PERZAKOWSKI, J., RAVDYKH, M. 1987  
The c-Harras oncogene and a tumor promoter activate the polyoma  
virus enhancer. Cell 48:629-634.

Los promotores fuertes ("enhancers") son secuencias que actúan la transcripción en eucariotas importantes para regular la expresión de genes durante la diferenciación, así como la respuesta de las células ante diversos estímulos. Con el fin de investigar si los oncogenes celulares cumplen funciones que regulan la actividad de los promotores virales, se estudiaron los efectos del oncogéne humano c-Harras en el virus de polioya. En la línea celííular MPC1104 de mielina de ratón se insertó un plásmido con el gen de globina y el promotor de polioya, el cual no aumentó la cantidad de globina celular, pero al insertar en este mismo plásmido el oncogéne humano c-Harras con mutación del codón 12 la cantidad de globina aumento de 20-50 veces. En fibroblastos LMTK de ratón y en células NIH-3T3 se obtuvo la misma respuesta. El proto-oncogén c-Harras expresado en grandes cantidades y el agente tumoral TPA, también activaron al promotor de polioya, aunque en menor medida. La activación e inactivación de promotores virales inducida por el oncogén ras, probablemente sea un mecanismo determinante para que en las células ocurra un proceso de transformación.

MATLAZEMEGKI, B., CORNIGLIERI, J., SANTOS, L., JUNIOR, M., MURILLO, A. & CRAWFORD, L. 1987. Human papillomavirus Type 18 DNA cooperates with activated ras in transforming primary cells. *Educ J* 6:1741-6.

Aproximadamente el 90% de los tipos de tumores cervicouterinos reportados tienen evidencias del virus de papiloma, principalmente del tipo 18, aunque los estudios epidemiológicos indican que otros factores pueden intervenir en el desarrollo tumoral, como los factores endógenos. El ARN del virus de papiloma (HPV), aumenta la capacidad tumorigénica de las células NIH 3T3, cuando se inyecta en ratones, pero sus efectos transformativos sobre las células en si, son muy limitados. Para averiguar si HPV puede cooperar con ras, se transfirió su ARN en células prigieras de riñón de rata (RKb), sin que se indujera su transformación, ni融合 con el plásmido con c-Harras humano con mutación del codón 12, pero al transferirlos juntos las células si se transformaron. Se hicieron diversas selecciones en el ARN del HPV para identificar la región involucrada en la cooperatividad, y se encontró que la región llamada E6/E7 de HPV al desnaturalizar, se pierde la capacidad del virus de cooperar con ras; en esta región se codifican varios péptidos, y algunos de ellos posiblemente interactúan con ras para aumentar la oncogenicidad de ambos. Este es el primer reporte de cooperatividad entre los virus de papiloma y los oncogenes ras.

STACEY, D. W., WATSON, T., KUNG, H.-F., CURRAN, T. 1987. Microinjection of transforming ras protein induces c-fos expression. Mol Cell Biol 7:523-527.

El oncogene c-fos codifica una proteína de 62 Kd, localizada en el núcleo celular, y durante la estimulación mitótica celular, su expresión es uno de los primeros eventos. c-fos se expresa en muy bajos niveles, en la mayoría de los tipos celulares, pero al agregar factores de crecimiento o mitógenos a los fibroblastos, se observa una marcada, aunque transitoria inducción de su expresión. Se estudiaron las interacciones de los oncogenes ras y fos, en células NIH-3T3, detenidas en su ciclo celular por falta de nutrientes, en las que se microinyectaron proteínas p21 virales y humanas oncogénicas y se registró la proteína fos. Las NIH-3T3 normalmente se transforman a las 24 horas de la transfección con ras onco-génico, pero en las células estudiadas, 1 o 2 horas después de la microinyección empezó a acumularse proteína fos en el núcleo y esa acumulación aumentada persistió por 22 horas, un efecto similar al obtenido cuando se agregaron nutrientes en lugar de p21. Se inyectó el anticuerpo anti-p21 Y13-259 en células NIH-3T3 Swiss-3T3 y BALB-3T3, se les agregaron nutrientes y no se obtuvo la respuesta de c-fos. En células NIH-3T3 previamente transformadas con el oncogene ras, mantenidas sin nutrientes, los niveles de c-fos fueron parecidos a los de células normales, y al agregar nutrientes, se obtuvo la misma respuesta de c-fos, y la misma respuesta al anticuerpo. Se concluyó que la participación de ras en la proliferación tal vez requiera que fos cumpla con alguna función transitoria, y que ambos oncogenes están relacionados funcionalmente en la transformación celular.

LEOF, E. B., PRUCK, J. A., MUSES, H. L. 1987. Regulation of transforming growth factor type-β action by activated ras and c-myc. Mol Cell Biol 7:2649-2652.

Los factores de crecimiento transformantes (TGF), son proteínas con capacidad para inducir una proliferación sostenida e independiente de la fijación en agar suave, al menos en células mesenquimales cuya proliferación normalmente depende de la fijación en agar suave. Existe dos tipos de TGF: TGF-alfa, producidos en diversas células transformadas así como en tejidos embrionarios y de placenta, y TGF-β cuya localización es obvia, tiene capacidad para inhibir la proliferación de numerosos tipos celulares y de promover la proliferación independiente de la fijación de un gran número de células mesenquimales, en ausencia de TGF-alfa, y del factor de crecimiento epidermal. En las células 10T1/2 de ratón, el TGF-β induce una respuesta muy limitada en agar suave, y se investigó si la intensidad de esta respuesta puede ser incrementada al combinarse con la acción de los oncogenes. Se transfirieron plásmidos con los genes c-Ha-ras, c-myc y ambos, en células 10T1/2, y en las transfectadas con myc, no se registró un fenotipo transformante, con ras se transformaron y con ras/myc el porcentaje de células transformadas fue aún mayor. Se observó un ligero incremento en la proliferación independiente de fijación, al agregar TGF-β a las células transfectadas con ras y con ras/myc, pero en las transfectadas con myc, la tasa de proliferación aumentó 20 veces aprox. No se obtuvo respuesta con el factor de crecimiento epidermal ni con interleuquina 1, insulina, FFA, ni con el factor de crecimiento derivado de plaquetas. La respuesta observada con TGF-β fue similar a la respuesta de las células transformadas con oncogenes ras. Se concluye que las células 10T1/2 no tienen capacidad para producir proteínas c-myc, y que el TGF-β no ha de seguir las vías metabólicas que normalmente siguen los factores de crecimiento para inducir la proliferación independiente.

LEOF, E. B., PROPER, J. A., MUÑOS, M. L. 1987. Modulation of transforming growth factor type $\beta$  action by activated ras and c-myc. Mol Cell Biol 7;2647-2652.

Los factores de crecimiento transformantes (TGF), son proteínas con capacidad para inducir una proliferación sostenida e independiente de la fijación en agar suave, al menos en células mesenquimales cuya proliferación normalmente depende de su fijación en agar suave. Existen dos tipos de TGF: TGF- $\alpha$ , producido en diversas células transformadas así como en tejidos embrionales y de placenta, y TGF- $\beta$  cuya localización es ubicua, tiene capacidad para inhibir la proliferación de numerosos tipos celulares y de promover la proliferación independiente de la fijación de un gran número de células mesenquimales, en ausencia de TGF- $\alpha$ , y del factor de crecimiento epidermico. En las células IGT1/2 de ratón, el TGF- $\beta$  induce una respuesta muy limitada en agar suave, y se investigó si la intensidad de esta respuesta puede ser incrementada si combinarse con la acción de los oncogenes. Se transfecaron plásmidos con los genes c-Ha-ras, c-myc y ambos, en células IGT1/2, y en las células transfecadas con myc, no se registró un fenotipo transformante, con ras se transformaron y con ras/myc el porcentaje de células transformadas fue aun mayor. Se observó un ligero incremento en la proliferación independiente de fijación, al agregar TGF- $\beta$  a las células transfecadas con ras y con ras/myc, pero en las transfecadas con myc, la tasa de proliferación aumentó 20 veces aprox. No se obtuvo respuesta con el factor de crecimiento epidermal ni con interleuquina 1, insulina, PMA, ni con el factor de crecimiento derivado de plaquetas. La respuesta observada con TGF- $\beta$  fue similar a la respuesta de las células transformadas con oncogenes ras. Se concluye que las células IGT1/2 no tienen capacidad para producir proteínas c-myc, y que el TGF- $\beta$  no ha de seguir las vías metabólicas que normalmente siguen los factores de crecimiento para inducir la proliferación independiente.

SMITH, M. R., BETHGARDNER, J. S., & RUSSELL, W. A. 1966. Requirement for certain proteins during viral oncogenesis transformation. *Nature* 200:640-643.

Los oncogénos pueden agruparse en dos familias con base en características comunes: los oncogénos de la familia *ras*, los que codifican proteína-rasqueta tipo *src*, *raf* y *ras*, los que codifican proteína nuclear tipo *c-fos* y *c-jaf*, y los oncogénos de virus de *SV40* sin contrapartes celulares. En este estudio los interacciones de distintos oncogénos, se transformaron células NIH-3T3 con *SV40* oncogénico y se las sometieron a anticuerpo *YIG-259*, que detecta las proteínas *ras*, y a las  $^{35}S$ -múltiples de la transformación las células transformadas con *src*, *fos* y *jaf*, autoradiografando el ciclo completo de rigurosa al vástago normal, el cual continúa por 30-50 horas, que es el tiempo que tarda el *YIG-259* en desaparecer de las células, y luego regresa en el fenómeno transformante. Las células transformadas con *src* y *fos* no revierten y su proliferación prácticamente no cambia. En las células transformadas con virus de papiloma bovino, si agregar *YIG-259* la transformación celular cesaría, pero en las células transformadas con el virus *SV40*, la presencia del anticuerpo *YIG-259* no induce retroceso. Esto sugiere que ciertas proteínas oncogénicas que actúan como factores de crecimiento, requieren la participación de proteínas que probablemente transmisionen la señal del factor de crecimiento, que se recibida por el receptor con el que tal vez interactúa *ras*, o alguna molécula efectora citoplásmica involucrada en la proliferación, y posiblemente también en la transformación celular.

MCKEEAN, W. G., HAKAMADHI, K., MURKIN, R. J.: 1980, Site-specific integration of Her-2 in transformed rat embryo cells. *Science* 241:1513-1520.

Algunas células transformadas con oncogenes presentan alteraciones cromosómicas, más específicas en el tipo transformante, se investigó en los revestimientos de fibroblastos embrionarios de ratón transformados con *ras* y *myc*. Se establecieron 7 líneas celulares con los transformantes transmigrantes y en 4 de ellas se observaron alteraciones del tipo: corte del cromosoma 11 en 2 de estas líneas, el cromosoma 1 estaba detectado en parte y en otras 2, parciales o total transformante al cromosoma 11. En algunas células de estas 4 líneas y en otra línea más, se observaron trisomías del cromosoma 11 y cromosomas "extrañas". Se realizaron varios pasajes celulares, después de los cuales se incrementó de 2 a 5 copias del plásmido de *ras* y de 1 a 1000 copias del plásmido de *myc* en diversas células. El oncogén *ras* transfundido se encuentra insertado en el dominio de uno de los 2 cromosomas 11 y en las células con alteraciones del cromosoma 11, rara vez estaba en el cromosoma aberrante, en cambio no se detectó un sitio definido de integración de *myc*. La secuencia oncogénica de *ras*, probablemente actúa como un mutágeno insertado que inactiva algún gene supresor de la tumorigenidad desde su sitio específico de integración.

SALVADORES, M., PEREZ, J. C., RODRIGUEZ, M. A. 1992. Metastasis potential of SV40 transformed mammary and colon carcinomas within the differentially induced by activated virus nuclear forms of c-fos-fos. *Oncogenesis*, 11:149-153.

La progresión de un tumor a una malignización puede cursar por el surgimiento y selección continua de células con mayor agresividad en una población de células tumorales, lo que lleva a la generación de una población de células cada vez más malignas y metastásicas. Para establecer si la inducción se rige con la actividad, se trabajó con la línea SV40 de mamácarcinomas de ratón, que es totalmente tumorigénica cuando se inyecta en forma subcutánea en ratones, pero no es metastásica. Se transfirió c-H-ras fusionado con mutación del codón 12 en carcinoma SV40, que se replicó en 35 ratones de los cuales, 10 dieron linajes embriarios de pulmón. Los niveles de ARNm de c-junas y de proteínas p51 oncoprotéicas, fueron variables en cada célula, con niveles correspondientes a los niveles con la capacidad oncoprotética. Se insertó un promotor viral, sujeto junto al oncogén c-fos-ras, con que se observó una diferencia en la incidencia de metástasis, pero el proto-oncogén c-H-ras humano junto al promotor viral no induce metástasis, aun cuando se le detectó expresado en gran cantidad, lo que sugiere que H-ras activo induce una mayor agresividad de las células independientemente de su nivel de expresión, y que el gen normal carece de esta propiedad, aun en altas niveles. Se inyectaron tanto ratones carentes de sistema inmune como ratones normales, y en ambos se observaron los mismos resultados, indicando que las células metastásicas pueden evadir las barreras inmunológicas. Si que responde a la capacidad metastásica puede indicar qué las células ya tienen la maquinaria requerida para la metástasis, solo faltaba un paso en el que participa ras, por lo que es posible que la capacidad de inducir metástasis dependa más bien del tipo de células que afecta.

BOLSCHEER, J. G. M., VAN DER SLOOJ, R. H. M., HEMPEL, S. J. J., JELLINE, A., SMETS, L. C. y PLOEGH, H. L. 1983. *Ras proto-oncogene induces N-linked carbohydrate modification: temporal relationship with induction of invasive potential*. *Cancer Res.* 43:3361-3368.

Los ácidos sialicos son muy importantes en la determinación de las propiedades membranares de las células eucarióticas y en células malignas, la alteración de sus propiedades de adhesión y su capacidad invasiva y metastásica es correlacionada con los cambios en la estructura de los ácidos sialicos y carbohidratos de superficie que presentan las transformaciones, y mutantes de células tienen residuos de ácidos sialicos terminales. Para investigar la relación entre una proteína membranal como p21ras con estos cambios, se transfirieron las células NIH-3T3 con los oncogenes  $\alpha$ -Ha-ras y  $\beta$ -Ha-ras, y después de 24 horas de estas células, se infectaron con el virus de estomatitis vesicular (VSV) cuya proteína-G se registró mediante marcaje radiactivo. En la proteína-G se observó un alto grado de unión a ácidos sialicos. En células NIH-3T3 transfiradas con proto-encogenes  $\alpha$ -Ha-ras y  $\beta$ -Ha-ras unidos a promotores víricos regulables con dexametasona (DT) en presencia de D7 la proteína-G mostró los mismos cambios. Las células activadas con DT, penetraron y destruyeron un corazón de pollo, las células sin DT no lo invadieron, pero al agregar DT en el momento de ponerlos a los 2 días se volvían invasivas. El cambio en la proteína-G, se detectó aun en las NIH-3T3 transfiradas que no se transformaron. En las células transfectadas se detectó un mayor peso molecular en el resto de los carbohidratos de membrana distintos de la proteína-G en relación con las células normales, indicando que en los mismos carbohidratos ocurrieron cambios similares a los de las proteínas-G. Los cambios en los carbohidratos ocurrieron al mismo tiempo que en las células se detectó la presencia de p21, por lo que se concluye que la alteración en los carbohidratos transformante, es uno de los primeros eventos en el proceso de transformación y queráticos oncogénicos probablemente participan en los cambios superficiales característicos de las células malignas y metastásicas.

EASTMAN-KRUMM, JR. E., VELDRIJN, G. W. 1980. Glucocorticoids inhibit c-myc oncogene expression in a murine lymphoma cell line. *Cancer Res.* 40:1437-1442.

En linfomas, leucemias y otras neoplasias inmaduras, los glucocorticoides inhiben a las células a las cuales distinguen su inicio celular en la fase G<sub>0</sub>, y eventualmente les evitan la muerte. Los glucocorticoides causan en las células un decrecimiento en la incorporación de glucosa y en la síntesis de ADN así como la fragmentación del ADN, entre otros efectos. Sin embargo, no se ha logrado establecer cuáles de estos efectos son causados directamente por los glucocorticoides y cuáles son producto del proceso de muerte celular en sí. Se sabe que los glucocorticoides inhiben la transcripción de la *c-fos*-fósfodiesterasa, *c-fos*, y posiblemente su actividad fijadora. Se investigó la participación de los oncogenes humanos *c-myc*, *c-myb* y *c-fos*, para ver si sus genes se expresan en linfocitos inmaduros y inducen un decrecimiento en la proliferación celular. Los glucocorticoides causan la muerte de las células S49 de linfoma de rata, por lo que a estas células se les dirigió el tratamiento con acetato de triamurilona (AT), que es un análogo de glucocorticoides, y se observó la prolongación del tiempo de división celular, que normalmente es de 15-17 horas, a 24 horas. A horas después de iniciado el tratamiento, se detectó la disminución en los niveles del ARN de *c-myb*, *c-myc* y *c-fos* en el fibro de este último se registró la disminución más acentuada, y estos niveles continuaron disminuyendo durante las siguientes 7-11 horas. La disminución al final de otros genes indicando que la maquinaria transcripcional de las células S49 seguía funcionando. Se concluye que el decrecimiento coordinado en la expresión de los 3 oncogenes puede deberse a que los 3 actúan de manera simultánea y coordinada en la reducción de la proliferación celular de las células malignas.

IRALDORUM, A. G., 1968. Morfología celular y patología tumoral en el cáncer de pulmón. Tesis doctoral. M. Sc. (1971).

Las implicaciones genéticas del cáncer se basan en la existencia de 4 grandes categorías de trastornos neoplásicos que las mutaciones suscitan en el tipo celular somático que tienen manifestaciones en las anomalías genéticas más evidentes rivista establecida a las mutaciones, y así lo han hecho diferentes de acuerdo a su tipo. Se calcula que en 80% de los neoplasias humanas pertenecientes al primer grupo, el tipo preexistente que muestra la presencia de cáncer de los órganos o grupos anatómicos registrados es los tumores epiteliales, que por su naturaleza, pueden aumentar. Como en el segundo grupo que al parecer expresa la mayoría de los tipos de cáncer, y su frecuencia es de menor. En el tercer grupo, lo que se hereda es la predisposición al cáncer, y en el cuarto, se heredan en mayor medida de los cánceres. Estos últimos casos han revelado la existencia de un cierto tipo de genes, llamados antioncogenes, círculos de los cuales en que transmigración son dominantes, y en los malignos, el que responsible de la malignidad es recesivo, y su síntesis, que es el anticuerpo inhibe la expresión de su malignidad. Los anticuerpos se detectaron inicialmente en prácticas con heterocigotos, que se detectó en años de anticipación, y el porcentaje de supervivencia es muy alto lo que ha permitido estudiar la descendencia de los supervivientes que en ciertos casos desarrollaron carcinomatosis y la incidencia de casos se registró, donde aparece un patrón de segregación que indica la existencia de un gene recesivo. Si los individuos heterocigotos, con el sello normal y el maligno, la descendencia parece presentar los a síntesis normal y no desarrollar el tumor, o los 2 sello malignos y no ser un individuo visible, o bien puede ser heterocigoto, en cuyo caso el sello normal inhibirá al receptor a menos que en el sello normal ocurra una mutación, inactivación, etc. y en ese caso se desencadena el tumor. El gene de retinoblastoma se localizó en el cromosoma 13. También se han detectado antioncogenes en el tumor de Wilms, pero aún no han habido suficientes datos para un seguimiento generacional. Es difícil hacer registros genéticos humanos lo suficientemente precisos para determinar cómo es que los antioncogenes suponen la oncogenicidad, pero con registros de esta naturaleza podrán establecerse los mecanismos que permiten a las células despegar la malignidad.

PROTEÍNA, en sus claras, se observó que la actividad anti-p53 es de 100% y la actividad anti-p21 es de 100%. Se observó que el anticuerpo anti-p53 inhibe la transformación celular inducida por la proteína viral SV40. HALL, R. J., KERSEY, P. J., MCKEECHIE, R. J., 1972. Transformación celular inducida por la transformación viral de la proteína viral SV40.

La mayoría de las proteínas - sea polímero, antígenicas, diferentes en tipo molecular que están para distinguirlas y estudiar sus transformaciones, se analizó el efecto de un anticuerpo dirigido contra un péptido con la secuencia de una región del subenvelope de p53, con serina en el codón 11, que corresponde a la secuencia de un anticuerpo más activo. Se observó que este anticuerpo bloques la auto-transformación y la unión a S11 de p21 del oncogén viral v-mirras, lo que indica que esta actividad se sitúa en la región del codón 11 recomendada por el anticuerpo. Se transfirieron células de riñón de rata con el oncogén v-mirras, y a las 18 horas se observó que las células transformadas revirtieron al fenotipo normal y el efecto de reversión persistió por 48 horas, punto luego de 48 horas las células nuevamente regresaron al fenotipo transformado. Se estudió si anticuerpo in vitro y se observó que este anticuerpo no reacciona a las proteínas p53 protein-antígenica, ni a la proteína viral p53 del oncogén v-mirras. Se concluye que la afinidad por nucleótidos de guanina es muy importante para que sea cumplida con su función transformante, y que los anticuerpos que detectan p53 endogénica, pero no p53 protein-antígenica, logran bloquear la acción transformante de los oncogenes ras en las células.

URMÍN, O., FLORENTIN, M. M., MIRANDA, J. R. 1972. "Effectos inducidos por virus de Herpes simplex vírico en transformación y transfiguración by especies homólogas, así como en la síntesis de S-azacytidina, que son tipos celulares".

El autor, en infuso la transformación tumoral *In vivo*, por ello se investigó su efecto en la expresión de los oncogenes *ras*. Las cécticas NIH-3T3 trataron con el prole-oracogénico c-DNA unido a su promotor viral fuerte, se sometieron a un tratamiento prolongado con este factor y revirtieron a su fenotipo normal, y el resto permaneció sin perder su capacidad transformante, aunque expresaron gran cantidad de *ras*. Estas células adquirieron permanentemente, se transformaron con retrotranscripción del c-DNA *ras*, y se transformaron, pero en menor proporción que las NIH-3T3 originales, transformadas al transfectante *In vitro* *ras*. Las células NIH-3T3 tratadas con interferón fueron infectadas con los oncogenes virales *c-H-ras*, *c-K-ras*, *c-N-ras*, y también se trataron con la recombinante mutante sin exón *ras* *c-H-ras*, sin retrotransformación. La metilación del c-DNA es un mecanismo de regulación genética, por lo que se trataron con ácido 5'-azauridina, con inhibidores de enzima encargada de la metilación del c-DNA, como la S-azacytidina, y se observó una notable retrotransformación de las células que habían revertido con el interferón, las cuales incluso desarrollaron tumores si se infectaron en ratones por el contrario, las NIH-3T3 control no se transformaron con la S-azacytidina. Las cécticas retrotransformadas de nuevo revirtieron al fenotipo normal al ser tratadas con interferón, lo que indica que el interferón actúa a nivel de la metilación del c-DNA, y puesto que no se detectó que ocurriera metilación en el oncogén *c-H-ras* transflectado ni en el promotor viral unido, se concluye que las intervenciones en la regulación de otros genes y que la metilación del c-DNA, como mecanismo de regulación genética, causa ciertos efectos que probablemente se superponen con los efectos de los oncogenes *ras*.

SALINAS, M., YANG, J., NISHI, M., NISHI, R. S., 1988. Partial cloning of the human placental phosphotyrosine protein-tyrosine kinase cdk5 by transfer of a human gene. *Proc Natl Acad Sci USA* 85:580-4.

Se ha preparado la enzima de quinol hidrolasa de las células transformadas a mitógeno, tipo fibroblasto por dobleña reacción, etc para la identificación de los genes dominantes. Se estableció un sistema para identificar, identificar y caracterizar los genes que codifican transformación celular de ratas con el oncogén v-myc. Hasta hoy se han analizado 12, y se han identificado seis de placenta humana. Algunas de estas células mostraron un fenotipo plasmocitomato transformante, y al inyectarlas en ratones indujeron la transformación tanto al muy límite como a distinción de las células transformadoras al oncogén huergo que inducen tumores con un 100% de eficiencia. Los revertentes se analizaron para localizar secuencias de oncogén huergo, y se detectó un fragmento de 18000 pares de bases, que parece incluir la secuencia responsable de suprimir la transformación de rata, aunque no suprimió la oncogenidad en rata al traspasarla aislada en las células transformadas. Esta gen es una proteína citoesquelética a cierta distancia de la mito de eventos biológicos desencadenados por la acción del oncogén rata, pero en todo caso, es muy importante identificar las secuencias que codifican inhibidores específicos de la actividad del oncogén rata, pues estos aseguraran la proporcionación valiosas claves para lograr determinar los mecanismos por los cuales los oncogenes rata inducen la transformación.

BUTTS, S. F., BERNBERG, H. M., GRIFFIN, E. 1938 "Antigenic properties of formation of mouse primary keratinocytes by Harvey sarcoma virus and its modulation by surrounding normal cells." Proc Natl Acad Sci 24:3399-3404.

La carcinogénesis es un tránsito lento que se lleva a cabo en varios pasos, y que cuando menos con 2, el establecimiento y la promoción de los transformados. Para analizar estos pasos, se transformaron keratinocitos primarios de epitelio de ratón con el virus de carcinoma de Harvey, y después se injertaron en la piel de ratones, mediante una técnica que permite que el injerto quede rodeado de una membrana espacial; de tal manera que no sea cubierto por la piel del ratón, y se observó el desarrollo de tumores incompatibles epiteliales en casi los ratones en 10-14 días. Se multiplicaron *in vitro* los keratinocitos transformados con fibroblastos normales; las células multiplicadas se injetaron en la piel de 27 ratones, y solo en 26 de ellos se desarrollaron pequeños tumores, en un tiempo mayor que en el ensayo anterior. Los keratinocitos normales de ratón no se obtuvo la misma respuesta ni en otros ni pus celulares. Se concluyó que en las células normales, existen elementos que bajo ciertas condiciones, contrarrestan el desarrollo de tumores, y faltó aún identificarlos y caracterizarlos.

GOMBERG, J., HILT, M., ORLANDI, M., SUGAWARA, T., INFANTE, P. H., REGEAT, J. C. (1982). Ruta de la vía mitocondrial en SV40/myc inducida Syrian hamster tumor. *Cancer Res.*, 42, 3121-3127.

En los cánceres malignos son muy comunes las aberraciones genómicas, pero se desconoce qué significan específicamente pueden tener, y para investigarlos, se transformaron las células de embrión de hamster Síntesis (SH) con los oncogenes, SV40-my<sup>c</sup>; dichas células tumorigénicas tuvieron un crecimiento y en cultivo se detectó la pérdida del cromosoma 15. Estas células se fusionaron con las células SH originalmente, y en las células hibridas se observó un fenotipo no transformado, además de que mostraron envejecimiento celular, y no causaron tumores en ratones; pero después de sucesivas pasadas de células, las células hibridas adquirieron un carácter cada vez más transformado y en lugar del envejecimiento, desarrollaron immortalidad. Las células hibridas de los primeros pasajes presentaron gran cantidad de p21 viral y de ARN de v-Sim-rrn y de v-my<sup>c</sup>, y estos niveles se mantuvieron constantes en las células que resguardaron su malignidad. Se observó la pérdida del cromosoma 15 en un porcentaje significativo de células hibridas, lo que indica que esta carencia residencia en la pérdida de algún geno celular, que suprime el cambio necesaria para el desarrollo inapetido, así como para el envejecimiento celular. Se concluye que las células hibridas tumorigénicas presentan ciertas ventajas sobre las células hibridas normales persistiendo independiente en los cultivos, y que el envejecimiento celular posiblemente sea un mecanismo de supresión tumoral, en cuya fase la immortalidad sería un carácter secundario. El hecho de que tanto myc como ras se siguieron expresando en células hibridas no tumorigénicas, igual que en las tumorales, indica que el posible elemento regulador no actúa ni a nivel transcripcional ni traducional, sino que probablemente interactúa con, regula, o compite con p21 en un determinado punto de la cadena de eventos transformantes. Se propone al término de genes supresores tumorales por ser una descripción funcional, en lugar del término anticancerígenos que supone un mecanismo específico de supresión, el cual generalmente no está bien determinado.

POWER, D., MICHAELIS, M., CHEN, Y., BRITTA FORDON, C., PIGGOT, A., HERSHKOWITZ, I., MULIER, H., YUCAI, RAM, *a gene on yeast required for a functional modification of Prc proteins and for production of mating pheromone surface*. Cell 47(4):619-629.

En las células que producen de la membrana generalmente son transportadas a través del retículo endoplásmico hasta situarse en su posición final. Unas de las etapas que están los genes RAS, que se transportan por el endoplásmico hacia la membrana. Siguiéndose mediante un ácido palmitílico. Otra proteína que se considera, depende de la unión lipídica para unirse a la membrana es el factor- $\alpha$ . La fermentación de *Saccharomyces*, que solo produce algunas hipoproteínas aparecen tipo a lo que sucede en el factor- $\alpha$  tiene en su estructura carbonato la misma secuencia de las proteínas que en mamíferos. Se estudiaron células de *S. cerevisiae* con la protofíja RAS2-val-19 con la mutación equivalente a la que activa las en mamíferos y al someterlas a un crecimiento que normalmente resultan levaduras normales, solo observaron muy pocas divisiones y de las sobrevivientes, algunas mostraron una división dependiente de la temperatura. Se analizaron otras mutantes y en ellas se detectó un elemento supresor del geno RAS2-val-19, que se llamó supH. La supresión ejercida por la proteína supH, no se registró al nivel de los suelos cíclicos, que no presentan cambios en las salinas con respecto a las normales; en tales mutantes también no observaron deficiencias del factor- $\alpha$ , y su funcionamiento resultó ser similar al de las levaduras con mutación del geno supH, que se requiere para la biosíntesis del factor- $\alpha$ . Se clonó el geno supH, y se investigó su relación con el factor- $\alpha$  y con RAS, determinándose que supH participa en la unión de ambas proteínas con el lípidio, que es lo que determina su unión membranal. Se renombró el geno supH-STE16 como RAS, porras y factor de acoplamiento ("mating-factor") y se concluye que este geno posiblemente intervenga en otros procesos celulares; si bien homólogo del geno RAS puede existir en mamíferos, el cual suprimiría la acción de ras, incluyendo su oncogenicidad.

## RAS EN CARCINOGENESIS ANIMAL

Los oncogenes ras se han estudiado ampliamente en modelos de carcinogénesis en animales, investigando tanto los agentes que activan los oncogenes ras, como los efectos de las proteínas onco génicas ras en los organismos animales para tratar de extrapolárselas al caso del organismo humano donde no pueden llevarse a cabo experimentos de inducción de tumores, como en animales. La carcinogénesis es un proceso de múltiples pasos y las alteraciones observadas *in vitro* se pueden o no presentar dentro de un organismo, dependiendo de condiciones tales como barreras inmunológicas, integración con celulas normales, irrigación sanguínea adecuada, etc., que no se presentan *in vitro*, por ello también es importante estudiar la acción de los oncogenes ras *in vivo*. Además en experimentos en animales, se han obtenido resultados que respaldan la teoría de que la activación de los genes ras es un evento iniciador involucrado en el desencadenamiento del proceso transformante, y no es una consecuencia del mismo.

Los modelos de experimentación más empleados son los murinos (ratas, ratones y hamsters) donde se ha obtenido importante información principalmente respecto a la carcinogénesis química, analizando los tipos de neoplasias inducidas con diversos carcinógenos químicos, como el Metylcolantreno (Eve y Aaronson, 1983), que fue de los primeros experimentos reproducibles de la activación onco génica de ras con carcinógenos químicos. Se ha observado una correlación entre ciertos carcinógenos, y el tipo o localización de la neoplasia inducida, como con la methyl(methoxymethyl)nitrósemina (DMN-OH), que induce preferencialmente tumores renales en ratas (Sukumar y cols., 1986); el N-hidroxy-2-acetalaminofluoreno, el vinil carbamato y el 1'-hidroxi-2',3'-dehidroestrágol inducen tumores hepáticos (Wiseham y cols., 1986). La mayoría de los carcinógenos químicos, al ser metabolizados, generan residuos que inicián la carcinogénesis al interactuar con el ADN celular, interacciones que suelen ser muy específicas como con beta-propiolactona que induce el cambio de A a T, en el segundo nucleótido del codón 61 del gene c-Ha-ras de mamíferos (Hochwalt y cols., 1988), y con 12-O-tetradecanilitorfobol-13-acetato, que induce tumores epidermiales benignos (papilomas) que en ciertos casos se desarrollan como tumores malignos de la piel (Strickland y cols., 1988). Entre los carcinógenos químicos existen unos 12 hidrocarburos aromáticos, que presentan determinadas regiones directamente involucradas con la carcinogénesis, las cuales inciden sobre el ADN, en la secuencia de los genes ras y los activan (Bizub y cols., 1986).

Este tipo de inducciones ha proporcionado interesantes resultados: El N-nitroso-N-metylurea (NNU) induce linfomas de timo en ratones que presentan la perdida de uno de los alelos, lo que está relacionado con el concepto de antioncogenes (Guerrero y cols., 1985). El NNU tiene actividad metilante, y al parecer interactúa con sitios específicos del ADN como el codón 12 de c-Ha-ras-1 que por alguna razón no son sitios que puedan reparar eficientemente los mecanismos celulares de reparación. Otros resultados se han obtenido con el 7,12-dimetilbenzafenantráceno (DMBA) con el que se

inducir tumores epiteliales, que pueden ser benignos, o susceptibles de reversion, lo que sugiere que la acción de los oncogenes ras no resulta ser suficiente para mantener el fenotipo neoplásico (Leon y cols., 1988). El DMBA actúa sobre los residuos de adenosina y guanina, e induce mutaciones puntuales en los genes ras.

En los modelos animales también se ha estudiado la cooperatividad entre los oncogenes, principalmente entre los oncogenes myc y ras, tanto en ratones (Sinha y cols., 1987) como en hamsters, en donde también ha habido pérdida de un cromosoma (Oshimura y cols., 1988).

En animales también se inducen desarrollos tumorales con los agentes virales como los virus de sarcoma murino de Harvey que inducen papilomas en la piel de ratones que pueden o no convertirse en tumores (Roop y cols., 1986), así como con los virus de Harvey y de BALB, que también inducen tumores epidermicos (Brown y cols., 1986).

En organismos vivos, ras interviene en desarrollos metastásicos al participar en las características que convierten las células malignas en metastásicas. Asimismo se ha detectado su expresión en ciertas etapas del desarrollo hepático donde posiblemente participa pues ras interviene en la transformación maligna de las células hepáticas (Yaswen y cols., 1985).

Los oncogenes ras han permitido incluso estudiar los procesos carcinogénicos desde otras perspectivas, pues se han inducido tumores con n-nitrosometilurea (NNU) y con radiaciones en ratones en donde se han detectado activaciones conjuntas de los oncogenes K- y N-ras, indicando que la cooperatividad no solo existe entre ras y otros oncogenes, sino también entre los distintos genes ras (Diamond , cols., 1988).

EVAN, G., HARRINGTON, R. A. 1984. Fragment identification of rat-*c-fos* by transforming gene in fibroblasts induced by methylcholanthrene. *Science* 236:280-284.

En las células NIH-3T3 se transformaron con el carcinógeno químico metilcholantreno (MCA) en su concentración que el digerir el ADN celular con enzimas de restricción, se obtienen fragmentos que no se obtienen al digerir el ADN normal de estas células. Para establecer el efecto de mi-*c-fos* en vivos, trajojeron fibroblastos en cultivo con MCA, a los cuales se les extrajo el ADN que se transfirió en células NIH-3T3 que se transformaron. Se analizó el ADN de las NIH-3T3 transformadas, con una sonda derivada de la secuencia transinserción del virus de sarcoma murino de Rous, y se identificó un fragmento hibridó en las células transformadas, lo que es importante para en todo este proceso no hubo ningún tipo de intervención viral. Se extrajo el ADN de las células transformadas para transformar otras NIH-3T3, y en las nuevas células transformadas, se identificó el mismo fragmento hibridó al oncogén viral. Se concluye que en las células originarias hibridó de los oncogenes virales, que intervienen en producción de transformación celular.

SUKHNIAR, S., PERANTONI, A., REED, C., RICE, J., M. WENZ, M. LV. 1985. Activated K-ras and N-ras oncogenes in primary renal mesenchymal tumors induced in F344 rats by methyl(methacryloyl)nitrosamine. *Mol Cell Biol* 5:2715-2720.

La methyl(methacryloyl)nitrosamina (DMN-OH) es un agente mutante tumorígeno. En ratas F344 (32 machos y 32 hembras) se injectó una sola dosis peritoneal a las 48 horas de nacidos y aparecieron tumores renales en 32 de las 34 ratas sobrevivientes. La mayoría de los tumores fueron de origen mesenquimático, se presentaron en ratas de ambos sexos, tuvieron un rápido crecimiento, fueron agresivos e invadieron el parénquima renal adyacente, algunos presentaron células con diferenciación micrótica. No se observaron metástasis a otros órganos aunque se detectaron extensiones crecientes en otros sitios, pero en bigado se detectaron con frecuencia precursores de neoplasia hepática. El ADN de 25 ratas con tumores se transfeció en células NIH-3T3, y 11 de dichas muestras tumorales transformó las NIH-3T3, el ADN de las 11 muestras se hibridó con sondas de oncogenes *ras*, en 10 de ellas se detectó el oncogén *c-K-ras* alterado y en la mayoría de estos 10, también resultó estar amplificado *c-H-ras*, de 3 a 10 veces en las NIH-3T3. La muestra que no hibridó con *K-ras* hibridó con la sonda del oncogén *N-ras*. Se transfecionaron células NIH-3T3 con ADN de células circundantes, que no indujeron transformación, con lo que se concluye que la activación de los oncogenes *ras*, debido a la acción del carcinógeno DMN-OH, fue la responsable de la tumorigénesis.

WILLIAMS, M., WILKINSON, R., WILKINSON, J., DODD, J., MILLER, S. J. 1980. Antitumor activities of the epoxide-forming chemically induced hepatocarcinogen in the rat. *Cancer Res.* 40: 5415-5420.

La interacción entre carcinógenos químicos y el ADN de tejidos blandos somáticos en el preárea carcinogénica, tiene las siguientes en el ADN posibles originadas mediante reacciones químicas. Considerando esta interacción, se realizó mucho ADN F1 de 12 días tratado a los que se administraron diúctos disueltos de 2 carcinógenos químicos, con diferentes estructuras que reaccionan con distintas zonas del ADN: Mecarbazol-2-acetilbenzimidazolino (N-HO-RAC), 1-hidroxyl-2'-deoxyribosilagol (HO-DRG), y el vinil carbamato (VC), y a los 7 meses las ratas desarrollaron hepatomas a los que se extrae el ADN para transfundir células NIH-3T3 y se transformaron las células en el 50% de linfocitos irradiados con los 3 carcinógenos. En el ADN se tuvieron las mutaciones tumorales, en la tercera alteración de c-H-ras, y en una muestra se obtuvo otra alteración, la mayoría de las transformadas alteradas presentó mutación en la segunda alteración del codón 61, en 77% TC. Se concluyó que esta mutación no pudo ser espontánea, pues difícilmente ocurriría en la misma posición del mismo codón del mismo gen, y que la activación de oncogenes fue paralela con uno de los primeros eventos durante el proceso tumorigénico en hepatomas, más que una de las consecuencias de la transformación.

HODGEMAN, A. R., SOLOMON, J. J., THORKE, S. J. 1980. Mechanism of Herpes simplex activation in mouse squamous carcinomas induced by an alkylating agent. *Cancer Research* 40:555-559.

La beta-propiolactona (BPL) es un carcinógeno bien caracterizado que origina tumores en el sitio de exposición en ratones, en los que se han reportado alteraciones genéticas tales como mutaciones de bases y aberraciones cromosómicas. Se expusieron ratones a la acción del BPL, en los cuales se observó el desarrollo de carcinomas epiteliales y fibrosarcomas. Se obtuvo el ADN de uno de los carcinomas inducidos por BPL, que se transfundió en células NIH-3T3 y las células se transformaron se analizó este ADN con diversas sondas, y sólo se detectó alterada al gene c-H-ras, que presentó una mutación en el segundo nucleótido del codón 61. No se encontraron otras alteraciones en ningún otro oncogén, por lo que se concluye que el segundo nucleótido del codón 61 del gen c-H-ras, es el sitio de acción del BPL.

STRICKLAND, J. E., BREEDING RIS, D. C., SNEIDERMAN, A. & HUNTERMAN, H., RESTREPO, C., SOLARACIONE, M. & VASQUEZ, G. H. 1983. Development of murine epidermal cell lines which contain an activated ras-tiia oncogene and form papillomas in skin grafts to allogenic nude mice hosts. *Cancer Res.* 43:1655-1660.

Cuando se inducen tumores epiteliales con carcinógenos químicos, lo primero que se detecta nubrir es la aparición de tumores benignos epiteliales, llamados papilomas, y un pequeño porcentaje de estos papilomas se convierte después en carcinomas; su conversión puede estimularse con mutagénos químicos. Si las células epiteliales con oncogenes ras activos, se estudió la relación entre el fenotipo de papilomas con un cambio genético específico y los cambios genéticos asociados al desarrollo de tumores benignos en murallas. Las líneas fueron la ZOG, de envíos de rata F344 inducida con 7,12-dimetilbenz-a-antraceno (DMBA); la SF-1, de papiloma de ratones hermos, inducidos con el DMBA, y provistos con el 12-O-tetradecanilofofato- $\beta$ -D-acetato (TPA); la BB-4, igual a la anterior pero con más 5 veces mayores de DMBA y TPA, y la LCL14 de células epidermales de ratones BALB transformadas espontáneamente. Estas células se injertaron en el epitelio de ratones macho Wistar de 2 semanas de edad portadores de sistema tumoral y todos indujeron papilomas epidermales con células diferenciadas, y no se detectaron tumores malignos. Tanto las líneas transformaron las células NIH-3TS, indicando que tenían oncogenes ras activos y al analizar su ADN, en las 4 se detectó la mutación del codón 61 del c-H-ras. Todas fueron capaces de sobrevivir en concentraciones de 50% que impiden sobrevivir a las células normales. Se concluye que la activación de oncogenes ras es un primer evento en la promoción tumoral, pero daría la ausencia de tumores malignos la activación de ras parece no ser suficiente para inducir los pasos subsecuentes que constituyen el proceso tumorigénico.

BIRKIN, D., WILCOX, M. W. y BRONK, R. H. 1984. Mutagenesis of the Harvey oncogene in mouse skin tumors induced by polycyclic aromatic hydrocarbons. Proc Natl Acad Sci USA 81:6040-6042.

Se ignoran los mecanismos por los que los hidrocarburos policíclicos aromáticos inducen la transformación celular, y para investigarlo, se indujeron lesiones epiteliales en ratones dadas las ventajas de que el tejido es más accesible que el de los tumores internos y se pueden ir registrando las fases del desarrollo tumoral. Se aplicó 7,12-dimetilbenz(a)anthraceno (DMBA) en los ratones CD-1 2 veces por semana por 15 semanas; en otros se aplicó una dosis de benc(a)pireno (B(a)P), y después de 10 días, en estos últimos 2 grupos se aplicó 12-miristato 13-acetato 2 veces por semana por 28-35 semanas. El ADN de los carcinomas inducidos se transfirió en células NIH-3T3, que se transferieron con las muestras de DMBA y B(a)P, NSADR, pero no con las de B(a)P. En el ADN de los tumores que transformaron las NIH-3T3, se detectó una mutación en el oncogén c-H-ras de  $\text{A} \rightarrow \text{T}$ , en el codón 61. No se detectó alteración en N-ras ni en c-K-ras. Los papilomas benignos inducidos con el B(a)P, NSADR también transformaron las NIH-3T3 y presentaron la misma mutación en el codón 61 del gen c-H-ras, indicando que la mutación es uno de los primeros eventos en la carcinogénesis. Ambas técnicas de inducción tumoral originaron la misma mutación en el codón 61 de c-H-ras, por lo que se concluye que este es un sitio crítico de interacción de c-H-ras con los hidrocarburos.

GUERRERO, I., VILLASANTE, A., CORCEG, J. y PELLICER, A. 1985. Loss of normal N-ras allele in a mouse thymic lymphoma induced by a chemical carcinogen. Proc Natl Acad Sci USA 82:7810-7814.

El carcinógeno N-nitroso-N-methylurea (NNU), induce linfomas de timo en los que frecuentemente se encuentra activado el oncogén N-ras. Se inyectaron ratones jóvenes con NNU para analizar al N-ras, que está formado por 4 exones, 567 codones, y codifica una proteína de 21 kDa, p21. Al comparar la secuencia del gene N-ras de ratón con el correspondiente N-ras humano, se detectaron 21 bases diferentes entre ambos, de los cuales solo se expresan 3 cambios a nivel de la proteína. Todos los cambios fueron en el exon 4, la región más variable entre los diferentes genes ras, y se encontró que la diferencia entre la proteína normal y la de células del linfoma inducido con NNU, es una mutación en el codón 61. En células tumorales no se encuentra el alelo normal de N-ras, lo que tal vez se deba a que las células tumorales han perdido el alelo normal, o que ambos alelos presentan la mutación. Esto es importante, pues se considera que los genes ras malados son dominantes. A los 4 meses de que se les inyectó el carcinógeno a los ratones, se analizaron las células de los tumores inducidos y en todas las células se presentó la misma alteración, por lo cual, se concluye que la activación de N-ras es uno de los primeros eventos del proceso tumorigénico, que origina toda una población de células con las mismas características.

LEON, J., KANING, H., SCHIMMELBORG, J. S. y PELLICERI, A. 1986.  
Virus activation in benign and self-regressing skin tumors (keratoacantomas) in both humans and the animal model system.  
*Mol Cell Biol* 6:786-793.

Existen dudas en cuanto a la activación de oncogenes ras, si origina la tumorigenesis o si es una consecuencia esto se estudió en tumores epiteliales por lo accesible del tratamiento con carcinogénos, y porque se puede ir registrando el desarrollo tumoral. Los keratoacantomas son tumores benignos que en humanos presentan una regresión espontánea total, después de un rápido crecimiento inicial lo que permite identificar oncogenes cuya acción no es suficiente para mantener el fenotipo tumoral. Se aplicaron 2 dosis por semana del 7,12-dimetilbenzafantraceno (DMBA), en las orejas de conejos de Nueva Zelanda y en 4 semanas, se detectaron tumores, unos tuvieron una regresión espontánea con diferenciación de queratinocitos y otros se volvieron malignos. Se desarrollaron keratoacantomas, algunos papilomas y carcinomas. El ADN de los keratoacantomas el de 2 papilomas y 2 carcinomas transformó las células NIH-3T3 e híbrido con el oncogene c-Ha-ras, pero no con Ki-ras ni con N-ras, en las NIH-3T3 transformadas se detectaron mayores niveles de ARNm de c-Ha-ras y de p21 que en células normales. Por otro lado se analizaron muestras de 18 keratoacantomas humanos cuyo ADN se transfirió en células NIH-3T3 y las transfecadas originaron tumores en ratones sin sistema inmune y en el ADN humano se detectó una mutación de AT - TA en el codón 61 de c-Ha-ras. Es interestinge que los tumores que tuvieron regresión, incluyeron células diferenciadas, pues ras se considera relacionado con la diferenciación celular. Este es el primer reporte de oncogenes ras en tumores benignos humanos.

CHIN, E., KELLER, M., PERTHOMAS, R., TURLEN, R., WALLACE, R. Y  
LEDER, P. 1987. Cooperación de SV40T/IL-2R $\alpha$  y v-myc  
genes in transgénico ratón. Synergistic action of oncogenes in  
vivo. Cell 47:463-475.

Se determinó la cooperatividad entre los oncogenes v-myc y ras in vivo, usando un plasmido con el oncogén v-myc junto al promotor del virus de tumor mamario de ratones, regulable con hormonas en células germinales de ratones; estos fueron normales al nacer, expresaron v-myc en gran cantidad y después desarrollaron tumores mamarios y algunos linfomas indicando que v-myc es necesario pero no suficiente para inducir la tumorigenesis. Por otro lado, otro plasmido con el mismo promotor pero con v-ras se inyectó en ejercitos de ratones y se desarrollaron 13 cepas de ratones transgénicos que segregaron este gen a la descendencia con una proporción mendeliana. Los ratones tuvieron gran cantidad del ARNm de v-ras en tejido mamario, glándulas de Harderian (situadas en los ojos), en glandulas salivales y en vesículas salivales en los machos los mismos tejidos donde se expresa v-myc en las cepas de ratones con v-myc aunque los ratones con v-myc no presentaron tumores en glándulas salivales. Los ratones con v-ras nacieron y se desarrollaron normalmente, algunos con exoftalmia por hipertrofia de las glándulas de Harderian, y en algunos hubo un crecimiento hasta de 25 veces, de la glándula de Harderian. En ratones de 10 de las 13 cepas se presentaron adenocarcinomas mamarios y de glandulas salivales así como algunos linfomas. Se hizo una cruce entre ratones con v-ras y ratones con v-myc, y los descendientes fueron normales al nacer similares a los ratones con v-ras, y también desarrollaron adenocarcinomas y linfomas, pero con mayor rapidez, pues en algunos casos aumentó el tiempo de desarrollo hasta 3 veces, y ningún ratón hembra quedó libre de tumores mamarios por más de 180 días. Esto indica que existen tejidos específicos donde los oncogenes ras y myc pueden existir en forma criptica y otros tejidos donde su expresión induce tumores; sin embargo al actuar en forma conjunta, el incremento en el desarrollo tumoral resulta mayor que si solamente se suman sus efectos.

ROGÉ, S. R., LIEBT, D. R., TAMOURIEN, P. E., STRICKER, J. G., HAWKINS, J. R., BOMMELHOUT, M., SPANGLER, E. F., YUSPA, S. H. 1983. An animal model clarifies the oncogenic potential of human tumours in mouse epidermal tissue. *Nature* 299:592-594.

En el transcurso del desarrollo de tumores epiteliales, generalmente aparecen tumores benignos o papilomas previos a los tumores malignos, indicando que ocurren en etapas tempranas de la carcinogénesis. La detección de virus en los papilomas, sugiere que la mutación en este gen puede ser el primer evento, dado que ras está implicado en la proliferación celular, que es característica en los papilomas. En este trabajo se utilizaron keratinocitos infectados con el virus de sarcoma de Harvey, y el ARN de algunos indujo la transformación de células NIH-3T3, y los que no la indujeron se combinaron con fibroblastos dermicos frácticos y se injetaron en la piel de ratones asintomáticos de sistema inmune, en los cuales se desarrollaron papilomas al cabo de varias semanas. En los papilomas se registraron niveles altos del ARNm del oncogén viral y p21 viral se detectó en la parte basal de la epidermis de los papilomas. Esto indica que la activación endógena de ras es suficiente para inducir tumores benignos.

BROWN, K., QUINTANILLA, M., RAMSDEN, H., KERR, I. R., YOUNG, S. y BALMAIN, A. 1983. Virus genes from Harvey and BALB murine sarcoma viruses can act as initiators of two stage mouse skin carcinogenesis. *Cell* 46:447-454.

La carcinogénesis se considera un proceso de múltiples pasos el número de los cuales varía según la especie pero al menos se requiere la iniciación y progresión y en algunos de estos pasos puede estar implicado algún oncogén. Existen ciertos agentes químicos que inducen ambos pasos y se investigó en cuales pasos pueden actuar los oncogenes ras. En la piel de ratones se hicieron heridas que se infectaron con los virus de Harvey y de BALB y después se les aplicó el 12-O-tetradecanoylforbol-13-acetato (TPA), y 4-8 semanas después se desarrollaron papilomas. Los ratones tratados con DMBA en lugar de virus, y después con TPA desarrollaron papilomas luego de 7 semanas; los papilomas inducidos con ambas técnicas fueron similares. El desarrollo de papilomas se indujo también cuando el TPA se administró 4 meses después de la iniciación viral, indicando que las células mantenían la capacidad de volverse malignas. Algunos papilomas inducidos con virus y TPA, mostraron regresión pero no desaparecieron y algunos de estos después tuvieron una rápida malignización creciendo en forma invasiva como carcinomas indicando que en estos papilomas probablemente existen numerosas y diversas poblaciones celulares, y el surgimiento de los carcinomas resulta de algún evento que ocurre en una o pocas células. En los carcinomas se detectó una mayor cantidad de ARNm del virus que en los papilomas. La iniciación con el virus no induce tumores malignos, pero con el tratamiento con TPA surgieron tumores con mayor frecuencia, y cuyo crecimiento fue más rápido, que con el tratamiento con DMBA como iniciador, y TPA como promotor. Es probable que p21 y TPA actúan en diferentes pasos de una misma vía metabólica, y se concluye que la acción de los oncogenes ras, es necesaria para iniciar un proceso maligno, pero no resulta suficiente como para concluirlo.

VASWEN, P., GOYTETE, M., SHANK, P. R. y FAUSTO, N. 1985.  
Expression of c-Ki-ras, c-H-ras and c-myc in specific cell  
types during hepatocarcinogenesis. *Mol Cell Biol* 5:780-786.

En la hepatocarcinogenesis se ignora cuales celulas originan los tumores; algunas hipotesis explican que los hepatocitos maduros se "desdiferencian", readquiriendo caracteristicas de celulas fetales; otras hipotesis sugieren que existen "celulas troncales" en higados maduros, que proliferan y no se diferencian. Las celulas ovales, frecuentes al inicio de la carcinogenesis son tal vez las celulas troncales, pues tienen proteinas fetales y adultas, y pueden ser celulas de transicion. Se estudio la ultima hipotesis alimentando ratas 5-6 con el carcinogeno etionina y se extrajo el higado a las 2-35 semanas tambien con fetos de rata y ratas a los 3-14 dias de edad pues el higado de ratas termina su desarrollo a los 28 dias y los hepatocitos solo sintetizan ADN o se dividen en la vida una o 2 veces mas, pero no pierden la capacidad de replicarse durante la regeneracion del higado al cortarle una porcion. En celulas ovales se analizo el ARNm de H-ras que aumento levemente durante la carcinogenesis, c-myc que aumento a las 2 semanas y a las 16 semanas fue 6 veces mayor que en los controles, y K-ras que fue aumentando de las 2 a las 17 semanas cuando llego a 10-20 veces mas que en controles. Los tumores aparecieron a las 20-35 semanas de administrar etionina. En hepatocitos el ARNm de K-ras aumenta a las 2 semanas y luego disminuye, en higados fetales llega al maximo a los 17 dias de gestacion, decrece marcadamente a los 20 dias de gestacion y 3 dias antes del nacimiento, H-ras tambien llega a su maximo a los 17 dias y luego decrece, pero no tanto como K-ras y c-myc alcanza el maximo a los 17 dias, y tambien decrece despues. Esto indica que la expresion de los 3 genes decrece conforme progresa el desarrollo del higado y decrecen al final de la carcinogenesis cuando tal vez impidan la diferenciacion de las celulas ovales, lo que apoyaria la hipotesis de celulas troncales.

BIRNBOIM, E. A., BLODGETT, I. R., REILLY, A. J., VASSEY, A. B., ROBERTSON, F. P. and HORNIG, GENE PATRICK. *Induction of tumor transformation by K-ras oncogene protein methylation in rat fibroblasts*. *J. Biomed. Mater. Res.* 21: 123-132, 1987.

La transformación celular puede inducirse mediante agentes químicos o físicos, como radiación. En particular el efecto de los dos tipos de radiación en la activación de oncogenes más comunes - el gen gamma, o rayos-X, causando una mutación en codón 12 del gen K-ras y un K-ras. De los 12 tumores inducidos con radiación gamma y en ratones K-ras, 10 fueron mutantes de codón 12 de los cuales transformaron células NIH3T3. Los 10 no incluyeron el 5% de los tumores con capacidad de transformar las NIH3T3, que constituyeron el 24%. Se hibridó el ADN de los 10 tumores con diversas sondas, para ver si tenían Kras, v-ras, c-ras, onc, myc, myb, fgr o erbB. En 8 de los tumores inducidos con K-ras y en 7 individuos con mutaciones, se detectó K-ras con mutación del codón 12. Una vez se encontró una mutación del codón 12 en un tumor inducido con radiación y en 3 tumores inducidos con K-ras, se preparó varias mutaciones. En 1 tumor, en el codón 12, el tumor mutó en el codón 13, y en los 3 demás, en el codón 61, y de estos, 2 tuvieron cambio de GAA a AAA y 1 de CAA a CTA. Las mutaciones del codón 12 y 13 fueron todos de GGT (Gly) a GAT (Asp). En 1 tumor la mutación del codón 17 de Kras se validó en las mutaciones NIH3T3 transformadas, pero no en el ADN tumoral; se estudió de nuevo el ADN tumoral, y se encontró también K-ras con mutación del codón 17. Se estudiaron todos los tumores con Kras activo, y se encontró que en el tumor con la mutación CAA - CTA del codón 61 de Kras, también existía mutación en K-ras. En 4 tumores con mutación en Kras, hubieron muy bajos niveles del anticuerpo normal, indicando una posible pérdida del alelo normal. Parece ser el más frecuentemente activo en los tumores de piel, pero no se detalló, lo que tal vez indica que existe cierta especificidad de tejidos susceptible a un oncogén más en particular. Fueron más numerosos los tumores con K-ras activo que con N-ras, pero las mutaciones de N-ras fueron más variadas, y al menos en 2 tumores, K- y N-ras actuaron activos, así es que una de las 2 mutaciones no fue un evento inicial. Es posible que la activación de K-ras sea el evento inicial, y ya sea la pérdida del alelo normal o bien, la activación de N-ras, sea el evento que actúa forma cooperativa para completar el proceso tumorigénico.

## ONCOGENES RAS EN HUMANOS

Los estudios hechos en el genoma humano de los oncogenes ras han sido muy numerosos, dado la importancia clínica de investigar el origen y tratamiento del cáncer, pero por otro lado se han visto un tanto limitados, pues es obvio que en humanos no pueden inducirse desarrollos tumorales como en animales, para establecer la etiología del cáncer, ni se pueden aislar los humanos para identificar, fuera de todo duda, sus mutaciones, ya que el desarrollo de una mutación produciría durante el desarrollo tumoral. Tampoco limita mucho que las que se han podido en humanos hasta la fecha, si la confirmación de las mutaciones ras se ha llevado aprobablemente de manera al principio incompleta, o si es una de las consecuencias del mismo, pues si bien en animales todo parece indicar que su activación es un evento implicado en la inducción tumoral no siempre se pueden aplicar directamente los resultados obtenidos en los modelos animales al caso de los humanos ademas de que siempre faltara la verificación y reproducibilidad de los resultados, un requisito indispensable de la investigación.

Únicamente se han logrado efectuar estudios que se aproximan a los que se realizan en animales en el caso de los tumores de la piel de personas muy expuestas al sol, cuya piel muestra los efectos de la radiación solar y donde existe una alta probabilidad de que ese haya sido el agente tumoral; en estos tumores han sido detectados oncogenes ras activos (Ananthaswamy y cols., 1980).

Los oncogenes ras en muestras de genoma humano, se han detectado mediante las técnicas mencionadas a lo largo del texto, las cuales se siguen perfeccionando pues se ha visto que en muchos reportes referentes a la incidencia de oncogenes ras en neoplasias humanas, es muy probable que no se hayan detectado todas las alteraciones realmente presentes en las células malignas, debido a varias razones tales como la degradación post-quirúrgica del ADN de las células en las muestras de neoplasia, las escasas células malignas que suelen contener estas muestras que además están mezcladas con células normales muy diversas, lo que reduce la probabilidad de detectar los posibles oncogenes ras activos, y por otro la do las desventajas de la técnica más empleada para esta detección los ensayos de transfección en células NIH-3T3, que al ser inmortales de alguna manera han iniciado un proceso transformante pues suelen transformarse espontáneamente aunque con baja frecuencia, pero que obviamente alteran los resultados, ademas en el caso del oncogén c-Ki-ras, por su gran tamaño difícilmente logra transfecirse completo y transformar células NIH-3T3. Para incrementar la sensibilidad de esta técnica, si la muestra incluye pocas células malignas, en ocasiones se injectan las células NIH-3T3 transfectadas, transformadas o no en ratones para observar posibles desarrollos tumorales sin embargo esto implica la intervención de muchos otros factores, pues también los ratones pueden desarrollar tumores por otras causas, complicando aun mas las observaciones.

La hibridación del genoma tumoral con sondas de ADN requiere cierta cantidad de ADN, y cuando el número de células malignas de la muestra es insuficiente para alcanzar la cantidad requerida de ADN, no logran detectarse eficientemente los oncogenes ras presentes. Este método se ha perfeccionado mediante la acción de la ADN

polimerasa que amplifica el fragmento con el oncogene ras que desea detectarse, y al generarse varias copias del mismo, aumentan las probabilidades de que lo detecten las sondas de ADN.

Mediante el empleo de estas nuevas técnicas se han detectado oncogenes ras activos con mayor frecuencia que la reportada en estudios anteriores, en especial del oncogene c-Ki-ras que se ha reportado activo con mutaciones puntuales en un 40% de tumores colorectales (Bos y cols., 1987); e incluso, se han encontrado mutaciones que no se habían detectado, como la mutación del codón 12 del oncogene c-Ha-ras en leucemias (Toksoz y cols., 1987), así como la activación conjunta de c-Ki-ras y N-ras en un mismo genoma. (Ferr y cols., 1988).

Otra modificación a los métodos más utilizados para detectar oncogenes ras, es mediante sondas de ARN, con la secuencia normal del transcripto de los genes ras, que al hibridar con el ARN de un oncogene con una mutación es reconocido y cortado por la RNase-A, con lo cual se obtienen fragmentos de diversos tamaños, que indican la existencia de una mutación puntual en un oncogene ras. Esta técnica también ha permitido establecer que la frecuencia del oncogene c-Ki-ras activo en los tumores colorectales es mayor que la que se había reportado (Ferrester y cols., 1987).

Como se ha visto los oncogenes ras pueden activarse mediante mutaciones puntuales en el codón 12, 13, y 61, y también mediante la amplificación de los proto-oncogenes, que al parecer no es tan frecuente, o bien mediante alguna alteración en la célula que propicie el aumento en la expresión de genes ras, y consecuentemente el aumento en la proteína p21 onco génica que puede ser directamente, por el aumento en la transcripción, y por lo tanto en la producción de p21, o bien indirectamente, por la falta de algún mecanismo que normalmente impide que ocurra este incremento ya sea degradando el exceso de ARNm de genes ras, o de p21, o inhibiendo a nivel de ADN en el promotor del gene ras que esté expresando niveles anormalmente elevados. Se han detectado niveles elevados de p21 en numerosas neoplasias humanas tales como adenocarcinomas de pulmón, estómago, recto y colon, en carcinomas mamarios, uterinos hepáticos, colorectales, epiteliales, en adenomas tiroides, linfoma de Burkitt, sarcomas de nódulos linfáticos, y también en tumores benignos mamarios y epiteliales (keratoacantomas). (Datos obtenidos del Archivo General de Oncogenes).

Existen también otros mecanismos de activación como la metilación del ADN de los genes ras que es un mecanismo de activación en general de los genes celulares, y que también activa los genes ras (Barreiro y cols., 1986). Se ha reportado asimismo que la pérdida del fragmento adyacente a la secuencia de c-Ha-ras, conocido como exón -1, activa dicho gene (Dichutek y Duesberg, 1986). Los oncogenes ras no parecen estar asociados a ningún tipo de neoplasia en particular, pues se encuentran activos en todo tipo de tumores, aunque se ha encontrado que existe una significativa incidencia de determinados oncogenes ras en ciertos tipos de cáncer, por ejemplo el oncogene N-ras se ha detectado en neoplasias de tipo hematopoyético como leucemias, con mayor frecuencia que los oncogenes c-Ha-ras o c-Ki-ras; Ha-ras se encuentra más frecuentemente que los otros dos en tumores mamarios, y Ki-ras, en tumores colorectales; esto sugiere que probablemente existe una determina-

da especificidad o susceptibilidad de algunos tipos de tejidos, a la acción de alguno de los tres oncogenes ras.

Los oncogenes ras son genes dominantes distintos de los llamados antioncogenes, aunque si se consideran antioncogenes a todos aquellos con capacidad de impedir que se exprese un proceso transformante, es de suponer que en las células normalmente existen antioncogenes, pues se sabe desde hace tiempo que existen en las células, ciertos mecanismos para evitar ser afectadas por alteraciones, sobre todo cuando ocurren mutaciones u otros daños en el ADN. Existen evidencias de que las células tienen mecanismos para tratar de contrarrestar los efectos de los oncogenes ras, que serían los antioncogenes, como lo es la elevada incidencia de tumores en que se ha detectado la pérdida de un alelo del gene ras (Theillet y cols., 1986), lo que ha sido descrito como un mecanismo activante, cuando el alelo normal es el que reprime la oncogenicidad del alelo mutante, pero ésto es en el caso de oncogenes recesivos, por lo que es difícil explicar como es que el alelo normal impide que se exprese un oncogene dominante ras activo, pero de alguna manera el alelo normal parece participar, pues cuando se fusionan las células malignas y células normales, las células hibridas presentan un fenotipo normal, como se describió en el capítulo de tumorigenesis animal.

Los oncogenes ras no parecen estar relacionados con el grado de desarrollo tumoral, pues se detectan en todas las etapas de la tumorigenesis (Yokota y cols., 1986), pero *in vitro* y en animales se ha visto que su activación es necesaria, pero no suficiente para inducir la tumorigenesis; en el caso de humanos existen evidencias a favor de esta hipótesis, pues en muestras de leucemia, se han detectado muestras con mutación en K-ras y N-ras en un mismo genoma; cada mutación está en un alelo, y así una célula tiene 2 tipos de proteínas p21, ambas activas, lo cual indica que alguna de las dos mutaciones no pudo ser un primer evento en el proceso neoplásico; curiosamente, en estos pacientes durante las fases de remisión de la enfermedad, dejaron de detectarse las mutaciones. (Farr y cols., 1988)

En primera instancia, se descarta la posibilidad de que los oncogenes ras intervengan en algún tipo de predisposición al cáncer por su carácter dominante, pero el que existan variaciones en la región adjunta característica del gene c-Ha-ras, que se detecta como un polimorfismo de fragmentos de diverso tamaño, algunos de los cuales existen en células malignas con una incidencia significativa, puede considerarse una evidencia en contra, aunque es difícil considerarla como prueba de que los oncogenes ras están involucrados directamente con la predisposición al cáncer (Lidereau y cols., 1986) pero si lo están entonces estos datos, junto con los experimentos con anticuerpos que detectan ciertas proteínas onco-génicas en muestras de orina, con los cuales se ha logrado al menos en un caso, la detección de un desarrollo tumoral antes de que se manifieste (Niman y cols., 1985), implicarían que la importancia del estudio de los oncogenes ras, va más allá del nivel de la investigación celular y genética; significaría un nuevo y muy importante enfoque para tratar los casos de neoplasias e incluso para diagnosticarlos en etapas tempranas, disminuyendo así su índice de mortalidad.

**FIGURA 9**  
**TECNICAS DE DETECCION DE ONCOGENES ras EN CELULAS MALIGNAS**

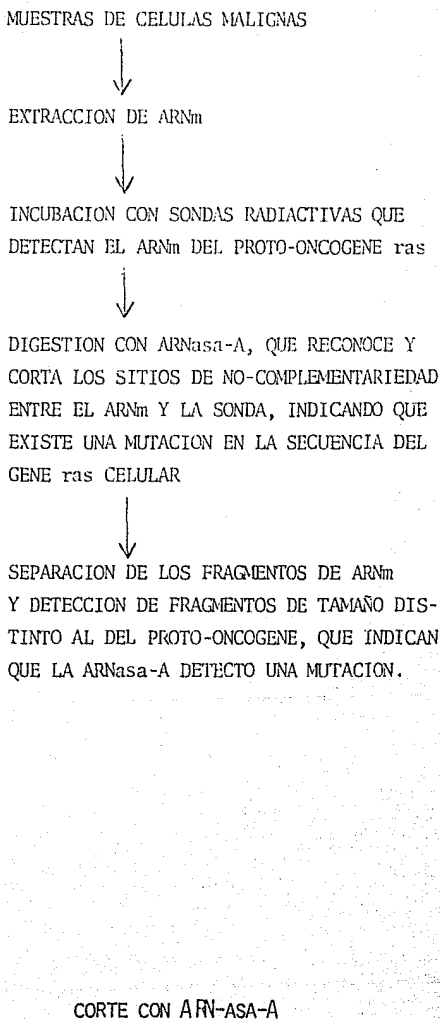
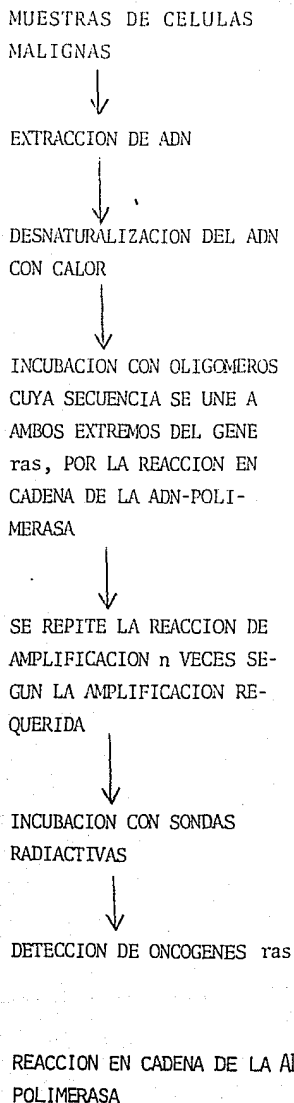


TABLA 2

## MUTACIONES PUNTUALES EN EL CODON 12 DE LOS ONCOGENES RAS

ONCOGENE	AMINO ACIDO	TUMOR
c-Ha-ras	Gly	genotipo humano normal
v-Ha-ras	Arg	virus de sarcoma murino de Harvey
c-Ha-ras	Val	línea T24 de carcinoma de vejiga humano
c-Ha-ras	Val	línea Ed de carcinoma de vejiga humano
c-Ha-ras	Glu	carcinoma mamario inducido con MNU en ratas
c-Ha-ras	Asp	carcinoma hepático inducido con IO en ratas
c-Ha-ras	Cys	adenocarcinoma hepático espontáneo de ratas
c-Ha-ras	Cys	Nefroblastoma inducido con MAV en aves
c-Ha-ras	Asp	línea Hs0578 de carcinocarcinoma mamario humano
c-Ha-ras	Val	línea J82 de carcinoma pulmonar humano
c-Ha-ras	Val	leucemia mieloide aguda humana
c-Ki-ras	Gly	genotipo humano normal
v-Ki-ras	Lys	virus de sarcoma murino de Kirsten
c-Ki-ras	Cys	fibrosarcoma inducido con 1,6-ONP en ratas
c-Ki-ras	Cys	fibrosarcoma inducido con MCA en ratones
c-Ki-ras	Asp	timoma de rata inducido con radiación gamma
c-Ki-ras	Cys	línea DU-65 de carcinoma pulmonar humano
c-Ki-ras	Arg	adenocarcinoma de páncreas humano
c-Ki-ras	Asp	línea A427 de carcinoma pulmonar humano
c-Ki-ras	Asp	línea A1165 de carcinoma pancreático humano
c-Ki-ras	Ser	línea A1663 de tumor de vejiga humano
c-Ki-ras	Val	línea ABVY de adenocarcinoma pulmonar humano
c-Ki-ras	Cys	línea SW480 de adenocarcinoma de colon humano
c-Ki-ras	Arg	línea Caiu-i de carcinoma pulmonar humano
c-Ki-ras	Asp	línea A-3180 de carcinoma pulmonar humano
c-Ki-ras	Cys	línea PancI de carcinoma de páncreas humano
c-Ki-ras	Cys	línea PR371 de carcinoma pulmonar humano
c-Ki-ras	Arg	línea SW-1882 de carcinoma de colon humano
c-Ki-ras	Cys	línea A1298 de carcinoma de vejiga humano
c-Ki-ras	Val	línea SK-CC-1 de carcinoma de colon humano
c-Ki-ras	Ala	línea SK-620 de carcinoma de colon humano
c-Ki-ras	Ser	línea SW-116 de carcinoma de colon humano
c-Ki-ras	Ser	tumor gástrico humano
N-ras	Gly	genotipo humano normal
N-ras	Asp	leucemia mielógena aguda humana
N-ras	Asp	timoma inducido con MNU en ratones
N-ras	Cys	leucemia mielocítica aguda humana
N-ras	Ser	leucemia mielocítica aguda humana

Datos obtenidos del Archivo General de Oncogenes

## TABLA 2

## MUTACIONES PERTINENTES EN LAS RAS NEURONALES HUMANAS

ONCOGENE	AMINO ACIDO	TIPO	REFERENCIAS
c-Ha-ras	Glu	genotipo normal humano	
c-Ha-ras	Ieu	línea SK-N-S de melanoma humano	
c-Ha-ras	Ieu	línea HeLa de carcinoma pulmonar humano	
c-Ha-ras	Arg	fusión oncotelial humano	
c-Ha-ras	Ieu	tumor oncotelial humano	
c-Ha-ras	Lys	línea JETZ de carcinoma de vejiga humano	
c-Ha-ras	Ieu	línea SK-NEL-143 de melanoma humano	
c-Ha-ras	Arg	línea JETZ de carcinoma renal humano	
c-Ha-ras	Ieu	teratocarcinoma benigno humano	
c-Ha-ras	Ieu	teratocarcinoma benigno inducido con DMA en ratones	
c-Ha-ras	Ieu	carcinoma epitelial inducido con DMA/TPA en ratones	
c-Ha-ras	Ieu	papilomas benignos epiteliales inducidos con DMA/TPA en ratones	
c-Ki-ras	Glu	genotipo normal humano	
c-Ki-ras	His	carcinoma pulmonar humano	
c-Ki-ras	His	línea FRC10 de tumor pulmonar humano	
c-Ki-ras	Asp	línea SW620 de carcinoma de ovario humano	
c-Ki-ras	His	línea LOX-17N de rabdomiosarcoma humano	
c-Ki-ras	Ieu	línea KP-EN de leucemia linfocítica aguda humana	
c-Ki-ras	Arg	línea SH-SY5Y de carcinoma pulmonar humano	
N-ras	Glu	genotipo normal humano	
N-ras	His	leucemia mielocítica aguda humana	
N-ras	Arg	leucemia mielocítica aguda humana	
N-ras	Arg	línea NL-H929 de mieloma múltiple humano	
N-ras	Lys	leucemia mielocítica aguda humana	
N-ras	His	leucemia mielocítica aguda humana	

**MUTACIONES PUNTUALES EN EL CASO DE LOS GANADORES DEL PREMIO NOBEL**

ONCOGENE	AMINO	TUMOR	ACIDE
M-mas	Val	genotipo normal humano	
M-mas	Asp	leucemia mielodisplásica humana	
M-mas	Arg	cariocinosis reticular humana	
M-mas	Arg	síndrome de síndrome de la leucemia mielodisplásica (preleucemias)	
M-mas	Cys	leucemia no-Hodgkin humana	
M-mas	Glu	leucemia no linfocítica humana	
M-mas	Gly	leucemia mielocítica aguda	
c-Mras	Asp	síndrome de síndrome de la leucemia mielodisplásica (preleucemias)	

Datos obtenidos en el Archivo General de Oncogenes

## EMOCENES MAS AMPLIAMENTE ESTUDIADOS

### EMOCENE

### TUMOR

c-Har-ras	sarcoma linfocitario
c-Mur-ras	tumor sórdido mamario humano
c-Mi-ras	carcinoma pancreatico humano
c-Ki-ras	carcinoma pulmonar
c-Ki-ras	carcinoma de ovario
c-Ki-ras	tumor de endodito infantil
c-Ki-ras	carcinoma gastrico
c-Ki-ras	carcinoma de vejiga
c-Mi-ras	Línea WI-38 de células transformadas con radiación gamma
c-Ki-ras	tumor adenomatoso de ratón
c-Ki-ras	adenocarcinoma de ovario
c-Ki-ras	carcinoma epitelial
Miras	Línea HGP-7 de carcinoma mamario

Datos obtenidos del Archivo General de Oncogenes.

ONTOGENESIS, II. NUEVOS DATOS SOBRE EL CÁNCER DE MAMA EN RODENTES. Determinación radiobiológica de actividad carcinogénica del humor vaginal murino en una exposición temprana. - Cam Pan. - 49: 554-562.

En superficies epiteliales se han descubierto numerosos agentes químicos y físicos que inducen efectos mutagénicos, también con carcinogenicidad, y es frecuente que la irradiación generalmente sea la agente causal de los carcinomas ováricos. La luz ultravioleta causa severos daños al ADN, en animales causa tumores epiteliales y se considera el principal responsable del cáncer en la piel en humanos, por lo que se investigó si en los tumores epiteliales de humanos se encuentran oncogenes más activas. Se estudiaron 3 carcinomas epiteliales, 7 de células escamosas y 1 de células basales en las regiones más expuestas al sol (nalgas, orejas, etc.), de pacientes con trastorno de exposición a los rayos solares, lo que se estableció entrevistando a los pacientes, y por la presencia en los sujetos de señales indicadoras como quemaduras solares, leishmaniasis, pigmentación, eritema y leiotrigo cutáneo. De la mitosísis al ADN de las células tumorales se aplicó DNP-CI, y las transformadas a su vez se inventaron en ratones portadores de síntesis ralenta, que si las mutaciones se desarrollaran tumorearían los ratones. Los sujetos de ADN de K- y N que no detallaron alteraciones y tampoco se detectaron mar, myc, fos, ras, ecc, ecc, abl, ni erbB. Se determinaron alteraciones de c-H-ras en las 8 muestras pero solo en una se determinó la amplificación de c-H-ras y no llegó definitiva si el tipo de alteraciones en las demás muestra, tal vez debido a lo excepcional de las muestras. Se concluyó que la radiación solar en los humanos actúa como un fuerte agente tumoral, muy probablemente mediante la activación de los oncogenes ral.

BUS, J. L., PERINSON, R. M., SHIBUYA, S. H., ANDERSEN, D. W., HILLMAN, R. M., HILLMAN, R. H., WILLIAMS, R. A. & WEISBLATE, B. 1987. Prevalence of ras genes mutations in human colorectal cancers. *Nature* 327:277-277.

En numerosos reportes se han detectado oncogenes *ras* activos en un 10-20% de las neoplasias humanas, mediante análisis de transfección en células NIH-3T3, pero es probable que en algunas de las muestras reportadas sean negativas, en realidad los oncogenes *ras* sí estén activos, pero no se detecten ya sea por la presencia de diversas células sencillas con los malignos, o por que al extraerse quirúrgicamente la neoplasia, el tiempo transcurrido hasta la extracción y análisis del ADN, puede haber ocurrido una degradación, y en el caso del oncogene c-Ki-ras, por su gran tamaño, difícilmente se conserva íntegro al hacer la transfacción. Por ello, para determinar la incidencia real de oncogenes *ras* activos en tumores colorrectales sin estos problemas, se eligieron muestras de zonas con numerosas células malignas de los carcinomas colorrectales humanos, se extrajo el ADN de 27 muestras que abarcaron desde tumores benignos (adenomas) hasta metástasis, y se empleó un nuevo método, para el cual se incluyó una oligonucleótido presente de ADN polimerasa para amplificar segmentos de interés, que se hibridaron con sondas de ADN. Se detectaron así, mutaciones somáticas en 11 de los 27 tumores, de los cuales 10 fueron mutaciones del oncogene c-Ki-ras y de éstas, 7 fueron del codón 12: 5 de la glicina normal a ácido arginíno, 2 a valina, 1 a serina y 1 a cisteína. En 3 de ellos la detección fue muy débil, indicando la posible pérdida del alelo normal. En otro caso hubo una mutación del codón 61, de la glutamina normal a histidina, y en 1 caso más, hubo mutación del codón 12 de N-ras, de glicina a cisteína. No se observó amplificación de ningún gene *ras* ni mutaciones del tejido normal de los pacientes, pero en 5 casos la mutación del codón 12 de c-Ki-ras también se presentó en el tejido adenomatoso, indicando que la mutación precedió al desarrollo tumoral, pues hay evidencias de que numerosos carcinomas colorrectales surgen a partir de adenomas preexistentes, por lo que la activación de *ras*, ha de ser uno de los primeros eventos en la tumorigénesis, que continúa presente durante todo el desarrollo tumorigénico posterior. La activación diferente de c-Ki-ras en tumores colorrectales, así como la frecuente detección de N-ras en leucemias, probablemente indique que existe cierta especificidad de tejidos a un oncogene *ras* en particular.

TERREZ, Dr. Pedro, M.D., Professor, Dept. of Surgery, Harvard Medical School, Boston, Mass., performed the first radical mastectomy for malignant melanoma in 1908.

La leucemia mielocítica aguda es una enfermedad maligna, no obstante que se originan y proliferan de una sola célula "madre" tipo, blanca y muy sanguínea o hematocitaria, principio cuando posee actividad mitótica más débil, seguido posteriormente cuando transformada en leucocito, etc. Su origen sanguíneo y su transformación en leucocitos es una observación fundamentalmente específica, tangible, que la induce a cargar con alteraciones sanguíneas hereditarias, lo cual se investigó en acuerdo de 22 pacientes con leucemia mielocítica aguda; si bien de 8 muestra un transformado citogénico RIM-TG, se estableció el 90% de los 6 que tienen alteración de cromosomas, y sólo una muestra permaneció normal, sin un cromosoma extra. Las muestras de RIM no amplificadas difirieron de acuerdo a la densidad de la RIM-ploidia y una vez amplificadas, las muestras libraron con los 3, y de 3 muestras en deficiencia de 4cros. con alteración de la Gley normal a Asp, en otras muestra se detectó al final con degeneración en el cromosoma 13, también la Gley - Asp.; las 2 muestras más se detectó al anterior con mutación del cromosoma 13, de Gley + Val. Se concluyó que, combinando los ensayos de transformación en fibroblastos RIM-TG con la medida de amplificación del ADN, se obtiene una técnica más sensible para detectar anomalías cromosómicas, pues únicamente utilizando la dilución directa del ADN directo de las muestras, con las sondas de ADN, sólo se detectó un caso; esta limitación de sensibilidad, probablemente se deba a la escasa cantidad de células malignas existentes en cada muestra marcapaso, mientras que al combinar las dos técnicas, se dirigió incluso por primera vez, al enjambre ciliarras activa en muestras de leucemia mielocítica aguda.

fundí, Dr. W. H. MITT, N. Y., QUINCY H. VAN HAMPTON, JR., NEW YORK,  
Dr. J. L. INGRAM. Nota que el virus mutante se ha visto en el  
humano, por polimorfismo clonal randomico como el que se observa en las arbovirus.

La mutación presenta algunas diferencias entre los virus que  
no es un sistema codificativo, y en este caso aparece en la forma de mutaciones  
que son poligénicas, cuando existe una correlación de que las mutaciones  
que no se extienden al virus, y cuando existen mutaciones  
que no se extiende al virus, y cuando existe la correlación de la conformación  
de la proteína. Este sistema es similar a la mutación de la conformación de la  
proteína, por lo cual se observa más de la mutación de la conformación, suministrando  
el tipo de los mutantes a la función de la RSV particular, la  
cual se dirige a ambos factores, del fragmento que se observa que  
seas defectuosa, y mediante una mutación en la cadena, explicada por  
fragmento para aumentar la probabilidad de defectuosa, si bien  
nunca las mutaciones de polimorfismo randomico con las estructuras de encoggi-  
miento de los RSV particular, son observadas simultáneamente. En el siguiente  
registro se observa la mutación de mutante durante las suc-  
cesivas fases de remisión y recurrencia de la infección. Un total de las  
10 mutaciones se observan en mutaciones en RSVs, principalmente del  
caso 12, la mutación más temprana que de la ginebra normal, o ácido  
acético. Los mutantes presentaron actividad del caso 12 de RSV  
también de RSV + RSV, y 4 mutantes se observaron en RSVs,  
en los cuales 12 (RSV + RSV) y 12 (RSV + RSV), y otras 2, en los  
casos 12 (RSV + RSV) y 61, uno de ellos a RSV, y el otro a RSV.  
En estos 4 mutantes cada mutación ocurrió en el mismo momento, y  
cada uno de los dos mutantes cumplió una pila diferente, pero la mu-  
tación de una misma proteína en 2 de sus sitios críticos, no se  
ría visible, sobre todo si las alteraciones son en las cadenas 12 y  
13. En las muestras obtenidas durante las fases de remisión, no  
se detectó ninguna de las mutaciones registradas durante las fases  
activa de la enfermedad, incluso en el paciente con mutaciones en  
los cadenas 12 y 13, no se encontró ninguna mutación en las fases  
de remisión, y en las muestras obtenidas al volver a recidivar también  
se detectaron las mutaciones. Esto puede deberse a que el trae-  
tamiento realmente erradicó las células mutantes, en cuyo caso no  
se explicarían las recidivas, o bien, si bien la activación de RSVs  
no sea un evento inicial en la recidivación, como se ha reportado  
en los casos en que se han detectado RSVs y RSVs activos en  
el mismo genoma, donde la activación de RSVs parece el evento ini-  
cial, y la activación de RSVs el complementario, en estos reportes  
no se ha seguido la evolución de la enfermedad, por lo que no pue-  
de aún determinarse si los genes RSV realmente se activaron duran-  
te el desarrollo de la enfermedad, o después.

FORRESTER, K., ALMUDERNA, C., HON, M., GRIZZIE, M. E., PERUCHO, M.  
1987. Detection of high incidence of K-ras mutations during human  
colon tumorigenesis. Nature 327:298-302.

Debido a la imposibilidad de experimentar con seres humanos, no se ha logrado demostrar que la activación de los oncogenes ras cause la patogénesis del cáncer humano, a diferencia de la activación frecuente, reproducible y predecible de los oncogenes ras en animales. Para trabajar en estas circunstancias se desarrolló un nuevo método de detección de mutaciones puntuales basado en la capacidad de la RNAasa-A de reconocer y cortar los sitios donde la unión RNA - RNA no es total, e indican una mutación puntual; los ARNm de las células analizadas se hibridaron con sondas con la secuencia de ARN de proto-oncogenes y se cortan con ARNasa, y se obtuvieron fragmentos de diferente tamaño, que indicaron mutaciones puntuales. Se analizaron 66 tumores primarios de colon, hibridando con la sonda de c-Ki-ras, que es el oncogene activo más frecuente de los 3 oncogenes ras en tumores de colon, y en 28 muestras se encontraron mutaciones en el codón 12; 8 de las mutaciones fueron en la primera posición del codón 12 y 18 en la segunda. Se transfeció el ADN de 30 de estas 66 muestras en células NIH-3T3 y sólo 6 transformaron las NIH-3T3, indicando una escasa sensibilidad de este método para detectar oncogenes K-ras activos. No hubo amplificación, ni otra alteración distinta de la mutación del codón 12. Uno de los tumores sin mutación del gene K-ras transformó células NIH-3T3, por lo que posiblemente otro oncogene ras se encontraba activo en esta muestra. El ADN de otros dos tumores con mutación de K-ras también transformó las NIH-3T3, y al analizarlos se detectó al N-ras activo, es decir, dos oncogenes ras activos en el mismo genoma. Es posible que la mutación del codón 12 del oncogene c-Ki-ras, que ha de ser un evento inicial en la transformación, confiera alguna ventaja a la célula maligna, y la activación de N-ras, que debe ser posterior, complemente la acción tumorigénica.

ESTA TESIS NO DEBE  
SALIR DE LA BIBLIOTECA

SCHERFELD, M. A., CHEDOVIC, M. J., PETERSON, R., DODD, R. J., NEMEC, T., LIMI, C. DNA REPLICATION AND TRANSFORMING ACTIVITY OF THE HUMAN HERPESVIRUS. "Cancer Research" 43: 1973.

La metilación se considera como una de las modalidades de regulación de la expresión genética en los eucariotas que mediante hipermetilación no se expresan. Se investigó si la metilación también es un mecanismo de regulación de oncogenes ras utilizando un plasmido con el oncogén v-H-ras humano con mutaciones en el codón 12 y 13 metiltransferasa bacteriana complementada de metilar al ADN unas mutaciones del plasmido se metilaron así una de las enzimas, y otras sumetrasen, se metilaron con las dos enzimas simultáneamente. Se transfirieron los plasmidos en células NIH-3T3, para registrar su actividad transformante y se observó que los plasmidos control sin metilar, y los que se metilaron con una metiltransferasa, mostraron prácticamente la misma capacidad transformante pero en los que hubo la doble metilación la oncogenicidad se redujo en un 80%. Al analizar el ADN de cada experimento se comprueba que el ADN aún seguía metilado de acuerdo a cada caso demuestrándose que no se habían desmetilado los plasmidos en las células. Se incubaron células NIH-3T3 con agentes demetilantes, y se observó una transformación similar a la inducida por el plasmido oncogénico control, en todos los casos, indicando que había sido restaurado la expresión del oncogén ras. Se verificó así directamente que la metilación es un mecanismo de regulación de los oncogenes ras, que muy posiblemente puede ocurrir en las células.

CICHUTEK, M., BUESSER, P. H. 1983. Harvey ras genes transformed without mutant codons, apparently activated by truncation of a 5' exon (exon -1). Proc Natl Acad Sci USA 80: 25380-2544.

Los mecanismos conocidos de activación de los oncogenes ras, son la mutación puntual, amplificación, o sobre-expresión, aunque se descubren como es que estos cambios originan la expresión dominante del gene por lo que se investiga la existencia de otro posible mecanismo de activación. Se transfecionó células NIH-3T3 con ADN del oncogén y del proto-oncogén c-H-ras humano, y v-H-ras viral y en todos los casos se induce la transformación aunque con períodos de latencia variable. En estudio la secuencia adyacente a los genes ras en el extremo 5' del genoma humano, de rata y del virus de sarcoma murino de Kirsten, Harvey, y Rasheed, y se encopio que en el proto-oncogén existe una secuencia llamada exon -1 ausente tanto en el oncogén c-H-ras humano como en los genes virales. Al transfecir el ADN de genes ras sin mutaciones, ni amplificación, ni sobre-expresión, pero sin el exon -1, las células NIH-3T3 se transformaron. Se concluye que existe otro mecanismo de activación de los oncogenes ras, que consiste en la spliccción

COMITATI, C., KIRKWOOD, J., ROBERTS, M., SCHAFFNER, F., STANZ, A., STUCKEY, J., TURPIN, P., YOUNG, R. 1986. *Amplification of the oncogene c-H-ras in human breast carcinomas*. *Cancer Res.* 46: 4778-81.

Se ha propuesto que la mutación del anticáncer oncogénico es la pérdida del alelo normal de un oncogén, o que su alteración induce la expresión incontrolada del alelo remanente. Se investigó si este sucede en los tumores mamarios, utilizando la expresión de los oncogéneos ras en 23 muestras de carcinomas mamarios y en 16 de ellos se observó un nexo de c-H-ras y Her-2, la elevación fue progresivamente nula. En total, se analizaron 102 carcinomas mamarios y en ninguna se detectó amplificación marcable ni alteración particular de los genes, así sin embargo, en 14 de los tumores examinados, se registró la pérdida de uno de los dos alelos. Se midió la proteína p21 de los tumores cancerosos de mama y se encontró ninguna diferencia en los niveles de p21 entre estos tumores y los llenados con ambos alelos. En el estudio clínico-patológico de los tumores, se encontró que los tumores con un alelo fueron los más agresivos, presentan metástasis distal, y sus células carecían de receptores de estrógenos, y progesterona. Se concluyó que la pérdida de un alelo de un gen ras, adquiere una tumorigenidad aún más agresiva, que la mutación puntual, o la amplificación o la sobreexpresión del gen.

Horwitz, M., TURPENTINE-THYMUS, Y. L. COOPERMAN, M., J. E. FRASER, W.H. STANTON, JR., J. C. TURNER, A. M. KATZENSTEIN, R. H. MITT, AND R. SIEBEL. 1984. Monoclonal antibodies to myc oncogene products in normal and malignant cells. *Cancer Research* 44: 2665-2671.

La mayor parte de las mutaciones codifican alteraciones de expresión o se localizan en líneas derivadas tumorales, pero al reportarse saber si las líneas de parentesco tienen alteraciones similares, por ello, se estudiaron los monoclonales dirigidos a las ligas y a las homodímeras que representan el 31% de los tipos heterólogos identificados. En 7 de los 23, 71 carcinomas, 16 leucemias y 3 linfomas. En 73 casos, se pudo obtener muestra de tejido normal de los mismos pacientes, y de 44 de dichas muestras fija en el mismo tejido de la neoplasia. Se hibridó con sondas de los oncogenes c-H-ras, c-myc, c-myb, c-fos, c-jun, c-Myc, c-fos, y c-jun no se detectó ningún oncogén activo en muestra de tejido normal. Se detectó c-myc amplificado de 3 a 8 veces en 7 tumores primarios no sólidos, bronquios y riñones genitales, y de 5 a 8 veces en 3 tumores metastásicos de célula rara y amigdalas. En 4 tumores de los primarios estudiados de desarrollo, y en 2 metastásicos de colon, pulmón y mama, se detectó la falta de un alelo de c-myc. En 4 tumores, entre los primarios estudiados, y 1 metastásico (de colon, mama, riñón, y mamaria), en el que c-myb se detectó con mínima intensidad indicando su posible pérdida o algún otro tipo de mutación. En un tumor particularmente agresivo, se encontró amplificado c-K-ras, la perdida de un alelo de c-jun, y amplificación de c-myc. No se encontró c-myc activo en leucemias, sin embargo las mayores alteraciones de c-myc se detectaron en los tumores más agresivos lo que sugiere que probablemente el grado de alteración de c-myc está relacionado con la agresividad tumoral; con c-myb y ras no se estableció una relación similar.

LIREAU, R., CRDIT, G., PIRELLI, B., LAROCHE, M., BRUNEL, R., BESET, J., CALAFAT, M. 1986. High frequency of c-Ha-ras-1 in the human c-Ha-ras-1 proto-oncogene in breast cancer patients. JNCI 67:7701

Cuando el genoma humano se corta con enzimas de restricción, se obtienen fragmentos de varios tamaños y cuando en el genoma se detecta la presencia del gen c-Ha-ras-1, si cortar con las enzimas BamHI, KpnI y Kpnl se obtiene el resultado deseado, pero no siempre en fragmentos del mismo tamaño, debido a que el gen c-Ha-ras-1 tiene una secuencia adyacente llamada VPR, que consta de 28 pares de bases que se repite un número variable de veces, según el número de repeticiones, será la longitud de la región VPR y por lo tanto el tamaño del fragmento de c-Ha-ras-1. Se estudió esta variabilidad de los fragmentos en relación al cáncer, en 104 pacientes con tumores mamarios y de individuos normales, cuyo ADN se cortó con las enzimas mencionadas. Se detectaron 4 fragmentos con una frecuencia muy alta, los llamados alelos comunes, de 5.0, 7.0, 7.6 y 8.0 Kpb, y 18 alelos raros de tamaños diferentes, desde 5.9 hasta 8.7 Kpb. En los individuos normales los alelos comunes constituyeron el 91% del total de sitios restringidos, en cambio que en los pacientes con tumores mamarios la frecuencia de sitios comunes fue de 39%. Los alelos comunes de 5.0 y 8.0 Kpb se encontraron con una proporción significativamente menor en los pacientes con cáncer que en individuos no afectados, y el alelo raro de 6.3 se detectó en 12 de los 206 alelos correspondientes a los 104 pacientes, y no se encontró en ninguno de los normales. Se ha reportado que la proteína onco génica p21 de c-Ha-ras, se expresa en el 80% de los tumores mamarios, por lo que el hecho de encontrar un 41% de alelos raros en pacientes con cáncer mamario indica una interacción entre la regulación de c-Ha-ras y las neoplasias mamarias, así como la posibilidad de que en el futuro, se puedan realizar estudios de tipo genotípico e immunobiológico, que permitan establecer un pronóstico del cáncer.

Nishimura, M. L., Thompson, M. J., Lee, W., P. Sambrook, Jr., Williamson, D. J., Levinson, D. A., Sambrook, H. C., and Williamson, D. J. 1982. Human oncogenes: cDNA clones for two related proteins in simian virus 40 and SV40-transformed rodent fibroblasts. *Proc Natl Acad Sci USA* 79: 3115-3119.

En este estudio se los oncogenes, tanto en embriones, como en el diagnóstico y tratamiento del cáncer, fueron los que se recuperó la extracción quirúrgica de la neoplasia, particularmente los que están en órganos. Los oncogenes participan en la proliferación celular, similar en animales y tal vez también en humanos, siendo tanto en embriones embrionarios, lo que no puede demostrarse por no poder cultivar embriones humanos. Para solucionar estos problemas se sintetizó un peptideo con las regiones características de los oncogenes sis, sis, y fes si peptideo de fes incluye las aminoácidos 177-277 de la proteína p55-gag-fes, el de sis los aminoácidos 177-277 de p55-sis y el de ras, los aminoácidos 37-57, comunes a ras en K-ras, y que difiere de K-ras en I-aminoácidos. Se inyectó en los peptídeos sintéticos en ratones que generó un anticuerpo muy específico, que detectan muy eficientemente proteínas oncogenicas, a otras muy relacionadas aun si pierden su conformación original o están fragmentadas que no detecta. Los anticuerpos contra proteínas totales en muestras de orina de pacientes con diversas neoplasias, y en mujeres embarazadas entre 6 detectó 3 proteinas con peptidotecnología del Sis, Sis y K-ras p55-sis polisíntesis y p55-ras, anti-fes detectó p40-fes y p55-fes y anti-ras detectó p55-ras, p55-ras y p55-ras. En tumores mamarios se detectó 20 veces más p55-ras de lo normal, y 5 veces más proteinas fes, en una paciente con cáncer mamario, p55-ras varió hasta 50 veces en 1 mes, y en otra paciente las proteinas fes y p55-ras fueron más elevadas de lo normal y 5 meses después la paciente desarrolló cáncer mamario. Las proteinas sis se detectaron hasta 50 veces más en tumores de próstata y vejiga, y también se encontraron en tumores cervicales, de pulmón y linfomas donde no se detectaron ras ni fes. En mujeres embarazadas las proteinas fes y sis casi no variaron, pero p55-ras tuvo variaciones hasta de 15 veces en 1 semana y al final del embarazo p55-ras y p55-ras fueron más elevados que al inicio. Las proteinas detectadas pueden ser de genes de células malignas o de células sanaas, pero es poco probable que sean de genes ajenos que casualmente sean afines debido a sus variaciones en casos de cáncer y en otras razones posiblemente son proteinas oncogenicas de las familias sis, ras y fes. La detección en mujeres embarazadas de proteinas ras, indica su acción en la proliferación celular de embriones humanos. Tal vez en un futuro estas proteinas u otras similares en un sencillo análisis de orina aporten datos para el diagnóstico de neoplasias como en la paciente que desarrolló el tumor e indicó posiblemente diagnosticar posibles problemas fetales.

El estudio de los genes ras se inició con el objetivo de comprender mejor los mecanismos que llevan a una célula normal a transformarse hasta adquirir las características de una célula maligna. Los estudios con este objetivo han generado innumerables especeraciones para diversos temas de la medicina, no solo para la oncología, sino también para la medicina preventiva, clínica, la biología, la fisiología humana, etc. Sin embargo, en el transcurso de dichas investigaciones, han surgido hallazgos que trasladaron al ámbito puramente clínico para incidir en disciplinas enteramente biológicas aun más diversas, pues aparte del análisis de la biología molecular, también se han obtenido aplicaciones al estudio de la evolución, la virología, la biogeología, la virobiología animal y celular, la carcinogénesis química, etc.

Las aportaciones a la medicina incluyen desde la primera evidencia de que el cáncer se origina como una alteración genética, hasta la detección de alteraciones de los genes ras tanto a nivel de ADN como de la proteína celular, cosa posible gracias a la creación de un panel específico de anticuerpos. Dicho panel permite que no sólo se registre una mutación nueva, sino su origen para determinar con todo el rigor científico si esa degeneración es transformadora de una célula normal desde el principio; así, cuando los genes ras se activan como consecuencia del proceso maligno estarían relacionados con el cáncer como para seguirlos estudiando tan exhaustivamente como hasta ahora.

Si los oncogenes ras en realidad desencadenan la transformación, aún falta saber cuán se que esto sucede, se han obtenido resultados que indican una posible cooperatividad entre diferentes oncogenes ras humanos, algo que no se ha reportado con otros oncogenes y que puede implicar eventuales críticas en el proceso maligno. Los oncogenes ras se encuentran en todo tipo de neoplasias, en sus diferentes grados de desarrollo, tanto en tumores benignos como en metastásicos; por otro lado existen numerosos reportes de mutaciones humanas cuyas células carecen de un síntesis de uno de los genes ras, o que presentan un alelo mutante, o con más de dos alelos por célula, ya sea del alelo normal o de un alelo mutante. Estos resultados sugieren que es posible que un evento determinante para iniciar una transformación sea la proporción entre alelos ya sea entre el alelo normal y un mutante o una concentración crítica de alelos, normales o mutantes, puede ser lo que en un momento dado, escape a los mecanismos celulares de control y de inicio a la carcinogénesis.

En el campo de la biología molecular se han obtenido resultados importantes al estudiar los mecanismos de activación e inactivación de los diferentes genes ras, su estructura genética que incluye una región VTR que funciona como promotor fuerte o enhancer y las características de su región promotora, que indican que los genes ras son muy necesarios e importantes para las células, solo falta definir el porque son tan importantes.

En el estudio de la evolución, es significativo si que a pesar de que casi no se han realizado investigaciones para detectar la existencia de genes ras, o genes relacionados con los en otros

organismos. Una de las razones que explica esto es la mayor diversidad de espesores. Sin embargo, los resultados más relevantes si se realizan en células dirigidas exclusivamente a la detección de genes que en una colección de especies que cubren un espectro de diversidad, pero determinar qué tanto se comparten los genes ras en una amplia muestra filogenética, y qué codifican los que los comparten.

Los proteínas codificadas por los genes ras, que en general se denominan p21, han sido muy estudiadas y el resultado han sido importantes aportaciones para la biología, pues estas proteínas p21 son de las relativamente pocas proteínas con afinidad por nucleótidos de quinina que se conocen sobre lo que se han hecho numerosas investigaciones. Además entre las proteínas oncogénicas, p21 ha sido la primera proteína cuya estructura tridimensional se ha descrito hasta ahora y se ha reportado la estructura de p21 prote-oncogénica en su forma unida a GTP, pero es de esperar que próximamente se reporte la estructura tridimensional de p21 con las mutaciones activadoras, y la p21 unida a GTP.

Respecto a la función específica de p21 en el metabolismo celular, en algo que ya ha sido investigado exhaustivamente y ha generando una gran cantidad de reportes son que hasta el momento no haya logrado definir; se consideró la posibilidad de que p21 de mamíferos participara en la vía de la adenil ciclase, lo cual prácticamente se ha descartado; también se ha considerado la posibilidad de que participe en la vía del metabolismo de los inositol fosfolípidos, que sigue investigándose con resultados muy confusos probablemente debido a que las diferentes proteínas p21, codificadas por cada uno de los 3 genes ras de mamíferos, tienen funciones diferentes dentro de esta vía además algunas p21 tal vez participen en la misma y otras no, e incluso las proteínas proto- y oncogénicas podrían presentar diferencias; es posible que las diferencias entre las proteínas p21 normales y transformantes sean más cuantitativas que cualitativas, pues la función de p21 normal responde mas a la hidrólisis del GTP como mecanismo de regulación que p21 oncogénica.

La función de p21 en los celulas de mamíferos se requiere para la estimulación con cuero de la síntesis de RNA, y en los oocitos de X. laevigata, las proteínas ras se requieren para la maduración dependiente de insulina. Esto señala que la función de las proteínas ras, no es afectada por estos estímulos, pero puede ser necesaria para su manifestación o bien la otra alternativa es que la función de las proteínas ras puede activarse como una respuesta directa a otros estímulos; en favor de esta última posibilidad están los estudios en los que las proteínas ras oncogénicas, indigenas en cada caso, efectúan cambios al estímulo en si, lo que hace surgir la posibilidad de que la insulina, el suero u otros factores de crecimiento, e incluso ciertas proteínas oncogénicas que funcionan como tirosina-cinatas, ejerzan una función previa a la función de las proteínas ras, cuya activación sería entonces necesaria para que se induzcan los efectos de dichos estímulos.

En cuando a las investigaciones hechas en el genoma de levaduras S. cerevisiae, se sabe que las proteínas de sus genes ras, participan en la adenil ciclase, aunque no se ha establecido esta

participación más temprana, es decir que una proteína no la tienen cuando siempre funcionan, sino que la desactivación de las dos formas las impide. Es decir que la actividad de la catalasa desciende en lo es. Las dos proteínas RAS1 y RAS2 parecer tienen diferentes funciones, o tal vez están reguladas por distintas señales, o por una sola señal, pero interactúan con distintas señales de efectores.

Uno de los últimos descubrimientos trascendentales en el estudio de los genes ras, ha sido la descubrimiento de una proteína que interacciona con las proteínas ras llamada GAP. Las proteínas ras tienen una actividad de GTPase intrínseca, pero como no parece ser suficiente para mantener la proteína unida continuamente a GTP, y al parecer tal insuficiencia se resuelve con la proteína GAP, que cataliza la conversión de p21 unida a GTP a p21 unida a GDP; pero GAP no tiene el mismo efecto en p21 con mutación del codón 12, 59 o 61, por lo que p21 con tales mutaciones, permanece unida a GTP, ademas de que estas mutaciones tienen una actividad de GTPase menor que p21 normal. La actividad de GTPase de p21 parece no estar relacionada directamente con su actividad onco, pues p21 con mayor o menor capacidad de hidrolizar el GTP pude seguir siendo oncogénico tal vez sea en este punto donde interviene GAP, que podría tener una función reguladora en la hidrólisis del GTP llevado a p21, manteniendo un cierto nivel de p21 unida a GTP, que si no regular se daría inicio a la malignidad. Si GAP es una proteína efectora de p21 la vía que se seguiría en la célula iniciaría con la llegada de alguna señal que induciría la unión de p21 con GTP. Luego p21 actuaria sobre GAP, la cual cataliza la hidrólisis del GTP quedando nuevamente p21 unida a GDP. Las proteínas mutantes se unen a GAP pero no responden a su acción catalítica, por lo que continúan unidas a GTP, tal vez induciendo alguna alteración continua, que finalmente lleva a la transformación celular. Aun faltan muchos detalles que especificar en este medio, incluso no se ha demostrado de manera concluyente que la interacción GAP-p21 sea un mecanismo de regulación de la función de p21, que aun se desconoce, pero seguramente no está muy lejos el día que se describa con precisión la función de las proteínas ras, y con ello se determinen los pasos de la carcinogénesis, para llegar finalmente al surgimiento y/o prevención del cáncer.